



انجمن بین‌المللی مکانیک سنگ

نشریه علمی-پژوهشی

مکانیک سنگ



انجمن مکانیک سنگ ایران

دوره اول، شماره چهارم، زمستان ۱۳۹۶

- بررسی رفتار مکانیکی نمونه‌های بازالت دارای ترک‌های با تعداد و زوایای متفاوت در تنفس فشاری تک‌محوره
- بررسی عددی تأثیر خصوصیات توده‌سنگ و نوع ماده منفجره در آسیب انفجار به شیب‌های سنگی
- رفتار خستگی سنگ‌های سخت تحت بارگذاری سیکلی
- تحلیل ریسک دینامیکی تونل‌های بزرگ مقطع با استفاده از روش ماتریس احتمال - اثر (مورد مطالعاتی: تونل راه آهن کوهین محور قزوین-رشت)
- مطالعه آزمایشگاهی اثر طول بازه تحت فشار بر روی فشار شکست در روش شکست هیدرولیکی
- تأثیر تغییرات قطر سنبه پانچ استوانه‌ای در تخمین مقاومت فشاری تک‌محوری برخی از سنگ‌های رسوبی سازند قم
- افزایش جذب انرژی مقاطع تونل با استفاده از المان‌های بتنی با شکل پذیری بالا در محیط‌های مچاله‌شونده
- تعیین خرج ویژه بر اساس پارامترهای ژئومکانیکی توده‌سنگ (مطالعه موردی - طرح سد و نیروگاه سیمراه)

بسمه تعالیٰ



انجمن بین‌المللی مکانیک سنگ

نشریه علمی-پژوهشی



مکانیک سنگ

انجمن مکانیک سنگ ایران

دوره اول، شماره چهارم، زمستان ۱۳۹۶

صاحب امتیاز: دکتر عبدالهادی قزوینیان
این نشریه بر اساس مجوز شماره ۳/۱۸۵۲۰۰۴ در تاریخ ۰۳/۱۳/۱۳۹۶ از وزارت علوم، تحقیقات و فناوری چاپ شده است.
شاپا: ۲۵۸۸-۷۴۳۲

ناشر: انجمن مکانیک سنگ ایران
شمار: کاغذی - الکترونیکی
آدرس: تهران - خیابان جلال آل احمد - دانشگاه تربیت مدرس - دانشکده فنی و مهندسی - دبیرخانه انجمن مکانیک سنگ ایران
تلفن: ۰۲۱-۸۸۶۳۰۴۸۲
نمبر: ۰۲۱-۸۸۶۳۰۴۸۲

رایانامه: info@journal.irsrm.net
تارنما: journal.irsrm.net
چاپ: اول

* استفاده از مطالب و تصاویر با ذکر منبع، بلامانع است.
* مجله مکانیک سنگ ایران در ویرایش مقالات آزاد است.
* مسئولیت کامل محتوی و اصالت مقاله به عهده نویسنده/نویسنده‌گان است.

مدیرمسئول: دکتر عبدالهادی قزوینیان

دانشگاه تربیت مدرس - دانشیار

سردیبر: دکتر کورش شهریار

دانشگاه صنعتی امیرکبیر - استاد

مدیر اجرایی: مهندس امید روشنی

هیات تحریریه (به ترتیب الفبا)

دکتر مرتضی احمدی - دانشگاه تربیت مدرس - استاد

دکتر سید رحمان ترابی - دانشگاه صنعتی شاهروд - استاد

دکتر احمد جعفری - دانشگاه تهران - دانشیار

دکتر سید محمد فاروق حسینی - دانشگاه تهران - استاد

دکتر مصطفی شریفزاده - دانشگاه کرتین استرالیا - دانشیار

دکتر کورش شهریار - دانشگاه صنعتی امیرکبیر - استاد

دکتر محمد فاتحی مرجی - دانشگاه یزد - دانشیار

دکتر احمد فهیمی فر - دانشگاه صنعتی امیرکبیر - استاد

دکتر مرتضی قارونی نیک - دانشگاه علم و صنعت - استادیار

دکتر عبدالهادی قزوینیان - دانشگاه تربیت مدرس - دانشیار

دکتر کامران گشتاسبی - دانشگاه تربیت مدرس - دانشیار

دکتر عباس مجیدی - دانشگاه تهران - استاد

دکتر حسین معماریان - دانشگاه تهران - استاد

اهداف و محورهای جذب مقالات در نشریه علمی پژوهشی مکانیک سنگ ایران

نشریه علمی پژوهشی مکانیک سنگ، توسط انجمن مکانیک سنگ ایران، (عضو جامعه بین‌المللی مکانیک سنگ) برای تبادل نظرات و اطلاعات علمی بین مراکز دانشگاهی و صنعتی در مقیاس ملی و بین‌المللی پایه‌گذاری شده است. این نشریه به منظور کمک به اعتلای فعالیت‌های پژوهشی متخصصین مکانیک سنگ کشور، اقدام به چاپ دستاوردهای بدیع و ارزشمند این عزیزان می‌نماید. بدین‌وسیله از کلیه اساتید دانشگاه‌ها، متخصصین مکانیک سنگ، دانشجویان و پژوهشگران فعال در عرصه مکانیک سنگ دعوت به عمل می‌آید تا نتایج دستاوردهای پژوهشی خود را برای چاپ در مجله علمی پژوهشی مکانیک سنگ به این مجله ارسال نمایند.

محورهای فعالیت نشریه مکانیک سنگ عبارتند از:

- تحلیل و طراحی تونل‌ها و فضاهای زیرزمینی
- تحلیل و طراحی شیروانی‌ها و ترانشه‌های سنگی
- مکانیک سنگ در پژوهش‌های معدنکاری، مهندسی نفت و گاز، نظامی و محیط‌زیست
- ابزاربندی و رفتارسنگی در مهندسی سنگ
- روش‌های عددی در مهندسی سنگ
- مطالعات جریان سیال در محیط‌های سنگی
- بهسازی زمین‌های سنگی
- آزمون‌های برجا و آزمایشگاهی سنگ

فهرست مقالات

بررسی رفتار مکانیکی نمونه‌های بازالت دارای ترک‌های با تعداد و زوایای متفاوت در تنش فشاری
تک‌محوره
محمدفاروق حسینی؛ حسن قاسم زاده

بررسی عددی تأثیر خصوصیات توده‌سنگ و نوع ماده منفجره در آسیب انفجار به شیب‌های
سنگی
علی حق‌نژاد؛ کاوه آهنگری؛ پرویز معارفوند؛ کامران گشتاسبی

رفتار خستگی سنگ‌های سخت تحت بارگذاری سیکلی
علی‌اکبر مؤمنی؛ غلامرضا خانلری؛ مجتبی حیدری؛ مرات کاراکوس؛ علیرضا طالب بیدختی

تحلیل ریسک دینامیکی تونل‌های بزرگ مقطع با استفاده از روش ماتریس احتمال - اثر
(مورد مطالعاتی: تونل راه آهن کوهین محور قزوین - رشت)
رضا میکائیل؛ عرفان شافعی؛ سعید حسنی

تأثیر تغییرات قطر سنبه پانچ استوانه‌ای در تخمین مقاومت فشاری تک‌محوری برخی از
سنگ‌های رسوبی سازند قم
مجتبی حیدری؛ حسن محسنی؛ سید حسین جلالی

کاربرد مدل سری‌های زمانی در پیش‌بینی نرخ نفوذ ماشین حفر تونل تمام مقطع
مسعود مذهبی؛ سید مصلح افتخاری
افزایش جذب انرژی مقاطع تونل با استفاده از المان‌های بتونی با شکل پذیری بالا در محیط‌های
مچاله‌شونده

یاسر علیلو کسجینی؛ حسن افشنین؛ مهرداد امامی تبریزی؛ امیر بهرامی فر
تعیین خرج ویژه بر اساس پارامترهای ژئومکانیکی توده‌سنگ (مطالعه موردی - طرح سد و
نیروگاه سیمراه)
محمد حیاتی؛ امید روشنی

بررسی رفتار مکانیکی نمونه‌های بازالت دارای ترک‌های باتعداد و زوایای متفاوت در تنش فشاری تکمحوره

محمدفاروق حسینی^۱* حسن قاسم زاده^۲

۱-دانشیار، دانشکده مهندسی معدن، پردیس دانشکده‌های فنی، دانشگاه تهران

۲-دانشآموخته کارشناسی ارشد استخراج، دانشکده مهندسی معدن، پردیس دانشکده‌های فنی، دانشگاه تهران

پذیرش: ۱۳۹۴/۱۰

دریافت: ۱۳۹۳/۱۲

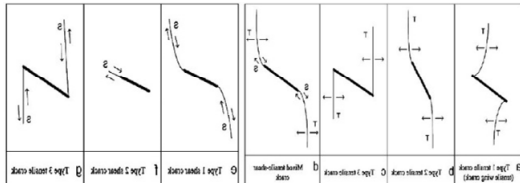
چکیده

در این مطالعه آزمایش‌های فشاری تکمحوره بر روی نمونه‌های بازالت دارای ترک‌های مصنوعی با تعداد و زوایای متفاوت بوسیله دستگاه بارگذاری هوشمند و نیز از طریق مدلسازی عددی انجام شد. نتایج نشان می‌دهند که مقدار مقاومت فشاری تکمحوره، مدول یانگ و کرنش محوری در نمونه‌های با ترک‌های مصنوعی کمتر از نمونه بکر بوده و میزان این کاهش به هندسه ترک مصنوعی وابسته است. نحوه بهم وصل شدن ترک‌ها نیز در نمونه‌ها مطالعه و انواع ترک‌های گسترش یافته از نوک ترک‌های مصنوعی در نمونه‌ها توصیف شدند. ایجاد انواع ترک‌های کششی، برشی و ترکیب کششی-برشی و نحوه بهم وصل شدن ترک‌های مصنوعی بستگی به هندسه ترک مصنوعی دارد و با استفاده از آن، مددکش و فرآیند ایجاد ترک در این نمونه‌ها مطالعه می‌شود. همچنین تأثیر بهم وصل شدن ترک‌ها بر مقاومت و رفتار شکست نمونه‌های بازالت تحت فشار تک محوره مورد بررسی قرار می‌گیرد. این بررسی رفتار مکانیکی ترک‌های با تعداد و زوایای متفاوت، درک بیشتری از مفاهیم شکست سنگ تحت فشار تک محوره را فراهم می‌نماید.

زاویه ترک، تعداد ترک، بهم وصل شدن ترک، مقاومت فشاری تک محوره، رفتار تغییر شکل

کلمات کلیدی

مکانیزم بهم وصل شدن ترک‌های دو بعدی به نحوه قرار گرفتن و ضریب اصطکاک ترک مصنوعی وابسته است. وانگ و آنیشتین [۱۲] رفتار ایجاد ترک در نمونه‌های گچ و مرمر (با ابعاد $32\text{ mm} \times 76\text{ mm} \times 152\text{ mm}$) دارای یک ترک مصنوعی باز را تحت فشار تک محوره بررسی کردند. هفت نوع ترک متفاوت براساس هندسه و مکانیزم گسترش ترک (کششی یا برشی) بوسیله دوربین‌های با سرعت بالا مشاهده شد (شکل ۱).



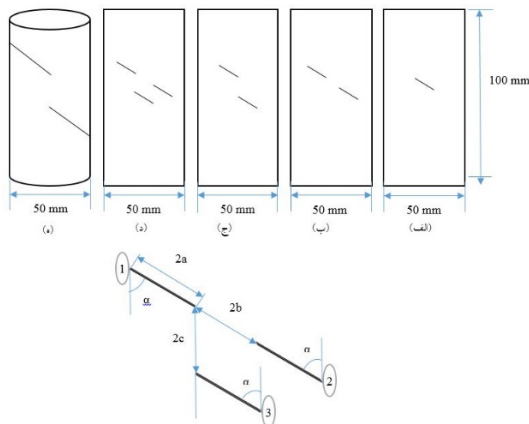
شکل ۱: انواع ترک مختلف شروع شده از ترک مصنوعی [۱۲]

یانگ و همکاران [۷] آزمایش فشاری سه محوره بر روی نمونه‌های استوانه‌ای مرمر با دو ترک مصنوعی بسته در شرایط هندسه ترک غیر همپوشان و ثابت در نظر گرفتن طول ترک مصنوعی و طول و ترک بین دو ترک مصنوعی را بررسی کردند. بر اساس نتایج آزمایش تعدادی آزمایش‌های فشاری سه محوره، تأثیر بهم وصل شدن ترک روی خواص تغییر شکل با فشارهای جانبی متفاوت بررسی شد. نتایج نشان داد که نمونه‌های بکر و نمونه‌های با ترک مصنوعی بعد از تنفس حداکثر ویژگی‌های تغییر شکل متفاوتی دارند که با افزایش فشار جانبی از شکننده به شکل پذیر تغییر می‌کند. مقاومت نهایی و مد شکست نه تنها به هندسه ترک مصنوعی بلکه به فشار جانبی هم وابسته است. ژانگ و وانگ [۱۳] آزمایش فشاری تک محوره را روی مواد شبه سنگی دارای یک ترک با شیب‌های صفر تا 75° درجه نسبت به افق با مدل ذرات مجزا شبیه‌سازی انجام داده و بر اساس نتایج، تأثیر شیب ترک روی شروع و الگوی گسترش ترک را تحلیل کرد. همچنین ژانگ و وانگ [۱۴] آزمایش فشاری تک محوره را روی مواد شبه سنگی دارای دو ترک با مدل ذرات مجزا شبیه‌سازی کرده و نحوه ایجاد و بهم وصل شدن ترک‌ها را بررسی کردند. از آنچه گفته شد این نتیجه حاصل می‌شود که تأمل صحیح در رفتار مکانیکی سنگ واقعی در شرایط سه بعدی به شدت مورد نیاز است. بدین منظور در این پژوهش آزمایش‌های فشاری تک محوره بر روی نمونه‌های بازالت دارای دو ترک مصنوعی متفاوت بوسیله دستگاه هوشمند و در

۱- مقدمه

برای درک صحیح و پی بردن به فرآیند شکست و مکانیزم متفاوت ساختار توده‌سنگ در مهندسی سنگ محققان روی نمونه‌های دارای ترک مصنوعی بررسی‌های آزمایشگاهی تحت فشار تک محوره انجام داده‌اند. نتایج بررسی‌ها نشان می‌دهند که هندسه ترک مصنوعی، نقش کلیدی در رفتار مکانیکی سنگ دارد. بیشتر این بررسی‌ها روی مواد شبه سنگی تمرکز کرده‌اند که دلیل آن سادگی ساخت این مواد است. در این پژوهش‌ها رفتار شروع، گسترش و نحوه بهم وصل شدن ترک‌ها در مواد شبه سنگی تحت شرایط دو بعدی بررسی شده‌اند [۱-۷]. آزمایش‌های کمتری روی رفتار نمونه‌های سنگ واقعی دارای ترک مصنوعی انجام شده است. تعدادی از نتایج روی مواد شبه سنگی و سنگ واقعی با ترک مصنوعی تحت فشار تک محوره در زیر خلاصه شده است.

هری و نعمت [۱] مکانیزم شکست ترک‌های صفحه‌ای را روی مواد شبه سنگی بررسی و مشخص کرددند که طول ترک مصنوعی پارامتری کنترلی برای مد شکست نمونه است. وانگ و شرایبو [۸] انواع مدل‌ها و معیارهای شکست مصنوعی را بازیابی و خلاصه کردن و یک مدل شکست صدادار را از مشاهده رفتار شکست و براساس معیار تنفس و انرژی ساختند. بابت [۵-۶]، بابت [۹] زو و همکاران [۴]، وانگ و چائو [۱۰]، واسارلی و بابت [۱۱] گسترش و بهم وصل شدن ترک‌های مصنوعی دو بعدی را روی مواد شبه سنگی دارای ترک مصنوعی شیبدار باز یا بسته بررسی کردن. وانگ و چائو سه نوع اصلی بهم وصل شدن ترک دو بعدی (ترک کششی، ترک برشی و ترک‌های ترکیبی) در نمونه‌های با دو ترک مصنوعی تحت فشار تک محوره را بررسی کردند. در شرایط تک محوره و دو محوره، مطالعه آزمایشگاهی بهم وصل شدن دو ترک مصنوعی غیر همپوشان به درستی رفتار ایجاد شده را تایید نمود. آن‌ها همچنین مشخص کردن که پدیده‌های فیزیکی جدید اهمیت زیادی دارند. ترک‌های بالهای به خوبی آشکار و در نوک ترک مصنوعی به وجود می‌آینند. اما این ترک‌های بالهای با افزایش زاویه ترک به مرکز ترک مصنوعی منتقل می‌شوند و افزایش تنفس جانبی باعث توقف این ترک‌ها می‌شود [۱۰]. وانگ و همکاران [۶] بهم وصل شدن ترک و مقاومت نهایی مواد شبه سنگی دارای سه ترک را بررسی کردند. نتایج نشان داد که



شکل ۲: هندسه ترک مصنوعی در نمونه‌های بازالت. ۲a. طول ترک مصنوعی، ۲b. طول پل سنگ، ۲c. طول پله‌ای، α زاویه ترک مصنوعی. (الف) تا (د) نمونه‌های مدلسازی شده، (e) نمونه‌های آزمایشگاهی

مدلسازی مکانیزم شکست، نیازمند برنامه‌ای با قابلیت در نظر گرفتن ناهمگنی نمونه‌ها است. از این رو یک مدل میکرومکانیکی به منظور مطالعه تغییر شکل پذیری و فرآیند شکست سنگ بر مبنای در نظر گرفتن ناهمگنی سنگ در حد مزوسکوپی ارایه شده است. در این مدل عددی، ناهمگنی سنگ با فرض توزیع ویبال برای ویژگی‌های مختلف سنگ مانند مقاومت فشاری تک محوره، مدول الاستیسیته، ضربی پواسون و چگالی اعمال شده است. مکانیک شکست الاستیک به عنوان قانون اصلی برای المان‌های مزو و روش المان محدود به عنوان ابزار اصلی تحلیل تنش است. معیار تنش کششی ماقزیم و موهر-کولمب به عنوان معیارهای شکست اعمال شده‌اند. بر اساس این مدل یک برنامه عددی با عنوان تحلیل فرآیند شکست سنگ آتسوده داده شده است [۱۶].

همانگونه که اشاره شد در این نرمافزار از توزیع ویبال با تابع چگالی احتمال مطابق رابطه ۱ به منظور تولید نمونه‌های ناهمگن استفاده می‌شود.

$$f(u) = \frac{m}{u_0} \left(\frac{u}{u_0} \right)^{m-1} \exp \left(-\frac{u}{u_0} \right) \quad (1)$$

که در آن:

u پارامتر تخصیص داده شده به المان‌ها، همچون مقاومت یا مدول الاستیسیته
 u_0 پارامتر مقیاس
 m شاخص همگنی ماده

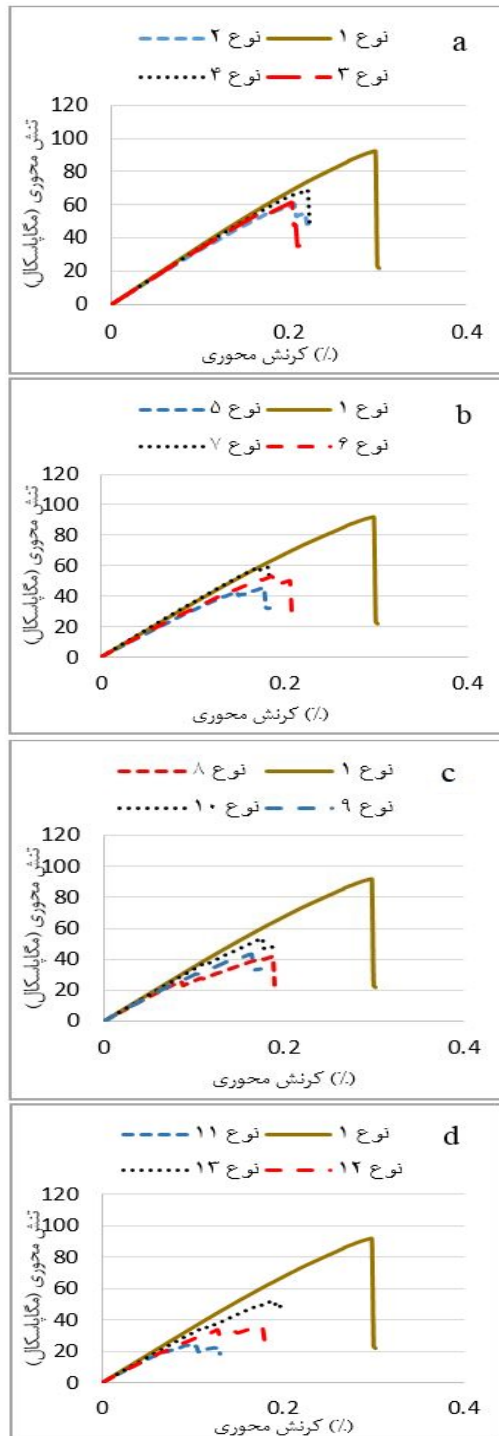
نمونه‌های حاوی یک، دو و سه ترک مصنوعی بوسیله مدلسازی عددی به روش المان محدود^۱ انجام گرفت. در این بررسی‌ها تأثیر هندسه‌های متفاوت ترک مصنوعی (زاویه و تعداد ترک مصنوعی) بر رفتار مقاومتی نمونه‌های واقعی بازالت است. همچنین نحوه بهم وصل شدن ترک‌ها در این مطالعه مورد بررسی قرار می‌گیرد.

۲- روش انجام آزمایش و مدل‌سازی

برای بررسی رفتار مکانیکی سنگ با ترک‌های مصنوعی متفاوت تحت فشار تک محوره، نمونه‌هایی از یک بلوک بازالت برای مطالعه انتخاب شد. ترکیب کانی‌شناسی این بازالت شامل کانی‌های مافیک، پلازیوکلаз، پیروکسن (دانه ریز و تا حدود خیلی کم دانه درشت) و چگالی آن حدود 3 gr/cm^3 است.

برای ایجاد ترک مصنوعی در نمونه بکر از یک دستگاه برش برقی پرسرعت استفاده شد. بوسیله این دستگاه ترک‌هایی با هندسه‌های متفاوت و با ضخامت 2 mm در نمونه آزمایشگاهی ایجاد شد اما برای نمونه‌های مدلسازی شده با نرمافزار ترک‌ها با ضخامت 1 mm در نظر گرفته شدند (شکل ۲). هندسه‌های مختلفی برای ترک مصنوعی (نوع ۱ تا ۱۶) در این مطالعه انتخاب شده‌اند که جزئیات آن‌ها در جدول ۱ خلاصه شده است. در جدول ۱ نمونه شماره ۱ سنگ بکر، نمونه‌های ۲ تا ۱۳ نمونه‌های مدلسازی شده و ۱۴ تا ۱۶ مربوط به نمونه‌های با ترک مصنوعی است که در آزمایشگاه ایجاد شده‌اند. همه آزمایش‌ها تحت شرایط طبیعی و با آهنگ جابه‌جایی کنترل شده 2 mm/s انجام شدند. در حین آزمایش فشاری تک محوره، مقدار بار اعمالی و تغییر شکل نمونه‌های بازالت آزمایش شده به طور همزمان ذخیره شد.

هندسه ترک مصنوعی نمونه‌های آزمایشگاهی و مدلسازی شده در شکل ۲ توصیف شده است. طول ترک مصنوعی $2a$ ، زاویه ترک مصنوعی (زاویه ترک مصنوعی با جهت تنش فشاری حداقل)، α ، طول وتر (فاصله میان دو ترک پله‌ای مصنوعی) $2b$ و طول پله‌ای (فاصله میان دو ترک پله‌ای مصنوعی) $2c$ است. مطابق با روش پیشنهادی انجمن بین المللی مکانیک سنگ [۱۵]، نسبت طول به قطر نمونه آزمایش شده باید بین ۲ تا ۳ بوده و اثر اصطکاک انتهای نمونه روی نتایج آزمایش شده کمینه باشد. بنابراین همه نمونه‌های بازالت به شکل استوانه با قطر 50 mm و طول 100 mm یعنی با نسبت طول به قطر ۲ تهیه و آماده شده‌اند.



شکل ۳: منحنی تنش محوری-کرنش محوری نمونه‌های بازالت با هندسه ترک‌های مختلف (نوع ۲ تا ۱۳) تحت فشار تک محوره، نوع ۱ نمونه بکر و نمونه‌های دیگر دارای ترک‌های مصنوعی مختلف هستند.

جدول ۱: هندسه ترک‌های مصنوعی نمونه‌های بازالت تحت فشار تک محوره

نوع هندسه ترک	شماره ترک مصنوعی	تعداد ترک	-a	2a (mm)	2b (mm)	2c (mm)
۱	-	-	-	-	-	-
۲	۱	۱	۳۰	۱۴	-	-
۳	۱	۱	۴۵	۱۴	-	-
۴	۱	۱	۶۰	۱۴	-	-
۵	۱ و ۲	۲*	۳۰	۱۴	۱۴	-
۶	۱ و ۲	۲*	۴۵	۱۴	۱۴	-
۷	۱ و ۲	۲*	۶۰	۱۴	۱۴	-
۸	۱ و ۳	۲***	۳۰	۱۴	-	۱۰
۹	۱ و ۳	۲***	۴۵	۱۴	-	۱۰
۱۰	۱ و ۳	۲***	۶۰	۱۴	-	۱۰
۱۱	۱ و ۳ و ۳	۳	۳۰	۱۴	۱۴	۱۰
۱۲	۱ و ۳ و ۳	۳	۴۵	۱۴	۱۴	۱۰
۱۳	۱ و ۳ و ۳	۳	۶۰	۱۴	۱۴	۱۰
۱۴	۱ و ۳	۲	۳۰	-	۲۹	۱۰
۱۵	۱ و ۳	۲	۴۵	-	۳۵	۱۰
۱۶	۱ و ۳	۲	۶۰	-	۴۵	۱۰

* ترک‌های ناممتد

** ترک‌های پله‌ای

۳- مقاومت و تغییر شکل نمونه‌های بازالت

شکل ۳ منحنی تنش محوری-کرنش محوری برای نمونه‌های بازالت با هندسه ترک‌های مختلف (نوع ۱ تا ۱۳) تحت فشار تک محوره نشان می‌دهد. نوع ۱ نمونه بکر، اما انواع ۲ تا ۱۳ نمونه‌های با ترک مصنوعی مختلف هستند. چنانچه از این شکل مشخص است هندسه ترک مصنوعی، یک نقش کلیدی در رفتار مقاومت و تغییر شکل نمونه‌های بازالت دارد.

با دو ترک ناممتد و با سه ترک مصنوعی کمترین مقدار را در زاویه ۳۰ درجه دارند.

جدول ۲: پارامترهای مکانیکی نمونه‌های بازالت بکر و ترک‌دار با هندسه‌های مختلف تحت فشار تک محوره

ϵ_{cr} (%)	E_{sec} (GPa)	E_{50} (GPa)	E_s (GPa)	UCS (Mpa)	شماره ترک	تعداد ترک	نوع هندسه	ترک
۰/۲۹۸	۳۰/۹	۳۴/۹۱	۲۲/۳۷	۹۲	-	-	-	۱
۰/۲۰۶	۲۹/۴۶	۳۳/۲۵	۳۱/۳۶	۶۰/۶	۱	۱	۱	۲
۰/۲۰۴	۳۰/۱۶	۳۳/۸۹	۳۲/۷	۶۱/۵	۱	۱	۱	۳
۰/۲۲۲	۳۱/۲۴	۳۴/۳۳	۳۲/۶۷	۶۹/۳	۱	۱	۱	۴
۰/۱۷۸	۲۵/۴۲	۳۱	۳۰/۵	۴۵/۳	۱ و ۲	۲*	۲*	۵
۰/۱۹۴	۲۷/۴۱	۳۱/۸۷	۳۰/۱۴	۵۳/۱	۱ و ۲	۲*	۲*	۶
۰/۱۸۲	۳۲/۲۸	۳۶/۰۱	۳۵/۰۴	۵۸/۷	۱ و ۲	۲*	۲*	۷
۰/۱۸۸	۲۲/۱	۳۰/۶	۲۸/۷۲	۴۱/۵	۱ و ۳	۲**	۲**	۸
۰/۱۶۴	۲۶/۶۱	۳۱/۸۳	۲۹/۳۷	۴۳/۶	۱ و ۳	۲**	۲**	۹
۰/۱۷۶	۳۰/۴۲	۳۳/۸	۳۳/۴۵	۵۳/۵	۱ و ۳	۲**	۲**	۱۰
۰/۰۹۶	۲۵/۳۶	۳۰/۴۷	۲۹/۸	۲۴/۳	۱ و ۳	۳	۳	۱۱
۰/۱۷۲	۲۰/۸۱	۲۹/۸۳	۲۶/۱۵	۳۵/۸	۱ و ۳	۳	۱۲	
۰/۱۸۸	۲۷/۹۴	۳۲/۴	۳۱/۶۲	۵۲/۵	۱ و ۳	۳	۱۳	
-	-	-	-	۳۰	۱ و ۳	۲	۱۴	
-	-	-	-	۳۱/۵	۱ و ۳	۲	۱۵	
-	-	-	-	۵۳/۱۴	۱ و ۳	۲	۱۶	

* ترک‌های ناممتد
** ترک‌های پلله‌ای

در جدول ۲:

UCS مقاومت فشاری تک محوره
 ϵ_{cr} کرنش محوری متناظر با تنش حداکثر
Es مدول یانگ مماسی
E50 مدول متوسط در ۵۰ درصد مقاومت نهایی
Esec مدول سکانتی شبیب

با توجه به شکل ۴ و جدول ۲ می‌توان تأثیر هندسه ترک مصنوعی را روی مقاومت نهایی، کرنش محوری متناظر با تنش حداکثر، مدول‌های یانگ مماسی، متوسط و سکانتی تحلیل و بحث کرد. بدیهی است که مقاومت فشاری تک محوره، مدول یانگ و کرنش محوری متناظر با تنش حداکثر نمونه‌های بازالت ترک‌دار کمتر از نمونه بکر هستند و از طرفی با افزایش تعداد ترک، مقاومت فشاری تک محوره و مدول یانگ کاهش می‌یابد. مقدار کاهش این مقادیر ارتباط نزدیکی با هندسه ترک مصنوعی دارد. در نمونه‌هایی که دارای دو ترک ناممتد هستند مقادیر مقاومت و مدول یانگ بیشتر از نمونه‌هایی است که در آنها دو ترک حالت پلله‌ای دارند.

چنانچه جدول ۲ نشان می‌دهد مقاومت فشاری تک محوره در نمونه‌های ترک‌دار از ۲۶ تا ۷۵ درصد مقاومت نمونه بکر تغییر می‌کند. از شکل ۴a به کمک جدول ۱ می‌توان نتیجه گرفت که مقاومت تک محوره با افزایش طول، تعداد و یا زاویه ترک مصنوعی کاهش می‌باید اما طول و زاویه وتر روی مقاومت نمونه‌های ترک‌دار تأثیر مشخصی ندارد.

در این مطالعه، مدول یانگ مماسی، متوسط و سکانتی نمونه بازالت بکر به ترتیب ۳۴/۹۱، ۳۳/۳۷ و ۳۰/۹ گیگاپاسکال بود. میانگین این سه نوع مدول یانگ در نمونه‌های ترک‌دار از ۷۶ تا ۱۰۴ درصد میانگین این مدول‌ها در نمونه بکر تغییر می‌کند. مقدار مدول یانگ نمونه ترک‌دار نوع ۱۲ (دارای سه ترک با زاویه ۴۵ درجه) نسبت به سایر نمونه‌های ترک‌دار کمتر است که دلیل آن وجود سه ترک در نمونه است که باعث بیشترین تغییر شکل در فرآیند بارگذاری محوری و کمترین مقدار مدول یانگ می‌شود. مدول یانگ نمونه نوع ۷ (دارای دو ترک دارای بیشترین مقدار بوده که به علت وجود کمترین تغییر شکل در نمونه است که این خود به دلیل مقدار زاویه ترک است).

در تنش فشاری حداکثر مقدار کرنش نمونه بکر ۰/۲۹۸ است. در حالی که در نمونه‌های ترک‌دار این مقدار از ۰/۰۹۶ درصد (نوع ۱۱، دارای سه ترک با زاویه ۳۰ درجه) تا ۰/۲۲۲ (نوع ۴، دارای یک ترک با زاویه ۶۰ درجه) تغییر می‌کند. علاوه بر این، کرنش محوری متناظر با تنش حداکثر در نمونه‌های دارای یک ترک و یا دو ترک پلله‌ای مصنوعی با زاویه ۴۵ درجه، دارای کمترین مقدار هستند، این در حالتی است که نمونه‌های

همه انواع ترک‌ها در نمونه‌های مدلسازی شده مشاهده شد که در زیر توصیف می‌شوند:

ترک کششی نوع ۱: ترک‌های بالهای به طور معمول اولین ترک‌هایی بودند که از نوک ترک مصنوعی در نمونه‌ها (نوع ۵، ۶، ۸، ۱۰، ۱۱، ۱۲ و ۱۳) شروع شدند. این ترک‌ها در ابتداء عمود بر ترک مصنوعی بوده و در ادامه در جهت تنفس محوری گسترش یافته و به تدریج متوقف می‌شدند.

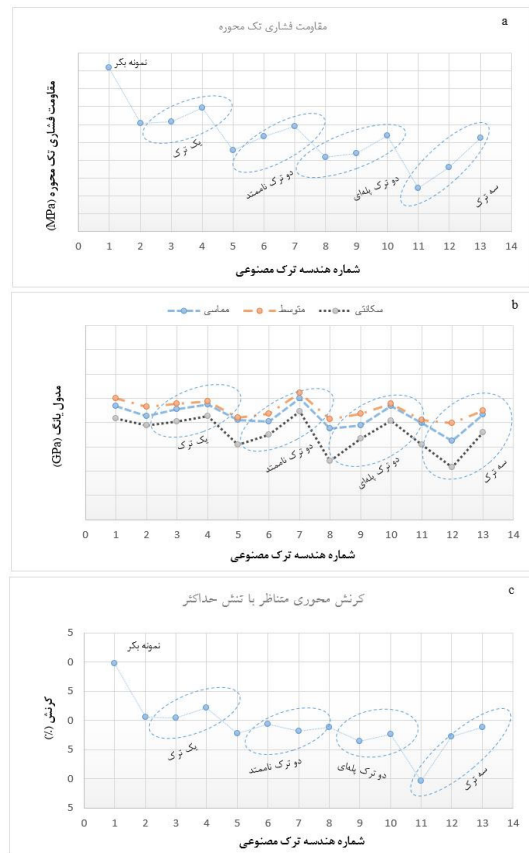
ترک کششی نوع ۲: شبیه به ترک کششی نوع ۱ و به طور معمول از نوک ترک مصنوعی در نمونه‌ها (نوع ۱، ۹، ۱۰، ۱۱، ۱۲ و ۱۳) شروع می‌شود. این ترک‌ها بر خلاف ترک‌های قبلی ابتدا با زاویه‌ای کم نسبت به ترک مصنوعی شروع شده و به تدریج در جهت تنفس محوری گسترش می‌یافندند.

ترک کششی نوع ۳: ترک‌های کششی پاد بالهای به طور معمول از نوک ترک مصنوعی در نمونه‌ها (نوع ۵، ۶، ۱۱، ۱۲ و ۱۳) شروع شدند. این ترک‌ها در جهت عکس ترک‌های کششی نوع ۲ شروع شده و از همان ابتدا در جهت تنفس محوری گسترش می‌یابندند.

ترک برشی نوع ۱: شبیه به ترک کششی نوع ۲ و به طور معمول از نوک ترک مصنوعی در نمونه‌ها (نوع ۱، ۹، ۱۰، ۱۱، ۱۲ و ۱۳) شروع می‌شود. این ترک‌ها همچنین با زاویه‌ای کم نسبت به ترک مصنوعی شروع شده و به تدریج در جهت تنفس محوری گسترش می‌یابند ولی بر خلاف ترک کششی نوع ۲ کاملاً موازی با آن نمی‌شوند.

ترک برشی نوع ۲: این ترک برشی از نوک ترک مصنوعی نمونه (نوع ۷) شروع و در راستای ترک مصنوعی گسترش می‌یابد تا دو ترک بهم وصل شوند.

ترک برشی نوع ۳: شبیه به ترک کششی نوع ۳ است و به طور معمول از نوک ترک مصنوعی در نمونه‌ها (نوع ۵، ۶، ۱۰، ۱۱ و ۱۳) شروع می‌شود. این ترک‌ها بر خلاف ترک کششی نوع ۳ با یک زاویه نسبتاً کم با راستای تنفس محوری است.

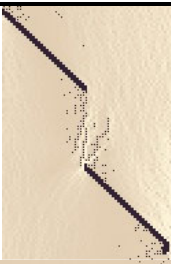
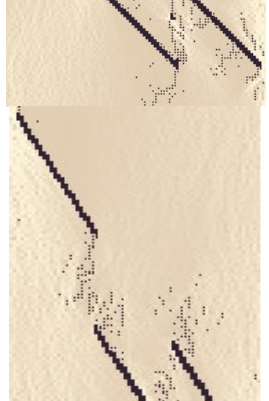


شکل ۴: تأثیر هندسه ترک مصنوعی بر مقاومت و پارامترهای تغییر نمونه‌های بازالت تحت فشار تک محوره

۴- بهم وصل شدن ترک‌ها

برای نمونه بکر (نوع ۱) شکست برشی اتفاق افتاد که با نتایج آزمایشگاهی از سنگ‌های شکننده [۷] تطابق خوبی داشت. همچنین طبق نتایج مدلسازی برای نمونه‌های ترکدار (نوع ۲ تا ۱۳) تحت فشار تک محوره، مدهای شکست مختلفی نسبت به نمونه بکر مشاهده شد. بهم وصل شدن ترک در بیشتر موارد از نوک ترک‌های مصنوعی در نمونه‌های ترکدار مشاهده شد و مذکوت شد. بهم وصل شدن ترک در نمونه وابسته بود.

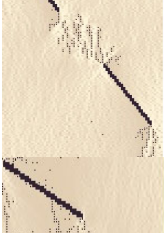
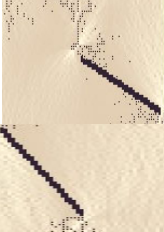
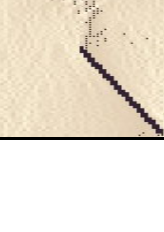
این مطالعه ۷ نوع ترک مختلف را نشان می‌دهد که بر اساس هندسه ترک مصنوعی و مکانیزم گسترش ترک (کششی، برشی و ترکیب کششی-برشی) شناسایی شدند (جدول ۳). بر طبق مطالعه وانگ و ایشتین [۱۲] سه نوع ترک کششی، سه نوع ترک برشی و یک نوع ترک ترکیبی کششی-برشی وجود دارد.

ترک‌ها به طور مستقیم بهم متصل شدند، ترک کششی نوع ۱ و ۲		۱۰
ترک‌ها به طور مستقیم بهم متصل شدند، ترک کششی نوع ۱، ۲ و ۳، ترک ترکیبی کششی- برشی و برشی نوع ۱		۱۱
ترک‌ها به طور مستقیم بهم متصل شدند، ترک کششی نوع ۱ و ۲ و ۳، ترک ترکیبی کششی- برشی و برشی نوع ۱ و ۳		۱۲
ترک‌ها به طور مستقیم بهم متصل شدند، ترک کششی نوع ۱ و ۲ و ۳، ترک ترکیبی کششی- برشی و برشی نوع ۱ و ۳		۱۳

با اقتباس از انواع ترک‌های تولید شده و نحوه بهم وصل شدن آن‌ها در نرمافزار RFPA، مد شکست نمونه‌های بازالت (جدول ۳) مورد بررسی قرار می‌گیرد. در نمونه‌های ترک‌دار چندین نوع ترک متفاوت تشکیل می‌شود و مدهای شکست متفاوتی بوجود می‌آید. برای مثال در نمونه دارای دو ترک ناممتد با زاویه شیب ۳۰ درجه، ترک‌های مصنوعی بهم متصل نمی‌شوند و در نمونه دارای دو ترک ناممتد با زاویه شیب ۴۵ درجه ترک‌های مصنوعی به طور غیر مستقیم و در نمونه‌های دیگر، ترک‌های مصنوعی به طور مستقیم بهم متصل می‌شوند. در تعدادی از

ترک ترکیبی کششی-برشی: این نوع ترک، ترکیبی از ترک کششی نوع ۲ و ترک برشی نوع ۱ بوده و به طور معمول از نوک ترک مصنوعی در نمونه‌ها (نوع ۸، ۹، ۱۱، ۱۲ و ۱۳) شروع می‌شود. این ترک‌ها در زاویه‌ای کم نسبت به ترک مصنوعی (شبیه به ترک برشی نوع ۱) شروع شده و به تدریج در جهت تنش محوری (شبیه به ترک کششی نوع ۲) گسترش می‌یابد.

جدول ۳: طبقه‌بندی انواع ترک‌های تشکیل شده و نحوه بهم متصل شدن ترک‌ها

نحوه بهم وصل شدن	نوع		
الگوی گسترش ترک	هندسه		
تولید شده	ترک		
ترک‌ها بدون آنکه بهم متصل شوند گسترش یافته‌ند، ترک کششی نوع ۱ و ۳ و ترک برشی نوع ۳	۵		۵
ترک‌ها به طور غیر مستقیم بهم متصل شدند، ترک کششی نوع ۱ و ۳ و ترک برشی نوع ۳	۶		۶
ترک‌ها به طور مستقیم بهم متصل شدند، ترک برشی نوع ۲	۷		۷
ترک‌ها به طور مستقیم بهم متصل شدند، ترک کششی نوع ۱ و ۲ و ترک ترکیبی کششی-برشی و برشی نوع ۱	۸		۸
ترک‌ها به طور مستقیم بهم متصل شدند، ترک کششی نوع ۲ و ترک ترکیبی برشی-کششی و برشی نوع ۱	۹		۹

۶۰ درجه) در بین تمام نمونه‌های ترک‌دار دارای بیشترین مقدار است که به دلیل وجود کمترین تغییر شکل در نمونه است.

۷- نوع ترک با مکانیزم متفاوت در واکنش به بارگذاری تک محوره شروع شد که شروع اغلب آن‌ها از نوک ترک مصنوعی بود. ترک‌های کششی نوع ۱ و ۲ به طور معمول اولین ترک‌ها بودند که از نوک ترک مصنوعی شروع می‌شدند. ترک کششی نوع ۳ معمولاً به عنوان ترک ثانویه بعد از ترک اولیه بود که همراه با ترک کششی نوع ۱ و ۲ مشاهده شد ولی جهت گسترش آن عکس جهت ترک‌های کششی نوع ۱ و ۲ بود. ترک برشی نوع ۲ فقط در نمونه ترک‌دار نوع ۷ ولی انواع ترک‌های دیگر در اکثر نمونه‌ها تشکیل شدند.

۸- در نمونه دارای دو ترک ناممتد با زاویه شیب ۳۰ درجه، ترک‌های مصنوعی بهم وصل نشدند اما نمونه دارای دو ترک ناممتد با زاویه شیب ۴۵ درجه، ترک‌های مصنوعی به طور مستقیم و در نمونه‌های دیگر، ترک‌های مصنوعی به طور مستقیم بهم وصل شدند. در تعدادی از نمونه‌ها هم، ترک‌های مصنوعی از طریق یک یا چند مسیر بهم رسیدند و نیز در بعضی از موارد چند نوع ترک با یکدیگر تشکیل شدند.

نمونه‌ها، ترک‌های مصنوعی از طریق یک یا چند مسیر بهم متصل می‌شوند و همچنین چند نوع ترک به طور همزمان تشکیل می‌شوند.

در این بخش، نحوه بهم وصل شدن ترک‌ها و انواع ترک‌های تولید شده نمونه‌های ترک‌دار با انواع هندسه‌های متفاوت ترک مصنوعی (زاویه و تعداد ترک مصنوعی) تحت آزمایش فشاری تک محوره مورد بررسی قرار گرفت. اگرچه این نتایج کیفی هستند ولی در بررسی رفتار شکست سنگ بسیار اهمیت دارند.

۵- نتیجه‌گیری

براساس نتایج آزمایشگاهی و مدلسازی عددی روی نمونه‌های بازالت با ترک‌های مصنوعی مختلف نتایج زیر بدست آمد:

- میزان کاهش مقاومت فشاری تک محوره و کرنش محوری متناظر با تنش حداکثر ارتباط نزدیکی با هندسه ترک مصنوعی دارد. با افزایش تعداد و زاویه ترک مصنوعی مقدار مقاومت تک محوره فشاری کاهش یافت.

- مدول یانگ نمونه ترک‌دار نوع ۱۲ (دارای سه ترک با زاویه ۴۵ درجه) کمترین مقدار است که دلیل آن وجود سه ترک در نمونه است که باعث بیشترین تغییر شکل و کمترین مدول یانگ می‌شود. مدول یانگ نمونه نوع ۷ (دو ترک ناممتد با زاویه

۶- مراجع

- [5] Bobet A. The initiation of secondary cracks in compression .Engineering Fracture Mechanics 2000;66(2):187-219.
- [6] Wong R, Chau K, Tang C, Lin P. Analysis of crack coalescence in rock-like materials containing three flaws—part I: experimental approach. International Journal of Rock Mechanics and Mining Sciences 2001;38:909-24.
- [7] Yang S, Jiang Y, Xu W, Chen X. Experimental investigation on strength and failure behavior of pre-cracked marble under conventional triaxial compression. International Journal of Solids and Structures 2008;45(17):4796-819.
- [8] Wang E ,Shrive N. Brittle fracture in compression: mechanisms, models and criteria. Engineering Fracture Mechanics 1995;52(6):1107-26.
- [9] Bobet A, Einstein H. Fracture coalescence in rock-type materials under uniaxial and biaxial compression.
- [1] Horii H, Nemat-Nasser S. Compression-induced microcrack growth in brittle solids: Axial splitting and shear failure. Journal of Geophysical Research: Solid Earth (1978–2012) 1985;90(B4):3105-25.
- [2] Shen B. The mechanism of fracture coalescence in compression—experimental study and numerical simulation. Engineering Fracture Mechanics 1995;51(1):73-85.
- [3] Shen B, Stephansson O, Einstein HH, Ghahreman B. Coalescence of fractures under shear stresses in experiments. Journal of Geophysical Research: Solid Earth 1995;100(B4):5975-90.
- [4] Zhu WS, Chen WZ, Shen J. Simulation experiment and fracture mechanism study on propagation of echelon pattern cracks. Acta Mechanica Solida Sinica 1998;19:355-60.

compression: a numerical study based on parallel bonded-model approach. Rock Mechanics and Rock Engineering 2012;45:711-737.

[14] Zhang XP, Wong LNY Crack initiation, propagation and coalescence in rock-like material containing two flaws: a numerical study based on bonded-particle model approach. Rock Mechanics and Rock Engineering 2013;46:1001-1021.

[15] Fairhurst C, Hudson J. Draft ISRM suggested method for the complete stress-strain curve for intact rock in uniaxial compression. International Journal of Rock Mechanics and Mining Sciences 1999;36(3):279-89.

[16] ZhuW, TangC. Micromechanical model for simulating the fracture process of rock. Rock Mechanics and Rock Engineering 2004;37(1):25-56.

International Journal of Rock Mechanics and Mining Sciences 1998;35(7):863-88.

[10] Wong RH, Chau K. Crack coalescence in a rock-like material containing two cracks. International Journal of Rock Mechanics and Mining Sciences 1998;35(2):147-64.

[11] Vasarhelyi B, Bobet A .Modeling of crack initiation, propagation and coalescence in uniaxial compression. Rock Mechanics and Rock Engineering 2000;33(2):119-39.

[12] Wong L, Einstein H. Systematic evaluation of cracking behavior in specimens containing single flaws under uniaxial compression. International Journal of Rock Mechanics and Mining Sciences 2009;46(2):239-49.

[13] Zhang X, Wong L. Cracking processes in rock-like material containing a single flaw under uniaxial

1Finite Element Method (FEM)

2ISRM

3Rock Failure Process Analysis (RFPA)

بررسی عددی تأثیر خصوصیات تودهسنگ و نوع ماده منفجره در آسیب انفجار به شیب‌های سنگی

علی حق‌نژاد^۱; کاوه آهنگری^{۱*}; پرویز معارفوند^۲; کامران گشتاسبی^۳

۱- دکتری مهندسی معدن، گروه مهندسی معدن، دانشگاه آزاد اسلامی واحد علوم و تحقیقات، تهران، ایران

۲- دکتری مهندسی معدن، دانشکده مهندسی معدن و متالورژی، دانشگاه صنعتی امیرکبیر، تهران، ایران

۳- دکتری مهندسی معدن، دانشکده مهندسی معدن، دانشگاه تربیت مدرس، تهران، ایران

پذیرش: ۱۳۹۴/۰۶

دریافت: ۱۳۹۴/۰۳

چکیده

انفجار، منجر به اغتشاش در تودهسنگ و آسیب آن می‌شود. در این بررسی تلاش شده تا با استفاده از مدل‌سازی عددی المان مجزای سه‌بعدی دو شیب تقریباً مشابه، آسیب انفجار ناشی از دو ماده منفجره آنفو و امولایت ارزیابی گردد. در این راستا از ۴ خصوصیت متفاوت تودهسنگ و دو حالت ناپیوستگی با امتدادهای مخالف و موافق رویه شیب در مدل‌سازی استفاده شد. آسیب انفجار توسط زون‌های احتمالی شکست نرمافزار 3DEC بررسی کیفی و با استفاده از مقادیر حداقل سرعت ذرات که طی انفجارها ثبت شده است، ارزیابی کمی گردید. براین اساس، مشخص شد که ناپیوستگی‌های زمین‌شناسی باعث کنترل جریان پلاستیک شکست‌های کششی و برشی می‌گردد. البته ناپیوستگی‌های با راستای موافق رویه شیب نقش مؤثرتری در کاهش آسیب انفجار بازی می‌کنند. با افزایش مقاومت تودهسنگ و با ناپیوستگی‌هایی موافق رویه شیب، تأثیر انفجار امولایت از ۱۰ متری دهانه چال کمتر از انفجار آنفو می‌گردد. با توجه به تأثیر ناپیوستگی‌ها در کنترل آسیب، استفاده از ناپیوستگی‌های مصنوعی مانند آنچه در انفجار پیش‌شکافی توسعه می‌یابد، روش مناسبی برای کاهش آسیب و جلوگیری از ایجاد ناپایداری در شیب‌ها خواهد بود.

ناپیوستگی تودهسنگ، آسیب انفجار، خصوصیات تودهسنگ، آنفو، امولایت، 3DEC

وازگان کلیدی

ایجاد ناپایداری دیواره‌های معدن شده است [۲]. بر اساس منابع بررسی‌کننده آسیب انفجار، پارامترهای ۱) خصوصیات تودهسنگ؛ ۲) طرح انفجاری؛ و ۳) خصوصیات مواد منفجره به عنوان عوامل مؤثر در انفجار تعیین شده‌اند [۳]. نجم و همکاران به بررسی لرزش زمین به عنوان یکی از تأثیرات جانبی انفجار پرداخته‌اند. از دیدگاه آن‌ها لرزش زمین می‌تواند باعث انتقال انرژی مواد منفجره، کاهش میزان تولید و حتی

۱- مقدمه

انفجار، فرآیندی شیمیایی- فیزیکی- مکانیکی است که بررسی‌های پیشین تلاش نموده‌اند تا هریک، جزو این فرآیندها را تأیید و یا اصلاح نمایند [۱]. اما گستردگی و پیچیدگی آن‌ها، همچنان که هوک پس از بررسی‌های خود اعلام نموده، مانع از آشکارسازی فرآیند انفجار و نقش آن در

* ایران، تهران، انتهای بزرگراه ستاری، میدان دانشگاه، دانشگاه آزاد اسلامی، واحد علوم و تحقیقات، دانشکده مهندسی، گروه مهندسی معدن؛

کد پستی: ۱۴۷۷۸۹۳۸۵۵، صندوق پستی: ۱۴۵۵/۴۹۳۳ و ۱۴۱۵/۷۷۵؛ شماره تلفن: ۰۹۱۲۴۵۹۸۲۱۴؛ شماره دورگاه: ۰۲۱۴۴۸۶۸۴۲۱؛

پست الکترونیکی: kaveh.ahangari@gmail.com

بر اساس نتایج بررسی های پیشین سه خصوصیت توده سنگ، ناپیوستگی های زمین شناسی و ماده منفجره جهت ارزیابی آسیب انفجار موردنظر قرار گرفته و با توجه به اینکه اکثر پارامترهای یادشده توسط کونیا و والتر به جز این سه پارامتر ثابت می باشند، اثر آن ها در این بررسی اعمال نشده است. این ارزیابی بر اساس پیشنهاد هوک که مدل سازی عددی را ابزار مناسبی در تخمین آسیب انفجار اعلام نموده [۲]، توسط المان مجازی سه بعدی (3DEC) انجام شده است. در این خصوصیات یک شبیه ساده با دو حالت ناپیوستگی زمین شناسی متفاوت نسبت به سطح شبیه دیواره در نظر گرفته شد. هر یک از این حالت ها بر اساس خصوصیات توده سنگ های قوی و متوسط تقسیم بندی شده و سپس فشار گمانه ای به آن ها اعمال گردید. با استفاده از زبان برنامه نویسی فیش، ثبت PPV در راستای یک خط که از دهانه چال آغاز و تا انتهای طولی مدل تعریف شده، امکان ارزیابی کمی آسیب انفجار فراهم شد. از شاخص گذاری زون های احتمالی شکست نرم افزار 3DEC نیز برای ارزیابی کیفی آسیب استفاده گردید. شبیه سازی ها ابتدا بر اساس دو حالت یادشده و ۴ مدل برای انفجار آنفو انجام گردید. در ادامه، جهت شناسایی تأثیر نوع ماده منفجره از شبیه سازی انفجار امولایت استفاده و آسیب آن نیز ثبت شده است.

۲- روش تحقیق

- ۱-۲ هندسه مدل

نخست دو شب تقریباً مشابه با سه پله ۱۵ متری و شب پلهای ۵۵° بر اساس پیشنهاد واپلی و ماه [۹] با ابعاد (۰ .۰ الی ۱۵ .۰)، (۰ .۰ الی ۹۵) و (۵ .۰ الی ۱۵ .۰) به ترتیب در راستای محورهای X Y Z توسعه یافت. مطابق روابط پیشنهادی هاسترولید، بارسینگ چالها ۴ m، فاصله‌داری ۵ m و اضافه حفاری آنها ۳m محاسبه شد [۳]. فشار دینامیکی انفجار در سه چال با قطر ۲۰۰ mm، طول خرج گذاری ۱۲ m و گل گذاری ۶ m با خصوصیات ماده منفجره آنفو اعمال گردیده است. انفجار هر سه چال همزمان بوده و فشار دینامیکی معادل ۶۶ kg آنفو (و سپس امولایت) تعیین گردید.

سه نایپوستگی با فاصله داری m ۱۵ توسعه یافته و در سطح پله کاری به ترتیب در فاصله m ۱۰، ۲۵ و ۴۰ جانمایی شد (شکل ۱). تنها تفاوت دو مدل در راستای نایپوستگی های زمین شناسی نسبت به شب است. در شکل ۱-الف نایپوستگی ها دارای ۳ اویه

تنزل و کاهش در فعالیتهای توسعه‌ای معادن شود. بر اساس نتایج آن‌ها، ارتباط غیرخطی میان مقدار خرج مصرف شده با حداکثر سرعت ذرات (PPV) وجود داشته و ماده منفجره آنفو در مقایسه با امولان لرزش زمین کمتری ایجاد می‌نماید [۴].
حسینی و سن بهمنظور بررسی شدت لرزش زمین از آتالیز سه روش انفجاری و دو نوع ماده منفجره مختلف در یک معدن روباز زغال‌سنگ استفاده نموده‌اند. آن‌ها اعلام نموده‌اند، نرخ کاهش لرزش با افزایش فاصله مقیاس‌دار (نسبت فاصله از محل انفجار به محدود خرج انفجاری) و یا مواد منفجره با انرژی لرزشی بالاتر، از شدت کمتری برخوردار است. همچنین تأثیر نوع مواد منفجره بر روی کاهش لرزش در محدوده‌های پایین‌تر فاصله مقیاس‌دار، افزایش می‌یابد [۵].

کونیا و والتر از بارسنج، فاصله‌داری، اضافه حفاری، طول گل‌گذاری، نوع گل‌گذاری، ارتفاع پله، تعداد سطح آزاد، هندسه خرج، طماسته: خرج، تعداد باریم، تکیه، باریم، تعداد و

نوع بوستر، تعداد چال در هر ردیف، تعداد ردیف‌ها، نوع آغازگرها، تأخیر ردیف به ردیف، تأخیرهای درون چال، دقت آغازگرها، فاصله تا سازه، زاویه سطح انفجاری نسبت به سازه، نوع سنگ، عوامل زمین‌شناسی و انرژی انفجار به عنوان عوامل مؤثر در لرزش زمین پاد نموده‌اند [۶].

آک و کونوک معتقدند معادلات تجربی پیش‌بینی کننده لرزش زمین ناشی از انفجار (معادله (۱)) در شرایطی که خرج انفجاری (Q) و یا فاصله از محل انفجار (R) متغیر می‌باشد، رویه مناسبی برای پیش‌بینی لرزش زمین هستند؛ اما آن‌ها مهم‌ترین نقش این معادلات را عدم در نظر گرفتن تأثیر ناپیوستگی‌های زمین‌شناسی اعلام نموده‌اند. لذا با برداشت زمین‌شناسی ناپیوستگی‌های دارای بازشدنی بیش از 2 ms در پله‌های انفجاری در یک معدن سطحی در ترکیه، تأثیرات فراوانی ناپیوستگی‌ها (۸) در انتشار لرزش‌های زمین را تحلیل نموده‌اند. پس از آنکه تأثیرات اولیه ناپیوستگی‌ها مشخص شده، این موضوع به صورت پارامتری در معادله نیکولز و همکاران به صورت معادله (۲) اضافه شد [۷].

$$PPV = k(R/Q^{0.5})^{-b} \quad (1)$$

$$PPV = 245.975(SD)^{-1.473} \times \lambda^{-0.305} \quad (7)$$

که k پارامتر زمین‌شناسی (شامل بافت سنگ و ساختارهای زمین‌شناسی و غیره) و b پارامتر طرح انفجار (شامل بارسنگ، فاصله‌داری و غیره) در هر سایت می‌باشند [۸].

رفتاری ناپیوستگی‌ها نیز الاستیک-پلاستیک کامل در نظر گرفته شده است.

۳-۲- حل استاتیکی

پس از ساخت هندسه‌ها، هر مدل بر اساس جدول ۱ حل استاتیکی گردید تا به تعادل اولیه برسد. ابعاد مش مدل بر اساس پژوهش‌های وی-هونا و همکاران [۱۲] و عزیزآبادی و همکاران [۱۳] معادل یک‌دهم کوچک‌ترین طول موج و برابر با ۲ m در نظر گرفته شد.

مرزهای مدل به جز در طول بارسنگ، کل عرض مدل و ارتفاع چال انفجاری، ثابت گردید تا تنها امکان انبساط در راستای محور X یا سطح آزاد وجود داشته باشد.

۴-۲- شبیه‌سازی فشار گمانه‌ای

با توجه به معايیت معادلات حالت و توابع فشار ساده که توسط ایلماز و اونلو [۱۴] بیان گردیده، شبیه‌سازی فشار گمانه‌ای توسط تابع فشار-افت صورت پذیرفت. جهت اطمینان از صحت شبیه‌سازی فشار، ابتدا فشار گمانه‌ای ناشی از انفجار آنفو در چالی با قطر ۲۰۰ mm و طول ۱۵ m مبنای انتخاب تابع فشار-افت مناسب قرار گرفت. زیرا بررسی مکنیزی در شرایط تقریباً مشابه نشان داده انفجار آنفو فشاری معادل ۲/۶ GPa ایجاد می‌نماید [۱۵].

توابع جانگ و همکاران [۱۶] و یانگ و همکاران [۱۷] مقادیر کمتر از ۲/۶ GPa را نشان داده‌اند اما درنهایت با استفاده از تابع مورداستفاده علی‌آبادیان و شرفی‌صفا [۱۸] حداکثر فشار گمانه‌ای ۲/۵ GPa کسب شد. مزیت این تابع نسبت به توابع پیشین استفاده از پارامترهای چگالی، مدول حجمی، مدول برشی و سرعت امواج P سنگ می‌باشد که باعث می‌گردد، تابع افت فشار به شرایط سنگ نیز وابسته باشد. لذا معادله‌های (۷) الی (۱۱) برای شبیه‌سازی فشار گمانه‌ای استفاده شد.

$$PD = 432 \times 10^{-6} \frac{\rho_e V_d^2}{I + 0.8 \rho_e} \quad (7)$$

$$PE = \frac{1}{2} PD \quad (8)$$

$$PW = PE \left(\frac{r_h}{r_e} \right)^{-qk} \quad (9)$$

$$P(t) = PW \frac{8 \rho_r C_p}{\rho_r C_p + V_d \rho_e} \left[e^{(-Bt/\sqrt{2})} - e^{(-\sqrt{2}Bt)} \right] \quad (10)$$

$$C_p = \sqrt{(K + 4G/3)/\rho} \quad (11)$$

که PD فشار انفجار (MPa)، ρ_e چگالی ماده منفجره

۴۵ درجه خلاف رویه شیب (آزیموت ۹۰ درجه) می‌باشد. در سوی دیگر، ناپیوستگی‌های شکل ۱-ب از همین زاویه اما در راستای رویه شیب (آزیموت ۲۷۰ درجه) برخوردارند.

۲-۲- خصوصیات تودهسنگ

معیار شکست هوک-براؤن به عنوان مدل رفتاری تودهسنگ (معادله‌های (۳) الی (۶)) و خصوصیات شاخصی که توسط هوک و براؤن برای سنگ‌های متوسط و قوی به کاررفته، به عنوان خصوصیات فیزیکی و مکانیکی در نظر گرفته شده‌اند [۱۰].

خصوصیات سنگ بکر به همراه مقادیر GSI در نرمافزار RocLab استفاده شد تا برای دو مقدار متفاوت D (۰ و ۱) خصوصیات تودهسنگ تخمین گردد (جدول ۱). دلیل انتخاب دو مقدار D، تاثیرسنجی گسترنش آسیب انفجار در دو حالت مختلف تودهسنگ بوده است. مشابه حالت قبل، خصوصیات دینامیکی تودهسنگ نیز در نرمافزار RocLab تخمین و در جدول ۲ اشاره شده است.

$$\sigma_I = \sigma_3 + \sqrt{m_b C_o \sigma_3 + s C_0^2} \quad (3)$$

$$m_b = m_i \exp(GSI - 100 / (28 - 14D)) \quad (4)$$

$$s = \exp(GSI - 100 / (9 - 3D)) \quad (5)$$

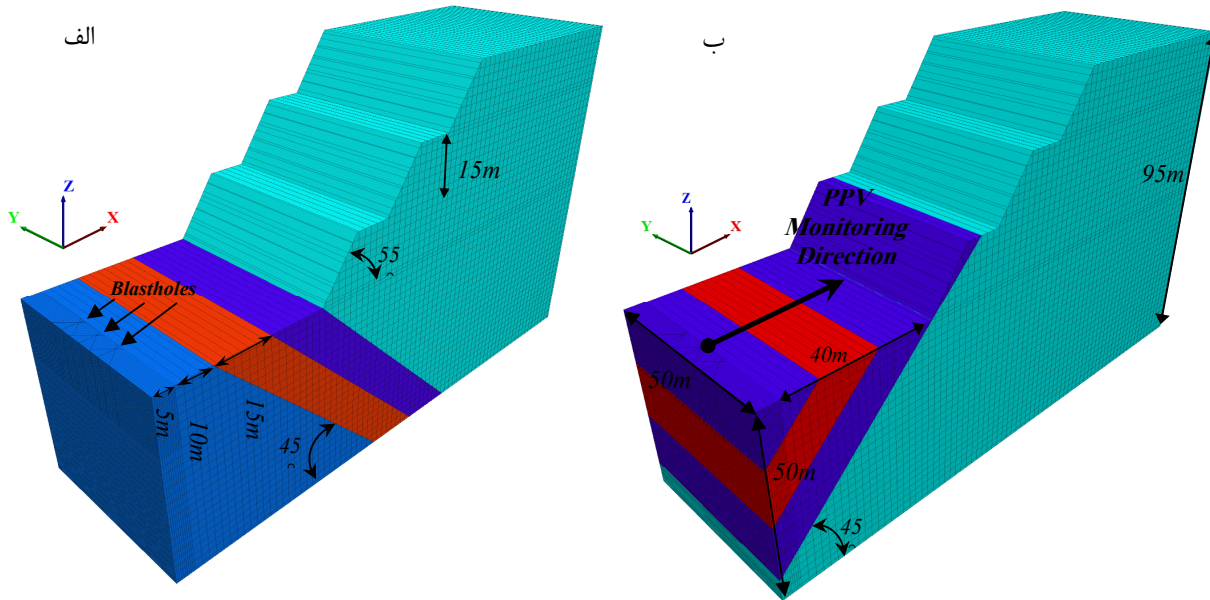
$$a = \frac{1}{2} + \frac{1}{6} (e^{-GSI/15} - e^{-20/3}) \quad (6)$$

σ_I و σ_3 تنشهای اصلی حداکثر و حداقل در زمان شکست، C_o مقاومت فشاری تکمحوری سنگ بکر، m_i پارامتر برازش منحنی به دست‌آمده از آزمون‌های سه‌محوری سنگ بکر، m_b مقدار کاهش‌یافته m_i و نشان‌دهنده تأثیر کاهش مقاومت تحت شرایط تودهسنگ، a و s ثابت‌های تجربی بدون بعد و D فاکتور آسیب انفجار.

در جداول ۱ و ۲ تودهسنگ‌هایی که دارای مقادیر GSI یکسان می‌باشند از خصوصیات سنگ بکر مشابه برخوردارند ولی به ازای تغییرات D، پارامترهای مقاومتی تودهسنگ متفاوت وجود دارد. لذا در نام‌گذاری مدل‌ها از این دو خصوصیت استفاده گردید. به طور مثال مدل GSI75-D0 نشان‌دهنده خصوصیات تودهسنگ قوی با GSI و D به ترتیب معادل ۷۵ و ۰ می‌باشد. بابنوری و همکاران [۱۱] بر اساس ضخامت پرشدگی‌های رسی، طبقه‌بندی برای خصوصیات ناپیوستگی‌ها ارائه نموده‌اند. مقادیر ۲۰-۱۰ mm میانی طبقه‌بندی که برای پرشدگی با ضخامت می‌باشد، مطابق جدول ۳ برای این بررسی انتخاب گردید. مدل

سرعت موج P (m/s) V_d ، سرعت انفجاری (m/s) t ، زمان (s) (S) ، مدول حجمی دینامیکی (Pa) K و مدول برشی دینامیکی (Pa) G می‌باشند.

q ضریب حرارت ویژه، k فاکتور شکل ماده منفجره برای خرج‌های سیلندری، r_h (mm) شعاع چال انفجاری (mm)، C_p (gr/cm³) شعاع خرج انفجاری (mm)، ρ_r (gr/cm³) چگالی سنگ (Pa).



شکل ۱: جزیيات ژئومتری شیب‌ها؛ الف: ناپیوستگی‌های 45° خلاف رویه شیب و ب: ناپیوستگی‌های 45° در راستای رویه شیب

جدول ۱: جزیيات خصوصیات استاتیکی سنگ بکر و تودهسنگ دو طبقه‌بندی متوسط و قوی

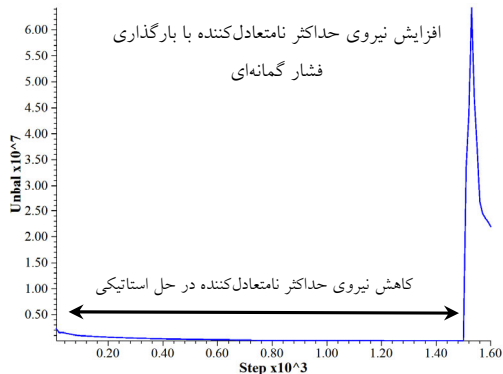
توده سنگ													سنگ بکر				خصوصیا لیتوژوی نمونه
<i>G</i> (MPa)	<i>K</i> (MPa)	<i>Erm</i> (MPa)	<i>sigcm</i> (MPa)	<i>sigt</i> (MPa)	<i>Phi</i> (°)	<i>C</i> (MPa)	<i>a</i>	<i>s</i>	<i>mb</i>	<i>Slope</i> Height	<i>D</i>	<i>GSI</i>	<i>mi</i>	<i>Es</i> (MPa)	<i>UCS</i> (MPa)	<i>Den.</i> (gr/cm ³)	
700	900	000	69	0/91	63	4/1	/501	6/2x10 ⁻²	/2	100	.	75	25	750	150	2/7	گرانیت
7,200	9,600	200	43	0/55	58	2/5	/501	1/6x10 ⁻²	4/2	100	1	75	25	750	150	2/7	گرانیت
2,700	4,500	6,700	17	0/12	52	1/1	/506	3/9x10 ⁻³	2/5	100	.	50	15	000	80	2/5	ماسه سنگ
600	1,000	1,500	7	0/05	38	0/5	/506	2/4x10 ⁻⁴	0/4	100	1	50	15	000	80	2/5	ماسه سنگ

جدول ۲: جزیيات خصوصیات دینامیکی سنگ بکر و توده سنگ

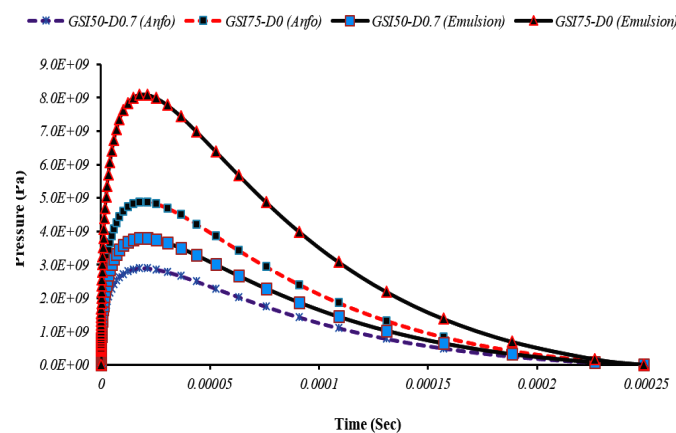
توده سنگ													سنگ بکر				خصوصیا لیتوژوی نمونه
<i>G</i> (MPa)	<i>K</i> (MPa)	<i>Erm</i> (MPa)	<i>sigcm</i> (MPa)	<i>sigt</i> (MPa)	<i>Phi</i> (°)	<i>C</i> (MPa)	<i>a</i>	<i>s</i>	<i>mb</i>	<i>Slope</i> Height	<i>D</i>	<i>GSI</i>	<i>mi</i>	<i>Es</i> (MPa)	<i>UCS</i> (MPa)	<i>Den.</i> (gr/cm ³)	
000	300	600	128	1/69	66	6/9	/501	6/2x10 ⁻²	/2	100	.	75	25	100	278	2/7	گرانیت
500	000	000	80	1/03	61	4/1	/501	1/6x10 ⁻²	4/2	100	1	75	25	100	278	2/7	گرانیت
4,300	7,200	7,000	32	0/23	56	1/5	/506	3/9x10 ⁻³	2/5	100	.	50	15	35	149	2/5	ماسه سنگ
900	1,500	2,300	13	0/08	43	0/7	/506	2/4x10 ⁻⁴	0/4	100	1	50	15	35	149	2/5	ماسه سنگ

جدول ۳: جزیيات خصوصیات پرشدگی ناپیوستگی ها [11]

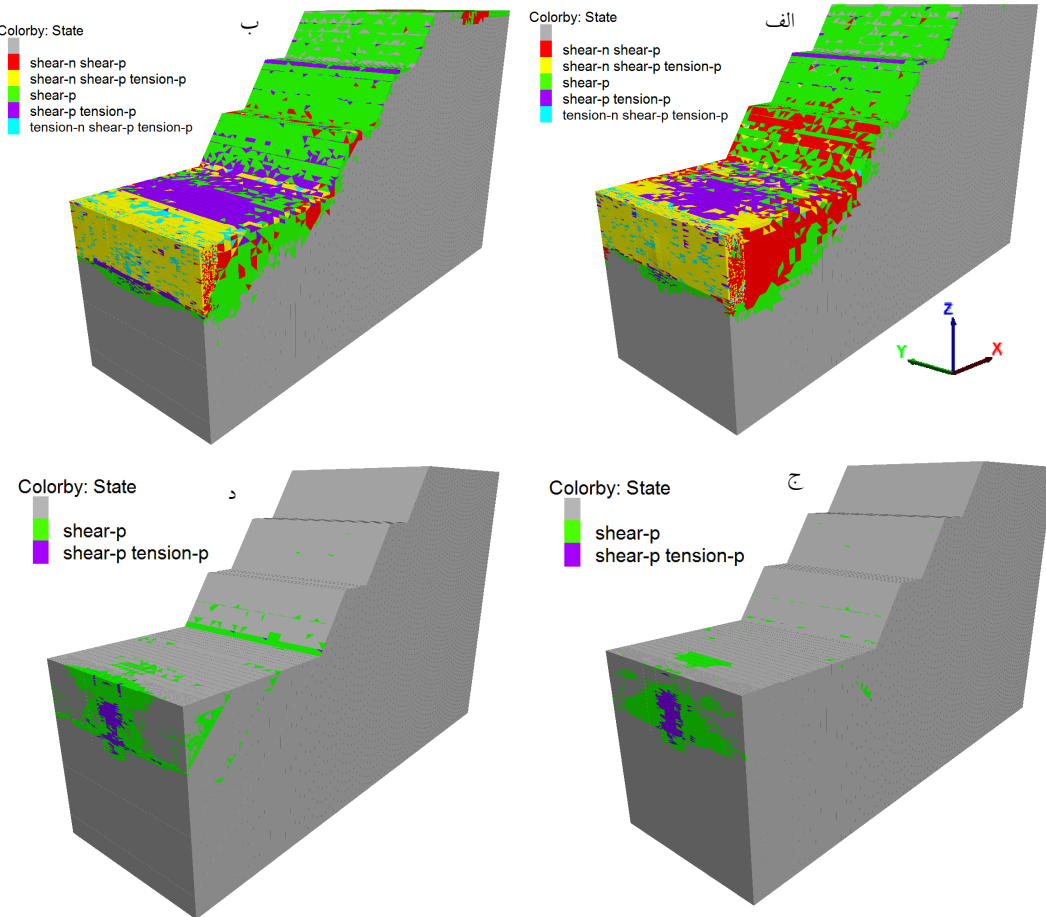
خصوصیات	اصطکاک (زاویه)	چسبندگی (کیلوپاسکال)	سختی برشی (گیگاپاسکال بر متر)	سختی نرمال (گیگاپاسکال بر متر)	مقدار
	0/5	0/25	15	30	



شکل ۳: نمودار نیروی حداکثر نامتعادل کننده مدل GSI50-D0.7



شکل ۲: تغییرات فشار گمانهای برای دو ماده منفجره آنفو و امولابت



شکل ۴: زون‌های شکست شبیه‌سازی انفجار آنفو با راستای ناپیوستگی‌های زمین‌شناسی مخالف و موافق رویه شب پس از ۰/۲ ثانیه از آغاز انفجار در مدل‌های: (الف) GSI75-D0؛ (ج) GSI50-D0.7(1)؛ (ب) GSI50-D0.7(1)؛ و (د) GSI75-D0

۱۵۰ تا ۰ $X = 60\text{ m}$ و $Y = 25\text{ m}$ و $Z = 60\text{ m}$ (شکل ۱) تعریف گردیده تا به توان لرزش ایجاد شده در سطح پله کاری مدل را ثبت نمود.

۶-۲- شبیه‌سازی دینامیکی

مرزبندی دینامیکی مدل همان طور که در بررسی ایلماز و اونلو [۱۴] استفاده شده از نوع جذب‌کننده در طرفین (به استثناء سطح آزاد) و پایین مدل تعریف گردید. این‌گونه مرزبندی مانع از انعکاس امواج فشاری به درون مدل می‌گردد. میرایی مدل نیز بر اساس پیشنهاد ایلماز و اونلو [۱۴] از نوع میرایی محلی به مقدار ۵٪ در نظر گرفته شد. زیرا استفاده از میرایی رایلی در مصالح با رفتار پلاستیسیته اهمیت چندانی ندارد. شبیه‌سازی دینامیکی با اعمال فشارهای گمانهای متناسب با مدل به دیواره چال‌های انفجار آغاز گردید. این شبیه‌سازی به صورت اعمال فشار گمانهای همزمان در سه چال تقسیم‌بندی شده‌اند. بر اساس Fish توسعه یافته، مقادیر PPV ناشی از فشار دینامیکی انفجار در طی شبیه‌سازی انفجار همواره ثبت گردیده است. لازم به ذکر است، پیش از اعمال فشار از وضعیت تعادل مدل بر اساس نمودار حداکثر نیروی نامتعادل‌کننده اطمینان حاصل شد. در شکل ۳ نمونه‌ای از نمودار نیروی حداکثر نامتعادل‌کننده مدل GSI50-D0.7 ارائه شده است.

۳- نتیجه‌گیری و بحث

۳-۱- زون‌های شکست در انفجار آنفو

شاخص‌گذاری پلاستیک شکست 3DEC بر اساس افزایش حریان پلاستیک انواع تنش بر روی زون‌بندی‌ها، معیار تسليم‌شوندگی احتمالی را به صورت الگوهایی ارائه می‌نماید [۲۲]. در شکل ۴ زون‌های شکست مدل‌ها (شبیه‌سازی انفجار آنفو) با راستای ناپیوستگی‌های زمین‌شناسی متفاوت نسبت به رویه شیب در مقابل یکدیگر ارائه شده تا بتوان نقش ناپیوستگی‌ها در کنترل گسترش انواع شکست برشی و کششی به سمت شیب را مقایسه نمود. وضعیت هریک از شکست‌ها با دو پسوند p و n مشخص شده که به ترتیب نمایانگر شکست پایان یافته و شکست فعلی می‌باشند.

در شکل ۴-الف شکست Shear-p برایر فشار دینامیکی ابتدایی انفجار در مدل به شکل پیشرونده از ابتدا تا انتهای مدل گسترش و سپس پایان یافته است. شکست Shear-n Shear-p نشان‌دهنده حریان دوم شکست برشی توسعه یافته (Shear-n)

مطابق معادله‌های (۷) الی (۱۱)، فشار گمانهای به خصوصیت سنگ و ماده منجره وابسته است، بنابراین برای دو نوع توده‌سنگ و دو نوع ماده منجره فشار گمانهای مختلف شبیه‌سازی شد. در شکل ۲ تغییرات فشارهای گمانهای برای آنفو 780 kg/m^3 و سرعت انفجاری 4052 m/s و امولایت (چگالی 1250 kg/m^3 و سرعت انفجاری 5580 m/s) ارائه شده است. شبیه‌سازی سه مکانیسم عمدۀ انفجار جهت مدل‌سازی یکی از تأثیرگذارترین عوامل در مدل‌سازی دقیق انفجار می‌باشد. جهت شبیه‌سازی (۱) انسپاٹ فشار گاز، مشبندی مدل در طول بارسنگ، کل عرض مدل و ارتفاع چال انفجاری امکان انسپاٹ در راستای X یا سطح آزاد را دارند؛ (۲) موج تنش دینامیکی انفجار به صورت تنش فشاری اعمال شد. با توجه به نتایج ثبت شده برخی پژوهشگران که قطر چال در میزان وزن ماده منجره و نهایتاً مقدار فشار انفجار تولیدی مؤثر می‌باشد [۱۹] از روش بارگذاری در سرتاسر استوانه چال استفاده شد؛ و (۳) انعکاس امواج فشاری با استفاده از قابلیت‌های 3DEC و آزادسازی مزد در سطح آزاد (بدون مرزهای جذب‌کننده) در هر سه جهت مختصاتی امکان انعکاس موج فشاری به درون توده فراهم گردید.

۳-۲- پارامترهای تخمین آسیب

۱- لیو [۲۰] و دوکووانی و همکاران [۲۱] فشار یا تنش اعمال شده را به علت سازگاری با رفتار مکانیکی سنگ به عنوان پارامتر بحرانی تعریف کننده آسیب برگزیده‌اند. با قابلیت نرم‌افزار 3DEC در تعیین زون‌های احتمالی شکست [۲۲]، زون‌های شکست به عنوان پارامتر تخمین کیفی آسیب در نظر گرفته شده و برای تحلیل کیفی انفجار آنفو بکار رفت.

۲- پیرسون و همکاران [۲۳] و هاسترولید و همکاران [۲۴] از PPV به علت سهولت اندازه‌گیری به عنوان پارامتر بحرانی ارزیابی آسیب استفاده نموده‌اند. بیهنداری [۲۵] جهت کاهش ریسک آسیب، آستانه لرزش ایمن 50 mm/s را پیشنهاد نموده که همین مقدار به عنوان پارامتر تخمین کمی آسیب در انفجارهای آنفو و امولایت استفاده شد.

جهت مونیتور مقادیر PPV از Fish نویسی استفاده شده و کدهای آن در محیط 3DEC بارگذاری شد تا مقادیر در راستای طولی از دهانه چال مرکزی تا انتهای طول مدل ثبت شود. به عبارت دیگر محور پایش مقادیر به صورت

با توجه به اینکه تفاوت دو مدل در راستای ناپیوستگی‌های زمین‌شناسی نسبت به رویه شیب می‌باشد، لذا نمودارهای تغییرات PPV در انفجار آنفو برای هر دو حالت ناپیوستگی‌ها در کنار یکدیگر قرارداده شده تا امکان مقایسه وجود داشته باشد. در شکل ۵-الف هر یک از ناپیوستگی‌ها باعث کاهش مقدار PPV و یا به عبارت دیگر، کاهش فشار دینامیکی انفجار شده‌اند. البته هرچند ناپیوستگی‌ها باعث کاهش این فشار شده‌اند، اما با توجه به اینکه غالباً خود ناپیوستگی‌ها ضعیفترین بخش توده‌سنگ می‌باشند، در مکان‌هایی که فشار دینامیکی انفجار به آن‌ها رسیده، مقدار PPV به طور موضعی افزایش یافته است. این موضوع در محل ناپیوستگی‌های دوم و سوم مشاهده می‌شود.

در شکل ۵-ب وضعیت کلی تغییرات PPV با مدل GSI50-D0.7 تفاوت چندانی ندارد. مهم‌ترین اختلاف آن‌ها در مقادیر PPV روی سطح ناپیوستگی‌ها می‌باشد. در شکل ۵-ب افزایش به شکل صعودی قبل از رسیدن فشار به سطح ناپیوستگی‌ها تدریجی فرونوی یافته است.

در شکل ۵-ج با افزایش مقاومت توده‌سنگ، مقادیر PPV ثبت شده به طور کلی نسبت به مدل GSI50-D0.7 کاهش یافته است. همچنین برخلاف مدل یادشده، افزایش PPV بر روی سطح ناپیوستگی‌های دوم و سوم مشاهده نمی‌گردد. اما در روند جدیدی، تأثیر ناپیوستگی اول در کاهش PPV (یا فشار دینامیکی انفجار) بیشتر شده و به طور شدیدتری توانسته مقدار PPV را نسبت به دو ناپیوستگی بعدی کاهش دهد.

در شکل ۵-د همان کاهش مقادیر PPV با افزایش مقاومت توده‌سنگ قابل‌رؤیت می‌باشد. نسبت به شکل ۵-ب نیز افزایش تدریجی PPV از سطح ناپیوستگی‌ها، قابل‌رؤیت است. مقایسه مقادیر PPV در شکل ۵-۵ نسبت به مدل GSI75-D0 نشان می‌دهد در شرایطی که ناپیوستگی‌ها موافق رویه شیب می‌باشند، مقادیر بالاتری ثبت شده است.

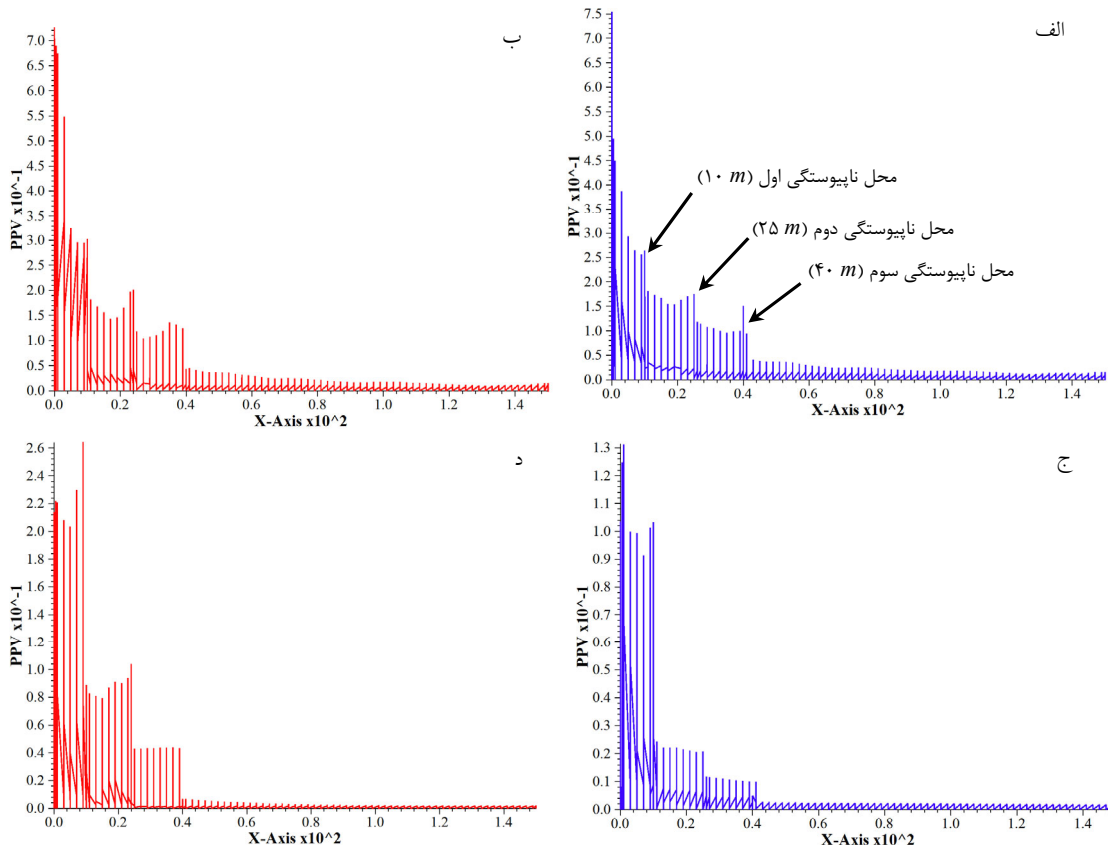
در مدل است که پس از شکست برشی اولیه پایان یافته Shear-n Shear-p (Shear-p) در حال توسعه است. شکست Shear-p به جریان پیچیده‌ای اشاره نموده که بیشتر در فاصله بارسنگ گسترش یافته است. این شکست در ابتدا به صورت کشش و سپس برش پایان یافته و در زمان ۰/۲ ثانیه پس از انفجار همچنان شکست برشی جدیدی را در حال توسعه دارد. احتمالاً تعدد (۱) انتقال امواج به سطح آزاد، (۲) انعکاس مجدد به توده‌سنگ و (۳) انتقال مجدد به سطح آزاد در اثر خردایش‌های جدید مهم‌ترین دلیل این شکست‌های پیچیده باشد. شکست دیگری که به صورت عقب‌زدگی نمایان است با Shear-p Tension-p شاخص گذاری شده و به شکست کششی پایان یافته‌ای که از تئوری تبدیل امواج فشاری به کششی در اثر انعکاس امواج در سطح آزاد تبعیت می‌نماید و شکست برشی که در اثر فشار دینامیکی مستقیمی که از انفجار ایجاد می‌گردد، اشاره نموده است.

در شکل ۴-ب با تغییر راستای ناپیوستگی‌ها، تأثیر ناپیوستگی‌ها آشکارتر شده و ناپیوستگی اول به خوبی توانسته شکست‌های Shear-n Shear-p Tension-p را کنترل shear-p و ناپیوستگی دوم نیز شکست Shear-p را کنترل نماید. در مقایسه با شکل ۴-الف به علت شکل ناپیوستگی‌ها، شکست p از گسترش کمتری در عمق پله و به سوی شیب برخوردار است.

در شکل ۴-ج نسبت به مدل GSI50-D0.7 که اختلاف توده‌سنگ آن‌ها ناشی از مقادیر متفاوت GSI و D می‌باشد، کاهش کمی و کیفی شکست‌ها با افزایش مقاومت توده‌سنگ مشهود است. در این خصوص شکست Shear-n Shear-p نیز از گسترش اندکی برخوردار است. همچنین پیشروعی سطحی شکست Shear-p بر روی پله‌ها نیز کاهش یافته است و مقدار ناچیزی از آن در سطح ناپیوستگی سوم قابل‌رؤیت می‌باشد.

در شکل ۴-د همان نسبت کاهش کمی و کیفی شکست‌ها با افزایش مقاومت توده‌سنگ مشهود است. البته با توجه به راستای ناپیوستگی‌ها نسبت به مدل GSI75-D0(1)، شکست Shear-p درنهایت تا ناپیوستگی دوم گسترش یافته است که نشان‌دهنده نقش این نوع از ناپیوستگی‌ها در کنترل بهتر شکست می‌باشد.

۲-۳- تغییرات PPV در انفجار آنفو



شکل ۵: تغییرات PPV در راستای محور پایش Z=50 m و Y=25 m در مدل‌های (الف) GSI50-D0.7؛ (ب) GSI50-D0(1)؛ (ج) GSI75-D0(1) و (د) GSI75-D0(1)

جدول ۴- مقادیر حداقل PPV در بالای دهانه چال و سطح ناپیوستگی‌ها در هر دو حالت ناپیوستگی‌ها برای انفجار آنفو

GSI75-D0(1)	GSI50-D0.7(1)	PPV Max (mm/s)	GSI75-D0	GSI50-D0.7	فاصله از دهانه چال (m)
۲۲۱/۸۹	۷۲۴/۸۴	۱۳۱/۲۵	۴۰۵/۸۷	-	-
۸۸/۸۹	۳۰۳/۱۳	۱۰۳/۲۹	۲۶۴/۲۳	۱۰	-
۴۳/۱۱	۱۱۸/۴۱	۲۰/۷۸	۱۷۵/۶	۲۵	-
۷/۰	۴۳/۶۷	۵/۰۲	۱۴۵/۷	۴۰	-

جدول ۵: مقادیر حداقل PPV در بالای دهانه چال و سطح ناپیوستگی‌ها در هر دو حالت ناپیوستگی‌ها برای انفجار امولایت

GSI75-D0(1)	GSI50-D0.7(1)	PPV Max (mm/s)	GSI75-D0	GSI50-D0.7	فاصله از دهانه چال (m)
۱۲۹/۷۷	۱۳۳۰/۱۵	۱۱۳۲/۵۸	۱۱۴۳/۷۶	-	-
۱۱۵/۳۷	۳۶۹/۳۶	۱۶۱/۷۹	۲۸۱/۸۹	۱۰	-
۴۲/۹۴	۱۳۳/۸۶	۲۵/۵۶	۱۸۰/۴۴	۲۵	-
۶/۵۲	۴۹/۱۶	۵/۳۸	۱۶۴/۱۲	۴۰	-

آسیب انفجار تا فاصله ۴۰ m از دهانه چال گسترش یافته در حالی که در مدل (1) GSI50-D0.7 m تا فاصله ۲۵ m گسترش GSI75-D0.7 با GSI75-D1 مقایسه می‌شوند. نتایج تقریباً یکسانی را نشان می‌دهد.

در در آسیب در ۱۰ m خلاصه شده و نسبت به دو مدل ضعیفتر مقادیر ثبت شده کاهش یافته است. البته مقادیر PPV در فاصله ۱۰ m مدل (1) GSI75-D0.7 کمتر از GSI75-D0 می‌باشد. این نشان دهنده نقش بهتر ناپیوستگی دوم با راستای رویه شیب در کنترل آسیب می‌باشد.

۳-۵- بررسی آماری انفجار امولایت

همان‌طور که در جدول ۵ مشاهده می‌شود در مدل‌های ضعیفتر، ناپیوستگی‌های موافق با رویه شیب کنترل بهتری بر روی آسیب داشته‌اند. این موضوع در تودهسنگ قوی‌تر اختلاف کمتری دارد.

لازم به ذکر است، به طور کلی با افزایش فشار گمانهای ناشی از امولایت، مقادیر PPV ثبت شده افزایش یافته و این موضوع منطقی، تثبیت‌کننده صحت شبیه‌سازی عددی صورت گرفته می‌باشد. از نتایج بررسی آماری برای تعیین میزان تغییرات ایجاد شده در اثر انفجار امولایت نسبت به آنفو استفاده شد. براین اساس مقادیر حداکثر PPV بر روی سطح ناپیوستگی‌ها در جدول ۵ نسبت به جدول ۴ مقایسه و خلاصه نتایج آن در جدول ۶ ارائه شده است.

۴- نتیجه‌گیری

قابلیت‌های دینامیکی روش المان مجرای سه‌بعدی امکان بررسی گسترش زون آسیب انفجار در تودهسنگ و به روز آوری جدول راهنمای تخمین D را فراهم نموده است. مهم‌ترین نتایج کسب شده از این بررسی به صورت زیر خلاصه می‌گردد:

در بررسی زون‌های احتمالی شکست مشخص شد ناپیوستگی‌های زمین‌شناسی باعث کنترل جریان پلاستیک شکست‌های کششی و برشی می‌شوند. در این راستا با افزایش مقاومت سنگ، نقش ناپیوستگی‌ها پررنگ‌تر می‌باشد.

جهت کنکاش این موضوع از وضعیت زون‌های شکست استفاده شده و مشخص گردید قسمتی از فشار دینامیکی پس از برخورد به ناپیوستگی‌ها به سطح پله منتقل شده‌اند که این شرایط در ناپیوستگی‌های مخالف رویه شیب چندان آشکار نیست.

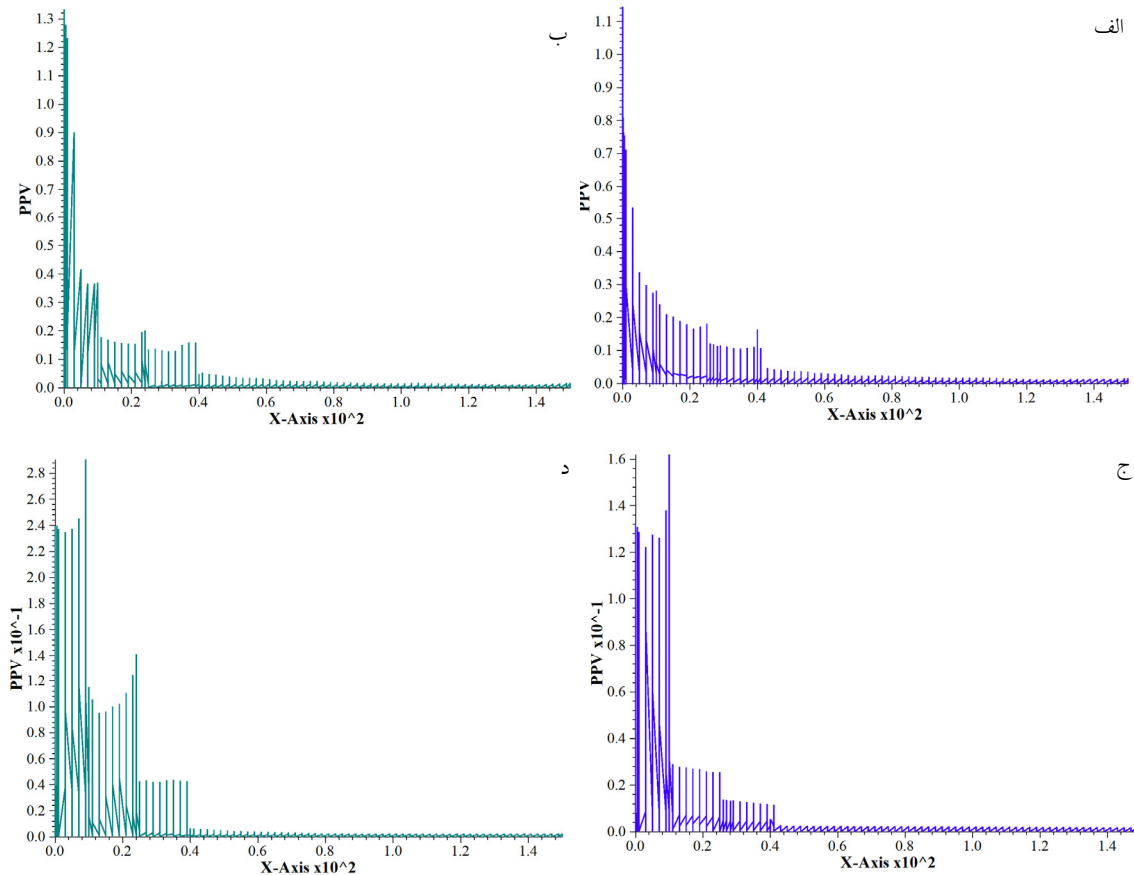
۳-۳- تغییرات PPV در انفجار امولایت

همان‌طور که در بخش "شبیه‌سازی فشار گمانهای" اشاره شد، خصوصیات ماده منفجره در فشار اعمالی به دیواره گمانه مؤثر است. مقایسه تغییرات فشارهای گمانهای ماده منفجره آنفو و امولایت در شکل ۲ مؤید همین موضوع است. جهت اثربخشی این اختلاف، نتایج ثبت شده در راستای محور ثبت‌کننده پیشین برای هر دو حالت ناپیوستگی‌ها در شکل ۶ ارائه شده است. مقایسه مقادیر PPV بر روی سطح ناپیوستگی‌ها در شکل ۶ با شکل ۵ به خوبی نقش تغییر ماده منفجره و تأثیرات آن را نشان می‌دهد. در شکل ۶-الف نسبت به شکل ۵-الف، تأثیر ناپیوستگی اول در کنترل آسیب ناچیز بوده و این تأثیر از ناپیوستگی دوم خودنمایی می‌کند؛ اما با افزایش مقاومت تودهسنگ (شکل ۶-ج) این تأثیر مجدد آشکار می‌گردد. همچنانی این مقادیر در دو حالت شکل ۶ نسبت به شکل‌های ۵-الف و ۵-ب افزایش یافته است. با تغییر راستای ناپیوستگی‌ها، ناپیوستگی‌ها در شکل ۶-ب در کنترل آسیب موفق بوده‌اند. مقایسه مقادیر PPV در سطح ناپیوستگی‌های شکل‌های ۶-ب و ۵-ب دا شکل‌های ۵-ب و د افزایش آسیب ناشی از ماده منفجره قوی‌تر را نمایش می‌دهد.

۳-۴- بررسی آماری انفجار آنفو

در شکل‌های ۵ و ۶ نقش ناپیوستگی‌ها و خصوصیات تودهسنگ در تغییرات PPV مشخص گردید. جهت بررسی بیشتر حداکثر مقدار PPV بر روی سطح ناپیوستگی‌ها یعنی در فواصل ۱۰، ۲۵ و ۴۰ m گزینش شده و به همراه مقدار مشابه در دهانه چال برای هر دو حالت ناپیوستگی‌ها در جدول ۴ ارائه شد. هدف دیگر از این انتخاب، تعیین گسترش آسیب انفجار در هر مدل می‌باشد. مقادیر فراتر از ۵۰ mm/s که نشان‌دهنده آسیب تودهسنگ می‌باشد به صورت پررنگ و مایل شاخص‌گذاری شده است.

مقایسه مقادیر به دست آمده نشان می‌دهد در مدل GS150-D0.7 که ناپیوستگی‌ها در راستای مخالف رویه شیب می‌باشند



شکل ۶: تغییرات PPV در انفجار امولایت برای مدل‌های (الف) GSI50-D0.7(1)؛ (ب) GSI50-D0.7؛ (ج) GSI75-D0(1) و (د) GSI75-D0

جدول ۶: میزان درصد افزایش PPV در اثر انفجار امولایت نسبت به انفجار آنفو

GSI75-D0(1)	GSI50-D0.7(1)	GSI75-D0	GSI50-D0.7	فاصله از دهانه چال (m)
۲۹/۸	۲۱/۸	۵۶/۶	۶/۷	۱۰
-۰/۴	۱۳	۲۳/۶	۲/۸	۲۵
-۶/۵۹	۱۲/۶	۷/۱	۱۲/۶	۴۰

GSI75-D0(1) می‌باشد. بر اساس نتایج تغییرات حداکثر PPV این مدل، آسیب انفجار ناشی از امولایت تا 10 m پشت چال بیشتر از مقدار مشابه نسبت به آنفو می‌باشد؛ اما در 25 m و 40 m پس از آن آسیب آنفو به مقدار کمتر، افزایش می‌باشد. این موضوع شاید به انبساط فشار گاز ناشی از انفجار آنفو مربوط می‌باشد.

علی‌رغم این‌که ضریب k (معادله (۱)) در معادلات تجربی نماینده خصوصیات زمین‌شناسی می‌باشد، نتایج نشان داد این معادلات نمی‌تواند به خوبی تأثیر ساختارهای زمین‌شناسی را آشکار نمایند.

نتایج مدل‌سازی نشان‌دهنده قابلیت 3DEC در بررسی فرآیند پیچیده انفجار می‌باشد.

با توجه به تأثیر ناپیوستگی‌ها در کنترل آسیب، استفاده از ناپیوستگی‌های مصنوعی مانند آنچه در انفجار پیش‌شکافی توسعه می‌یابد، روش مناسبی برای کاهش آسیب و جلوگیری از ایجاد ناپایداری در شیب‌ها خواهد بود.

در این بررسی دو حالت ایده‌آل از ناپیوستگی‌ها و همچنین طرح انفجاری ساده برای بررسی استفاده شد تا بررسی‌های پیشین تکمیل گردد. لذا در نظر گرفتن حالت‌های دیگری از خصوصیات توده‌سنگ، ناپیوستگی‌ها و طرح‌های انفجاری می‌تواند به آشکارسازی بیشتر آسیب انفجار کمک نماید.

استفاده از سیستم‌های طبقه‌بندی مهندسی سنگ به عنوان درنظر گرفتن اطلاعات توده‌سنگ، ابزار مناسبی برای پیش‌بینی آسیب انفجار می‌باشد. ارتباط GSI در بررسی وضعیت شکست با PPV مؤید این موضوع است.

در توده‌سنگ‌های دارای GSI پایین، کاهش آسیب انفجار از شدت بیشتری برخوردار است و نقش ناپیوستگی‌ها کم‌رنگ‌تر می‌شود.

مطابق جداول ۴ و ۵ حداکثر آسیب انفجار تا کمی بیشتر از 40 m از دهانه چال گسترش می‌یابد. در همین راستا چنانچه ناپیوستگی‌ها از امتداد موفق رویه شیب برخوردار باشد، کنترل بیشتری بر روی کاهش آسیب انفجار ایجاد می‌نمایند.

بررسی حداکثر مقادیر PPV قبل و بعد از ناپیوستگی‌های اول، دوم و سوم (فواصل $10\text{, }25\text{ and }45\text{ m}$) در انفجار آنفو با امتداد ناپیوستگی مخالف با رویه شیب، متوسط کاهش $\%43$ آسیب به ازای هر ناپیوستگی را نشان می‌دهد. متوسط این کاهش به ازای هر ناپیوستگی به شرح زیر می‌باشد:

- ناپیوستگی اول: $\%28$
- ناپیوستگی دوم: $\%56$
- ناپیوستگی سوم: $\%46$

در شرایط مشابه اما با ناپیوستگی‌های با راستای موافق رویه شیب، متوسط کاهش $\%62$ آسیب به ازای هر ناپیوستگی رؤیت گردید. متوسط این کاهش به ازای هر ناپیوستگی به شرح زیر می‌باشد:

- ناپیوستگی اول: $\%59$
- ناپیوستگی دوم: $\%56$
- ناپیوستگی سوم: $\%73$

با توجه به این‌که در هر حالت از ناپیوستگی مدل‌های یادشده مقدار GSI و D متفاوت بوده، لذا نقش این دو پارامتر در پیش‌بینی آسیب حائز اهمیت می‌باشد.

ناپیوستگی‌های با راستای موافق رویه شیب نقش مفیدتری در کاهش آسیب انفجار بازی می‌کنند.

مقایسه حداکثر مقدار PPV بر روی سطح ناپیوستگی‌ها در انفجار امولایت نسبت به انفجار آنفو نشان می‌دهد چنانچه ناپیوستگی‌ها مشابه امتداد رویه شیب باشند، حساسیت کمتری به افزایش فشار گمانه‌ای ماده ناشی از ماده منفجره قوی‌تر دارند. مطابق جدول ۶ نکته حائز اهمیت‌تر در خصوص استفاده از امولایت به جای آنفو، در مقادیر منفی مربوط به مدل

Coupling of two methods, waveform superposition and numerical, to model blast vibration effect on slope stability in jointed rock masses. *Computers and Geotechnics*, 61, 42–49.

[14] Yilmaz, O., & Unlu, T. (2013). Three dimensional numerical rock damage analysis under blasting load. *Tunnelling and Underground Space Technology*, 38, 266–278.

[15] Mckenzie, C. (1993). *Comprehensive rock engineering: excavation, support and monitoring* (Vol. 4). (I. Hudson, Ed.) Pergamon Press.

[16] Jong, Y., Lee, C., Jeon, S., Cho, Y., & Shim, D. (2005). Numerical modeling of the circular-cut using particle flaw code. *1st Annular Conference of Explosives and Blasting Technique*. Orlando.

[17] Yang, J., Lu, W., Jiang, Q., Yao, C., & Jiang, S. (2016). A study on the vibration frequency of blasting excavation in highly stressed rock masses. *Rock Mechanics and Rock Engineering*, 49(7), 2825-2843.

[18] Aliabadian, Z., & Sharafisafa, M. (2014). Numerical modeling of presplitting controlled method in continuum rock masses. *Arabian Journal of Geosciences*, 7, 5005-5020.

[19] Resende, J. (2010). *An investigation of stress wave propagation through rock joints and rock masses*. Portugal: Ph.D. Thesis, Universidade do Porto.

[20] Liu, Q. (2002). Estimation of dynamic pressure around of fully loaded basthole in rock. *Fragblast-7*, 267-272.

[21] Drukavanyi, M., Kravtsov, V., Chernyavskii, Y., Reva, ., V., & Zerkov, S. (1976). Calculation of fracture zones created by exploding cylindrical charges in ledge rocks. *Soviet Mining Science*, 12(3), 292-295.

[22] Itasca Consulting Group Inc. (2013). *3DEC Ver. 5.2 user's guide*.

[23] Persson, P., Holmberg, R., & Lee, J. (1993). *Rock blasting and explosive engineering*. London, United Kingdom: CRC Press.

[24] Hustrulid, W., Bennett, R., Ashland, F., & Lenjani, M. (1992). A new method for predicting the extent of blast damage zone. Gyttrorp: Nitro Nobel: Proc Blasting Conference paper No 3.

[25] Bhandari, S. (1997). *Engineering rock blasting operations*. CRC Press, Balkema.

۵- مراجع

- [1] Rustan, A. (2011). *Mining and rock construction technology*. CRC Press, Balkema.
- [2] Hoek, E. (2012). *Blast damage factor D*. Technical Note for Rocscience.
- [3] Hustrulid, W. (1999). *Blasting principles for open pit mining- general design concept* (Vol. 1). CRC Press, Balkema.
- [4] Najm, K., Javaherian, A., & Amniah, H. (2002). Study of blasting vibrations in sarcheshmeh copper mine. *Acta Seismologica Sinica*, 15, 683-690.
- [5] Hossaini, S., & Sen, G. (2006). A study of the influence of different blasting modes and explosive types on ground vibrations. *Iranian Journal of Science and Technology, Transaction, Engineering*, 30, No. B3.
- [6] Konya, C., & Walter, E. (1991). *Rock blasting and over break control*. Washington, DC, USA.: U.S. Department of Transportation, Federal Highway Administration Office of Implementation.
- [7] Ak, H., & Konuk, A. (2008). The effect of discontinuity frequency on ground vibrations produced from bench blasting: A case study. *Soil dynamics and earthquake engineering*, 28, 686–694.
- [8] Ainalis, D., Kaufmann, O., Tshibangu, J., & Verlin,, G. (2016). Modelling the source of blasting for the numerical simulation of blast-induced ground vibrations: A review. *Rock Mechanics and Rock Engineering*, 50(1), 171-193.
- [9] Wyllie, D., & Mah, C. (2004). *Rock slope engineering- civil and mining* (4th ed.). New York, USA: Taylor & Francis.
- [10] Hoek, E., & Brown, E. (1997). Practical estimates of rock mass strength. *International journal of rock mechanics and mining sciences*, 34(8), 1165-1186.
- [11] Babanouri, N., Mansouri, H., Karimi-Nasab, S., & Bahaadini, M. (2013). A coupled method to study blast wave propagation in fractured rock masses and estimate unknown properties. *Computers and Geotechnics*, 49, 134–142.
- [12] Wei-hua, W., Xi-bing, L., Yu-jun, Z., & Zi-long, Z. (2006). 3DEC modeling on effect of joints and interlayer on wave propagation. *Transactions of Nonferrous Metal Sciente of China*, 16, 728-734.
- [13] Azizabadi, H., Mansouri, H., & Fouché, O. (2014).



رفتار خستگی سنگ‌های سخت تحت بارگذاری سیکلی

علی اکبر مؤمنی^{۱*}؛ غلامرضا خانلری^۲؛ مجتبی حیدری^۳؛ مرات کاراکوس^۴ و علیرضا طالب بیدختی^۵

- ۱- استادیار دانشکده علوم زمین، دانشگاه صنعتی شاهرود
- ۲- استاد گروه زمین‌شناسی مهندسی، دانشگاه پولی‌سینا
- ۳- دانشیار گروه زمین‌شناسی مهندسی، دانشگاه پولی‌سینا
- ۴- دانشیار دانشکده مهندسی معدن، دانشگاه آزاد اسلامی استرالیا
- ۵- استادیار گروه زمین‌شناسی، دانشگاه بین‌المللی امام خمینی

دریافت: مهر ۱۳۹۵؛ پذیرش: دی ۱۳۹۶

چکیده

هدف از این پژوهش ارزیابی رفتار خستگی سنگ‌های مقاوم و سخت گرانیتوئی تحت بارگذاری چرخه‌ای تک‌محوره می‌باشد. بدین منظور ۴ نمونه مغزه تحت بارگذاری استاتیکی و ۶ نمونه مغزه تحت بارگذاری دینامیک از نوع بارگذاری نیترو کنترل و جابجایی کنترل قرار گرفت. آزمون‌های نیترو کنترل در ترازهای تنش متغیر و دامنه بارگذاری ثابت (۰.۶۸٪ مقاومت فشاری تک‌محوری) و فرکانس یک هرتز انجام گردید. آزمون جابجایی کنترل به صورت پله‌ای با افزایش حد بالای جابجایی و دامنه بارگذاری ثابت انجام شد. به‌منظور ارزیابی نتایج آزمون‌های خستگی پارامترهای کرنش بیشینه و کمینه محوری، کرنش بیشینه و کمینه جانبی، مدول‌های مماسی و متقاطع، چفرمگی و انرژی وارفتگی بکار گرفته شد. نتایج نشان داد که این تیپ سنگی حساسیت کمی به آسیب خستگی نشان می‌دهد چراکه رفتار غالب آن الاستیک است. از بین پارامترهای آسیب خستگی، پارامتر کرنش جانبی آسیب سه مرحله‌ای خستگی را بهتر نشان می‌دهد. بعلاوه مشاهده گردید که حلقه وارفتگی عملأ برای این تیپ سنگی تشکیل نشده و شکست سنگ به صورت انفجاری است. همچنین، آزمون جابجایی کنترل نشان داد که این تیپ سنگی رفتار کرنش نرم شوندگی ضعیفی را نشان می‌دهد

واژگان کلیدی

خستگی، فرکانس بارگذاری، چفرمگی، حلقه وارفتگی، کرنش نرم شوندگی

۱- مقدمه

خستگی سنگ‌ها محدود بوده و نتایج به‌دست‌آمده قاطع نبوده و بعضًا به دلیل شرایط گستردگی بارگذاری و ویژگی‌های زمین شناختی مواد، نتایج به‌دست‌آمده باهم مغایرت دارند^[۱]. بوردین^[۲] برای اولین بار نشان داد که تراکم سیکلی سنگ، منجر به ضعیف‌شدن‌گی این مصالح می‌گردد. وی ماسه‌سنگ‌های بریا را تحت بارگذاری تک‌محوری و سه محوری چرخه‌ای قرار

در گذشته تحقیقاتی به‌منظور ارزیابی این نکته که آیا سنگ‌ها هم در معرض خستگی می‌باشند یا خیر، انجام شده است که عمدهاً در ارتباط با بهبود حفریات معدنکاری بوده است. با این وجود، تلاش‌های انجام‌گرفته برای مطالعه خصوصیات

*تویستنده مسئول مکاتبات.

همانند شرایط تکمحوری وجود دارد. مؤمنی و همکاران [۱۲] رفتار خستگی مونزوگرانیت‌های الوند را در شرایط مختلف بارگذاری سیکلی مورد ارزیابی قراردادند و مشاهده کردند که در اثر پدیده خستگی مقاومت این نوع گرانیت‌ها تا ۷۵ درصد مقاومت اولیه آنها کاهش می‌یابد.

مروری بر تاریخچه مکانیک سنگ نشان می‌دهد که پیشرفت هایی در زمینه توصیف رفتار سنگ در بارگذاری دینامیکی و چگونگی آزادسازی انرژی در حین تغییر شکل، حاصل شده است. با این وجود اطلاعات و دانش موجود برای پاسخ‌گویی به نیازهای کاربردی و پیش‌بینی انفجار سنگ و زمین‌لرزه و تدوین یک برنامه علمی برای حل این مشکلات کافی نیست. بعلاوه سنگ‌های مطالعه شده عمدتاً سنگ‌های با مقاومت متوسط تا بالا بوده و عملاً سنگ‌های با مقاومت بسیار بالا که رفتار شکننده‌ای دارند (سنگ‌هایی با رفتار غالب الاستیک-شکست قبل از پیک و همراه با آزاد کردن انرژی بعد از نقطه پیک مقاومتی)، مطالعه نشده‌اند. با توجه به موارد گفته شده، بر روی رفتار خستگی سنگ‌ها کارهای محدودی صورت گرفته است. لذا ضرورت ارزیابی عملکرد بارگذاری چرخه‌ای بر روی خصوصیات مهندسی این گروه از سنگ‌ها، احساس می‌گردد.

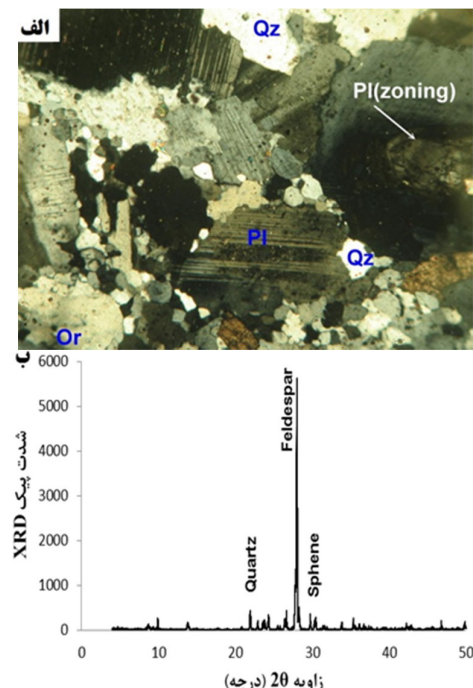
۲- مواد و روش‌ها

تحقیق حاضر بر روی سنگ‌های گرانودیبوریتی انجام شده است. بدین منظور بلوك مناسبی از این سنگ‌ها انتخاب شد و سپس برای تهیه مغزه‌های لازم به آزمایشگاه انتقال داده شد. در ابتدا به‌منظور تشخیص کانی‌شناسی این سنگ‌ها مقاطع نازک مناسب از آن تهیه و موردمطالعه قرار گرفت. بعلاوه جهت تکمیل مطالعات سنگ‌شناسی آزمایش *XRD* بر روی این نمونه‌ها انجام گردید. مغزه‌های تهیه شده به‌منظور انجام آزمون‌های خستگی، دارای نسبت طول به قطر ۲/۵ و قطر ۵۴ میلی‌متر بوده‌اند. سطوح انتهایی این مغزه‌ها مطابق با استاندارد انجمان بین‌المللی مکانیک سنگ [۱۳] آماده گردیدند. همچنین به‌منظور ثبت رفتار تغییر شکل‌پذیری این سنگ‌ها در طول آزمایش چهار عدد کرنش‌سنجدکترونیکی با طول ۲۰ میلی‌متر، با آرایش دو کرنش‌سنجد قائم و دو کرنش‌سنجد افقی بر روی نمونه‌ها چسبانیده شدند. قبل از انجام آزمایش‌های خستگی، خصوصیات فیزیکی و مکانیکی این سنگ‌ها اندازه‌گیری گردید.

داد و به این نتایج رسید که: درتنشی برابر ۷۴ درصد مقاومت فشاری تکمحوری در شرایط استاتیکی، شکست در کمتر از ۱۰۶ سیکل اتفاق می‌افتد. ایشیزاکا و همکاران [۳] گزارش نموده‌اند که اگرچه خستگی برای سنگ‌ها طبیعی است، اما کاهش مقاومت سنگ، ناشی از تکرار بارگذاری بشدت متغیر است. همچنین ارزیابی آنها از تأثیر فرکانس، مشخص کرد که در شرایط تنش اعمالی مشابه، افزایش فرکانس باعث افزایش عمر خستگی (مدت‌زمان یا تعداد چرخه‌های بارگذاری سیکلی) می‌شود. یاماشیتا [۴] یک سری تست خستگی و خرش بر روی سنگ‌های نرم و سخت انجام داد. وی به این نتیجه رسید که فرآیند گسیختگی و مکانیسم بارگذاری در آزمون خرش/خستگی و بارگذاری فشاری تکمحوری، ارتباط تنگانگی با یکدیگر دارد. ریو همکاران [۵] اثر نرخ کرنش بر روی مقاومت فشاری تکمحوری و تنش خستگی ماسه‌سنگ‌ها را مطالعه نمودند. مطابق با نتایج کار آنها، تنش خستگی و مدول یانگ با افزایش نرخ کرنش، افزایش می‌یابد. همچنین کرنش گسیختگی در شرایط نرخ کرنش متفاوت، با افزایش تعداد چرخه‌ها، افزایش نرخ کرنش، افزایش می‌یابد. گرانمایه وانقی و همکاران [۶] رفتار زوال‌پذیری مقاومتی ماسه‌سنگ و گرانودیبوریت را در اثر بارگذاری چرخه‌ای تکمحوری موردمطالعه قراردادند و به این نتیجه رسیدند که دامنه بارگذاری، بیشترین تأثیر را در پاسخ خستگی این‌گونه سنگ‌ها دارد.

با جده و پتروس [۷ و ۸] خصوصیات خستگی و دینامیکی ماسه‌سنگ را تحت بارگذاری سیکلی مطالعه کرده‌اند. آنها به این نتیجه رسیدند که با افزایش فرکانس بارگذاری، پارامترهایی نظری مقاومت خستگی، انرژی آزادشده و مدول دینامیکی کاهش می‌یابد. از طرفی آنها نشان دادند که ریزساختار نمونه‌ها بر روی خصوصیات خستگی مؤثر است. فوئنکاجورن و فوئنکام [۹] تأثیر بارگذاری چرخه‌ای را بر روی خصوصیات سنگ‌های نمکی مطالعه نمودند. مطابق با نتایج کار آنها، مقاومت خستگی با افزایش تعداد چرخه‌های بارگذاری بهصورت تابع توانی کاهش می‌یابد. لیو و هی [۱۰] و لیو و همکاران [۱۱] به‌منظور ارزیابی تأثیر تنش محصورکننده بر روی خصوصیات خستگی سنگ، یک سری آزمایش خستگی سه محوری بر روی ماسه‌سنگ‌ها انجام دادند که نشان داد با افزایش تنش محصورکننده، کرنش در لحظه شکست افزایش یافته و رفتار خستگی سه مرحله‌ای

حضور دارند. این مطلب باعث شده تا این سنگ‌ها کاملاً سفید بوده و پیشوند هولولکو برای آنها آورده شود. نبود این کانی‌ها، باعث شده تا این سنگ‌ها رفتار شکننده‌ای از خود نشان دهند. طوری که در نمونه‌های صحرایی فراهم کردن بلوك سنگی که بتوان مغزه مناسب از آن تهیه نمود مشکل بوده و اکثر بلوك‌ها دارای شکستگی و ریزترک‌های بودند که حاصل کرنش پذیری کم این سنگ‌ها در برابر تنש‌های تکتونیکی متتحمل شده درگذشته زمین‌شناسی سنگ و همچنین تنش‌های ناشی از عملکرد فرایندهای هوازدگی می‌باشد.



شکل ۱: سیمای کانی‌شناختی سنگ‌های گرانودیوریتی الوند، الف: عکس مقطع کانی‌شناختی، ب: نتایج آنالیز XRD. Qz: کوارتز، Pl: پلازیوکلаз، Or: اورتوز

۲-۳- آزمایش‌های خستگی نیرو کنترل
خلاصه نتایج بارگذاری استاتیکی و دینامیکی بر روی این سنگ‌ها در جداول ۱ و ۲ نشان داده شده است. این نتایج به عنوان مرجعی برای مقایسه رفتار دینامیکی با استاتیکی مورد استفاده قرار گرفت. با توجه به میانگین مقاومت تکمحوره ۲۵۹ مگاپاسکال و مدول الاستیک ۶۶ گیگاپاسکال به دست آمده، این سنگ‌ها بر اساس رده‌بندی دیر و میلر در رده AM قرار می‌گیرند. بالا بودن مدول الاستیسیته و نزدیک بوده آن با مقدار

درواقع این آزمایش‌ها بهمنظور تعیین خصوصیات فیزیکو-مکانیکی این گروه از سنگ‌ها در شرایط بارگذاری استاتیکی و فراهم ساختن مرجعی برای آزمایش‌های دینامیکی بعدی، انجام گردیدند. بهمنظور انجام آزمایش‌های خستگی، دستگاه سروهیدرولیک حلقه بسته از نوع اینسترون با ظرفیت بارگذاری ۵۰۰ کیلو نیوتون در دانشگاه آدلاید استرالیا استفاده گردید. آزمون خستگی به دو صورت نیرو کنترل و جابجایی کنترل انجام می‌گردد که هر دو روش در این پژوهش به کار گرفته شده است. آزمایش‌های مذکور در شرایط بارگذاری تکمحوری در سه سطح بیشینه بار مختلف، در بازه ۰/۹۵ - ۰/۹۲ و ۰/۹۸ در مقاومت فشاری تکمحوری سنگ در نظر گرفته شد. بعلاوه بهمنظور ارزیابی رفتار نرم شوندگی این سنگ‌ها، یک آزمون چندمرحله‌ای به روش جابجایی کنترل انجام گردید. در شروع آزمایش نمونه تا سطح تنش متوسط، بهصورت نیرو کنترل و با نرخ اعمال بار مشابه باحال استاتیکی (۱/۶ کیلو نیوتون بر ثانیه)، بارگذاری شد. پس از رسیدن به سطح تنش متوسط، با وارد کردن دامنه و فرکانس بارگذاری، بارگذاری چرخه‌ای آغاز گردید. فرکانس مورد استفاده در این پژوهش به جز یک آزمون با فرکانس بارگذاری ۰/۵ هرتز، یک هرتز بوده است. درنهایت نتایج به دست آمده از آزمون خستگی از نقطه نظر کرنش‌های حداکثر و حداقل جانبی و محوری، مدول‌های مماسی و متقاطع بارگذاری و باربرداری، چرمگی و انرژی وارفتگی مورد ارزیابی قرار گرفتند.

۳- نتایج و بحث

۳-۱- مطالعات پتروگرافی

مطالعات مقطع نازک نشان می‌دهد که گرانودیوریت‌های مورد مطالعه، درشتدانه با بافت انهدرا ل گرانولار می‌باشند (شکل ۱ الف). ترکیب کانی‌شناختی این سنگ‌ها شامل کوارتز (۲۵ درصد)، ارتوکلаз (۱۰ درصد)، پلازیوکلاز (۶۰ درصد)، مسکویت (۲ درصد) و اسفن (۳ درصد) می‌باشد. نتایج آزمون XRD انجام شده بر روی این سنگ‌ها مؤید نتایج مطالعات مقطع نازک می‌باشد (شکل ۱ ب). نکته قابل توجه در ترکیب این سنگ‌ها نبود کانی‌های مافیکی مثل بیوتیت و هورنبلند بوده که معمولاً در ترکیب سنگ‌های خانواده گرانیت‌وئیدها

که به هنگام گسیختگی در هر دو حالت استاتیکی و دینامیکی، سنگ منفجر شده و در آنها سطح شکست به علت انفجار قابل تشخیص نیست (شکل ۳). علت این رفتار را می‌توان به رفتار الاستیک این سنگ نسبت داد. درواقع به علت رفتار الاستیک سنگ، انرژی زیادی در سنگ ذخیره شده و زمانی که تراز تنش به حدی که باعث ایجاد هسته‌های ترک می‌رسد، این انرژی ذخیره شده باعث گسیختگی ناگهانی سنگ شده و آزاد می‌گردد.

۱-۲-۳- ارزیابی تأثیر بیشینه باربر روند خستگی
ازیابی آسیب خستگی بر اساس پارامترهای کرنش محوری و جانبی در برابر چرخه نسبی (شماره چرخه بارگذاری (n) به شماره چرخه نهایی در لحظه شکست(N)) و در شرایط بارگذاری با دامنه بار $0/68$ و بیشینه بارهای $0/92$ و $0/95$ و $0/98$ در شکل‌های ۴ و ۵ نشان داده شده است. همان‌طور که در این شکل‌ها دیده می‌شود فرایند آسیب خستگی این سنگ‌ها شامل سه مرحله هسته‌زایی ترک، رشد یکنواخت ترک و رشد تسریع شونده ترک می‌باشد. مرحله هسته‌زایی ترک (فاز I) و مرحله رشد یکنواخت و پایدار ترک (فاز II)، در هر چهار پارامتر و همچنین هر چهار نمونه قابل تشخیص می‌باشد. عدمه تفاوت رفتار این نوع سنگ با دیگر گرانیت‌وئیدها، مربوط به رشد ناپایدار و تسریع شونده ترک (فاز III) می‌باشد.

مدول متقطع، حکایت از این مطلب دارد که این سنگ‌ها کرنش پذیری خیلی پایینی دارند. ساختار بلورین و عدم توسعه هوازدگی در این سنگ‌ها باعث گردیده تا همانند دیگر سنگ‌های آذرین مقندر تخلخل این سنگ، پایین باشد. نبود کانی‌های مافیک حاوی آهن و منزیزم باعث شده دانسیته این سنگ‌ها نسبت به خانواده گرانیت‌وئیدها در پایین‌ترین مقدار باشد.

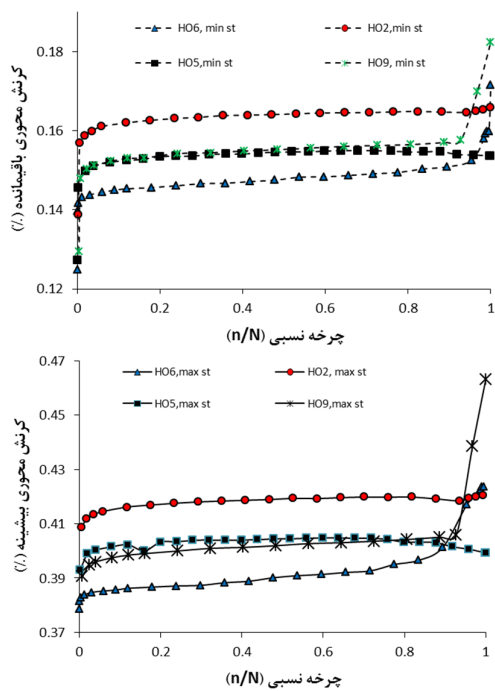
به منظور مقایسه رفتار گرانوپوریت‌ها در حالت بارگذاری استاتیکی و دینامیکی، منحنی تنش-کرنش این تیپ سنگی در هر دو حالت بارگذاری، در شکل ۲ نشان داده شده است. همان‌طور که در این شکل دیده می‌شود، به علت آسیب انباشتی، گسیختی برای این تیپ سنگی نیز می‌تواند در تراز تنشی پایین‌تر از مقاومت فشاری تکمحوری اتفاق بیفتد. با این وجود، ارزیابی رفتار این تیپ سنگی در شکل ۲ حکایت از رفتار بسیار الاستیک و شکننده برای این تیپ خاص سنگی داشته بهنحوی که سنگ در بارگذاری چرخه‌ای کرنش محوری کمی را متحمل شده و عملأً به محض رسیدن به کرنش محوری در لحظه شکست برای حالت بارگذاری استاتیکی، نمونه دچار گسیختگی می‌شود. در مقایسه با رفتار دیگر سنگ‌های گرانیت‌وئیدی [۱۴]، مقاومت این سنگ‌ها بالاتر بوده و سهم بخش رفتار پلاستیک در منحنی تنش-کرنش این نوع سنگ، بسیار محدود می‌باشد. شکنندگی این سنگ‌ها در حدی است

جدول ۱: خصوصیات فیزیکی و مکانیکی در شرایط استاتیکی برای گرانوپوریت‌های الوند

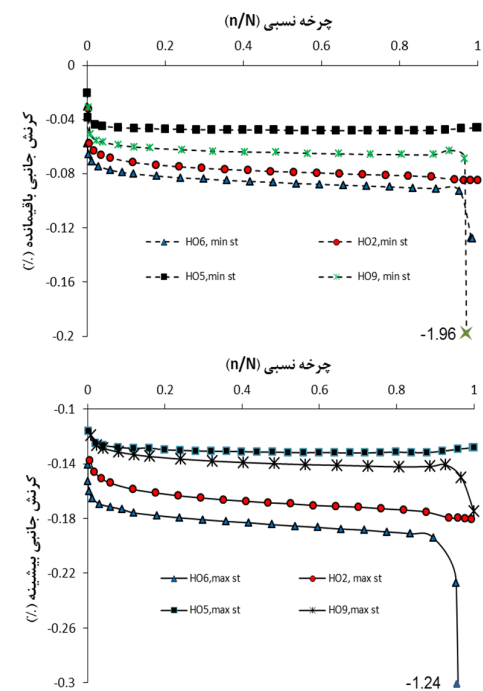
نوع مقادیر	مقاومت فشاری (Mpa)	مدول مماسی (Gpa)	مدول متقطع (Gpa)	چقرمگی (J/m3)	دانسیته (gr/cm3)	تخلخل (%)
بیشینه	۲۷۳/۲۲	۶۷/۸۸	۶۰/۲۲	۰/۵۷۸	۲/۶۴۷	۰/۹۲
میانگین	۲۵۹/۱۶	۶۶/۰۳	۵۹/۰۸	۰/۵۳۰	۲/۶۴۵	۰/۸۴
کمینه	۲۴۹/۱۰	۶۴/۷۲	۵۸/۱۷	۰/۴۶۸	۲/۶۴۴	۰/۷۶

جدول ۲: خلاصه‌ای اخلاصه‌ای از مشخصات آزمون‌های خستگی انجام‌شده بر روی گرانوپوریت‌ها

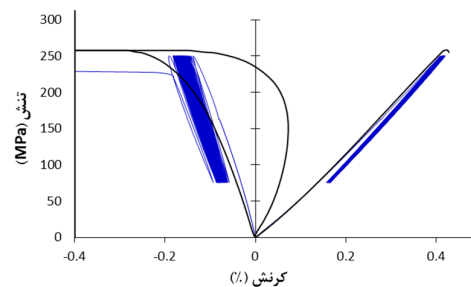
شماره نمونه	سطح تنش بیشینه	دامنه بارگذاری	فرکانس (Hz)	شماره چرخه شکست
HO5(92-1-501)	۰/۹۲	۰/۶۸	۱	۵۰۱
HO6(95-1-1709)	۰/۹۵	۰/۶۸	۱	۱۷۰۹
HO2(98-1-170)	۰/۹۸	۰/۶۸	۱	۱۷۰
HO9(98-0.5-124)	۰/۹۸	۰/۶۸	۰/۵	۱۲۴
HO11(87-98-1-277)	۰/۸۷، ۰/۹۲، ۰/۹۷، ۰/۹۸	۰/۶۸	۱	۲۷۷
HO3(95-1-164)	۰/۹۵	-	۱	۱۶۴



شکل ۴: روند تغییرات کرنش محوری حداکثر و باقیمانده در بارگذاری چرخه‌ای در نمونه‌های HO6(95-1-501)، HO5(92-1-170)، HO9(98-0.5-124) و HO2(98-1-170)، 1709



شکل ۵: روند تغییرات کرنش جانبی حداکثر و باقیمانده در بارگذاری چرخه‌ای در نمونه‌های HO6(95-1-1709)، HO5(92-1-501) و HO9(98-0.5-124) و HO2(98-1-170)



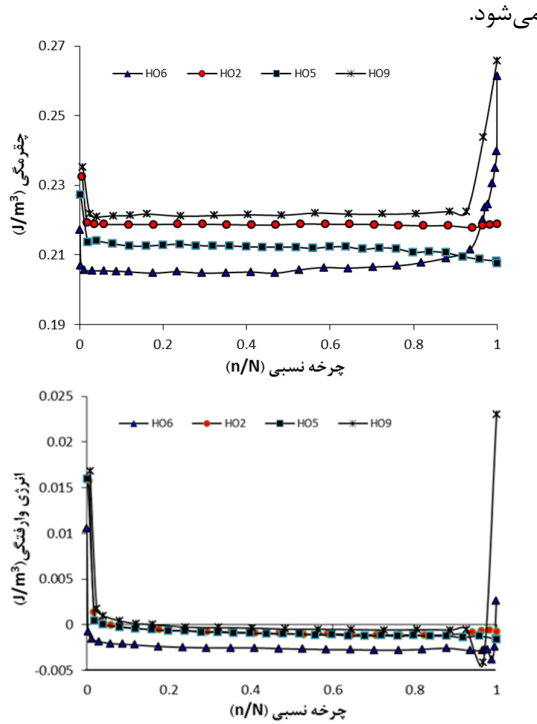
شکل ۶: نمونه‌ای از منحنی تنش کرنش استاتیکی و دینامیکی برای هولولوکوگرانودیورت‌های الوند



شکل ۳: انفجار هولولوکوگرانودیورت‌ها به هنگام شکست و پخش شدن اجزای آن

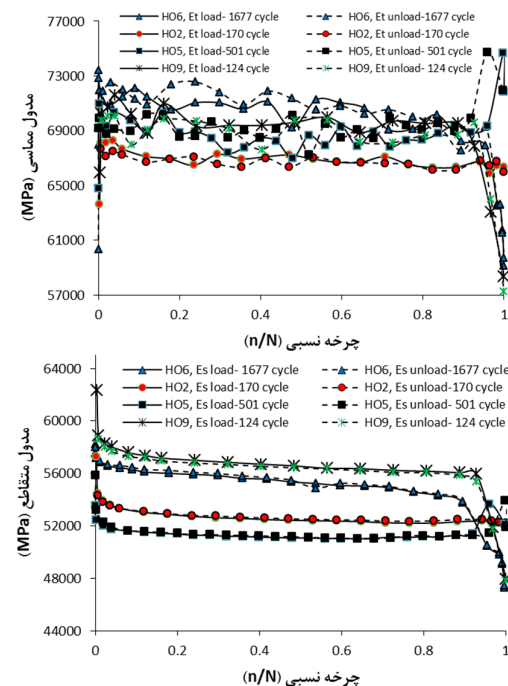
همچنین مقایسه منحنی‌های پارامترهای آسیب خستگی نمونه‌های HO9(98-0.5-124) و HO2(98-1-170) نشان می‌دهد که در شرایط بارگذاری مشابه و فرکانس متفاوت، با کاهش فرکانس بارگذاری، فاز توسعه سریع ترک، نمود بهتری از خود نشان می‌دهد. به علاوه با کاهش تنش بیشینه بارگذاری، بخش بیشتری از عمر خستگی، در فاز گسترش سریع ترک، طی می‌گردد. درواقع در سطوح تنش بالاتر به علت گسترش ناگهانی ترک‌های ایجادشده در مراحل قبل تعداد چرخه‌هایی که رفتار نمونه وارد فاز سوم خستگی شده است، بسیار محدود است. در مقایسه با رفتار دیگر گرانیتوئدی [۱۴] و علیرغم تحمل تنش بالاتر، مقدار کرنش‌های محوری و جانبی در لحظه شکست برای این تیپ سنگی، در هر دو شرایط بارگذاری استاتیکی و چرخه‌ای کمتر می‌باشد. این امر نشان از رفتار الاستیک این تیپ سنگی داشته و شکنندگی آن باعث شده که میزان تغییر شکل پلاستیک ایجادشده در سنگ، قبل از رسیدن به نقطه شکست محدود باشد.

روند آسیب خستگی چقرمگی و انرژی وارفتگی در شکل ۷ نشان داده شده است. همان‌طور که در این شکل دیده می‌شود، کاهش ناگهانی در چند چرخه اول بارگذاری، ناشی از بسته شدن ریزترک‌های موجود و بارگذاری آهسته تا تنش متوسط، برای این تیپ سنگی نیز مشاهده می‌شود. در چرخه‌های بعدی، ایجاد ریزترک‌های جدید و رشد ترک‌های قبلی به آهستگی شروع و کم‌کم روند افزایشی آن با شبیه یکنواخت ادامه می‌یابد. درنهایت یک افزایش سریع در روند تغییرات چقرمگی اتفاق می‌افتد که در ارتباط با فاز تسریع شونده رشد ترک است. همانند روند تغییرات دیگر پارامترهای آسیب خستگی، آنمالی مربوط به فاز سوم آسیب، در نمونه HO5(92-1-501)-برای چقرمگی و انرژی وارفتگی هم دیده می‌شود. برای انرژی وارفتگی نیز رفتار مشابه با روند تغییرات چقرمگی مشاهده می‌شود. نکته بسیار مهم در روند تغییرات انرژی وارفتگی این مطلب است که با کاهش شدید در چند چرخه اول، مقدار این پارامتر به سمت صفر می‌کند. درواقع به علت تشکیل نشدن حلقه هیسترسیس، بخشی از انرژی که در هر چرخه به سنگ وارد شده مصرف نشده و این انرژی در سنگ ذخیره می‌شود.



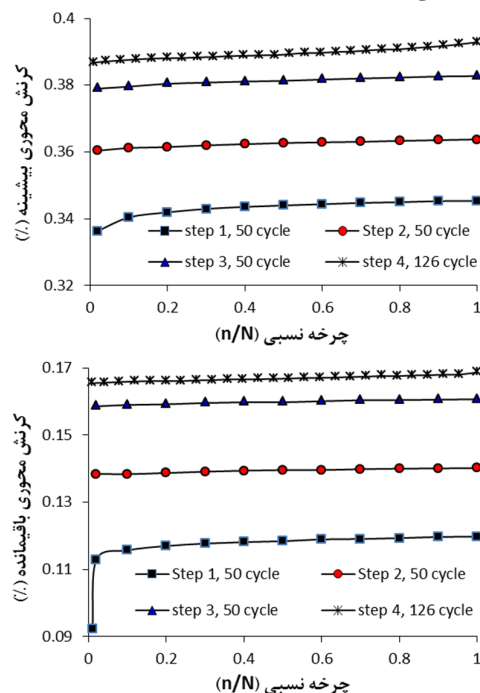
شکل ۷: روند تغییرات چقرمگی و انرژی وارفتگی در شرایط بیشینه بار متفاوت در نمونه‌های HO6(95-1-170)، HO5(92-1-501) و HO9(98-0.5-124) و HO2(98-1-170)

شکل ۶ تغییرات پارامتر آسیب خستگی مدول مماسی و متقطع را در شرایط بارگذاری و باربرداری در برابر چرخه نسبی نشان می‌دهد. همان‌طور که در این شکل دیده می‌شود، آنمالی مربوط به نمونه HO5(92-1-501) در هر دو مدول مماسی و متقطع نیز نمود پیداکرده است. روند تغییرات نشان می‌دهد که به‌طورکلی مدول مماسی روند کاهشی را با افزایش تعداد چرخه‌ها، در هر دو شرایط بارگذاری و باربرداری، نشان می‌دهد. با این وجود، تشخیص مراحل مماسی آسیب خستگی برای این پارامتر مشکل است. برخلاف مدول مماسی، روند آسیب سه مرحله‌ای برای مدول متقطع در هر دو شرایط بارگذاری و باربرداری دیده می‌شود. مشابه با تغییرات کرنشی، برای این پارامترها نیز با کاهش تنش بیشینه بارگذاری، بخش بیشتری از عمر خستگی در فاز توسعه سریع ترک سپری شده است. نکته قابل توجه در روند تغییرات مدول‌های الاستیک و بخصوص مدول متقطع، مشابه بودن مقادیر این پارامتر در شرایط بارگذاری و باربرداری است. درواقع این انتباط حکایت از رفتار الاستیک خطی و عدم تشکیل حلقه وارفتگی دارد.



شکل ۶: روند تغییرات مدول‌های مماسی و متقطع بارگذاری و باربرداری در شرایط بیشینه بار متفاوت در نمونه‌های HO5(92-1-501)، HO9(98-0.5-124) و HO2(98-1-170)، HO6(95-1-170)

تشخیص داد. روند تغییرات کرنش جانبی همانند کرنش محوری بوده با این تفاوت که مراحل ذکر شده در کرنش جانبی بهتر قابل تشخیص هستند. درواقع چون ترکهای ایجاد شده در راستای بارگذاری توسعه می‌یابند، لذا بازشدن آنها در راستای عمود بر ترک بوده و باعث می‌شود که در بارگذاری چرخهای کرنش جانبی بیش از کرنش محوری تحت تأثیر قرار گیرد.

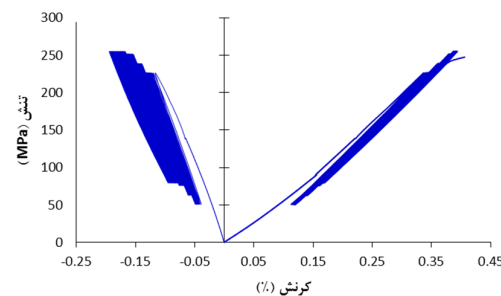


شکل ۹: روند تغییرات کرنش‌های محوری بیشینه و باقیمانده در آزمون خستگی نیرو کنترل پله‌ای برای نمونه HO11(87-98-1-277)

همان‌طور که در شکل ۱۱ دیده می‌شود، مدول متقطع بارگذاری و باربرداری در چرخه‌های اولیه به خاطر بسته شدن ناپیوستگی‌های موجود در سنگ، افت سرعی داشته و با افزایش تعداد چرخه‌ها به سمت پایداری میل می‌نمایند. درواقع روند کاهش مدول با شیب کاهنده به دلیل این مطلب است که محیط الاستیک پیرامون ناحیه پلاستیک ترک، به خاطر خاصیت الاستیسیته، به هنگام باربرداری تمایل به برگشت به حالت اولیه دارد. این موضوع باعث ایجاد تنش فشاری در اطراف ترک شده و باعث کند شدن روند رشد آن می‌گردد. به همین خاطر، بارگذاری پله‌ای یا بیش بارگذاری انجام گردیده است. در دو پله میانی رفتار نمونه مشابه با پله اول بوده و شیب منحنی‌ها تقریباً باهم برابرند. در درصد عمر خستگی مربوط به پله بارگذاری چهارم شیب منحنی روندی افزاینده به خود

در توجیه این رفتار، می‌توان چنین بیان کرد که در چند چرخه اول که حلقه‌های کوچک وارفتگی تشکیل می‌شود، بخشی انرژی واردہ به سنگ، صرف بسته ریزترک‌ها شده و مصرف می‌شود. پس از بسته شدن این ریزترک‌ها، سنگ کاملاً یکپارچه و الاستیک شده و به علت اینکه عملًا نقطه تسليم در این سنگ‌ها نزدیک مقاومت نهایی است، بخش زیادی از انرژی واردہ مصرف نشده تا به چرخه‌های آخر برسد.

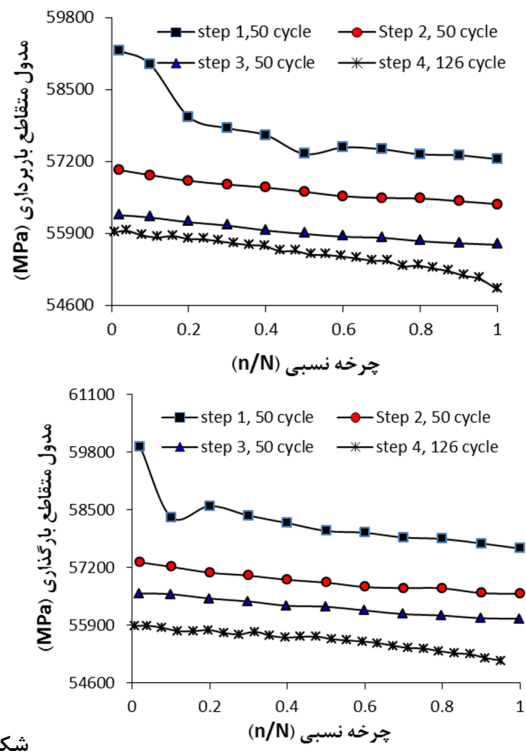
یک آزمون خستگی چندمرحله‌ای نیرو کنترل در ۴ سطح تنش از ۰/۸۷ تا ۰/۹۸ مقاومت فشاری تکمحوری بر روی گرانودیبوریت الوند انجام گردید (شکل ۸). نحوه انجام این آزمایش به نحوی بود که تنش‌های اعمالی بعد از تثبیت تغییر شکل به ترتیب افزایش داده شدند. روند آسیب خستگی چندمرحله‌ای بر اساس پارامترهای کرنش جانبی و محوری، مدول متقطع، چقرومگی و انرژی وارفتگی مورد بررسی قرار گرفت.



شکل ۸: منحنی تنش-کرنش بارگذاری پله‌ای در نمونه HO11(87-98-1-277)

روند تغییرات کرنش‌های محوری و جانبی حداکثر و باقیمانده در بارگذاری پله‌ای، در شکل‌های ۹ و ۱۰ نشان داده شده‌اند. همان‌طور که در این شکل‌ها دیده می‌شود، افزایش سریع مقادیر کرنش‌ها در ۲۰ درصد اول عمر خستگی مربوط به پله اول، مشخص بوده و بعداز آن منحنی با شیب تقریباً یکنواخت ادامه می‌یابد. افزایش پله‌های تنش، تنها باعث افزایش ناگهانی در چرخه اول شده ولی شیب منحنی‌های مربوط به پله‌های تنش دوم و سوم تقریباً موازی با بخش یکنواخت پله تنش اول می‌باشدند که بیانگر فاز توسعه یکنواخت ترک می‌باشد. در ۵۰ تا ۶۰ درصد عمر خستگی پله تنش چهارم، شیب منحنی معکوس شده و روندی افزاینده به خود می‌گیرد و حکایت از شروع فاز آسیب جدی به نمونه دارد. در صورت ترکیب این منحنی‌ها، می‌توان روند سه مرحله‌ای آسیب خستگی را برای این نمونه

یابد. در پله تنش دوم روند کاهشی انرژی وارفتگی ادامه داشته و عملتاً مقدار آن صفر است. در پله تنش سوم و چهارم منحنی روندی افزاینده داشته ولی با این وجود، تغییرات بسیار کم بوده و نزدیک صفر است.

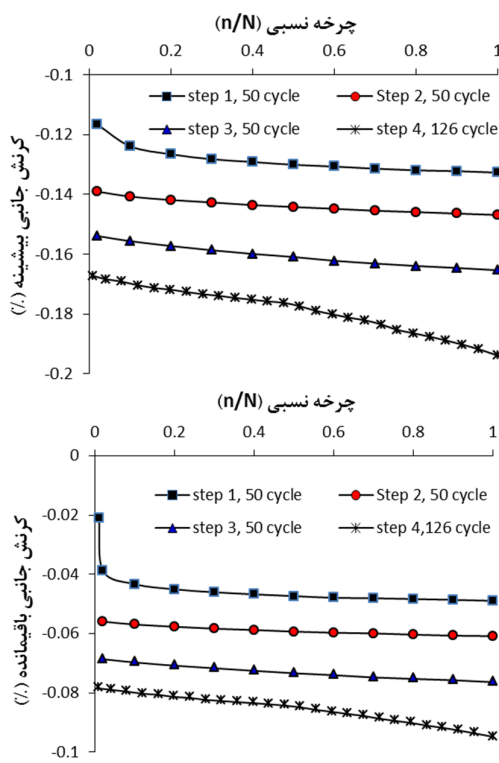


شکل

۱۱: روند تغییرات مدول مقاطعه بارگذاری و باربرداری در آزمون خستگی نیرو کنترل پله‌ای برای نمونه HO11(87-98-1-277)

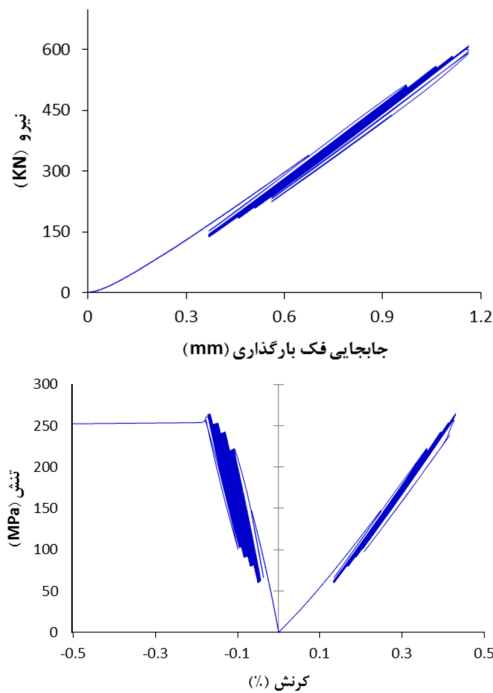
۳-۳- آزمون خستگی جابجایی کنترل پله‌ای
به منظور درک بهتر چگونگی رفتار سخت‌شوندگی و یا نرم شوندگی گرانودیوریت‌ها، یک نمونه آزمایش بارگذاری چرخه‌ای به صورت جابجایی کنترل انجام گردید. نمودارهای نیرو-جابجایی دستگاه اینسترون و نمودار تنش-کرنش این نمونه در شکل ۱۳ نشان داده شده‌اند. همان‌طور که در این شکل دیده می‌شود، برای اعمال یک جابجایی مشخص پیوسته میزان نیرو و یا تنش لازم کاهش یافته و این روند کاهشی نیرو در پله بارگذاری نهایی مشهودتر است.

می‌گیرد. لازم به ذکر است که به دلیل روند پراکنده مدول مماسی، از آوردن این پارامتر خودداری به عمل آمده است.



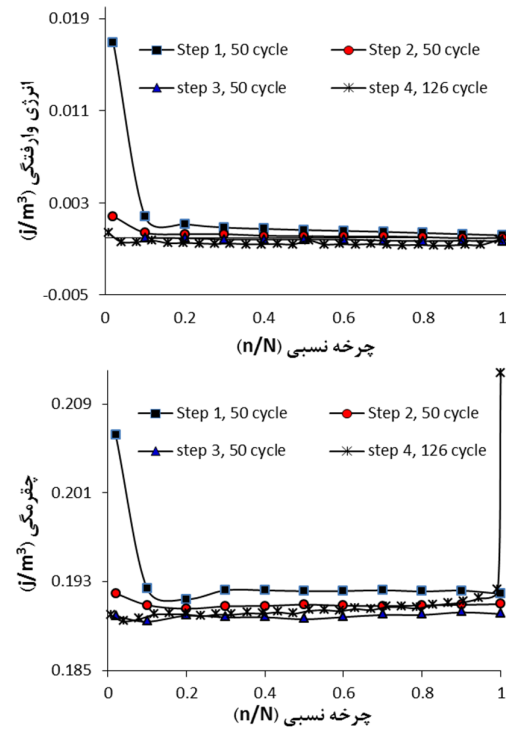
شکل ۱۰: روند تغییرات کرنش‌های جانی بیشینه و کرنش باقیمانده در آزمون خستگی نیرو کنترل پله‌ای برای نمونه HO11(87-98-1-277)

پارامتر آسیب خستگی چقرمگی یک افت شدید را در چرخه‌های اولیه پله بارگذاری با سطح تنش برابر با ۸۷٪ مقاومت فشاری تکمحوری سنگ، نشان می‌دهد (شکل ۱۲). پس از بسته شدن ریزترک‌ها و گذشت ۲۵ درصد از عمر خستگی پله تنش اول، منحنی روندی یکنواخت با شبیب بسیار کم به خود می‌گیرد چراکه مقدار کرنش معادل تنش‌ها نسبت به چرخه‌های اولیه کم شده است. در پله‌های تنش میانی نیز کاهش اولیه در چقرمگی همانند پله اول، ولی با شدت کمتر دیده شده و پس از آن نمودار با شبیب یکنواخت و مثبت ادامه می‌یابد. تغییرات این پارامتر در پله تنش چهارم همانند مراحل قبل بوده با این تفاوت که تقریباً در ۸۰ درصد عمر خستگی شبیب منحنی شروع به افزایش سریع‌تر کرده و یک جهش بزرگ در چرخه آخر بارگذاری دیده می‌شود. تغییرات انرژی وارفتگی نشان می‌دهد که در پله تنش اول، منحنی در چرخه‌های اولیه کاهش شدیدی داشته و روند کاهشی آن ادامه می-



شکل ۱۳: تغییرات نیرو-جابجایی دستگاه اینسترون و تنش-کرنش نمونه HO3(95-1-164) در آزمایش خستگی جابجایی

تغییرات تنش کمینه و بیشینه روند کاملًا مشابهی را از خود نشان می‌دهند. افت این پارامتر در ۵ درصد از عمر خستگی پله اول مشخص بوده و پس از آن روند نزولی تنش با شیب بسیار کم ادامه می‌یابد (شکل ۱۴). این روند یکنواخت در پله‌های دوم و سوم بارگذاری و به صورت هم‌شیب ادامه می‌یابد. در ۸۰ درصد عمر خستگی پله آخر شیب تغییرات تنش شدت گرفته و رفتار نرم شوندگی مشهود است. این رفتار در منحنی تغییرات تنش بیشینه مشخص‌تر از تنش کمینه می‌باشد که باعث افت ۲۵ مگا پاسکالی در تنش اعمالی پله آخر شده است. با این وجود، روند تغییرات تنش نشان می‌دهد که شکنندگی سنگ باعث شده که این تیپ خاص از سنگ، کمتر تحت تأثیر رفتار نرم شوندگی قرار گیرد.



شکل ۱۴: روند تغییرات چقمرمگی و انرژی وارفتگی در آزمون خستگی به روش نیرو کنترل پله‌ای برای نمونه HO11(87-98-1-277)

علت چنین روندی می‌تواند ناشی از افت تنش و به تبع آن کرنش متناظر با آن در بارگذاری چرخه‌ای باشد. چراکه عامل کنترل کننده آزمون نیرو جابجایی فک‌های بارگذاری سیکلی هم بوده و عملًا هم‌مقدار تنش و هم‌مقدار کرنش متغیر است. با توجه به آنچه گفته شد این تیپ سنگ نیز رفتار نرم شوندگی از خود نشان می‌دهد. با این وجود به علت رفتار غالب الاستیک و تغییر شکل پلاستیک کم، مقادار نرم شوندگی این نوع سنگ کم می‌باشد. درواقع با توجه به مکانیسم ایجاد ترک در نرم شوندگی سنگ‌های سخت، وقوع این پدیده به خاطر طبیعت شکنندگه گرانویدیوریت‌ها، کمتر دستخوش رفتار نرم شوندگی گردیده است. بهمنظور بررسی بهتر رفتار نرم شوندگی این سنگ‌ها، روند تغییرات تنش‌های بیشینه و کمینه، در برابر چرخه نسبی در شکل ۱۴ نشان داده شده‌اند.

بعلاوه مقایسه تغییرات کرنش جانبی و محوری نشان می‌دهد که کرنش جانبی آسیب‌پذیری بیشتری داشته، بدین معنی که عمدت ترک‌های ایجاد شده، در راستای محور بارگذاری بوده و همچنین کرنش محوری لحظه شکست در بارگذاری چرخه‌ای تقریباً برابر با کرنش لحظه شکست در بارگذاری استاتیکی است...

۳- پارامترهای کرنش جانبی به عنوان حساس‌ترین پارامتر از میان پارامترهای آسیب خستگی بوده که می‌تواند رفتار خستگی این تیپ سنگ‌ها را نشان دهد.

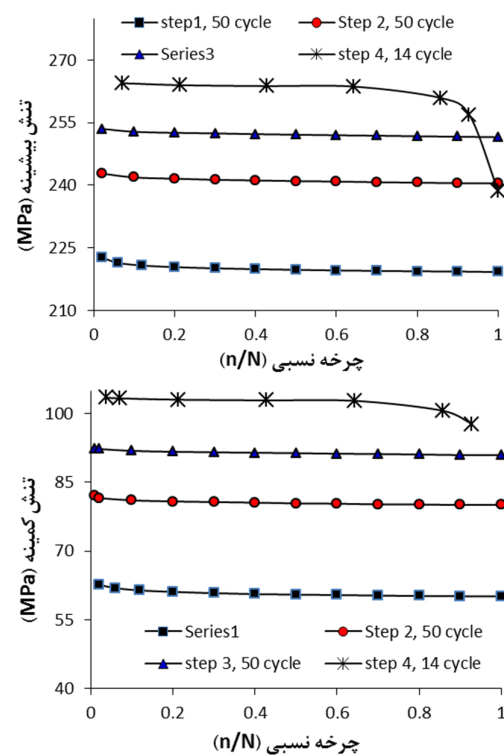
۴- مدول مقاطعه نسبت به مدول مماسی در فرایند آسیب خستگی، روند ضعیف شدگی پیشرونده سنگ را بهتر نشان می‌دهد.

۵- به جز چند چرخه ابتدایی و انتهایی عملأً حلقة وارفتگی در سنگ تشکیل نشده و بخشی از انرژی وارد شده به سنگ به صورت گرمای هدر رفته و بخش دیگر آن در سنگ ذخیره شده و باعث می‌شود زمانی که ترک جوانه زد، سنگ به صورت ناگهانی بشکند و انرژی ذخیره شده را آزاد نماید. میزان انرژی ذخیره شده به حدی است که باعث انفجار سنگ شده و عملأً سطح شکست واضحی قابل تشخیص نخواهد بود.

۶- منحنی‌های نیرو-جابجایی دستگاه و تنش-کرنش جانبی در آزمون جابجایی کنترل نشان می‌دهد که علیرغم تغییرات اندک، رفتار این نوع سنگ‌ها از نوع رفتار کرنش نرم شوندگی می‌باشد. از بین پارامترهای آسیب خستگی می‌توان از تغییرات پارامتر تنش بیشینه برای ارزیابی رفتار نرم شوندگی این سنگ‌ها استفاده نمود.

۵- سپاس‌گزاری

نویسنده‌گان کمال تشکر را از پرسور مارک جکسا ریس دانشکده مهندسی عمران، محیط‌زیست و معدن دانشگاه آزاد اسلامی را به خاطر همکاری در انجام این پژوهش دارند. همچنین از آقایان دیوید هال و این کیتس به خاطر همکاری در انجام آزمایشات تشکر می‌گردد.



شکل ۱۴: روند تغییرات تنش بیشینه و کمینه طی آزمایش خستگی جابجایی کنترل برای نمونه HO3(95-1-164)

۴- نتیجه‌گیری

به‌منظور ارزیابی رفتار خستگی سنگ‌های گرانیتوئدی آزمون بارگذاری تکمحوره چرخه‌ای بر روی این سنگ‌ها انجام گردید و با استفاده از پارامترهای آسیب خستگی، روند تضعیف‌شدگی سنگ از شروع بارگذاری تا لحظه شکست مورد ارزیابی قرار گرفت. موارد زیر را می‌توان به عنوان نتیجه‌گیری از رفتار خستگی این تیپ سنگی برشمرد.

۱- سنگ‌های که رفتار الاستیک و مقاومت خیلی بالا دارند، به پدیده خستگی حساسیت کمتری خواهند داشت. درواقع هرچه نقطه تسليم به مقاومت نهایی نزدیک‌تر باشد سنگ کمتر دچار خستگی می‌شود.

۲- مکانیسم گسیختی در این نوع سنگ‌ها نیز ایجاد ریزترک بوده و آسیب انباشتی خستگی یک فرایند سه مرحله‌ای را نشان می‌دهد.

۶- مراجع

- [8] Bagde, M.N., Petros, V., 2009. Fatigue and dynamic energy behavior of rock subjected to cyclical loading. *Int. J. Rock. Mech. Min. Sci.* 46: 200– 209. DOI:10.1016/j.ijrmms.2008.05.002
- [9] Fuenkajorn, K., Phueakphum, D., 2010. Effects of cyclic loading on mechanical properties of Maha Sarakham salt. *Eng. Geol.* 112: 43–52. DOI 10.1016/j.enggeo.2010.01.002
- [10] Liu, E., He, S., 2012. Effects of cyclic dynamic loading on the mechanical properties of intact rock samples under confining pressure conditions. *Eng. Geol.* 125: 81–91. DOI:10.1016/j.enggeo.2011.11.007
- [11] Liu, E., Huang, R., He, S., 2012. Effects of frequency on the dynamic properties of intact rock samples subjected to cyclic loading under confining pressure conditions. *Rock. Mech. Rock. Eng.* 45: 89–102. DOI: 10.1007/s00603-011-0185-y
- [12] Momeni, A., Karakus, M., Khanlari, G.R., Heidari, M., Effects of cyclic loading on the mechanical properties of a granite. *Int. J. Rock. Mech. Min. Sci.* 77: 89–96. DOI: 10.1016/j.ijrmms.2015.03.029
- [13] International Society for Rock Mechanics, 2015. The ISRM Suggested Methods for Rock Characterization, Testing and Monitoring: 2007-2014. In: Ulusay R (ed) ISRM suggested methods. Springer International Publishing Switzerland ISBN: 978-3-319-07712-3
- [۱۴] مؤمنی، ع.ا. ۱۳۹۲. بررسی رفتار تابع زمان سنگ‌های گرانیتوئیدی الوند با تأکید بر هوازدگی و خستگی. پایان‌نامه دکتری، دانشگاه بوعالی سینا
- [15]
- [1] Mansurov, V.A., 1993. Laboratory experiments: their role in the problem of rock burst prediction. In: Hudson, editor. *Comprehensive rock engineering principles, practice & projects*, Vol. 3. Rock testing and site characterization. Oxford: Pergamon Press, p. 745–71. ISBN 0080420664 9780080420660 0080359310 9780080359311
- [2] Burdine, N.T., 1963. Rock failure under dynamic loading conditions. *Soc. Petr. Eng. J.* 3: 1–8. DOI: 10.2118/481-PA
- [3] Ishizuka, Y., Abe, T., Kodama, J., 1990. Fatigue behavior of granite under cyclic loading. In: Brumer, R., editor, *ISRM international symposium—static and dynamic considerations in rock engineering*, Swaziland, p.139–46. ISRM-IS-1990-015 .
- [4] Yamashita, S., Sugimoto, F., Imai, T., Namsrai, D., Yamauchi, M., Kamoshida, N., 1999. The relationship between the failure process of the creep or fatigue test and of the conventional compression test on rock. In: Vouille, G., Berest, P., editors. *ISRM-9 CONGRESS-1999-142*
- [5] Ray, S.K., Sarkar, M., Singh, T.N., 1999. Efekt of loading and strain rate on the mechanical behavior of sandstone. *Int. J. Rock. Mech. Min. Sci.* 36: 543–9. DOI: 10.1016/S0148-9062(99)00016-9
- [6] Geranmayeh Vaneghi, R., Ferdosi, B., Okoth, A.D., Kuek, B., 2018. Strength degradation of sandstone and granodiorite under uniaxial cyclic loading. *Journal of Rock Mechanics and Geotechnical Engineering* 10(1): 117-126 .
- [7] Bagde, M.N., Petros, V., 2005. Fatigue properties of intact sandstone samples subjected to dynamic uniaxial cyclical loading. *Int. J. Rock. Mech. Min. Sci.* 42: 237–50. DOI:10.1016/j.ijrmms.2004.08.008

تحلیل ریسک دینامیکی تونل‌های بزرگ مقطع با استفاده از روش ماتریس احتمال - اثر (مورد مطالعاتی: تونل راه آهن کوهین محور قزوین - رشت)

رضا میکائیل^{۱*}؛ عرفان شافعی^۲؛ سعید حسنی^۳

۱- دانشیار و عضو هیئت‌علمی گروه مهندسی معدن و مواد دانشگاه صنعتی ارومیه

۲- استادیار و عضو هیئت‌علمی گروه مهندسی عمران دانشگاه صنعتی ارومیه

۳- کارشناس ارشد مهندسی معدن

چکیده

امروزه بدليل رشد روزافرود جمعیت تردددهای شهری و بین‌شهری در حال افزایش است و همین عامل باعث به کارگیری تونل‌های ریلی و آسفالتی برای کاهش ترافیک‌ها، سوخت‌های مصرفی و غیره شده است. تونل راه آهن کوهین که در قسمت غربی رشت‌کوه البرز و در محور قزوین- رشت قرار دارد یکی از تونل‌های بزرگ مقطع بین‌شهری کشور است. پر واضح است که در اهمیت جلوگیری از خسارت‌های مالی و جانی در چنین سازه‌هایی، سازه علاوه بر تحمل بارهای استاتیکی باید قادر به تحمل بارهای دینامیکی همچون زلزله نیز باشد. بدليل این‌که بارهای دینامیکی وارد بر تونل باعث ایجاد ریسک‌های متفاوتی در مقاطع مختلف تونل می‌شوند، در این تحقیق مقاطع با روبارهای ۶، ۱۵، ۲۰، ۴۰، ۶۰، ۸۰ و ۱۰۰ متری از تونل کوهین به منظور تعیین بیشینه ریسک در اثر بارهای دینامیکی ایجادشده موردنرسی قرار گرفتند. این مقاطع ابتدا به وسیله روش‌های تحلیلی در شرایط لغزش کامل و بدون لغزش تحت بارهای دینامیکی ایجادشده توسط دو گسل زلزله‌خیز زنجان و شمال قزوین به صورت دینامیکی تحلیل شدند. سپس ریسک مقاطع با استفاده از روش ماتریس احتمال - اثر موردنرسی قرار گرفتند که نتایج به دست آمده نشان می‌دهد بیشترین ریسک در مقاطع با روبارهای ۶، ۱۵ و ۲۰ متری ایجاد می‌شود.

واژگان کلیدی **تونل راه آهن، تحلیل دینامیکی، مدیریت ریسک، روش احتمال-اثر، تونل راه آهن کوهین**

۱- مقدمه

زیان شود [۱] و یا می‌توان احتمال عدم حفظ و نگهداری در برابر یک رویداد خطرناک تلقی کرد [۲] هم‌چنین طبق تعریفی دیگر، ریسک یک رویداد یا شرایط دارای غیرقطعی است که اگر اتفاق بیفتد تأثیر مثبت یا منفی بر روی اهداف پژوهه خواهد داشت [۳-۴]. اقتصاددان‌ها از واژه‌های ریسک و عدم قطعیت، برای معرفی سطح اطلاعات و دانش خود از رویدادها استفاده می‌کنند. عدم قطعیت به شرایطی اطلاق می‌شود که در آن نه تنها مجموعه رویدادهای ممکن، بلکه احتمال آن‌ها نیز نامشخص است [۵].

در سال‌های اخیر و به‌ویژه در بسیاری از زمینه‌های علوم مهندسی تحلیل ریسک پژوهه‌های اجرائی گسترش فراوانی یافته است. به‌طوری‌که می‌توان ریسک‌های ایجادشده در پژوهه‌ها را یکی از پارامترهای اجرائی شدن آن‌ها دانست. تاکنون تعاریف بسیاری برای ریسک ارائه شده است که چند مورد از آن را می‌توان به صورت زیر بیان کرد: ریسک، بر اساس استاندارد مدیریت ریسک (PMBOK) عدم قطعیتی است که می‌تواند تأثیر نامطلوبی داشته و درنهایت منجر به خسارت یا

* ارومیه، کیلومتر دوم جاده بند، دانشگاه صنعتی ارومیه، کد پستی: ۵۷۱۶۵-۰۷۱۶۵ تلفن ثابت: ۰۴۴۳۱۹۸۰۳۱۴ تلفن همراه: ۰۹۱۱۳۲۷۸۶۳۴

نمایر: ۰۴۴۳۱۹۸۰۲۵۱ آدرس پست الکترونیکی: Reza.mikaeil@uut.ac.ir

استفاده کرد.

در چند دهه اخیر در رابطه با تحلیل‌های دینامیکی و همچنین تعیین ریسک‌های بسیاری از پروژه‌ها از زوایای مختلف کارهای بسیاری صورت گرفته است. حمدی و همکاران در سال ۲۰۱۵ به بررسی و تحلیل دینامیکی تونل‌ها با استفاده از روش‌های عددی پرداختند. آن‌ها در طی این تحقیق دریافتند که بیشترین جابجایی در پوشش تونل‌ها تحت بارهای دینامیکی ناشی از زلزله در حد وسط زمان رخداد زلزله می‌باشد [۸]. فابوزی و همکاران در سال ۲۰۱۷ به بررسی دینامیکی و تحلیل نیروهای داخلی در پوشش تونل و دیواره دیافراگم ایستگاه مترو در کشور ایتالیا پرداختند [۹]. باوو و همکاران در سال ۲۰۱۷ به بررسی رفتار دینامیکی تونل‌های قطار شهری در زمین‌های روانگرا پرداختند [۱۰]. سالمی و همکاران در سال ۲۰۱۷ به تحلیل دینامیکی پوشش‌های بتنی مسلح تونل‌های دوقلوی تبریز با تلفیق روش‌های عددی و الگوریتم ژنتیک پرداختند [۱۱]. زهفروش و ناصری در سال ۲۰۱۸ به بررسی رفتار دینامیکی تاج تونل خط ۲ قطار شهری تبریز تحت تأثیر امواج لرزه‌ای ناشی از زلزله با استفاده از روش عددی اجزای محدود پرداختند. نتایج حاصل از بررسی‌ها نشان داد که رفتار تونل در صورت اعمال روباره نسبت به حالت فاقد روباره حساسیت به لایه‌بندی خاک نداشته و میزان تغییر شکل تاج تونل در تمامی توده خاک نزدیک به هم می‌باشد [۱۲].

تحلیل ریسک دینامیکی در سازه‌های تونلی به دلیل اهمیت ویژه آن‌ها در برابر وقوع زلزله و برآورد مقدار خسارت منتجه بسیار مهم بوده لذا می‌بایست براساس مدل رفتار خمشی و برشی سازه بررسی و تحلیل جامع‌تری نسبت به گذشته صورت پذیرد. لذا در این راستا نوآوری تحقیق حاضر به صورت بررسی پارامترهای رفتاری سازه تونل‌ها و ریسک دینامیکی آن‌ها با در نظر گرفتن دو معیار مقاومت خمشی و برشی در برابر زلزله ارائه می‌شود. همان‌طور که واضح است، تحلیل ریسک دینامیکی یک سازه با نمایان کردن تأثیر تمام نیروهای واردشده بر سازه می‌تواند موجب تمایز توجه به مقاطع مختلف سازه‌ها شده و درنتیجه اقدامات لازم در موارد نیاز برای مقاطع حساس، به منظور کاهش ریسک، انجام شود.

۲- معرفی ساختگاه تونل راه‌آهن کوهین

تونل راه‌آهن کوهین در قطعه اول راه‌آهن قزوین- رشت- بندرانزلی که در قسمت غربی رشته‌کوه البرز احداث شده است،

آنجایی که مدیریت ریسک پروژه به افزایش احتمال و تأثیر وقایع مثبت و کاهش احتمال و تأثیر وقایع منفی در پروژه است می‌توان فرآیند مدیریت ریسک را از دیدگاه PMBOK در شش مرحله؛ ۱- برنامه‌ریزی مدیریت ریسک ۲- شناسایی ریسک ۳- تجزیه و تحلیل کیفی ریسک ۴- تجزیه و تحلیل کمی ریسک ۵- برنامه‌ریزی پاسخ به ریسک ۶- بازبینی و کنترل ریسک خلاصه کرد [۲].

همان‌طور که مشخص است اگر ریسک صفر باشد، آینده به‌طور کامل قابل پیش‌بینی خواهد بود و یا اگر بتوان ریسک را در یک موقعیت معین کاهش داد، آینده قابل پیش‌بینی‌تر و قابل کنترل‌تر می‌شود. در صنعت تونل‌سازی، ارزیابی و تعیین ریسک قبل و بعد از ساخت تونل از جمله مراحل کلیدی مدیریت پروژه است. مطالعات صورت گرفته در مدیریت ریسک قبل از ساخت و در حین اجرای تونل نشان می‌دهد که ریسک‌های ناشی از عوامل اقتصادی و تعهدات ضمانتها می‌تواند به ترتیب بیشترین و کمترین رتبه ریسک را در پروژه‌های تونل‌سازی به خود اختصاص دهند [۶].

در خصوص مطالعات ریسک بعد از ساخت تونل، می‌توان به یکی از موارد کلیدی در این زمینه که همان تحلیل ریسک لرزه‌ای تونل، اشاره کرد. بر مبنای اطلاعات ثبت‌شده، سازه‌های زیرزمینی نسبت به سازه‌های سطحی از آسیب‌پذیری بسیار کمتری در برابر زلزله برخوردار بوده و حتی بسیاری از تونل‌ها و فضاهای زیرزمینی، در برابر زلزله‌های بزرگ مقاومت کرده‌اند. البته در این میان نیز می‌توان به خسارات قابل توجه واردشده به سازه‌های زیرزمینی طی زلزله‌های نظیر کوبه ژاپن در سال ۱۹۹۵ و چی-چی تایوان در سال ۱۹۹۹ اشاره کرد؛ که خساراتی از قبیل ترک خوردن و پوسته‌شدن پوشش، ناپایداری دهانه، هجوم آب زیرزمینی، تغییر شکل و جابه‌جائی پوشش، سقوط سنگ، ترک برداشتن کف و برش خوردن پوشش مشاهده شد [۷]. بنابراین می‌توان گفت که تونل‌ها به‌طور مطلق در برابر زلزله مصون نیستند. در این میان گروهی از سازه‌ها همچون تونل‌های راه و راه‌آهن، ایستگاه‌های مترو، نیروگاه‌های برق‌آبی زیرزمینی و غیره که شریان‌های حیاتی جامعه محسوب می‌شوند از اهمیت ویژه‌ای برخوردار بوده و تحلیل پایداری و مقاومت‌سازی آن‌ها در مناطق لرزه‌خیز امری ضروری است. در تحلیل دینامیکی سازه‌ها می‌بایست از روش‌های تحلیلی مناسب برای مدل‌سازی رفتار دینامیکی سازه در برابر بارهای دینامیکی

۲-۳- مشخصات زلزله ایجادشده

مطالعات لرزه‌خیزی منطقه نشان می‌دهد که بیشترین شتاب افقی در سطح زمین (در سطح MCE) برابر با $0.48g$ و سرعت انتشار موج S نیز برابر با $228/62$ سانتی‌متر بر ثانیه است. به دلایل ذکر شده، تحلیل دینامیکی تونل کوهین تحت MCE که در گسل شمال قزوین با 50 کیلومتر فاصله از تونل دارای بزرگای گشتاور $6/8$ و در گسل زنجان با 125 کیلومتر فاصله دارای بزرگای گشتاور $7/2$ بود، در نظر گرفته شد [۱۳].

محاسبه کرنش برشی ایجاد شده توسط گسل‌های قزوین و زنجان

با توجه به توضیحات داده شده در بخش معرفی ساختگاه، نوع زمین محدوده تونل کوهین در رده‌ی خاک‌های سفت قرار $\frac{V_m}{a_m}$ می‌گیرد و درنتیجه، نسبت سرعت زمین به شتاب زمین با استفاده از جدول ۱ محاسبه شد (جدول ۳). مشخصات مربوط به پارامترهای مورداستفاده در مقاله در بخش فهرست نمادها نشان داده شده است.

جدول ۱: نسبت بیشینه سرعت زمین به بیشینه شتاب زمین در سطح سنج و خاک [۷]

نسبت بیشینه سرعت زمین				نوع زمین	بزرگای گشتاور (Mw)	فاصله منبع تا ساختگاه (Km)
(cm/s)	به بیشینه شتاب زمین (g)	بزرگای گشتاور (Mw)	فاصله منبع تا ساختگاه (Km)			
۱۰۰-۵۰	۵۰-۲۰	۲۰-۰				
۸۶	۷۶	۶۶	۶/۵	سنگ	۷/۵	۱۰۰-۵۰
۹۷	۱۰۹	۹۷	۷/۵			
۱۵۲	۱۴۰	۱۲۷	۸/۵			
۱۰۹	۱۰۲	۹۴	۶/۵	خاک	۷/۵	۵۰-۲۰
۱۵۵	۱۲۷	۱۴۰	۷/۵			
۱۹۳	۱۸۸	۱۸۰	۸/۵			
۱۴۲	۱۳۲	۱۴۰	۶/۵	خاک	۶/۵	۲۰-۰
۲۰۱	۱۶۵	۲۰۸	۷/۵			
۲۵۱	۲۴۴	۲۶۹	۸/۵			

همچنین با استفاده از جدول ۲ و گزاره‌ی (۱) شتاب افقی زمین در عمق‌های مختلف تونل محاسبه و با استفاده از گزاره‌ی (۲) و گزاره‌ی (۳) نیز کرنش‌های برشی تحت دو گسل نامبرده در عمق‌های مختلف تعیین شد (جدول ۳).

با طول و مقطعی معادل با 1635 متر و 120 مترمربع قرار دارد. قطعه اول این راه‌آهن از ایستگاه سیاه چشمی در کیلومتر 15 راه‌آهن قزوین- زنجان با ارتفاع 1250 متر نسبت به سطح دریا شروع شده و در راستای شمالی- جنوبی تا نقطه‌ای با مختصات $49^{\circ}32'22''$ طول شرقی و $36^{\circ}12'22''$ عرض شمالی که دارای ارتفاعی برابر با 1300 متر از سطح آب‌های آزاد است، ادامه می‌یابد [۱۳].

بررسی‌های محلی صورت گرفته در محدوده ساختگاه تونل کوهین اثری از گسل در این منطقه را نشان نمی‌دهد ولی طبق نقشه سایزموتکتونیک و نقشه زمین‌شناسی تاکستان می‌توان گسل‌های اصلی منطقه را در دو دسته کلی شرقی- غربی و شمال‌غربی- جنوب‌شرقی در نظر گرفت. در این تحقیق نزدیک‌ترین گسل‌های شمال قزوین و زنجان به‌خاطر اهمیت و کاربرد در تحلیل‌ها که به ترتیب با فاصله 50 و 125 کیلومتری از تونل کوهین قرار دارند [۱۳]، برای ارزیابی این تونل مورد بررسی قرار گرفته‌اند.

۳- تحلیل دینامیکی تونل راه‌آهن کوهین

در بین بارهای دینامیکی مؤثر بر روی تونل‌ها، بارهای وارده از طرف زلزله از اهمیت بسیار زیادی برخوردار است؛ اما با این حال سازه زیرزمینی به‌دلیل درگیری کامل با محیط نسبت به سازه‌های سطحی که فقط از سطح تحتانی خود با زمین در تماس هستند، مقاومت بیشتری در مقابل زلزله از خود نشان می‌دهند. از آنجایی که نزدیک‌ترین گسل‌ها، به‌عبارت دیگر نزدیک‌ترین نقاط زلزله‌خیز به تونل کوهین دو گسل شمال قزوین و زنجان هستند، در این تحقیق هفت مقطع از تونل تحت بیشینه زلزله قابل انتظار (MCE) از طرف این دو گسل با روش اندرکنش زمین- سازه در دو حالت لغزش کامل و بدون لغزش مورد بررسی قرار گرفته است.

۳-۱- روش اندرکنش زمین- سازه

در این روش نسبت سختی ساختی سازه جایگزین توده زمین حذف شده از محیط می‌شود که می‌توان تقریب خوبی از اندرکنش زمین- سازه و ارتعاشات اعمال شده از طریق امواج زلزله را به دست آورد [۷] که در بخش تحلیلی این روش از روابط ارائه شده *Penzien* و *Wang* در شرایط لغزش کامل و بدون لغزش استفاده شده است (جدول ۹).

جدول ۲: نسبت شتاب در عمق به نسبت شتاب در سطح [۷]

RDS	H(m)	ردیف
۱	≤ 6	۱
۰/۹	۶-۱۵	۲
۰/۸	۱۵-۳۰	۳
۰/۷	≥ 30	۴

$$a_S = RDS \times a_{max} \quad (1)$$

$$V_S = \frac{V_m}{a_m} a_S \quad (2)$$

$$\gamma_{max} = \frac{V_S}{C_S} \quad (3)$$

جدول ۳: کرنش برشی محاسبه شده برای عمق های مختلف تونل کوهین تحت زلزله گسل شمال قزوین و زنجان

نام گسل	H (m)	V_m/a_m ((cm/s)/g)	a _s (g)	V _S (cm/s)	Y _{max}
شمال قزوین	≤ 6	۱۰/۹/۵	۰/۴۸۰	۵۲/۵۶۰	۰/۰۰۲۳۰
	۶-۱۵	۱۰/۹/۵	۰/۴۳۲	۴۷/۳۰۴	۰/۰۰۲۰۷
	۱۵-۳۰	۱۰/۹/۵	۰/۳۸۴	۴۲/۰۴۸	۰/۰۰۱۸۴
	≥ 30	۱۰/۹/۵	۰/۳۳۶	۳۶/۷۹۲	۰/۰۰۱۶۱
زنجان	≤ 6	۱۴۱/۲	۰/۴۸۰	۶۷/۷۷۶	۰/۰۰۲۹۶
	۶-۱۵	۱۴۱/۲	۰/۴۳۲	۶۰/۹۹۸	۰/۰۰۲۶۷
	۱۵-۳۰	۱۴۱/۲	۰/۳۸۴	۵۴/۲۲۱	۰/۰۰۲۳۷
	≥ 30	۱۴۱/۲	۰/۳۳۶	۴۷/۴۴۳	۰/۰۰۲۰۷

برای دستیابی به نتایج دقیق تر در استفاده از روابط ارائه شده، باید یکی از مصالح (بتن یا فولاد) را به کمک روش تبدیل مقاطع به جنس ماده دیگر تبدیل کرد [۱۲] که در این تحقیق فولاد به جنس بتن تغییر داده شد. در روش تبدیل مقاطع به خاطر تغییر نکردن ممان اینرسی در واحد طول، تغییرات طول ضلعها در عرض مقطع اعمال می شود ولی در این بخش از طرفی به دلیل منظم بودن شکل مقطع عرضی و متقارن بودن تعداد و شماره آرماتورها در واحد عرض مقطع نسبت به مرکز سطح مقطع عرضی و از طرف دیگر به دلیل بزرگ بودن طول تونل نسبت به طول مقاطع مورد نظر، تغییر مساحت مقطع مصالح به صورت قطری توسط گزاره‌ی (۴) و گزاره‌ی (۵) محاسبه شد (طول مقاطع در محاسبات یک متر در نظر گرفته شده است).

$$\sum A_s = 2n \times A_s \quad (4)$$

$$t' = t + \frac{\left(\frac{E_C}{E_s} - 1\right)(\sum A_s)}{b_w} \quad (5)$$

نحوه محاسبه کرنش بحرانی (ϵ_u)

کرنش بحرانی پوشش با استفاده از گزاره‌ی (۶) محاسبه شد.

$$\epsilon_u = \frac{f'_C}{E_C} \quad (6)$$

۳-۳- مشخصات ژئومکانیکی زمین

مشخصات ژئومکانیکی منطقه نیز طبق مطالعات انجام شده به صورت جدول ۴ است [۱۲].

جدول ۴: مشخصات ژئومکانیکی ساختگاه تونل کوهین

ردیف	پارامتر	یکا	مقدار
۱	E_m	Pa	۳۰۰,۰۰۰,۰۰۰
۲	V_m	ندارد	۰/۴
۳	G_m	Pa	۱۰۷,۰۰۰,۰۰۰

۴-۳- مشخصات پوشش‌های مورداستفاده در مقاطع

مختلف تونل راه‌آهن کوهین

پوشش مورداستفاده در تونل راه‌آهن کوهین در مقاطع مختلف آن نیز مطابق با جدول ۱۰ است. همچنین روابط و فرضیات مورداستفاده در پارامترهای محاسبه شده‌ی جدول ۱۰ به صورت زیر است:

نحوه محاسبه ضخامت تبدیل یافته (C)

روابط Wang و Penzien برای پوشش‌هایی از یک جنس (با یک نوع مدل الاستیسیته و یک نوع ضربه پوآسن) ارائه شده‌اند، در حالی‌که پوشش مورداستفاده در تونل کوهین توسط آرماتورهایی (فولاد) مسلح شده است. به همین دلیل،

پوشش نیز گزاره‌ی (۹) مورد استفاده قرار گرفت [۱۴].

$$V_s = \emptyset_s \frac{A_v}{S} f_y d_3 \quad (9)$$

نحوه محاسبه مقاومت برشی بتن مورد استفاده در پوشش (V_C)

مقاومت برشی بتن مورد استفاده در پوشش نیز توسط گزاره‌ی (۱۰) محاسبه شد [۱۴].

$$V_C = 0.2 \emptyset_C \sqrt{f'_C} b_w d \times 10^3 \quad (10)$$

در گزاره‌ی (۹) و گزاره‌ی (۱۰) دو پارامتر \emptyset_C و \emptyset_S برابر با ۰/۸۵ در نظر گرفته شدند.

نحوه محاسبه مقاومت برشی پوشش (V_u)

درنهایت نیز مقاومت برشی نهایی پوشش از مجموع مقاومت برشی بتن و آرماتورهای مورد استفاده در پوشش طبق گزاره‌ی (۱۱) محاسبه شد [۱۴].

$$V_u = V_C + V_S \quad (11)$$

۳-۵- تحلیل دینامیکی تونل راه آهن کوهین

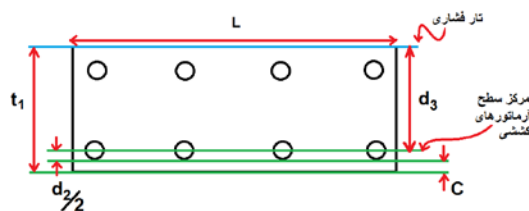
انتخاب مقاطع برای تحلیل دینامیک و ریسک دینامیکی باید به گونه‌ای صورت می‌گرفت که تحلیل انجام شده برای این مقاطع قابل تعمیم به کل تونل باشد. درنتیجه مقاطع به کمک دو پارامتر مؤثر اصلی یعنی نوع پوشش در مقاطع مختلف و بیشینه شتاب زمین در عمق‌های مختلف زمین انتخاب شد (جدول ۵).

نحوه محاسبه فاصله دورترین تار فشاری از مرکز سطح

آرماتور کششی طولی (d_3)

با توجه به شکل ۴ فاصله دورترین تار فشاری از مرکز سطح آرماتور کششی طولی با استفاده از گزاره‌ی (۷) محاسبه شد [۱۴].

$$d_3 = t - \left(\frac{d_2}{2} + C \right) \quad (7)$$



شکل ۱: فاصله دورترین تار فشاری از مرکز سطح آرماتور کششی

نحوه محاسبه نسبت سطح مقطع خاموت‌ها به فاصله آن‌ها

$$\left(\frac{A_v}{S} \right)$$

بهدلیل عدم دسترسی به قطر و فاصله خاموت‌ها با استفاده از گزاره‌ی (۸)، نسبت سطح مقطع خاموت‌ها به فاصله آن‌ها تخمین زده شد [۱۴].

$$\frac{A_{v min}}{S} = 0.06 \sqrt{f'_C} \frac{b_w \times 10^6}{f_y} \quad (8)$$

نحوه محاسبه مقاومت برشی آرماتورهای مورد استفاده در پوشش (V_S)

برای محاسبه مقاومت برشی آرماتورهای مورد استفاده در

جدول ۵: نحوه تعیین مقاطع مورد بررسی در تونل راه آهن کوهین

مشخصات مقاطع								ردیف	پارامتر	یکا
۱۰۰ تا ۸۰	۸۰ تا ۶۰	۶۰ تا ۴۰	۴۰ تا ۳۰	۳۰ تا ۱۵	۱۵ تا ۶	۶ تا ۰	m	H	۱	
۰/۷	۰/۷	۰/۷	۰/۷	۰/۸	۰/۹	۱/۰	g	a_m	۲	
۴ نوع	۳ نوع	۲ نوع	۱ نوع	۱ نوع	۱ نوع	۱ نوع	—	نوع پوشش	۳	
S-7	S-6	S-5	S-4	S-3	S-2	S-1	—	نام مقطع	۴	

مقطع S-1 تا S-4 روند کاهشی خود را حفظ کرده و از مقطع S-4 تا S-7 بر این مقدار افزوده شده است. دلیل این امر را می‌توان به ثابت بودن ضخامت پوشش از مقطع S-1 تا S-4 به همراه افزایش روباره از ۱۰ متر به ۴۰ متر و سپس افزایش ضخامت پوشش از مقطع S-4 تا S-7 هم‌زمان با افزایش روباره از ۴۰ متر به ۱۰۰ متر مرتبط دانست. در ابتدای تونل چون

پس از تعیین مقادیر اولیه، بارهای وارد بر مقاطع با استفاده از روش‌های Wang و Penzien در شرایط لغزش کامل و بدون لغزش تحت تأثیر دو گسل شمال قروین و زنجان محاسبه شد (جدول ۱۱ و جدول ۱۲). نکته قابل توجه در این بخش روند کاهشی مقدار جایه‌جایی پوشش از مقطع S-1 تا S-7 می‌باشد. این در حالی است که مقادیر لنگر خمی وارد به تونل از

Penzien تفاوت چندانی وجود ندارد ولی نیروهای محوری محاسبه شده در شرایط بدون لغزش با استفاده از روش Wang نسبت به شرایط لغزش کامل این روش، ۱۹ تا ۴۱ برابر افزایش را نشان می‌دهد که علت این افزایش در نظر گرفته شدن نسبت تراکم‌پذیری و انعطاف‌پذیری پوشش نسبت به روش ارائه شده توسط Penzien است[۷].

	Section	Applied Loads P (KN)	Mx (KN-m)	Computed Strength P (KN)	Mx (KN-m)
Wang	S-1	37	225	44	264
	S-2	34	202	44	264
	S-3	38	180	44	264
	S-4	26	157	44	264
Penzien	S-1	37	225	44	264
	S-2	34	202	44	264
	S-3	38	180	44	264
	S-4	26	157	44	264

Program completed as requested.

شکل ۲: مقاومت نهایی و ضریب اطمینان محاسبه شده برای پوشش تا عمق ۴۰ متری تحت زلزله گسل قزوین در شرایط لغزش کامل با استفاده از نرم‌افزار PCACol

	Section	Applied Loads P (KN)	Mx (KN-m)	Computed Strength P (KN)	Mx (KN-m)
Wang	S-1	48	290	44	264
	S-2	43	261	44	264
	S-3	39	232	44	264
	S-4	34	203	44	264
Penzien	S-1	48	290	44	264
	S-2	43	261	44	264
	S-3	39	232	44	264
	S-4	34	203	44	264

Program completed as requested.

شکل ۳: مقاومت نهایی و ضریب اطمینان محاسبه شده برای پوشش تا عمق ۴۰ متری تحت زلزله گسل زنجان در شرایط لغزش کامل با استفاده از نرم‌افزار PCACol

	Section	Applied Loads P (KN)	Mx (KN-m)	Computed Strength P (KN)	Mx (KN-m)
Wang	S-1	1552	225	2238	325
	S-2	1397	202	2238	325
	S-3	1242	180	2238	325
	S-4	1087	157	2238	325
Penzien	S-1	75	224	89	268
	S-2	67	202	89	268
	S-3	60	179	89	268
	S-4	52	157	89	268

Program completed as requested.

شکل ۴: مقاومت نهایی و ضریب اطمینان محاسبه شده برای پوشش تا عمق ۴۰ متری تحت زلزله گسل قزوین در شرایط بدون لغزش با استفاده از نرم‌افزار PCACol

تفییرات لنگر خمی وارد متناسب به ضخامت جداره نبوده (از مقدار ۲۲۴ کیلونیوتن متر تا ۱۵۷ کیلونیوتن متر علیرغم ثابت بودن ضخامت) لذا تفییرات چشمگیری در تغییر شکل تونل (از ۳/۲۲ سانتی‌متر تا ۲/۲۵ سانتی‌متر) دیده می‌شود. ولی در ادامه تونل به دلیل افزایش ضخامت جداره همزمان با افزایش روباره و لنگر خمی منتجه (۱۵۷ کیلونیوتن متر تا ۳۴۳ کیلونیوتن متر)، مقدار تغییر شکل منتجه سازه در بازه محدودی (از ۲/۲۵ سانتی‌متر تا ۲/۱۸ سانتی‌متر) متغیر است.

همچنین برای تعیین ضریب اطمینان ایجاد شده در هریک از مقاطع حین وقوع حادثه علاوه بر مقاومت نهایی برشی محاسبه شده در بخش قبل، مقاومت‌های نهایی نیروی محوری و گشتاور خمی هر یک از مقاطع با استفاده از نرم‌افزار V2.20 از PCACol تعیین شد (شکل ۵ تا شکل ۱۱). در انتهای نیز ضریب اطمینان هر یک از مقاطع در شرایط مختلف محاسبه و برای مقایسه نتایج در نمودار ۱ رسم شد. در این نمودار مشخصات شرایط مقاطع به صورت مخفف نوشته شده است. بهطور مثال نمودار با مشخصات ۶۰ WQN نشان‌دهنده نتیجه محاسبات نمودار شده برای مقاطعی در عمق ۶۰ متری که با استفاده از رابطه Wang و تحت زلزله گسل شمال قزوین در شرایط بدون لغزش است. همان‌طور که نتایج نشان می‌دهد ورودی و خروجی تونل تحت نیروی محوری و گشتاور خمی وارده از طرف زلزله کمترین ایمنی را دارد. بهطور کل می‌توان گفت با افزایش عمق تونل ایمنی در مقابل نیروهای محوری و گشتاور خمی افزایش می‌باید که این رفتار نمودار نمایانگر کاهش بارهای واردہ با کاهش شتاب افقی زمین و افزایش ضخامت پوشش است. همچنین نیروی برشی در مقاطع S-4 از طرفی به دلیل پایین بودن ضخامت پوشش نسبت به مقاطع S-5 و S-6 و هم از طرف دیگر به دلیل پایین بودن شتاب افقی زمین در این عمق نسبت به مقاطع S-1 و S-2 کمترین مقدار را دارد. بهطوری که مشاهده می‌شود، نیروی برشی از مقاطع S-4 به سمت مقاطع S-1 و S-7 نیز به ترتیب به خاطر بیشینه بودن شتاب افقی زمین و افزایش ضخامت پوشش کاهش یافته است.

همان‌طور که انتظار می‌رود مقاطع تونل تحت گسل زنجان به دلیل بالا بودن بزرگ‌ای زلزله نسبت به گسل شمال قزوین دارای ایمنی کمتری است. طبق نتایج به دست آمده، بین بارهای واردہ در شرایط لغزش کامل و بدون لغزش با استفاده از روش

	fault	way	Applied Loads P (KN)	Mx (KN-m)	Computed Strength P (KN)	Mx (KN-m)
Full-slip	q	w	53	318	89	536
	p	w	53	318	89	536
	Z	w	68	410	89	536
	p	w	68	410	89	536
NO-slip	q	w	1117	318	1878	536
	p	w	106	317	180	539
	Z	w	1440	410	1878	536
	p	w	136	408	180	539

Program completed as requested.

شكل ۷: مقاومت نهایی و ضریب اطمینان محاسبه شده برای پوشش در عمق ۶۰ تا ۸۰ متری تحت زلزله گسل زنجان و قزوین در شرایط لغزش کامل و بدون لغزش با استفاده از نرم افزار PCACol

	Section	Applied Loads P (KN)	Mx (KN-m)	Computed Strength P (KN)	Mx (KN-m)
Wang	S.1	2002	290	2238	325
	S.2	1802	261	2238	325
	S.3	1601	232	2238	325
	S.4	1401	203	2238	325
Penzien	S.1	96	289	89	268
	S.2	87	260	89	268
	S.3	77	231	89	268
	S.4	67	202	89	268

Program completed as requested.

شكل ۵: مقاومت نهایی و ضریب اطمینان محاسبه شده برای پوشش در عمق ۴۰ متری تحت زلزله گسل زنجان در شرایط بدون لغزش با استفاده از نرم افزار PCACol

	fault	way	Applied Loads P (KN)	Mx (KN-m)	Computed Strength P (KN)	Mx (KN-m)
Full-slip	q	w	57	343	108	642
	p	w	57	343	108	642
	Z	w	74	442	108	642
	p	w	74	442	108	642
NO-slip	q	w	1121	343	1885	574
	p	w	114	341	211	632
	Z	w	1445	442	1885	574
	p	w	147	448	211	632

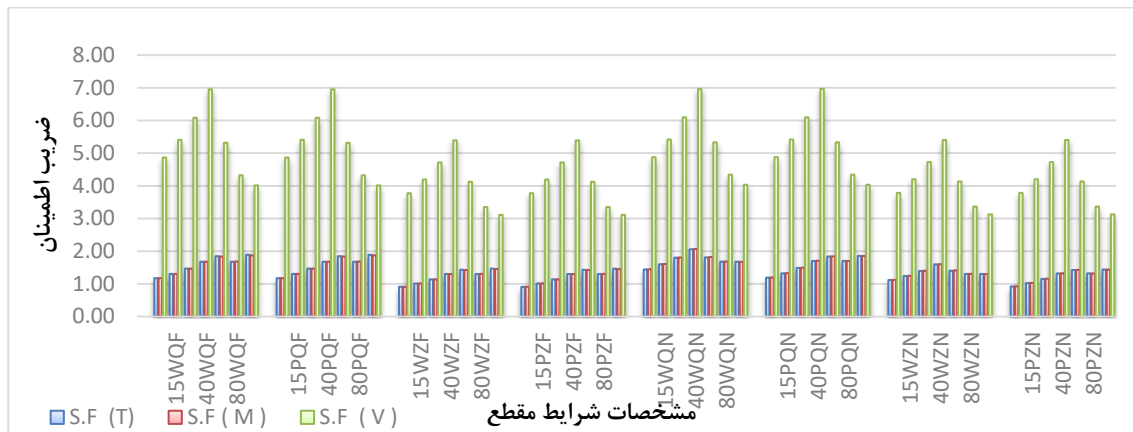
Program completed as requested.

شكل ۸: مقاومت نهایی و ضریب اطمینان محاسبه شده برای پوشش در عمق ۸۰ تا ۱۰۰ متری تحت زلزله گسل زنجان و قزوین در شرایط لغزش کامل و بدون لغزش با استفاده از نرم افزار PCACol

	fault	way	Applied Loads P (KN)	Mx (KN-m)	Computed Strength P (KN)	Mx (KN-m)
Full-slip	q	w	33	198	61	364
	p	w	33	198	61	364
	Z	w	43	255	61	364
	p	w	43	255	61	364
NO-slip	q	w	1096	198	1983	361
	p	w	66	198	121	364
	Z	w	1413	255	1983	361
	p	w	85	255	121	364

Program completed as requested.

شكل ۶: مقاومت نهایی و ضریب اطمینان محاسبه شده برای پوشش در عمق ۶۰ تا ۸۰ متری تحت زلزله گسل زنجان و قزوین در شرایط لغزش کامل و بدون لغزش با استفاده از نرم افزار PCACol



نمودار ۱: ضرایب اطمینان محاسبه شده برای مقاطع در شرایط مختلف

سطح احتمال خواهد بود. درنتیجه، در این حالت تغییرات میزان ریسک ایجاد شده در هر مقطع به طور واضحی به تغییرات میزان شدت خطر ایجاد شده معطوف خواهد شد. شدت خطر ایجاد شده در مقاطع نیز به وسیله ضرایب اطمینان حاصل از وقوع حادثه محاسبه شد (جدول ۱۴). به طوری که ابتدا ضریب اطمینان کل که در مقطع موردنظر برابر با مجموع هر کدام از ضرایب اطمینان دینامیکی T , M و V به نسبت میزان تأثیرشان درشدت خطر بود (گزاره‌ی ۱۲)، محاسبه و

۴- تحلیل ریسک دینامیکی تونل راه آهن کوهین

برای تعیین ریسک طبق روش ماتریس احتمال - اثر از دو پارامتر شدت وقوع حادثه و احتمال وقوع حادثه استفاده شد. همان‌طور که پیش‌تر نیز اشاره شد، بهدلیل نزدیک بودن مقاطع به یکدیگر نسبت به فاصله آن‌ها از دو گسل شمال قزوین و زنجان (مرکز کانونی زلزله)، احتمال وقوع حادثه نیز برای تمامی مقاطع یکسان و بهدلیل وقوع حادثه برابر با بیش‌ترین

جدول ۶: تأثیر پارامترهای T ، M و V بر شدت خطر

$S.F_V$	$S.F_M$	$S.F_T$	
۶/۹۷	۲/۰۷	۲/۰۶	بیشترین ضریب اطمینان
۳/۱۱	۰/۹۱	۰/۹۱	کمترین ضریب اطمینان
۳/۸۶	۱/۱۶	۱/۱۵	اختلاف ضریب اطمینان‌ها
			مجموع اختلاف ضریب اطمینان‌ها
۶/۱۷			تأثیر (وزن) پارامتر (%)
۶۲/۵۶	۱۸/۸۰	۱۸/۶۴	

سپس با توجه به کلاس تعریف شده در جدول ۷ میزان شدت خطر ایجاد شده در شرایط و مقاطع مختلف تعیین شد. جدول ۷ با توجه به شرایط متوسط تونل که محدودیت عرض ترک در آن $۰/۳۵$ میلی‌متر است، کلاس‌بندی شده است. هم‌چنان میزان تأثیر یا وزن هر یک از ضرایب اطمینان (T یا M و یا V) نیز از اختلاف بیشینه تغییرات ضریب اطمینان (T یا M و یا V) نسبت به مجموع اختلاف بیشینه تغییرات ضرایب اطمینان T ، M و V محاسبه شد (جدول ۶) که به عنوان مثال گزاره‌ی (۱۳) برای محاسبه وزن ضریب اطمینان نیروی محوری نشان داده شده است.

$$S.F_U = \alpha_T \times S.F_T + \alpha_M \times S.F_M + \alpha_V \times S.F_V \quad (12)$$

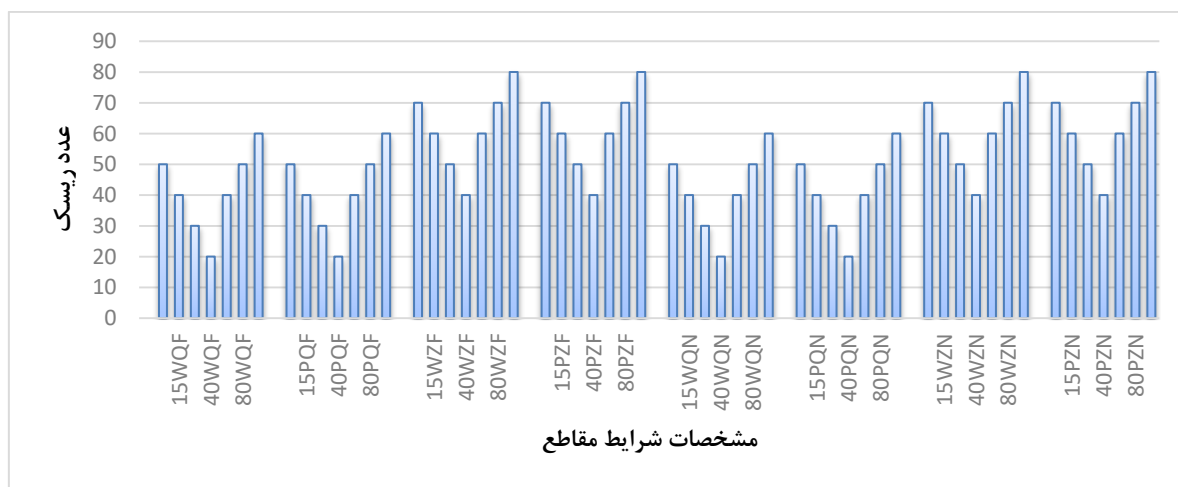
$$\alpha_T = \frac{\Delta S.F_T}{(\Delta S.F_T + \Delta S.F_M + \Delta S.F_V)} \quad (13)$$

جدول ۷: کلاس‌بندی سطوح شدت خطر براساس عرض ترک ایجاد شده

سطح آسیب‌دیدگی	رتبه (امتیاز)	شرح	ضریب اطمینان ایجاد شده	عرض ترک بر روی دیواره‌ی تونل
آسیب کلی	۱۰	خرابی کامل	$S.F_U < 1$	$0.350 \text{ mm} < W$
آسیب گسترده	۹	بسیار گسترده	$1 \leq S.F_U < 1.75$	$0.200 \text{ mm} < W \leq 0.350 \text{ mm}$
آسیب گسترده	۸	گسترده	$1.75 \leq S.F_U < 2.59$	$0.135 \text{ mm} < W \leq 0.200 \text{ mm}$
آسیب متوسط	۷	نسبتاً گسترده	$2.59 \leq S.F_U < 2.92$	$0.120 \text{ mm} < W \leq 0.135 \text{ mm}$
آسیب جزئی	۶	متوسط	$2.92 \leq S.F_U < 3.33$	$0.105 \text{ mm} < W \leq 0.120 \text{ mm}$
آسیب جزئی	۵	نسبتاً متوسط	$3.33 \leq S.F_U < 3.68$	$0.095 \text{ mm} < W \leq 0.105 \text{ mm}$
آسیب کم	۴	نسبتاً کم	$3.68 \leq S.F_U < 4.12$	$0.085 \text{ mm} < W \leq 0.095 \text{ mm}$
بدون آسیب	۳	کم	$4.12 \leq S.F_U < 4.68$	$0.075 \text{ mm} < W \leq 0.085 \text{ mm}$
بدون آسیب	۲	بسیار کم	$4.68 \leq S.F_U < 5.38$	$0.065 \text{ mm} < W \leq 0.075 \text{ mm}$
آسیب ناچیز	۱	آسیب ناچیز	$5.38 \leq S.F_U$	$W \leq 0.065 \text{ mm}$

تونل تحت امواج زلزله گسل زنجان وجود دارد (جدول ۱۴) پیوست و نمودار ۲. برای جلوگیری و یا کاهش این ریسک ایجاد شده در تونل می‌توان پوشش مقاطع نامبرده را با تقویت موضعی بهدلیل کاهش هزینه و مناسب با توجه به عدم ضخامت پوشش، هم از لحاظ اقتصادی و هم از لحاظ فنی در مقابل امواج زلزله‌های واردہ به طور قابل توجهی مستحکم کرد.

نتایج به دست آمده نشان می‌دهد که دهانه و مرکز تونل نسبت به سایر مقاطع دارای بیشترین ریسک هستند که عامل اصلی ایجاد ریسک بالا در این مقاطع را می‌توان به ترتیب به بالا بودن بیشینه شتاب افقی و افزایش ضخامت پوشش نسبت داد. با توجه به نمودار ۲ و جدول ۸ سطح ریسک مقاطع S-6 و S-7 تحت امواج زلزله گسل زنجان در کلاس بسیار بالا قرار می‌گیرد که نشان‌دهنده افزایش امکان از دست دادن این مسیر ریلی به خاطر بالا بودن ریسک‌های ایجاد شده در چند مقطع



نمودار ۲: عدد ریسک به دست آمده برای مقاطع در شرایط مختلف حین وقوع حادثه

افقی زمین بعد از مقطع S-4 (با افزایش عمق) ثابت است. با توجه به نتایج به طور کامل روشن است که با افزایش ضخامت پوشش انعطاف‌پذیری و تراکم‌پذیری کاهش یافته و درنتیجه شدت آسیب‌پذیری بالا می‌رود که در این‌باره توصیه می‌شود در ساخت پوشش‌های نگهدارنده از بتن‌هایی با مقاومت فشاری بالا و مدول الاستیسیته پایین استفاده شود.

۳- اگرچه در هنگام وقوع حادثه ضریب اطمینان نیروی برشی پوشش دارای بازه تغییرات بسیار زیادی است ولی به طور کل قابلیت تحمل نیروهای برشی از طرف زلزله را دارد.

۴- همان‌طور که نشان داده شد، بیشترین ریسک ایجاد شده در مقاطع S-1، S-6 و S-7 تحت تأثیر لرزش‌های حاصل از گسل زنجان رخ می‌دهد. همچنین کمترین ریسک نیز در مقطع S-4 تحت تأثیر لرزش‌های حاصل از گسل شمال قزوین ایجاد می‌شود.

۵- با توجه به نتایج به دست آمده از تحلیل ریسک، حساس‌ترین مقاطع به راحتی قابل تشخیص است که درنتیجه آن می‌توان با کاهش هزینه‌های مستحکم سازی غیرضروری برای برخی مقاطع فقط مقطع‌ها و محدوده‌های پر ریسک را به صورت موضعی تقویت کرد.

۶- مراجع

[۱] صیادی، ا.، منجزی، م.، و شریفی، م. (۱۳۹۲). ارائه رویکردن جهت ارزیابی ریسک در معادن روباز با استفاده از روش FAHP و Fuzzy TOPSIS. نشریه علمی- پژوهشی روش‌های تحلیلی و عددی در مهندسی معدن، ۴۵-۵۸.

جدول ۸: سطح‌بندی ریسک‌های ایجاد شده

سطح	بازه ریسک ایجاد شده
ریسک	کران بالا پایین
بسیار بالا	۶۴
بالا	۴۲
نسبتاً بالا	۳۰
متوسط	۲۰
نسبتاً پایین	۱۶
پایین	۹
خیلی پایین	۹
صفر	
۴۲	۴۹
۲۵	۳۶
۱۶	۲۰
۴	۹
۱	۴
۸۱	۴۵
۶۴	۴۵
۴۵	۲۰
۲۶	۲۰
۹۰	۴۵
۹۰	۸۱
۹۹	۲۶
۴۲	۴۲

۵- نتیجه‌گیری

با توجه به تحلیل‌های انجام‌شده در قسمت بارهای دینامیکی و ریسک‌های ایجاد شده می‌توان نتایج را به صورت زیر جمع‌بندی کرد:

۱- ضریب اطمینان مقطع دهانه نشان می‌دهد که بتن در مقاطع و شرایط ۶PZN، ۶WZF و ۶PQN به طور کل در مقابل نیروی محوری و گشتاور خمشی تسلیم‌شده و از بین می‌رود ولی پوشش به دلیل مسلح بودن خاصیت برشی خود را حفظ کرده و گسیخته نمی‌شود.

۲- همان‌طور که مشاهده شد، ضخامت پوشش از مقطع S-4 به بعد با فاصله از دهانه تونل افزایش می‌یابد در حالی که شتاب

[9] Fabozzi, S., Licata, V., Autuori, S., Bilotta, E., Russo, G., & Silvestri, F. (2017). Prediction of the seismic behavior of an underground railway station and a tunnel in Napoli (Italy). *Underground Space*, 2(2), 88-105.

[10] Bao, X., Xia, Z., Ye, G., Fu, Y., & Su, D. (2017). Numerical analysis on the seismic behavior of a large metro subway tunnel in liquefiable ground. *Tunnelling and Underground Space Technology*, 66, 91-106.

[11] Salemi, A., Mikaeil, R., & Haghshenas, S. S. (2018). Integration of finite difference method and genetic algorithm to seismic analysis of circular shallow tunnels (Case study: Tabriz urban railway tunnels). *KSCE Journal of Civil Engineering*, 22(5), 1978-1990.

[12] زهفروش ک.، ناصری ع. (۱۳۹۷). بررسی رفتار لرزه‌ای تاج تونل تحت اثر زلزله‌های حوزه نزدیک با رویکرد اجزاء محدود. *فصلنامه علمی - تخصصی رویکردهای نوین در مهندسی عمران*. شماره ۳. ۹۰-۷۰.

[13] مهندسین مشاور هرازراه. (۱۳۸۳). دومین گزارش تونل راه آهن کوهین محور قزوین-رشت-بندرانزلی.

[14] دفتر مقررات ملی ساختمان. (۱۳۹۲). مبحث نهم مقررات ملی ساختمان طرح و اجرای ساختمان‌های بتن آرم. تهران: نشر توسعه ایران.

[2] Drury, C. (2000). *HAZUS99 Estimated Annualized Earthquake Losses For The United States*. Washington: Federal Emergency Management Agency (FEMA 366).

[3] OSPMI. (2007). *Project Risk Management Handbook* (Second Edition, Rev 0 Ed.). Sacramento, California: Office of Statewide Project Management Improvement (OSPMI).

[4] PMBOK. (2008). *A Guide to the Project Management Body of Knowledge* (Fourth Edition Ed.). USA: project management institute, Inc. doi: ISBN: 978-1-933890-51-7.

[5] Guglielmetti, V., Grasso, P., Mahtab, A., & Xu, S. (2007). *Mechanized tunneling in urban areas: design methodology and construction control*. (V. Guglielmetti, P. Grasso, A. Mahtab, & S. Xu, Eds.) United Kingdom: Taylor & Francis Group-CRC Press.

[6] Sayadi, A., Hayati, M., & Monjezi, M. (2011). Risk management in tunnel Construction using MADM techniques. *Industrial Management Journal*, 3(7), 99-116.

[7] Hashash, Y. M., Hook, J. J., Schmidt, B., & Yao, J. I.-C. (2001). Seismic design and analysis of underground structures. *Tunnelling and Underground Space Technology* 16, 247-293.

[8] Hamdy, H. A., Enieb, M., Khalil, A. A., & Ahmed, A. S. *Seismic Analysis of Urban Tunnel Systems for the Greater Cairo Metro Line No. 4*.

۷- فهرست نمادها

ضریب انعطاف‌پذیری	ندارد	F	۱۶
ضریب تراکم‌پذیری	ندارد	C	۱۷
مدول الاستیسیته محیط	Pa	E _m	۱۸
ضریب پوآسن محیط	ندارد	V _m	۱۹
مدول برشی محیط	Pa	G _m	۲۰
مدول الاستیسیته پوشش	Pa	E _L	۲۱
ضریب پوآسن پوشش	ندارد	V _L	۲۲
بزرگی زلزله	M _W	M	۲۳
ارتفاع روباهه یا عمق تونل	m	H	۲۴
بیشترین شتاب افقی در سطح زمین	g	a _{max}	۲۵
نسبت شتاب در عمق تونل به نسبت شتاب در سطح	ندارد	RDS	۲۶
شتاب افقی در عمق موردنظر	g	a _s	۲۷
نسبت سرعت زمین به شتاب زمین	(m/s)/g	V _m /a _m	۲۸
حداکثر سرعت ذرات زمین در عمق موردنظر	m/s	V _S	۲۹
سرعت انتشار موج S	m/s	C _S	۳۰
مدول الاستیسیته بتن	Pa	E _C	۳۱
مدول الاستیسیته آرماتور	Pa	E _s	۳۲
تعداد میلگردهای عرضی (محیطی)	ندارد	n	۳۳

ردیف	نماد	واحد	شرح
۱	Δd_{lining}	m	جابه‌جایی قطری پوشش
۲	Δd^n_{lining}	m	جابه‌جایی قطری پوشش فقط تحت بارگذاری نرمال
۳	$\Delta d_{free-field}$	m	جابه‌جایی زمین در تونل بدون پوشش
۴	P یا T	N	نیروی محوری
۵	M	N.m	نیروی خمشی
۶	V	N	نیروی برشی
۷	T _{max}	N	نیروی محوری ماکریم
۸	M _{max}	N.m	نیروی خمشی ماکریم
۹	V _{max}	N	نیروی برشی ماکریم
۱۰	Y _{max}	ندارد	کرنش برشی ماکریم
۱۱	r , d	m	قطله و شعاع تونل
۱۲	t	m	ضخامت پوشش
۱۳	I	m^4	مان اینرسی پوشش (بر واحد عرض)
۱۴	K ₁	ندارد	ضریب پاسخ پوشش تونل
۱۵	K ₂	ندارد	ضریب پاسخ محوری تونل

نسبت سطح مقطع خاموت‌ها به فاصله آن‌ها	mm	A_v/S	۴۴
مقاومت برشی آرماتورهای مورداستفاده در پوشش	N	V_s	۴۵
ضریب جزئی ایمنی فولاد	ناراد	φ_s	۴۶
مقاومت برشی بتن مورداستفاده در پوشش	N	V_c	۴۷
ضریب جزئی ایمنی بتن	ناراد	φ_c	۴۸
مقاومت برشی پوشش	N	V_u	۴۹
ضریب اطمینان	ناراد	S.F	۵۰
ضریب اطمینان کل	ناراد	S.F_U	۵۱
اختلاف ضریب اطمینان	ناراد	$\Delta S.F$	۵۲
تأثیر یا وزن پارامتر موردنظر	ناراد	α	۵۳
عرض ترک بر روی دیواره پوشش	mm	W	۵۴
عدد ریسک	ناراد	R_{SP}	۵۵
شدت خطر ایجاد شده	ناراد	RS	۵۶

مورداستفاده در بالا یا پایین مقطع			
مساحت آرماتورهای عرضی (محیطی) مورداستفاده در پوشش	m^2	A_s	۴۴
طول مقاطعه موردنظر	m	b_w	۴۵
ضخامت تبدیل یافته	m	t'	۴۶
مقاومت تراکمی بتن	Pa	f'_c	۴۷
کرنش بحرانی بتن	%	ε_u	۴۸
ضخامت پوشش	m	C	۴۹
شماره میلگردی‌های عرضی (قطر میلگرد)	m	d_2	۴۰
فاصله دورترین تار فشاری از مرکز سطح آرماتور کششی طولی	m	d_3	۴۱
تنش تسیلیم آرماتور مورداستفاده در پوشش	Pa	f_y	۴۲
مساحت کل آرماتورهای عرضی (محیطی) پوشش در هر متر از مقطع	m^2	ΣA_s	۴۳

- ۸ - پیوست‌ها

جدول ۹: روابط ارائه شده توسط [۷] Penzien و Wang

نوع شرایط زمین و پوشش

منبع	ارائه توسط	لغزش کامل	بدون لغزش
		$\frac{\Delta d_{lining}}{\Delta d_{free-field}} = \frac{2}{3} K_1 F$ $\Delta d_{free-field} = \frac{\gamma_{max} d}{2}$	
		$T_{max} = \pm K_2 \frac{E_m r \gamma_{max}}{2(1 + V_m)}$ $M_{max} = \pm \frac{1}{6} K_1 \frac{E_m r^2 \gamma_{max}}{(1 + V_m)}$ $K_1 = \frac{12(1 - V_m)}{2F + 5 - 6V_m}, \quad F = \frac{E_m (1 - V_l^2) r^3}{6E_l I (1 + V_m)}, \quad C = \frac{E_m (1 - V_l^2) r}{E_l t (1 + V_m) (1 - 2V_m)}$ $K_2 = 1 + \frac{F[(1 - 2V_m) - (1 - 2V_m)C] - \frac{1}{2}(1 - 2V_m)^2 + 2}{F[(3 - 2V_m) - (1 - 2V_m)C] + C \left[\frac{5}{2} - 8V_m + 6V_m^2 \right] + 6 - 8V_m}$	
	Wang		
	Penzien	$\alpha^n = \frac{12E_l I (5 - 6V_m)}{d^3 G_m (1 - V_l^2)}$ $R^n = \frac{4(1 - V_m)}{\alpha^n + 1}$ $\Delta d_{lining}^n = R^n \frac{\gamma_{max} d}{2}$ $T_{max} = \pm \frac{12 E_l I \Delta d_{lining}^n}{d^3 (1 - V_l^2)}$ $M_{max} = \pm \frac{6 E_l I \Delta d_{lining}^n}{d^2 (1 - V_l^2)}$ $V_{max} = \pm \frac{24 E_l I \Delta d_{lining}^n}{d^3 (1 - V_l^2)}$	$\alpha = \frac{24E_l I (3 - 4V_m)}{d^3 G_m (1 - V_l^2)}$ $R = \pm \frac{4(1 - V_m)}{\alpha + 1}$ $\Delta d_{lining} = R \frac{\gamma_{max} d}{2}$ $T_{max} = \pm \frac{24 E_l I \Delta d_{lining}}{d^3 (1 - V_l^2)}$ $M_{max} = \pm \frac{6 E_l I \Delta d_{lining}}{d^2 (1 - V_l^2)}$ $V_{max} = \pm \frac{24 E_l I \Delta d_{lining}}{d^3 (1 - V_l^2)}$

جدول ۱۰: مشخصات پوشش مورداستفاده در مقاطع مختلف

ردیف	پارامتر	یکا	پوشش نوع ۱	پوشش نوع ۲	پوشش نوع ۳	پوشش نوع ۴
۱	H	m	۴۰ تا ۰	۶۰ تا ۴۰	۸۰ تا ۶۰	۱۰۰ تا ۸۰
۲	V_L	$n_{دارد}$	۰/۱۵	۰/۱۵	۰/۱۵	۰/۱۵
۳	E_C	Pa	۲۲۳۹۲۸۱۹۴۱۱	۲۲۳۹۲۸۱۹۴۱۱	۲۲۳۹۲۸۱۹۴۱۱	۲۲۳۹۲۸۱۹۴۱۱
۴	E_s	Pa	$1/۹۹۹۵۵ \times 10^{-۱۱}$	$1/۹۹۹۵۵ \times 10^{-۱۱}$	$1/۹۹۹۵۵ \times 10^{-۱۱}$	$1/۹۹۹۵۵ \times 10^{-۱۱}$
۵	t	m	۰/۴	۰/۴	۰/۵	۰/۵
۶	t'	m	۰/۴۳۸	۰/۴۷۴	۰/۵۵۹	۰/۵۷۴
۷	d	m	۱۲	۱۲	۱۲	۱۲
۸	I	m^4	۰/۰۷۰۰	۰/۰۸۸۸	۰/۰۱۴۵۸	۰/۰۱۵۷۷
۹	f_c	Pa	۲۳۵۴۳۲۶۰/۷۴	۲۳۵۴۳۲۶۰/۷۴	۲۳۵۴۳۲۶۰/۷۴	۲۳۵۴۳۲۶۰/۷۴
۱۰	ϵ_u	$\%$	۰/۱۰	۰/۱۰	۰/۱۰	۰/۱۰
۱۱	f_y	Pa	۳۹۲۳۸۷۶۷۹/۰.۳	۳۹۲۳۸۷۶۷۹/۰.۳	۳۹۲۳۸۷۶۷۹/۰.۳	۳۹۲۳۸۷۶۷۹/۰.۳
۱۲	C	m	۰/۰۶	۰/۰۶	۰/۰۶	۰/۰۶
۱۳	n	$n_{دارد}$	۸	۱۰	۸	۱۰
۱۴	d_2	m	۰/۰۲۵	۰/۰۲۵	۰/۰۲۵	۰/۰۲۵
۱۵	d_3	m	۰/۴۲۷۵	۰/۴۲۷۵	۰/۳۲۷۵	۰/۴۲۷۵
۱۶	ΣA_s	m^2	۰/۰۰۹۸	۰/۰۰۹۸	۰/۰۰۹۸	۰/۰۰۹۸
۱۷	A_v/S	mm	۰/۷۴۱۹	۰/۷۴۱۹	۰/۷۴۱۹	۰/۷۴۱۹
۱۸	V_s	N	۱۰۵۷۸۸/۷۸	۱۰۵۷۸۸/۷۸	۸۱۰۴۲/۸۷	۱۰۵۷۸۸/۷۸
۱۹	V_c	N	۳۵۲۶۲۹/۲۶	۳۵۲۶۲۹/۲۶	۲۷۰۱۴۲/۸۸	۳۵۲۶۲۹/۲۶
۲۰	V_u	N	۴۵۸۴۱۸/۰.۴	۴۵۸۴۱۸/۰.۴	۳۵۱۱۸۵/۷۵	۴۵۸۴۱۸/۰.۴

جدول 11: بارهای واردۀ از طرف امواج زلزله به مقاطع در شرایط لغزش کامل

نام گسل	نوع روش	نام مقطع	جابه جایی پوشش (m)	نیروی محوری (N)	لنگر خمشی (N.m)	نیروی برشی (N)
-----	-----	S-1	۰/۰۳۲۲	۳۷۴۵۲/۱۸	۲۲۴۷۱۳/۰۸	-----
-----	-----	S-2	۰/۰۲۸۹	۳۳۷۰۶/۹۶	۲۰۲۲۴۱/۷۷	-----
-----	-----	S-3	۰/۰۲۵۸	۲۹۹۶۱/۷۴	۱۷۹۷۷۰/۴۶	-----
-----	Wang	S-4	۰/۰۲۲۵	۲۶۲۱۶/۰۳	۱۵۷۲۹۹/۱۵	-----
-----	-----	S-5	۰/۰۲۲۴	۳۳۰۱۸/۰۰	۱۹۸۱۰۷/۹۹	-----
-----	-----	S-6	۰/۰۲۱۹	۵۳۰۲۷/۳۵	۳۱۸۱۶۴/۰۷	-----
-----	شمال	S-7	۰/۰۲۱۸	۵۷۰۹۶/۶۵	۳۴۲۵۷۹/۸۸	-----
۷۴۹۰۱/۶۱	قروین	S-1	۰/۰۳۲۲	۳۷۴۵۰/۸۱	۲۲۴۷۰۴/۸۴	-----
۶۷۴۱۱/۴۵	-----	S-2	۰/۰۲۹۰	۳۳۷۰۵/۷۳	۲۰۲۲۳۴/۳۶	-----
۵۹۹۲۱/۲۹	-----	S-3	۰/۰۲۵۸	۲۹۹۶۰/۶۵	۱۷۹۷۶۳/۸۷	-----
۵۲۴۳۱/۱۳	Penzien	S-4	۰/۰۲۲۵	۲۶۲۱۵/۰۶	۱۵۷۲۹۳/۳۹	-----
۶۶۰۳۲/۹۵	-----	S-5	۰/۰۲۲۴	۳۳۰۱۶/۴۷	۱۹۸۰۹۸/۸۵	-----
۱۰۶۰۴۶/۸۳	-----	S-6	۰/۰۲۱۹	۵۳۰۲۳/۴۱	۳۱۸۱۴۰/۴۹	-----
۱۱۴۱۸۴/۱۸	-----	S-7	۰/۰۲۱۸	۵۷۰۹۷/۰۹	۳۴۲۵۵۲/۰۴	-----

ادامه جدول ۱۱: بارهای واردۀ از طرف امواج زلزله به مقاطع در شرایط لغزش کامل

نام گسل	نوع روش	نام	نام مقطع	جابه‌جایی پوشش (m)	نیروی محوری (N)	لنگرخمشی (N.m)	نیروی برشی (N)
	S-1		.+/+415	۴۸۲۹۴/۵۰	۲۸۹۷۶۷/۰۰		
	S-2		.+/+۳۷۴	۴۳۴۶۵/۰۵	۲۶۰۷۹۰/۳۰		
	S-3		.+/+۳۳۲	۳۸۶۳۵/۶۰	۲۳۱۸۱۳/۶۰		
	S-4	Wang	.+/+۲۹۱	۳۳۸۰۶/۱۵	۲۰۲۸۳۶/۹۰		
	S-5		.+/+۲۸۸	۴۲۵۷۶/۶۳	۲۵۵۴۵۹/۸۰		
	S-6		.+/+۲۸۲	۶۸۳۷۸/۶۴	۴۱۰۲۷۱/۸۵		
	S-7		.+/+۲۸۱	۷۳۶۲۶/۰۰	۴۴۱۷۵۵/۹۷		
زنجان							
	S-1		.+/+۴۱۵	۴۸۲۹۲/۷۳	۲۸۹۷۵۶/۳۸		۹۶۵۸۵/۴۶
	S-2		.+/+۳۷۴	۴۳۴۶۳/۴۶	۲۶۰۷۸۰/۷۴		۸۶۹۲۶/۹۱
	S-3		.+/+۳۳۲	۳۸۶۳۴/۱۸	۲۳۱۸۰۵/۱۰		۷۷۲۶۸/۳۷
	S-4	Penzien	.+/+۲۹۱	۳۳۸۰۴/۹۱	۲۰۲۸۲۹/۴۷		۶۷۶۰۹/۸۲
	S-5		.+/+۲۸۸	۴۲۵۷۴/۶۷	۲۵۵۴۴۸/۰۱		۸۵۱۴۹/۳۴
	S-6		.+/+۲۸۲	۶۸۳۷۳/۵۷	۴۱۰۲۴۱/۴۲		۱۳۶۷۴۷/۱۴
	S-7		.+/+۲۸۱	۷۳۶۲۰/۱۲	۴۴۱۷۲۰/۷۱		۱۴۷۲۴۰/۲۴

جدول ۱۲: بارهای واردۀ از طرف امواج زلزله به مقاطع در شرایط بدون لغزش

نام گسل	نوع روش	نام	نام مقطع	جابه‌جایی پوشش (m)	نیروی محوری (N)	لنگرخمشی (N.m)	نیروی برشی (N)
	S-1				۱۵۵۲۴۳۲/۲۴	۲۲۴۷۱۳/۰۸	
	S-2				۱۳۹۷۱۸۹/۰۱	۲۰۲۲۴۱/۷۷	
	S-3				۱۲۴۱۹۴۵/۷۹	۱۷۹۷۷۰/۴۶	
	S-4	Wang			۱۰۸۶۷۰۲/۵۷	۱۵۷۲۹۹/۱۵	
	S-5				۱۰۹۵۵۷۱/۸۲	۱۹۸۱۰۷/۹۹	
	S-6				۱۱۱۶۹۸۵/۶۷	۳۱۸۱۶۴/۰۷	
	S-7				۱۱۲۰۸۶۵/۸۵	۳۴۲۵۷۹/۸۸	
شمال							
	S-1		.+/+۳۲۱	۷۴۷۴۳/۵۷	۲۲۴۲۳۰/۷۱		۷۴۷۴۳/۵۷
	S-2		.+/+۲۸۹	۶۷۲۶۹/۲۱	۲۰۱۸۰۷/۶۴		۶۷۲۶۹/۲۱
	S-3		.+/+۲۵۷	۵۹۷۹۴/۸۶	۱۷۹۳۸۴/۵۷		۵۹۷۹۴/۸۶
	S-4	Penzien	.+/+۲۲۵	۵۲۳۲۰/۵۰	۱۵۶۹۶۱/۵۰		۵۲۳۲۰/۵۰
	S-5		.+/+۲۲۳	۶۵۸۵۷/۵۷	۱۹۷۵۷۲/۷۱		۶۵۸۵۷/۵۷
	S-6		.+/+۲۱۸	۱۰۵۵۹۵/۲۳	۳۱۶۷۸۵/۶۸		۱۰۵۵۹۵/۲۳
	S-7		.+/+۲۱۷	۱۱۳۶۶۰/۷۸	۳۴۰۹۸۲/۳۵		۱۱۳۶۶۰/۷۸
قزوین							
	S-1		.+/+۳۲۱	۷۴۷۴۳/۵۷	۲۲۴۲۳۰/۷۱		۷۴۷۴۳/۵۷
	S-2		.+/+۲۸۹	۶۷۲۶۹/۲۱	۲۰۱۸۰۷/۶۴		۶۷۲۶۹/۲۱
	S-3		.+/+۲۵۷	۵۹۷۹۴/۸۶	۱۷۹۳۸۴/۵۷		۵۹۷۹۴/۸۶
	S-4	Penzien	.+/+۲۲۵	۵۲۳۲۰/۵۰	۱۵۶۹۶۱/۵۰		۵۲۳۲۰/۵۰
	S-5		.+/+۲۲۳	۶۵۸۵۷/۵۷	۱۹۷۵۷۲/۷۱		۶۵۸۵۷/۵۷
	S-6		.+/+۲۱۸	۱۰۵۵۹۵/۲۳	۳۱۶۷۸۵/۶۸		۱۰۵۵۹۵/۲۳
	S-7		.+/+۲۱۷	۱۱۳۶۶۰/۷۸	۳۴۰۹۸۲/۳۵		۱۱۳۶۶۰/۷۸
	S-1				۲۰۰۱۸۵۷/۸۳	۲۸۹۷۶۷/۰۰	
	S-2				۱۸۰۱۶۷۲/۰۴	۲۶۰۷۹۰/۳۰	
	S-3				۱۶۰۱۴۸۶/۲۶	۲۳۱۸۱۳/۶۰	
	S-4	Wang			۱۴۰۱۳۰۰/۴۸	۲۰۲۸۳۶/۹۰	
	S-5				۱۴۱۲۷۳۷/۳۷	۲۵۵۴۵۹/۸۰	
	S-6				۱۴۴۰۳۵۰/۴۷	۴۱۰۲۷۱/۸۵	
	S-7				۱۴۴۰۳۵۳/۹۶	۴۴۱۷۵۵/۹۷	
زنجان							
	S-1		.+/+۴۱۴	۹۶۳۸۱/۶۶	۲۸۹۱۴۴/۹۹		۹۶۳۸۱/۶۶
	S-2		.+/+۳۷۳	۸۶۷۴۳/۵۰	۲۶۰۲۳۰/۴۹		۸۶۷۴۳/۵۰
	S-3		.+/+۳۳۱	۷۷۱۰۵/۳۳	۲۳۱۳۱۵/۹۹		۷۷۱۰۵/۳۳
	S-4	Penzien	.+/+۲۹۰	۶۷۴۶۷/۱۶	۲۰۲۴۰۱/۴۹		۶۷۴۶۷/۱۶
	S-5		.+/+۲۸۸	۸۴۹۲۳/۱۸	۲۵۴۷۶۹/۵۵		۸۴۹۲۳/۱۸
	S-6		.+/+۲۸۱	۱۳۶۱۶۴/۸۰	۴۰۸۴۹۴/۴۱		۱۳۶۱۶۴/۸۰
	S-7		.+/+۲۸۰	۱۴۶۵۶۵/۳۲	۴۳۹۶۹۵/۹۶		۱۴۶۵۶۵/۳۲

جدول ۱۳: ضریب اطمینان محاسبه شده برای مقاطع در شرایط مختلف

بدون لغزش			لغزش کامل			نام مقطع	نوع روش	نام گسل
S.F _V	S.F _M	S.F _T	S.F _V	S.F _M	S.F _T			
۴/۸۸	۱/۴۵	۱/۴۴	۴/۸۷	۱/۱۷	۱/۱۷	S-1		
۵/۴۲	۱/۶۱	۱/۶۰	۵/۴۱	۱/۳۱	۱/۳۱	S-2		
۶/۱۰	۱/۸۱	۱/۸۰	۶/۰۸	۱/۴۷	۱/۴۷	S-3		
۶/۹۷	۲/۰۷	۲/۰۶	۶/۹۵	۱/۶۸	۱/۶۸	S-4	Wang	
۵/۳۳	۱/۸۲	۱/۸۱	۵/۳۲	۱/۸۴	۱/۸۵	S-5		
۴/۳۴	۱/۶۸	۱/۶۸	۴/۳۲	۱/۶۸	۱/۶۸	S-6		
۴/۰۳	۱/۶۸	۱/۶۸	۴/۰۱	۱/۸۷	۱/۸۹	S-7		
۴/۸۸	۱/۲۰	۱/۱۹	۴/۸۷	۱/۱۷	۱/۱۷	S-1	شمال قزوین	
۵/۴۲	۱/۳۳	۱/۳۲	۵/۴۱	۱/۳۱	۱/۳۱	S-2		
۶/۱۰	۱/۴۹	۱/۴۹	۶/۰۸	۱/۴۷	۱/۴۷	S-3		
۶/۹۷	۱/۷۱	۱/۷۰	۶/۹۵	۱/۶۸	۱/۶۸	S-4	Penzien	
۵/۳۳	۱/۸۴	۱/۸۴	۵/۳۲	۱/۸۴	۱/۸۵	S-5		
۴/۳۴	۱/۷۰	۱/۷۰	۴/۳۲	۱/۶۸	۱/۶۸	S-6		
۴/۰۳	۱/۸۵	۱/۸۶	۴/۰۱	۱/۸۷	۱/۸۹	S-7		
۳/۷۸	۱/۱۲	۱/۱۲	۳/۷۷	۰/۹۱	۰/۹۱	S-1		
۴/۲۰	۱/۲۵	۱/۲۴	۴/۱۹	۱/۰۱	۱/۰۱	S-2		
۴/۷۳	۱/۴۰	۱/۴۰	۴/۷۲	۱/۱۴	۱/۱۴	S-3		
۵/۴۰	۱/۶۰	۱/۶۰	۵/۳۹	۱/۳۰	۱/۳۰	S-4	Wang	
۴/۱۴	۱/۴۱	۱/۴۰	۴/۱۲	۱/۴۲	۱/۴۳	S-5		
۳/۳۷	۱/۳۱	۱/۳۰	۳/۳۵	۱/۳۱	۱/۳۰	S-6		
۳/۱۳	۱/۳۰	۱/۳۰	۳/۱۱	۱/۴۵	۱/۴۷	S-7		
۳/۷۸	۰/۹۳	۰/۹۲	۳/۷۷	۰/۹۱	۰/۹۱	S-1	زنگان	
۴/۲۰	۱/۰۳	۱/۰۳	۴/۱۹	۱/۰۱	۱/۰۱	S-2		
۴/۷۳	۱/۱۶	۱/۱۵	۴/۷۲	۱/۱۴	۱/۱۴	S-3		
۵/۴۰	۱/۳۲	۱/۳۲	۵/۳۹	۱/۳۰	۱/۳۰	S-4	Penzien	
۴/۱۴	۱/۴۳	۱/۴۲	۴/۱۲	۱/۴۲	۱/۴۳	S-5		
۳/۳۷	۱/۳۲	۱/۳۲	۳/۳۵	۱/۳۱	۱/۳۰	S-6		
۳/۱۳	۱/۴۴	۱/۴۴	۳/۱۱	۱/۴۵	۱/۴۷	S-7		

جدول ۱۴: شدت خطر محاسبه شده برای مقاطع در شرایط مختلف

بدون لغزش			لغزش کامل			نام مقطع	نوع روش	نام گسل
R _{SP}	RS	S.F _U	R _{SP}	RS	S.F _U			
۵۰	۵	۳/۵۹	۵۰	۵	۳/۴۹	S-1		
۴۰	۴	۳/۹۹	۴۰	۴	۳/۸۷	S-2		
۳۰	۳	۴/۴۹	۳۰	۳	۴/۳۶	S-3		
۲۰	۲	۵/۱۳	۲۰	۲	۴/۹۸	S-4	Wang	
۴۰	۴	۴/۰۲	۴۰	۴	۴/۰۲	S-5		
۵۰	۵	۳/۳۵	۵۰	۵	۳/۳۳	S-6		
۶۰	۶	۳/۱۵	۶۰	۶	۳/۲۲	S-7		
۵۰	۵	۳/۵۰	۵۰	۵	۳/۴۹	S-1	شمال قزوین	
۴۰	۴	۳/۸۹	۴۰	۴	۳/۸۷	S-2		
۳۰	۳	۴/۳۷	۳۰	۳	۴/۳۶	S-3		
۲۰	۲	۵/۰۰	۲۰	۲	۴/۹۸	S-4	Penzien	
۴۰	۴	۴/۰۲	۴۰	۴	۴/۰۲	S-5		
۵۰	۵	۳/۳۵	۵۰	۵	۳/۳۳	S-6		
۶۰	۶	۳/۲۲	۶۰	۶	۳/۲۲	S-7		

ادامه جدول ۱۴: شدت خطر محاسبه شده برای مقاطع در شرایط مختلف

بدون لغزش			لغزش کامل			نام مقطع	نوع روش	نام گسل
R _{SP}	RS	S.F _U	R _{SP}	RS	S.F _U			
۷۰	۷	۲/۷۹	۷۰	۷	۲/۷۰	S-1		
۶۰	۶	۳/۱۰	۶۰	۶	۳/۰۰	S-2		
۵۰	۵	۳/۴۸	۵۰	۵	۳/۳۸	S-3		
۴۰	۴	۳/۹۸	۴۰	۴	۳/۸۶	S-4	Wang	
۶۰	۶	۳/۱۱	۶۰	۶	۳/۱۲	S-5		
۷۰	۷	۲/۵۹	۷۰	۷	۲/۵۹	S-6		
۸۰	۸	۲/۴۴	۸۰	۸	۲/۴۹	S-7		
زنجان								
۷۰	۷	۲/۷۱	۷۰	۷	۲/۷۰	S-1		
۶۰	۶	۳/۰۱	۶۰	۶	۳/۰۰	S-2		
۵۰	۵	۳/۳۹	۵۰	۵	۳/۳۸	S-3		
۴۰	۴	۳/۸۸	۴۰	۴	۳/۸۶	S-4	Penzien	
۶۰	۶	۳/۱۲	۶۰	۶	۳/۱۲	S-5		
۷۰	۷	۲/۶۰	۷۰	۷	۲/۵۹	S-6		
۸۰	۸	۲/۵۰	۸۰	۸	۲/۴۹	S-7		



تأثیر تغییرات قطر سنبه پانچ استوانه‌ای در تخمین مقاومت فشاری تکمحوری برخی از سنگ‌های رسوبی سازند قم

مجتبی حیدری^{۱*}؛ حسن محسنی^۱؛ سید حسین جلالی^۲

۱- عضو هیئت‌علمی گروه زمین‌شناسی، دانشگاه بوقی سینا همدان

۲- دکتری زمین‌شناسی مهندسی، دانشگاه بوقی سینا همدان

دریافت: اردیبهشت ۱۳۹۶؛ پذیرش: تیر ۱۳۹۸

چکیده

مقاومت فشاری تکمحوری سنگ یکی از مهم‌ترین پارامترها در طراحی سازه‌های سنگی می‌باشد. آزمایش پانچ، از جمله آزمایش‌های شاخص است که توانایی تخمین غیرمستقیم مقاومت فشاری تکمحوری سنگ‌ها را دارا می‌باشد. این آزمایش ساده، ارزان و سریع بوده و به آماده‌سازی خاص نیاز نداشته و با نمونه‌های با بعد کوچک‌تر قابل انجام است. آزمایش‌های پانچ به دو شکل بلوكی و استوانه‌ای انجام می‌شود. در پژوهش حاضر کارایی آزمایش پانچ استوانه‌ای در تخمین مقاومت فشاری تکمحوری شش نوع سنگ رسوبی از سازند قم، اعم از گرینستون، وکستون-مادستون، باندستون، کالکلیتیت، سنگ گچ و مارن سیلتی، در جنوب شهر قم، بررسی شد. همچنین تأثیر قطر سنبه پانچ استوانه‌ای، بر تغییرات میزان شاخص پانچ استوانه‌ای با استفاده از چهار سننه با قطرهای مختلف (۱۰، ۱۳، ۱۶ و ۱۹ میلی‌متر) مطالعه شد. یافته‌ها نشان داد که آزمون‌های انجام شده با سننه با قطر ۱۰ میلی‌متر با بیشترین ضریب تعیین ($R^2 = 0.62$)، مناسب‌ترین نتیجه را برای تخمین مقاومت فشاری تکمحوری تمامی سنگ‌ها، فراهم می‌سازد.

پانچ استوانه‌ای، قطر سنبه، آزمایش‌های شاخص، مقاومت فشاری تکمحوری (UCS)، سازند قم

واژگان کلیدی

آزمایش پانچ بدلیل سهولت در تهیه نمونه، کوچک بودن بعد نمونه موردنیاز (که امکان تهیه آن از مغزه‌های ناقص یا کوتاه نیز وجود دارد) و همچنین بدلیل دقت نسبتاً خوبی که در تخمین غیرمستقیم مقاومت فشاری تکمحوری سنگ‌ها داراست، در تحقیقات جدید جایگاه مناسبی پیدا کرده است. آزمایش‌های پانچ به دو شکل بلوكی و استوانه‌ای انجام می‌شود. در هردو روش از نمونه‌های دیسکی شکل استفاده می‌شود. در پانچ بلوكی، شکست سنگ در امتداد دو خط موازی رخ می‌دهد ولی در پانچ استوانه‌ای، بارگذاری با استفاده از سننه‌ای استوانه

۱- مقدمه

در سنگ‌هایی که امکان تهیه نمونه‌های با بعد استاندارد وجود ندارد و یا آماده‌سازی آن‌ها مستلزم هزینه و وقت زیادی است، استفاده از برخی از آزمون‌های شاخص برای ارزیابی مقاومت فشاری تکمحوری (*Uniaxial Compressive Strength*) سنگ‌ها میسر نیست. بسیاری مواقع امکان تهیه مغزه‌های سنگی به سبب سستی، خردشیدگی و تورق وجود ندارد. در این حالت انجام آزمون‌های غیرمستقیم بر روی نمونه‌های کوچکی که نیاز به آماده‌سازی ندارد، توصیه شده است [۱].

نمودند. کاراکول و همکاران [۱۰] به ارزیابی ناهمسانگردی مقاومتی ناشی از جهتیابی سطوح ضعف با استفاده از شاخص پانچ بلوکی و مقاومت فشاری تکمحوری پرداختند.

میشرا و بازو [۱۱] طی تحقیقی با عنوان "استفاده از پانچ بلوکی برای تخمین مقاومت فشاری و کششی سنگ‌ها" اعلام کردند که آزمایش پانچ بلوکی نیز مانند آزمایش بار نقطه‌ای توانایی تخمین مقاومت فشاری تکمحوری (*UCS*) را دارد. آن‌ها نشان دادند که تخمین مقاومت کششی بهوسیله پانچ بلوکی در مقایسه با بار نقطه‌ای مفیدتر است. میشرا و بازو [۱۱] به ارزیابی مقایسه‌ای کارایی آزمون‌های شاخص گوناگون و روش‌های تحلیل متفاوت (رگرسیون و سیستم فازی) در تخمین مقاومت فشاری تکمحوری سه نوع سنگ شیست، گرانیت و ماسه‌سنگ پرداختند. آن‌ها نشان دادند که آزمایش‌های پانچ بلوکی و بار نقطه‌ای برای گرانیت‌ها، بهترین نتایج را به دست می‌دهند.

میشرا و همکاران [۱۲] با بهره گرفتن از نتایج آزمایش پانچ و با استفاده از روش‌های سیستم فازی، شبکه عصبی و *ANFIS* مدل‌هایی را برای تخمین مقاومت فشاری تکمحوری بلوکی ارائه دادند و با استفاده از ابزارهای آماری کارایی این آزمایش را برای تخمین غیرمستقیم مقاومت فشاری تکمحوری به اثبات رساندند.

اولوسای و همکاران (۲۰۰۱) [۱۳] استفاده از روش پانچ بلوکی را به عنوان یک آزمایش استاندارد به انجمن بین‌المللی مکانیک سنگ (*International Society for Rock Mechanics*) پیشنهاد کردند که از سوی *ISRM* به عنوان روش استاندارد و پیشنهادی این انجمن در سال ۲۰۰۶ معرفی گردید. با این وجود تاکنون برای آزمایش پانچ بلوکی استاندارد و روش پیشنهادی رسمی ارائه نشده است. افزون بر آن، در محدود مطالعات انجام‌شده با استفاده از پانچ استوانه‌ای هیچ اشاره‌ای به تأثیر قطر سنگ بر نتایج و کارایی این آزمایش نشده است.

اهداف این تحقیق، ارزیابی تأثیر قطرهای مختلف سنگ بر مقادیر شاخص پانچ استوانه‌ای (*cylindrical punch index* (*CPI*)), میزان انطباق مقادیر شاخص پانچ استوانه‌ای با قطر سنگ‌ها و قابلیت پانچ استوانه‌ای برای تخمین مقاومت فشاری تکمحوری سنگ‌ها می‌باشد.

در آزمون پانچ، استفاده از قطر سنگ ۱۰ میلی‌متر مرسوم بوده

ای می‌باشد که منجر به گسیختگی دایره‌ای سنگ بهاندازه قطر سنبه می‌شود. شرابر [۲] با استفاده از نتایج آزمایش‌های انجام‌شده بر روی نمونه‌هایی به ضخامت ۱۰ و قطر ۴۰ میلی‌متر که از تعداد ۹ گونه سنگ مختلف (برش، کالک آرنایت، کلسی لوتايت، دونیت، گنیس، سنگ‌آهک، مرمر، گل‌سنگ و ماسه‌سنگ) تهیه‌گرده بود، رابطه‌ای بین مقاومت فشاری تکمحوری، مقاومت کششی بزرگی و (*BPI*) *punch index* (۳). یک مطالعه آزمایشی برای تحقیق بر روی تأثیر اندازه نمونه بر روی *BPI* توسط اولوسای و گوچه‌اوغلو در سال ۱۹۹۷ [۴] آغاز گردید و تا سال ۱۹۹۹ ادامه یافت. در این تحقیقات ۱۹۰۰ آزمایش پانچ بلوکی بر روی ۲۵ نوع مختلف سنگ انجام شد. نمونه‌های تهیه‌شده دارای ضخامت‌هایی بین ۵ تا ۱۵ میلی‌متر بوده و از لحاظ قطری هم از نمونه‌های مغزه با قطر *BX* (۴۲ میلی‌متر) و *NX* (۵۴ میلی‌متر) که به طور معمول در اکثر مطالعات ژئوتکنیکی استفاده می‌شود، استحصلال شده بودند. نتایج آزمایشات نشان داد که اصلاح تأثیر اندازه در آزمایش *BPI* ضروری و امری غیرقابل چشم‌پوشی است و قطر ۱۰ و ضخامت ۵۰ میلی‌متر را می‌توان به طور نسبی به عنوان ابعاد معیار و مناسب برای نمونه‌ها در نظر گرفت. *BPI* سولوکچو و اولوسای [۳] روابط جدیدی برای اصلاح عدد برا براساس ابعاد نمونه و همچنین تخمین مقاومت فشاری تکمحوری از نتایج اصلاح شده آزمایش پانچ بلوکی *BPIc* ارائه دادند. خانلری و همکاران [۵] نیز، آنیزوتropی مقاومتی سنگ‌های دگرگونی استان همدان را با استفاده از شاخص پانچ استوانه‌ای مطالعه نمودند. در این تحقیق از قطر سنبه ۱۰ میلی‌متر استفاده شده است.

نیکودل و باغبانیان [۶] با استفاده از دستگاه پانچ به بررسی پارامترهای مقاومتی سنگ‌های ناهمسانگرد پرداختند. احمدی [۷] با استفاده از دستگاه ساخته شده برای پانچ نمونه‌های با قطر ۵۴ میلی‌متر و انجام آزمایش پانچ بلوکی بر روی سنگ‌های آهکی سازنده‌ای لار و دلیچای؛ ضربه‌های تبدیل شاخص پانچ بلوکی به مقاومت فشاری تکمحوری را برای این سنگ‌ها به دست آورد. جعفری و همکاران [۸] برای اولین بار آزمایش پانچ استوانه‌ای را بکار برد و نتایج آن را با نتایج پانچ بلوکی بر روی ۶۳ نوع سنگ برای تخمین مقاومت فشاری تکمحوری مقایسه کردند. حسینی و همکاران [۹] اقدام به ارزیابی کارایی پانچ بلوکی برای برآورد مقاومت فشاری تکمحوری سنگ‌های مارنی

کالک‌لیتایت، سنگ گچ و مارن سیلتی از سازند قم در جنوب شهر قم (شکل ۱) گردآوری شد.

شكل و ابعاد نمونه‌ها با استفاده از توصیه‌های انجمن بین‌المللی مکانیک سنگ (ISRM 2007) [۱۴] آمده گردید. تمامی نمونه‌ها با استفاده از دستگاه‌های مغزه‌گیر آزمایشگاهی تهیه شده و بواسیله دستگاه ساب آزمایشگاهی به شکل استاندارد آماده‌سازی شدند.

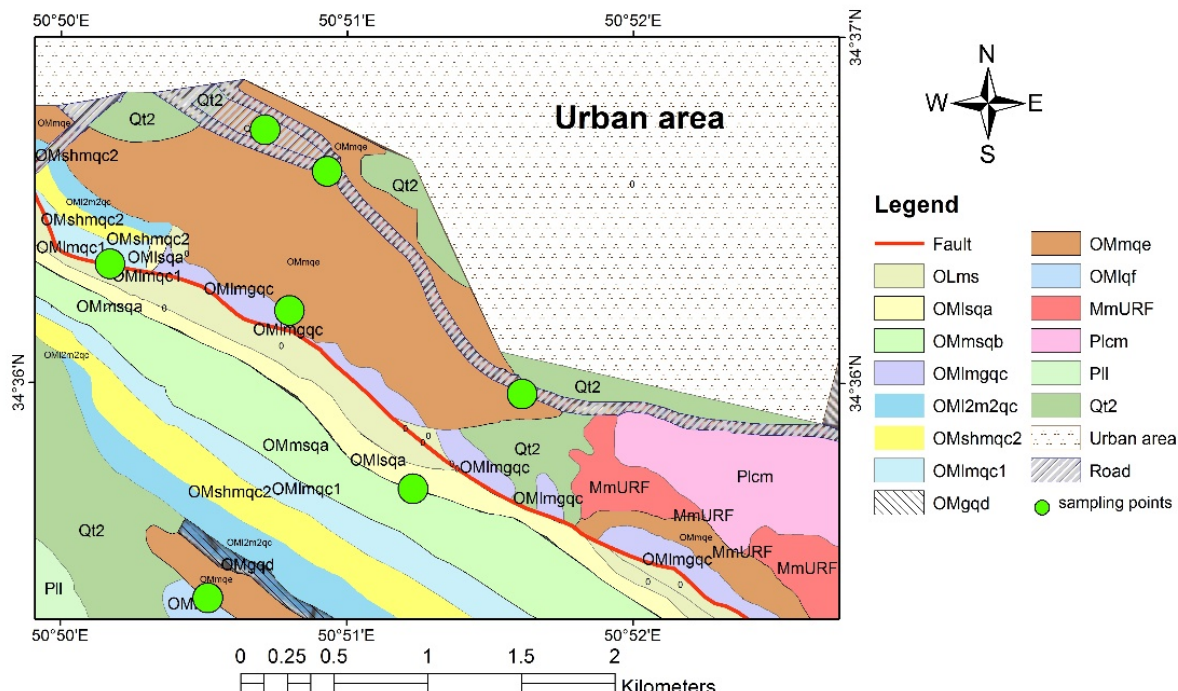
بعد از مشاهدات ظاهری، نمونه‌هایی همگن، بدون هوازدگی و فاقد درز و شکاف برای انجام آزمایش انتخاب شدند. پس از تهیه برش نازک میکروسکوپی، با انجام مطالعات پتروگرافی اقدام به توصیف و نام‌گذاری آن‌ها (به روش دانهام، ۱۹۶۲) [۱۵] گردید. سپس آزمایش‌های مقاومت فشاری به روش توصیه شده در آزمایشگاه زمین‌شناسی مهندسی (ISRM, 2007) در آزمایشگاه رئوتکنیک دانشگاه بولی اسینا انجام شد.

است. از طرفی چون در آزمون‌های نفوذ سوزن و نفوذ میخ از سنبه‌هایی با قطر کم استفاده می‌شود، در این تحقیق برای مقایسه اثر تغییر قطر سنبه‌ها، از مقادیر ۱۰، ۱۳، ۱۶ و ۱۹ میلی‌متر استفاده شده است؛ بنابراین، در پژوهش حاضر با ساخت دستگاه پانچ استوانه‌ای، مقادیر مقاومت فشاری تکمحوری و مقادیر شاخص پانچ استوانه‌ای (با استفاده از چهار سنبه با قطرهای ۱۹، ۱۶، ۱۳ و ۱۰ میلی‌متر) برای ۳۵ بلوک سنگی مشتمل بر شش نوع سنگ به دست آمده است. سپس از بین قطرهای مختلف، آن‌هایی که بهترین برازش و همبستگی را با نتایج آزمون مقاومت فشاری تکمحوری داشته‌اند، معرفی شده‌اند.

۲- مواد و روش‌ها

۲-۱- تهیه نمونه و مطالعات آزمایشگاهی

در تحقیق حاضر، سنگ‌های رسوبی متنوعی شامل انواع سنگ آهک (گرینستون، وکستون- مادستون، باندستون)،



Olms: تناوب شیل سیلتی قرمز تا خاکستری تیره، مارن ماسه‌ای فسیل‌دار، ماسه سنگ آهکی (بخش a). مارن همراه با میان لایه‌های از ماسه سنگ گچ و سنگ آهک (بخش b). **OMlmsqb**: مارن همراه با میان لایه‌های از سنگ گچ و مارن گچ دار (بخش c). **OMl1mqc1**: مارن همراه با میان لایه‌های از سنگ گچ دار (بخش d). **OMl2m2qc**: سنگ آهک اولیتی و مارن‌های سبزرنگ (بخش e). **OMgqd**: سنگ گچ همراه با مارن‌های گچ دار (بخش f). **OMlqf**: مارن‌های سبز خاکستری با میان لایه‌های از آهکرسی و به طور محلی گچ (بخش g). **OMmqe**: مارن قرمز، سیلیستون، ماسه سنگ گچ دار قرمز تیره، سنت‌گچ و ماسه سنگ سبز تیره در برخی نقاط. **Pll**: کنگلومرا با قطعاتی از سنگ آهک. **Plcm**: مارن با میان لایه‌های از کنگلومرا و ماسه سنگ.

شکل ۱: نقشه زمین‌شناسی منطقه مورد مطالعه و نقاط نمونه‌برداری (زمانی & حسینی، ۱۳۷۸) [۱۶] با اندکی اصلاحات)

پس از وارد شدن بخش درپوش بالایی در بدنه اصلی، بین انتهای بخش استوانه‌ای درپوش و کف محفظه، به اندازه ۱۵ میلی‌متر فضای خالی به منظور قرارگیری نمونه باقی می‌ماند. از آنجاکه معمولاً ضخامت اکثر نمونه‌های کمتر از این مقدار است، صفحه‌ای فولادی (پولک فولادی) با ضخامت ۶ میلی‌متر ساخته شد تا فضای خالی مانده شده را پرکرده و نمونه را در جای خود ثابت نگه دارد. قابل ذکر است که بدنه اصلی، درپوش بالایی و پولک‌های فولادی از فولاد استاندارد $VCN\ 200$ با سختی $48\text{--}50$ راکول، ساخته شده‌اند.



شکل ۳: قسمت‌های مختلف دستگاه پانچ استوانه‌ای: نمای بدنه و درپوش از بالا (الف)، سنبه پانچ کننده (ب)، پیچ‌های محکم کننده دو بخش دستگاه (ج) و پولک فولادی سوراخ‌دار (د)

برای انجام آزمایش پانچ استوانه‌ای با قطرهای پانچ کننده متفاوت، اقدام به ساخت چهار عدد بخش درپوش با ابعاد کاملاً مشابه گردید. تنها تفاوت این چهار درپوش قطر منفذ میانی آن‌ها می‌باشد که معادل 10 ، 13 ، 16 و 19 میلی‌متر می‌باشند. به منظور صرفه‌جویی در هزینه و زمان، بدنه استوانه‌ای اصلی با قطر منفذ میانی 19 میلی‌متر ساخته شد. برای اینکه بتوان از این بدنه برای انجام آزمایش پانچ با سایر قطرها نیز سود جست، پولک‌های فولادی سخت با قطر سوراخ‌های 10 ، 13 ، 16 و 19 میلی‌متر ساخته شد. با قرارگیری پولک فولادی با قطر سوراخ مشخص درون محفظه داخلی بدنه اصلی، دستگاه برای انجام آزمایش با قطر موردنظر آماده می‌شود. شکل ۴ درپوش‌ها، پولک‌های فولادی و سنبه‌ها با قطرهای خاص را نمایش می‌دهد.

۲-۲- مشخصات دستگاه پانچ استوانه‌ای
پانچ استوانه‌ای از لحاظ نحوه عملکرد شباهت‌هایی با دستگاه ساخته شده توسط مزنی و سورز (شکل ۲) دارد [۸]. این دستگاه برای شبیه‌سازی تأثیر بارهای متتمرکز بر پی‌های سنگی قرار گرفته بر روی لایه‌های سست‌تر، ساخته شده و به گونه‌ای طراحی شده که می‌تواند در اکثر دستگاه‌های بارگذاری قائم جایگذاری شده و مورد استفاده قرار گیرد. در این تحقیق برای اعمال بار قائم از دستگاه بارگذاری آزمایش مقاومت فشاری تک محوری (ساخت شرکت ELE) استفاده شده است. مقدار بار وارد به وسیله نیروسنج دیجیتال داخلی دستگاه قبل قرائت است.



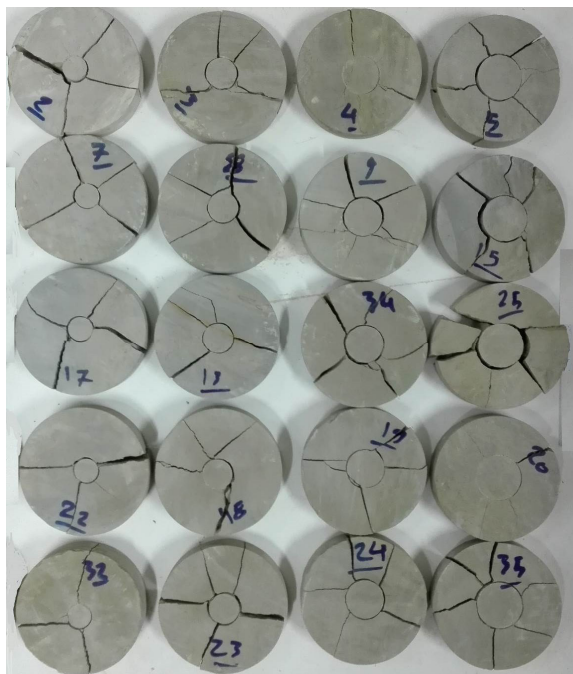
شکل ۲: تصویر ابزار آزمایش پانچ استوانه‌ای

این ابزار محفظه‌ای را برای نگهداری نمونه دیسکی شکل در درون خود دارد و توسط پیستون استوانه‌ای شکلی (سبه) که قابلیت بارگذاری قائم بر روی نمونه را دارد، با اعمال بار، سطح شکست دایره‌ای در نمونه سنگ ایجاد می‌شود. بخش گسیخته شده هم برای فشار استوانه بالایی به شکل قرصی به داخل منفذ تعییش شده در ته محفظه رانده می‌شود. همان‌گونه که در شکل‌های ۲ و ۳ دیده می‌شود، دستگاه دارای بخش‌های بدنه اصلی، درپوش بالایی و استوانه بارگذاری می‌باشد. بدنه اصلی استوانه‌ای شکل و دارای محفظه داخلی به قطر 80 میلی‌متر می‌باشد که در بخش میانی به منفذی ختم می‌شود که استوانه اعمال بار می‌تواند با فاصله کمتر از $0/2$ میلی‌متر در دو سمت، درون آن جایجا شود. درپوش هم دارای منفذ مشابه است و یک بخش استوانه‌ای به قطر $79/7$ میلی‌متر دارد که درون محفظه داخلی بدنه اصلی قرار می‌گیرد.

بارگذاری

پس از انجام آزمایش پانچ استوانه‌ای نمونه‌ها به چند قسمت تقسیم می‌شوند که مهمترین قسمت آن بخش قرص مانند میانی است که عموماً شکل کامل و سالم داشته و قسمت‌های اطراف آن به ابعاد و تعداد مختلف متholm شکستگی‌های شعاعی می‌شوند (شکل ۶).

در حین آزمایش با توجه به افت‌های متواالی دربار واردہ بیش از ۱ کیلونیوتن و همچنین صدای شکستگی شنیده شده قبل از شکست اصلی در سنگ، می‌توان وقوع شکست‌های پیش از شکست اصلی را تشخیص داد.



شکل ۶: تصاویری از نمونه‌های شکسته شده توسط دستگاه پانچ استوانه‌ای با قطرهای ۱۹، ۱۳، ۱۶ و ۱۰ (به ترتیب از راست به چپ)

آزمایش در شرایط زیر قابل قبول است:

- افت بار در خلل آزمایش، کمتر از ۱ کیلونیوتن باشد.

- قسمت میانی نمونه شکسته شده قرص مانند و سالم باشد (شکل ۶).

- مقدار بار قرائت شده در موارد مشکوک به خطأ، در محدوده مطلوب سایر قرائت‌ها باشد.

برای محاسبه شاخص پانچ استوانه‌ای (*CPI*) بر حسب مگاپاسکال از رابطه ۱ استفاده شده است [۸]:

$$CPI = \frac{F \times 10^{-3}}{A} \quad (1)$$



شکل ۴: درپوش‌ها، سنبه‌ها با قطرهای ۱۰، ۱۳، ۱۶ و ۱۹ میلی‌متر (از راست به چپ) و پولک‌های فولادی

۳-۲- روشهای آزمایش

در این تحقیق ۳۵ بلوک سنگی از شش نوع سنگ مختلف از سنگ‌های رسوبی اعم از رسوبی شیمیایی، بیوشیمیایی، تخریبی و تبخیری مشتمل بر سنگ‌های آهکی (با بافت گرینستون، وکستون- مادستون، باندستون)، کالکلیتایت، مارن سیلتی و سنگ گچ آماده شد. این بلوک‌های سنگی از رخمنونهای سازند قم واقع در جنوب شهر قم تهیه گردید و آزمایش شاخص پانچ استوانه‌ای (*Cylindrical Punch Index*) بر روی مغزه‌های تهیه شده از این بلوک‌ها انجام گردید. برای هر کدام از قطرهای سنبه‌ی پانچ، ۳۰۰ آزمایش انجام شد. در مجموع برای کل قطرهای تعداد ۱۲۰۰ نمونه مورد آزمایش قرار گرفت. نمونه‌ها مطابق روش پیشنهادی [۱۴] برای آزمایش پانچ بلوکی، آماده سازی شدند. پس از قرار دادن پولک فولادی و نمونه در درون دستگاه، درپوش بسته شده، سپس در محل بارگذاری قرار می‌گیرد (شکل ۵). همانند آزمایش پانچ بلوکی و بار نقطه‌ای، بارگذاری به نحوی اعمال می‌گردد که نمونه‌ها در فاصله زمانی بین ۱۰ تا ۶۰ ثانیه شکسته شوند.



شکل ۵: نحوه قرارگیری دستگاه پانچ استوانه‌ای در دستگاه

جدول ۱: ویژگی‌های آماری شاخص پانچ استوانه‌ای (*CPI*) برای سنبه با قطراهای مختلف بر حسب مگاپاسکال (MPa)

نوع سنگ	آزمایش	کمینه	بیشینه	انحراف معیار
گرینستون	<i>CPI 10</i>	۸/۶۵	۴۷/۵۵	۸/۸۰
	<i>CPI 13</i>	۸/۸۷	۶۵/۷۲	۱۲/۸۹
	<i>CPI 16</i>	۹/۸۳	۷۱/۵۶	۱۶/۳۹
	<i>CPI 19</i>	۷/۲۷	۴۴/۸۹	۹/۷۱
مادستون	<i>CPI 10</i>	۵/۹۷	۵۲/۹۹	۱۲/۵۵
وکستون	<i>CPI 13</i>	۶/۷۵	۵۰/۴۹	۱۱/۸۸
-	<i>CPI 16</i>	۷/۱۳	۵۷/۴۱	۱۲/۳۲
	<i>CPI 19</i>	۶/۱۳	۵۲/۹۲	۱۱/۹۳
باندستون	<i>CPI 10</i>	۱۱/۵۳	۶۹/۷۲	۱۲/۲۲
	<i>CPI 13</i>	۹/۰۶	۵۰/۴۳	۹/۴۲
	<i>CPI 16</i>	۱۲/۷۷	۵۱/۷۰	۱۱/۱۴
	<i>CPI 19</i>	۵/۵۶	۵۷/۷۶	۱۱/۴۰
کالکار	<i>CPI 10</i>	۵/۸۹	۴۸/۶۷	۱۰/۱۱
	<i>CPI 13</i>	۶/۷۱	۳۱/۹۴	۷/۸۵
پیاتیت	<i>CPI 16</i>	۹/۲۲	۳۸/۶۰	۸/۱۱
	<i>CPI 19</i>	۷/۱۴	۴۱/۲۴	۸/۸۷
مارن	<i>CPI 10</i>	۶/۱۵	۴۵/۴۲	۷/۵۱
سیلیتی	<i>CPI 13</i>	۷/۲۵	۲۹/۸۴	۵/۴۴
	<i>CPI 16</i>	۶/۳۲	۳۶/۵۰	۸/۶۷
	<i>CPI 19</i>	۶/۰۷	۲۵/۵۵	۶/۶۵
-	<i>CPI 10</i>	۹/۵۶	۲۱/۴۶	۳/۳۹
سنگ-	<i>CPI 13</i>	۸/۴۷	۱۹/۵۰	۳/۳۳
گچ	<i>CPI 16</i>	۱۱/۱۲	۲۲/۱۵	۳/۷۶
	<i>CPI 19</i>	۶/۸۲	۱۸/۰۴	۳/۳۵
کل سنگ‌ها	<i>CPI 10</i>	۵/۸۹	۴۸/۶۷	۹/۳۶
	<i>CPI 13</i>	۶/۷۱	۶۵/۷۱	۱۱/۲۵
	<i>CPI 16</i>	۶/۳۲	۷۱/۵۶	۱۲/۰۸
	<i>CPI 19</i>	۵/۵۶	۵۷/۷۶	۹/۹۶

۱۹. شاخص پانچ استوانه‌ای با قطر سنبه ۱۹ میلی‌متری،

۱۶. شاخص پانچ استوانه‌ای با قطر سنبه ۱۶ میلی‌متری،

۱۳. شاخص پانچ استوانه‌ای با قطر سنبه ۱۳ میلی‌متری،

۱۰. شاخص پانچ استوانه‌ای با قطر سنبه ۱۰ میلی‌متری

برای کل سنگ‌ها، با انحراف معیار ۹/۳۶، پانچ استوانه‌ای با قطر سنبه ۱۰ میلی‌متر کمترین پراکندگی داده‌ها را از خود نشان می‌دهد.

در شکل ۷ مقادیر میانگین شاخص پانچ استوانه‌ای به دست‌آمده برای سنبه با قطراهای مختلف در انواع سنگ‌ها به نمایش درآمده است.

که در آن F مقدار نیروی لازم برای شکست نمونه بر حسب کیلونیوتن و A سطح شکست واقع شده در نمونه سنگ بر حسب مترمربع می‌باشد که مقدار آن از رابطه ۲ محاسبه می‌گردد.

$$(2) \quad A = 2\pi rt \times 10^{-6}$$

که در آن r شعاع استوانه بارگذاری (سبه) بر حسب میلی‌متر و t ضخامت نمونه بر حسب میلی‌متر می‌باشد.

سطح برش خورده موردنظر در این آزمایش همان سطح دایره ای خارجی قرص شکسته شده می‌باشد. سازوکار شکست در این آزمایش با شکستگی در آزمایش پانچ بلوکی شبیه به هم باشند. به عبارت دیگر عامل اصلی شکستگی در سنگ در هر دو آزمایش، برش ایجاد شده در سطوح شکست می‌باشد.

۳- بحث و نتایج

داده‌های به دست‌آمده از آزمایش‌های پانچ با استفاده از نرم‌افزار *SPSS* تحلیل شده‌اند. در جدول ۱، ویژگی‌های آماری داده‌های به دست‌آمده از آزمایش پانچ استوانه‌ای (*CPI*) برای قطراهای مختلف سنبه نشان داده شده است. ذکر این نکته لازم است که از ۳۷ بین ۱۲۰۰ آزمایش انجام‌شده با قطراهای سنبه مختلف در آزمایش قسمت میانی نمونه‌ها دارای خردشده‌گی بوده و نتیجه آن‌ها از محاسبات کنار گذاشته شد. برای پی بردن به نرمال بودن توزیع متغیرها از آزمون ناپارامتریک کلموگراف - اسمیرنوف که به آزمون‌های نیکویی برازش معروف است، استفاده شده است.

نتایج به دست‌آمده در جدول ۱ نشان می‌دهد که در سنگ گرینستون داده‌های به دست‌آمده از پانچ استوانه‌ای با قطر سنبه ۱۰ میلی‌متر و پانچ استوانه‌ای با قطر سنبه ۱۹ میلی‌متر به ترتیب دارای کمترین مقدار انحراف معیار استوانه‌ای با قطر سنبه ۱۳ میلی‌متر و پانچ استوانه‌ای با قطر سنبه ۱۹ میلی‌متر به ترتیب دارای کمترین مقدار انحراف معیار در سنگ‌های وکستون - مادستون، مارن سیلیتی و سنگ گچ بوده‌اند. در باندستون و کالکلیتیات نیز کمترین مقدار انحراف معیار در داده‌های پانچ استوانه‌ای با قطر سنبه ۱۳ میلی‌متر و سپس پانچ استوانه‌ای با قطر سنبه ۱۶ میلی‌متر به دست‌آمده است. در مجموع داده‌های پانچ استوانه‌ای با قطر سنبه ۱۳ میلی‌متر در ۵ نوع سنگ و داده‌های پانچ استوانه‌ای با قطر سنبه ۱۰ میلی‌متر در یک نوع سنگ کمترین مقدار انحراف معیار را نشان می‌دهند.



ادامه شکل ۷: مقادیر میانگین شاخص پانچ استوانه‌ای به دست آمده

برای سنبه با قطرهای مختلف (الف) گرینستون، (ب) وکستون -

مادستون (ج) باندستون (د) کالکلیتایت (ه) مارن سیلیتی و (ه) سنگ گچ

همان‌طور که در شکل ۷ مشخص است مقادیر میانگین شاخص پانچ استوانه‌ای به دست آمده برای قطرهای مختلف سنبه با هم‌دیگر متفاوت می‌باشند. در این میان مقادیر میانگین (CPI 19) شاخص پانچ استوانه‌ای برای قطر سنبه ۱۹ میلی‌متر (۱۹ میلی‌متر) در تمامی انواع سنگ‌های موردمطالعه به میزان قابل توجهی کم تر از بقیه شاخص‌های قطرهای مختلف سنبه است.

بیشترین مقادیر شاخص پانچ استوانه‌ای در سنگ‌های گرینستون، وکستون - مادستون، باندستون، کالکلیتایت، مارن سیلیتی و سنگ گچ به ترتیب مربوط به قطرهای سنبه ۱۰، ۱۳، ۱۶، ۱۶، ۱۶ و ۱۰ می‌باشد. در جدول ۲ مقادیر ضریب تعیین بین مقادیر مقاومت فشاری تکمحوری و پانچ استوانه‌ای با قطرهای مختلف ارائه شده است.

در شکل ۸ ارتباط بین مقاومت فشاری تکمحوری و شاخص پانچ استوانه‌ای (CPI) با قطرهای سنبه ۱۰، ۱۳، ۱۶ و ۱۹ میلی‌متر در گرینستون نشان داده شده است.

شکل ۷: مقادیر میانگین شاخص پانچ استوانه‌ای به دست آمده برای سنبه با قطرهای مختلف (الف) گرینستون، (ب) وکستون - مادستون (ج) باندستون (د) کالکلیتایت (ه) مارن سیلیتی و (ه) سنگ گچ

جدول ۲- مقادیر ضریب تعیین مقادیر مقاومت فشاری تکمحوری و پانچ استوانهای با قطرهای مختلف

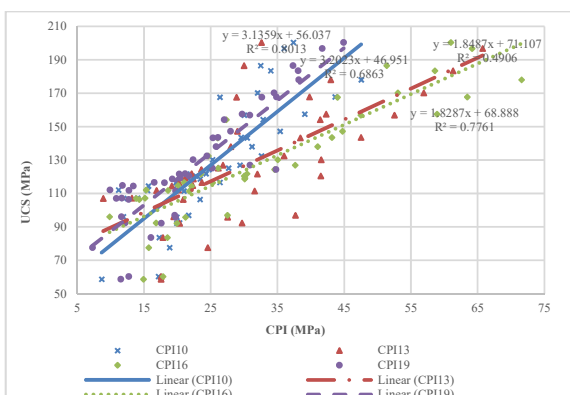
نوع سنگ	آزمایش	رابطه	R^2	VAF	B	MAE	RMSE
گرینستون	CPI 10	$UCS = 3.2023CPI\ 10 + 46.951$	0.8013	0.10	0.25	0.29	29/64
گرینستون	CPI 13	$UCS = 1.831CPI\ 13 + 68.573$	0.8013	0.14	0.28	0.29	35/90
گرینستون	CPI 16	$UCS = 1.8287CPI\ 16 + 68.888$	0.7761	0.05	0.23	0.29	23/60
گرینستون	CPI 19	$UCS = 3.1359CPI\ 19 + 56.037$	0.6863	0.00	0.23	0.29	22/24
وکستون - مادستون	CPI 10	$UCS = 0.91CPI\ 10 + 70.259$	0.8013	0.19	0.18	0.27	27/97
وکستون - مادستون	CPI 13	$UCS = 1.8439CPI\ 13 + 56.374$	0.8013	0.08	0.18	0.27	16/84
وکستون - مادستون	CPI 16	$UCS = 0.6677CPI\ 16 + 78.936$	0.7761	0.26	0.25	0.27	34/97
وکستون - مادستون	CPI 19	$UCS = 2.5401CPI\ 19 + 56.502$	0.8013	0.13	0.22	0.27	22/62
باندستون	CPI 10	$UCS = 3.4064CPI\ 10 + 27.154$	0.8013	0.05	0.31	0.27	13/30
باندستون	CPI 13	$UCS = 3.595CPI\ 13 + 20.998$	0.8013	0.24	0.30	0.27	34/93
باندستون	CPI 16	$UCS = 2.3989CPI\ 16 + 39.784$	0.7761	0.06	0.23	0.27	15/17
باندستون	CPI 19	$UCS = 3.0816CPI\ 19 + 38.844$	0.8013	0.00	0.29	0.27	11/89
ماسه سنگ آهکی	CPI 10	$UCS = 0.5303CPI\ 10 + 45.606$	0.8013	0.01	0.19	0.27	4/52
ماسه سنگ آهکی	CPI 13	$UCS = 1.0855CPI\ 13 + 40.193$	0.8013	0.01	0.15	0.27	5/06
ماسه سنگ آهکی	CPI 16	$UCS = 0.9981CPI\ 16 + 40.195$	0.8013	0.13	0.01	0.27	5/51
ماسه سنگ آهکی	CPI 19	$UCS = 0.8331CPI\ 19 + 39.345$	0.8013	0.00	0.13	0.27	1/24
مارن سیلتی	CPI 10	$UCS = 3.7739CPI\ 10 - 2.064$	0.8013	1.00	0.46	0.27	13/38
مارن سیلتی	CPI 13	$UCS = 2.7753CPI\ 13 + 11.365$	0.8013	1.18	0.86	0.27	38/41
مارن سیلتی	CPI 16	$UCS = 3.1473CPI\ 16 - 1.9851$	0.8013	0.05	0.82	0.27	24/70
مارن سیلتی	CPI 19	$UCS = 2.3664CPI\ 19 + 16.502$	0.8013	1.01	0.22	0.27	36/25
سنگ گچ	CPI 10	$UCS = 1.3041CPI\ 10 + 16.628$	0.8013	0.04	0.09	0.27	6/73
سنگ گچ	CPI 13	$UCS = 0.6973CPI\ 13 + 27.944$	0.8013	0.04	0.01	0.27	7/12
سنگ گچ	CPI 16	$UCS = 1.8382CPI\ 16 + 7.611$	0.8013	0.00	0.04	0.27	0/13
سنگ گچ	CPI 19	$UCS = 0.9921CPI\ 19 + 18.204$	0.8013	0.02	0.03	0.27	4/80
کل سنگ‌ها	CPI 10	$UCS = 4.0206CPI\ 10 + 4.0142$	0.8013	1.18	0.61	0.26	79/26
کل سنگ‌ها	CPI 13	$UCS = 0.6973CPI\ 13 + 27.944$	0.8013	1.54	0.33	0.26	99/04
کل سنگ‌ها	CPI 16	$UCS = 1.8382CPI\ 16 + 7.611$	0.8013	1.19	0.49	0.26	84/08
کل سنگ‌ها	CPI 19	$UCS = 0.9921CPI\ 19 + 18.204$	0.8013	1.68	0.25	0.26	109/41

UCS: مقاومت فشاری تکمحوری، CPI 19: شاخص پانچ استوانهای با قطر سنبه ۱۹ میلی‌متری، CPI 16: شاخص پانچ استوانهای با قطر سنبه ۱۶ میلی‌متری، CPI 13: شاخص پانچ استوانهای با قطر سنبه ۱۳ میلی‌متری، CPI 10: شاخص پانچ استوانهای با قطر سنبه ۱۰ میلی‌متری

UCS: مقاومت فشاری تکمحوری، CPI 19: شاخص پانچ استوانهای با قطر سنبه ۱۹ میلی‌متری، CPI 16: شاخص پانچ استوانهای با قطر سنبه ۱۶ میلی‌متری، CPI 13: شاخص پانچ استوانهای با قطر سنبه ۱۳ میلی‌متری، CPI 10: شاخص پانچ استوانهای با قطر سنبه ۱۰ میلی‌متری

از ضرایب رگرسیون بین مقادیر اندازه‌گیری شده و مقادیر برآورده شده و درصدهای خطای محاسبه شده، نمی‌توان به عنوان شاخص خوبی برای بررسی کارایی مدل‌های به دست آمده استفاده نمود. شاخص‌های عملکرد (VAF) و جذر میانگین مربعات خطای ($RMSE$) برای محاسبه کارایی مدل‌های پیش‌بینی کننده، بسیار مفید هستند که توسط محققان مختلف از جمله Gokceoglu (2002), Alvarez Grima & Babuska (1999), Finol et al. (2001) قرار گرفته‌اند [۱۷].

برای ارزیابی کارایی هر معادله رگرسیون، ضریب تعیین (R^2)، شاخص عملکرد (VAF) (رابطه ۳)، انحراف میانگین لکاریتمی (β)

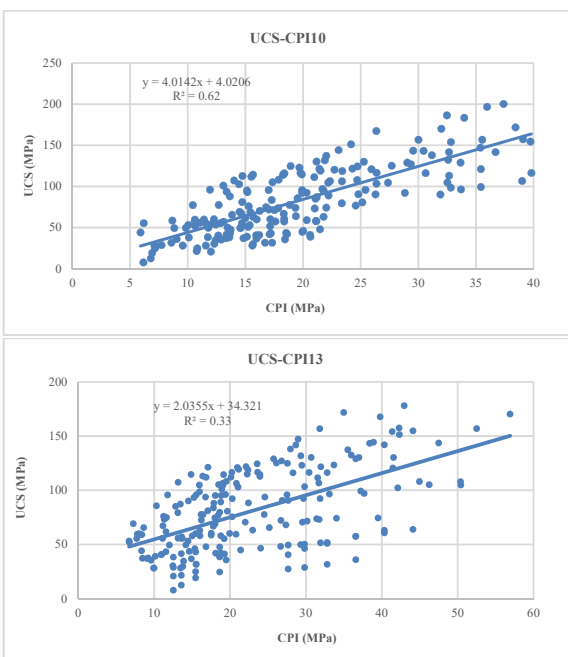


شکل ۸- رابطه بین مقاومت فشاری تکمحوری و شاخص پانچ استوانهای با قطرهای سنبه ۱۰، ۱۳، ۱۶ و ۱۹ میلی‌متر در گرینستون

پانچ استوانه‌ای با قطر سنبه ۱۰ میلی‌متر با ضریب تعیین ۰/۸۹ با اختلاف قابل توجه نسبت به سایر آزمایش‌ها بیشترین کارایی را در تخمین مقاومت فشاری تکمحوری در سنگ مارن سیلتی از خود نشان می‌دهد.

در سنگ گچ نیز پانچ استوانه‌ای با قطر سنبه ۱۶ میلی‌متر با ضریب تعیین ۰/۹۴ با اختلاف زیاد از بقیه آزمایش‌ها اनطباق بیشتری با نتایج مقاومت فشاری تکمحوری دارد. پانچ استوانه‌ای با قطر سنبه ۱۰ میلی‌متر با ضریب تعیین ۰/۶۴ در رتبهٔ بعدی است.

نتایج بررسی ضرایب تعیین در کل سنگ‌ها (جدول ۲) نشان می‌دهد که از میان قطرهای مختلف سنبه، پانچ استوانه‌ای قطر سنبه ۱۰ میلی‌متر ضریب تعیین ۰/۶۲ و نیز ضرایب آماری بهتر، نسبت به بقیه قطرهای سنبه موردنظری دارای کارایی بیشتری هستند. نمودارهای مربوطه در شکل ۹ ارائه شده است. برای بررسی میزان همبستگی نتایج، اقدام به ترسیم نمودار در محدوده‌های مقاومتی مختلف گردید. در مقاومت فشاری بیشتر از ۱۰۰ مگاپاسکال، همان‌طور که در شکل ۱۰ نمایش داده شده است، پانچ استوانه‌ای با قطر ۱۶ و ۱۰ میلی‌متر با ضریب تعیین ۰/۶۷ دارای بیشترین کارایی برای تخمین مقاومت فشاری تک محوری می‌باشند.



شکل ۹- رابطه بین مقاومت فشاری تکمحوری و شاخص پانچ استوانه‌ای (CPI) با قطرهای سنبه ۱۰، ۱۳، ۱۶ و ۱۹ میلی‌متر در کل سنگ‌ها

(رابطهٔ ۴)، میانگین قدر مطلق خطأ (MAE) (رابطهٔ ۵) و جذر میانگین مربعات خطأ ($RMSE$) (رابطهٔ ۶) محاسبه شده است. انحراف معیار لگاریتمی (β) و جذر متوسط مربع خطای ($RMSE$) برای تخمین اختلاف بین مقادیر پیش‌بینی شده به وسیله مدل و مقادیر واقعی مشاهده شده استفاده شده است. خطای مطلق متوسط (VAF) کمیتی است که نشان می‌دهد که پیش‌بینی‌ها تا چه حد به خروجی نهایی نزدیک است.

$$VAF = \left(1 - \frac{\text{var}(A_{imeas} - A_{ipred})}{\text{var}(A_{imeas})} \right) \quad (3)$$

$$\beta = \sqrt{\frac{1}{n-1} \sum_{i=1}^n \left[\ln \left(\frac{A_{imeas}}{A_{ipred}} \right) \right]^2} \quad (4)$$

$$MAE = \frac{1}{n} \sum_{i=1}^n |A_{imeas} - A_{ipred}| \quad (5)$$

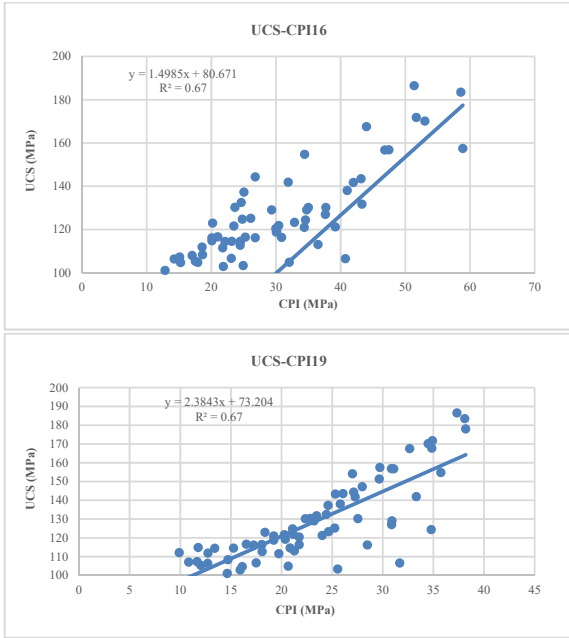
$$RMSE = \sqrt{\frac{1}{n} \sum_{i=1}^n (A_{imeas} - A_{ipred})^2} \quad (6)$$

در این روابط A_{imeas} i مین جز محاسبه شده و A_{ipred} i مین جز پیش‌بینی شده و n تعداد داده‌ها است. جدول ۲ ضریب تعیین و معیارهای آماری محاسبه شده، بین نتایج حاصل از رگرسیون‌ها را نشان می‌دهد. این معیارها برای ارزیابی کارایی مدل‌های ارائه شده محاسبه شده اند. اگر $VAF = 100$ و $RMSE$ صفر شود، مدل بسیار عالی خواهد بود [۱۸].

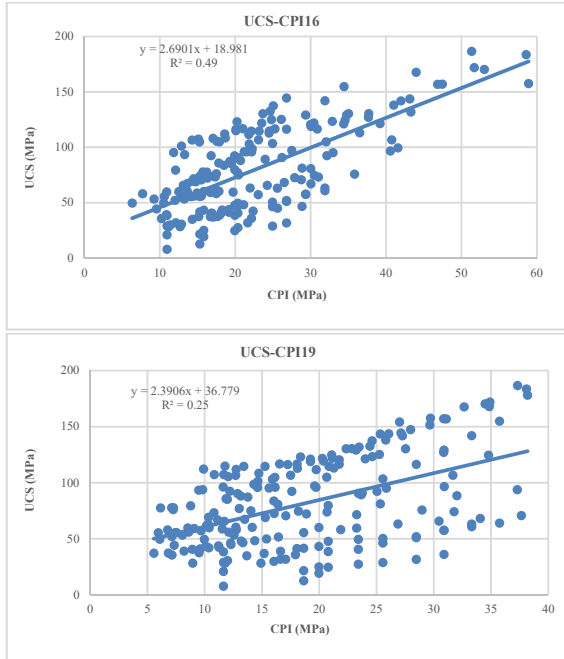
برای ارزیابی اثر قطر سنبه‌ها ابتدا نتایج آنالیز رگرسیونی در انواع مختلف سنگ‌ها به طور جداگانه بررسی شد و سپس این نتایج برای داده‌های تمام سنگ‌ها مطالعه شد. نتایج مطالعه نشان می‌دهد که برای گرینستون، بیشترین ضریب تعیین، برای سنبه‌های با قطرهای ۱۶، ۱۹ به ترتیب برابر با ۰/۸۰، ۰/۷۸ و ۰/۷۷ است. پانچ استوانه‌ای با قطر ۱۳ با ضریب تعیین ۰/۵۳ و سپس پانچ استوانه‌ای با قطر ۱۹ با ضریب تعیین ۰/۵۶ به ترتیب بیشترین کارایی را برای تخمین مقاومت فشاری تک محوری در سنگ وکستون - مادستون دارند.

در باندستون پانچ استوانه‌ای با قطر ۱۶ با ضریب تعیین ۰/۰۷ و سپس پانچ استوانه‌ای با قطر ۱۳ و ۱۶ با ضریب تعیین یکسان ۰/۵۶ به ترتیب کارایی بهتری دارند.

در کالکلیتایت نیز همانند گرینستون بزرگ‌ترین ضریب تعیین مربوط به پانچ استوانه‌ای با قطر سنبه ۱۹ (۰/۰۷) و بعدازآن پانچ استوانه‌ای با قطر سنبه ۱۳ (۰/۰۶۲) و سپس پانچ استوانه‌ای با قطر سنبه ۱۶ (۰/۰۶۱) می‌باشند.



شکل ۱۰- رابطه بین مقاومت فشاری تکمحوری و پانچ استوانهای با قطر سنبه ۱۶ و ۱۹ میلی‌متر در مقاومت فشاری تکمحوری بیشتر از ۱۰۰ مگاپاسکال



شکل ۹- رابطه بین مقاومت فشاری تکمحوری و شاخص پانچ استوانهای (CPI) با قطرهای سنبه ۱۰، ۱۳، ۱۶ و ۱۹ میلی‌متر در کل سنگ‌ها

۴- نتیجه‌گیری

با این‌که از آزمایش پانچ استوانهای در مطالعه سنبه با قطر ۱۰ میلی‌متر، بیشترین ضریب تعیین را دارد و درنتیجه بهترین کارایی را برای تخمین مقاومت فشاری تکمحوری برای کل سنگ‌ها دارا می‌باشد. علاوه بر این، ضرایب آماری محاسبه شده نیز کارایی بهتر قطر سنبه ۱۰ میلی‌متر را برای تخمین مقاومت فشاری تکمحوری تأیید می‌نماید.

از بین قطرهای مختلف سنبه مورداستفاده در این مطالعه سنبه با قطر ۱۰ میلی‌متر، بیشترین ضریب تعیین را دارد و درنتیجه بهترین کارایی را برای تخمین مقاومت فشاری تکمحوری برای کل سنگ‌ها دارا می‌باشد. علاوه بر این، ضرایب آماری محاسبه شده نیز کارایی بهتر قطر سنبه ۱۰ میلی‌متر را برای تخمین مقاومت فشاری تکمحوری تأیید می‌نماید.

نتایج مطالعه نشان می‌دهد که شاخص پانچ استوانهای بهدستآمده به موازی بودن سطوح جانبی نمونه‌های آماده‌سازی شده حساسیت کمتری نشان می‌دهد، زیرا شکل بخش پانچ کننده دستگاه آزمایش پانچ استوانهای دایره‌ای است و مساحت قسمت پانچ شده کمتر می‌باشد، لذا تعداد آزمایش‌های غیرقابل قبول در این آزمایش در مقایسه با آزمایش پانچ بلوکی به مراتب کمتر است.

ارزیابی نتایج حاصل از این مطالعه برای نمونه‌های سنگ به صورت مجزا نشان داد که از قطرهای مختلف مختلط سنبه مورداستفاده در این پژوهش، قطرهای ۱۹ و ۱۶ میلی‌متر هر کدام در دو نوع سنگ و قطرهای ۱۳ و ۱۰ میلی‌متر هر کدام در یک نوع سنگ، دارای بیشترین ضریب تعیین برای تخمین مقاومت فشاری تکمحوری می‌باشند.

همچنین در ارزیابی نتایج برای تمامی سنگ‌ها، مقادیر انحراف معیار محاسبه شده برای داده‌های قطر سنبه ۱۰ میلی‌متر، پراکندگی کمتر داده‌های بهدستآمده با این قطر سنبه را نشان می‌دهد.

- مراجع

- [11] Mishra, D., & Basu, A. (2012). Use of the block punch test to predict the compressive and tensile strengths of rocks. *International Journal of Rock Mechanics and Mining Science*, 51, 119–127.
- [12] Mishra, D., Srigyan, M., Basu, A., & Rokade, P. (2015). Soft computing methods for estimating the uniaxial compressive strength of intact rock from index tests. *International Journal of Rock Mechanics & Mining Sciences*, 80, 418–424.
- [13] Ulusay, R., Gokceoglu, C., & Sulukcu, S. (2001). Draft ISRM suggested method for determining block punch strength index (BPI). *Int. J. Rock Mech. Min. Sci.*, 38, 1113–1119.
- [14] ISRM. (2007). The complete ISRM suggested methods for rock characterization testing and monitoring: 1974–2006. In: Ulusay Hudson (eds) Suggested methods prepared by the commission on testing methods International Society for Rock Mechanics. Ankara Turkey: ISRM Turkish National Group.
- [15] Dunham, R. (1962). Classification of carbonate rocks according to depositional texture. In W. Ham, *Classification of Carbonate Rocks* (pp. 108–121). Tulsa: American Association of Petroleum Geologist Memories.
- [۱۶] زمانی، پ.، & حسینی، ح. (۱۳۷۸). نقشه زمین‌شناسی قم ۱:۱۰۰۰۰. تهران: سازمان زمین‌شناسی و اکتشافاتمعدنی کشور.
- [۱۷] کیانپور، م.، سیاری، م.، & ارومیه‌ای، ع. (۱۳۹۱). برآورد مقاومت تراکمی تکمحوری و مدول تغییر شکل پذیری شیل‌های سازند شمشک با استفاده از الگوریتم منطق فازی. *فصلنامه علوم زمین*، سال بیست و یکم(۸۳)، ۱۰۳–۱۱۰.
- [18] Erzin, Y., & Cetin, T. (2012). The use of neural networks for the prediction of the critical factor of safety of an artificial slope subjected to earthquake forces. *Scientia Iranica*, 19(2), 188–194.
- [1] Mishra, D., & Basu, A. (2013). Estimation of uniaxial compressive strength of rock materials by index tests using regression analysis and fuzzy inference system. *Eng Geol*, 60, 54–68.
- [2] Shrier van der, J. (1988). The block punch index test. *Bulletin of Engineering Geology and the Environment*, 38(1), 121–126.
- [3] Sulukcu, S., & Ulusay, R. (2001). Evaluation of the block punch index test with particular reference to the size effect, failure mechanism and its effectiveness in predicting rock strength. *Int. J. Rock. Mech. Min. Sci.*, 38, 1091–1111.
- [4] Ulusay, R., & Gokceoglu, C. (1997). The modified block punch index test. *Can. Geotech. J.*, 34, 991–1001.
- [5] Khanlari, G.R., Heidari, M., Sepahigero, A.A., & Fereidooni, D. (2014). Quantification of strength anisotropy of metamorphic rocks of the Hamedan province, Iran, as determined from cylindrical punch, point load and Brazilian tests. *Engineering Geology*, 80–90.
- [۶] نیکودل، م.، & باغبانیان، ع. (۱۳۸۰). کاربرد دستگاه پانچ برای تعیین خصوصیات مقاومتی سنگهای ناهمسانگرد. مجموعه مقالات اولین کنفرانس مکانیک سنگ ایران (ص. ۱۴۱–۱۳۷). تهران: دانشگاه تربیت مدرس.
- [۷] احمدی، م. (۱۳۸۳). بررسی تعیین مقاومت تکمحوری سنگ آهک با استفاده از دستگاه پانچ. مجموعه مقالات دومین کنفرانس مکانیک سنگ ایران (ص. ۴۲۹–۴۳۹). تهران: دانشگاه تربیت مدرس.
- [۸] جعفری، ا.، نیکودل، م.، & احمدی، م. (۱۳۸۹). ارزیابی ویژگی های مقاومتی سنگها با استفاده از نتایج آزمایش پانچ بلوکی و پانچ استوانه‌ای. *مجله علوم دانشگاه تهران*, ۳۶، ۱۶۹–۱۸۳.
- [۹] حسینی، م.، علی پنهانی، ب.، & سنمایری، س. (۱۳۹۱). تخمین خصوصیات مهندسی سنگ مارن با استفاده از آزمایش پانچ زمین شناسی کاربردی، سال ۱(۴)، ۳۰۹–۳۲۲.
- [10] Karakul, H., Ulusay, R., & Isik, N. (2010). Empirical models and numerical analysis for assessing strength anisotropy based on block punch index and uniaxial compression tests. *International Journal of Rock Mechanics & Mining Sciences*, 47, 657–665.

کاربرد مدل سری‌های زمانی در پیش‌بینی نرخ نفوذ ماشین حفر تونل تمام مقطع

مسعود مذهبی؛ سید مصلح افتخاری*

گروه مهندسی معدن، دانشگاه آزاد اسلامی واحد علوم و تحقیقات تهران

دریافت: خرداد ۱۳۹۷؛ پذیرش: اردیبهشت ۱۳۹۸

چکیده

در حفاری مکانیزه، نرخ نفوذ تعیین‌کننده هزینه‌ها و زمان حفاری پروژه است. از این‌رو پیش‌بینی نرخ نفوذ بسیار مهم و تعیین‌کننده می‌باشد. نرخ نفوذ نسبت فاصله حفاری شده به زمان انجام آن در طول حفاری پیوسته است. از این‌جاکه پارامتر نرخ نفوذ به ازای سیکل‌های مختلف حفاری ثبت می‌شود و از طرف دیگر، یک سری زمانی، دنباله‌ای مرتباً شده از مشاهدات است و با توجه به مقادیر گذشته و حال، می‌توان مقادیر آینده سری را پیش‌بینی کرد، در این مطالعه به بررسی کاربرد مدل سری‌های زمانی در پیش‌بینی نرخ نفوذ *TBM* پرداخته شده است. مقادیر نرخ نفوذ بیش از ۲۳۰۰ سیکل حفاری در تونل بلند زاگرس مورد تحلیل قرار گرفته است. نتایج پیش‌بینی نرخ نفوذ با مدل سری‌های زمانی ضرب تطبیق ۸۷ درصد را نشان می‌دهد و بیانگر قابلیت و کاربرد مناسب رویکرد سری‌های زمانی در پیش‌بینی نرخ نفوذ *TBM* است.

واژگان کلیدی

نرخ نفوذ، پیش‌بینی، سری‌های زمانی، ماشین حفر تونل

پیوسته است یا به عبارتی برابر نرخ پیشروی آنی ماشین می‌باشد و معمولاً بر حسب میلی‌متر بر دور تاج حفار یا متر بر ساعت بیان می‌شود [۱]. اهمیت پارامتر نرخ نفوذ در پروژه‌های تونل‌سازی سبب شده است تا محققین بسیاری به پیش‌بینی این پارامتر با روش‌های گوناگون از جمله روش‌های تئوری، تجربی و مدل‌سازی عددی و همچنین شبیه‌سازی با روش‌های هوشمند پردازنند. در روش تئوری، محققانی با توجه به ارتباط تئوری میان پارامترهای ماشین و نفوذ دیسک و همچنین در برخی موارد پارامترهایی از سنگ به پیش‌بینی نرخ نفوذ پرداخته‌اند [۴، ۲، ۳]. در حالی که روش تجربی بر مبنای ارتباط واقعی و ذاتی بین پارامترهای زمین و ماشین برقرار است و به واسطه برآذش بین خصوصیات سنگ و پارامترهای ماشین با نرخ نفوذ به دست آمده‌اند [۵، ۶، ۷]. با این حال، مدل‌های تجربی ارائه شده با اطمینان قابل تعمیم به تمام شرایط نمی‌باشند و می‌توان در شرایط یکسان با تحقیق انجام شده مورد استفاده قرار

۱- مقدمه

افزایش احداث تونل‌های متفاوت با کاربری‌های مختلف و افزایش روزافزون استفاده از حمل و نقل زمینی و زیرزمینی و تونل‌های انتقال آب و همچنین لزوم ساخت مسیرهای جدید و تونل‌های بلند و طولانی منجر به پیدایش و گسترش ماشین حفر تونل *TBM* از اوایل قرن نوزدهم شد. یکی از عوامل تعیین‌کننده روش حفر تونل (ستی یا مکانیزه)، مدت زمان حفر آن است. در روش سنتی این زمان تابع سیکل آتشباری می‌باشد و در روش حفاری مکانیزه، مدت زمان حفر را نرخ پیشروی^۱ تعیین می‌کند. نرخ نفوذ^۲ *TBM* یکی از تأثیرگذارترین عوامل مؤثر بر سرعت حفر تونل است. در تعریف نرخ نفوذ باید عنوان کرد که نسبت فاصله حفاری شده به زمان انجام آن در طول حفاری

Advance Rate^۱
Penetration Rate^۲

*: نویسنده مسئول

ازدحام ذرات^۲ پرداخته‌اند. ایشان به این نتیجه رسیده‌اند که الگوریتم بهینه‌سازی ازدحام ذرات برای پیش‌بینی عملکرد از روش شبکه‌های عصبی مصنوعی و شبکه‌های عصبی مصنوعی فازی بهتر عمل می‌کند [۲۳]. قاسمی و همکاران در سال ۲۰۱۴ به پیش‌بینی نرخ نفوذ با تکیک فازی پرداخته‌اند. اطلاعات موردنیازشان از بخش دوم تونل سوم پروژه انتقال آب کوئینز نیویورک برداشت شده است. پارامترهای ورودی آن‌ها مقاومت فشاری تکمحوره، مقاومت کششی بزریلی، زاویه^۳، شکنندگی سنگ، فاصله بین صفحات ضعف است [۲۴]. لی و بینگ در سال ۲۰۱۵ در شرایط سنگ سخت با داده‌های دو پروژه انتقال آب تهران - کرج و تونل انتقال آب شهر نیویورک (بخش دوم تونل کوئینز) به پیش‌بینی نرخ نفوذ پرداخته‌اند. ایشان از پارامترهای مقاومت فشاری تکمحوره، مقاومت کششی بزریلی، فاصله بین صفحات ضعف، زاویه بین محور تونل و صفحات ضعف (زاویه^۴) به عنوان ورودی استفاده کرده‌اند. آن‌ها از روش‌های ماشین بردار پشتیبان^۵ و روش حداقل مربعات جزئی^۶ استفاده کرده‌اند و به این نتیجه رسیده‌اند که این دو روش از قابلیت خوبی برای پیش‌بینی برخوردار می‌باشند و صحت قبل قبولی را ارائه می‌دهند. این نتیجه نیز حاصل شده است که این دو روش دارای برتری نسبی نسبت به سایر روش‌های آماری برای پیش‌بینی می‌باشند [۲۵]. فتحی و مرادی در سال ۲۰۱۶ با در نظر گرفتن عوامل و فاکتورهای مقاومت فشاری تکمحوره، فاصله بین صفحات ضعف توده‌سنگ، زاویه^۷، مقاومت کششی بزریلی و درجه شکستگی سنگ^۸ توسط مدل‌های رگرسیونی چندمتغیره به پیش‌بینی نرخ نفوذ پرداخته‌اند. ایشان مدل رگرسیونی چندمتغیره را برای پیش‌بینی نسبت به روش‌های خطی، توانی، چندجمله‌ای و لگاریتمی بهتر یافته‌اند [۲۶]. مینه و همکاران در سال ۲۰۱۷ با در نظر گرفتن فاکتورهای مقاومت فشاری تکمحوره، مقاومت کششی بزریلی، فاصله بین صفحات شکستگی‌ها، ضربی شکنندگی سنگ و زاویه^۹ با روش‌های رگرسیونی و مدل‌های مختلف رگرسیون، همچنین با در نظر گرفتن و مقایسه مدل فازی به پیش‌بینی نرخ نفوذ ماشین *TBM* پرداخته‌اند. این مطالعه با چهار مدل خطی، لگاریتمی، توانی و توانی دومتغیره

گیرند. علاوه بر این، از میان روش‌های بررسی نرخ نفوذ، روش عددی را بهدلیل دارا بودن روش حل صحیح و با دقت بالا می-توان به عنوان روشی بسیار مفید در شبکه‌سازی مدل‌های با شرایط نزدیک به واقعیت دانست؛ بنابراین، تاکنون مطالعات متعددی با ابزارهای مختلف روش عددی و با رویکردها و اهداف متفاوتی جهت مدل‌سازی فرآیند شکست سنگ در اثر بار دیسک‌های *TBM* و یا نرخ نفوذ صورت پذیرفته است [۱۸-۹]. همچنین، با توجه به قابلیت‌های روش‌های روشمند در پیش‌بینی مسائل پیچیده‌ای که شناسایی روابط و ارتباط پارامترها در آن‌ها به سادگی امکان‌پذیر نیست، مطالعات متعددی در سال‌های اخیر با این روش‌ها به‌منظور پیش‌بینی نرخ نفوذ انجام شده است. یاگیز و همکارانش در سال ۲۰۰۹ چهار پارامتر مقاومت فشاری تکمحوری، اندیس تردی، فاصله‌ی صفحات ضعف و زاویه بین این صفحات و محور تونل را به عنوان ورودی شبکه‌های عصبی مصنوعی^۱ در نظر گرفته‌اند و شبکه‌ای با چهار ورودی و یک خروجی ایجاد کرده‌اند. آن‌ها همچنین با استفاده از داده‌های مورداستفاده در شبکه عصبی به پیش‌بینی نرخ نفوذ به کمک رگرسیون‌گیری چند متغیره غیرخطی پرداخته‌اند. از مقایسه مقادیر پیش‌بینی شده با استفاده از شبکه عصبی و رگرسیون چند متغیره غیرخطی با مقادیر واقعی نرخ نفوذ، این نتیجه حاصل شده است که نتایج شبکه عصبی نسبت به رگرسیون غیرخطی به واقعیت نزدیک‌تر است [۱۹]. غلامنژاد و طیرانی (۲۰۱۰) با استفاده از روش شبکه عصبی به پیش‌بینی نرخ نفوذ با استفاده از پارامترهای مقاومت فشاری تکمحوری، فاصله بین صفحات ضعف در توده‌سنگ و *RQD* پرداخته‌اند [۲۰]. افتخاری و همکاران در سال ۲۰۱۰ با استفاده از روش شبکه‌های عصبی مصنوعی و با ورودی‌های مقاومت فشاری تکمحوره، نوع سنگ، درصد کوارتز، مقاومت کششی سنگ، *RQD*, *RMR*, *NIR*, پیش‌شان، گشتاور و سرعت چرخش کله حفار به پیش‌بینی نرخ نفوذ پرداخته‌اند [۲۱]. ترابی و همکارانش نیز در سال ۲۰۱۱ به کمک شبکه عصبی به بررسی اثر پارامترهای ژئوتکنیکی بر نرخ نفوذ پرداخته و عنوان کرده‌اند که شبکه عصبی نسبت به روش آماری نتایج قابل اطمینان‌تری می‌دهد [۲۲]. کاراهان و یاگیز در سال ۲۰۱۱ به پیش‌بینی عملکرد *TBM* با روش بهینه‌سازی

Particle Swarm Optimization^۷Support Vector Machine^۸Partial Least Squares^۹Rock Fracture Class^۵Artificial Neural Networks^۱

مشاهدات سری در طول زمان را توجیه کند و با توجه به این مدل از روی گذشته مقادیر، بتوان مقادیر آینده آن را پیش‌بینی نمود [۲۹]. مدل سری‌های زمانی به منظور پیش‌بینی کمیت‌های متنوعی از جمله وضعیت آب‌وهوا، قیمت، میزان برق مصرفی و به عبارت دیگر، داده‌هایی که از مشاهدات یک پدیده در طول زمان به دست می‌آیند، قابل استفاده است. آنچه در تمامی موارد مذکور وجود دارد این است که این کمیت‌ها نیز مشابه پارامتر نرخ نفوذ متاثر از عوامل بسیاری هستند که شناسایی و البته نحوه تأثیرگذاری آن‌ها به سادگی ممکن نیست. از این‌رو به نظر می‌رسد که تکرار و توالی مقادیر ثبت شده برای نرخ نفوذ در سیکل‌های مختلف و متوالی از حفاری توسط TBM، پتانسیل بررسی توسط مدل سری‌های زمانی را دارد؛ بنابراین در این تحقیق شرایط لازم جهت استفاده از سری‌های زمانی جهت پیش‌بینی نرخ نفوذ مورد بررسی قرار خواهد گرفت و به پیش‌بینی نرخ نفوذ TBM پرداخته می‌شود.

۲- منطقه موردمطالعه

منطقه موردمطالعه برای این تحقیق بخشی از قطعه دوم تونل بلند زاگرس واقع در غرب کشور ایران می‌باشد. قطعه دوم این تونل به طول ۲۶ کیلومتر و به قطر ۶/۷۳ متر به وسیله ماشین حفاری تونل (TBM) با سپر دوبل اجرا شده است. مشخصات مربوط به این تونل و ماشین TBM در جدول ۱ آمده است [۳۰].

جدول ۱: مشخصات مربوط به تونل و ماشین TBM [۳۰]

۲۶	طول تونل (KM)
۶/۷۳	قطر حفاری (m)
ماشین دو سپر	نوع TBM
۴۲	تعداد دیسک
۹۰	فاصله دیسک‌ها (mm)
۴۳۲	قطر دیسک (mm)
۰-۹/۰۵	سرعت چرخش (1/min)

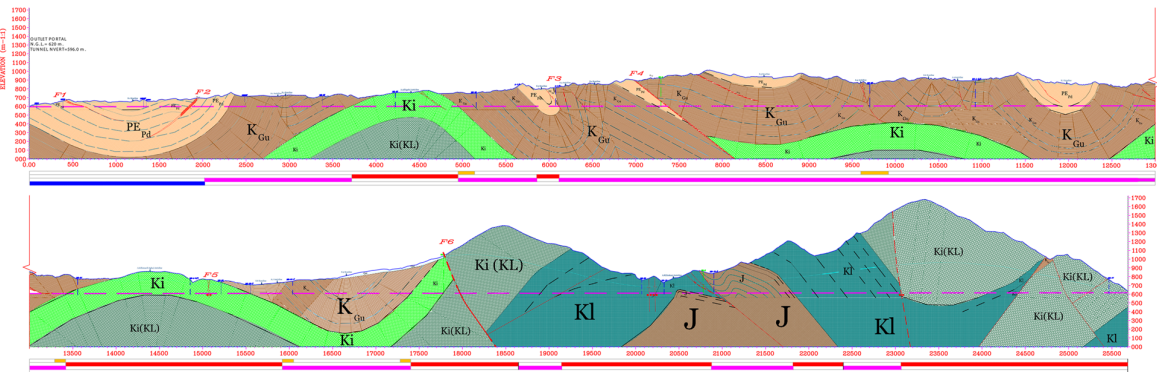
با توجه به مطالعات زمین‌شناسی و زمین‌شناسی مهندسی صورت گرفته در مراحل مختلف و با در نظر گرفتن تکرار واحدها در قسمت‌های مختلف مجموعاً در محدوده موردمطالعه ۲۱ واحد زمین‌شناسی مهندسی قابل تفکیک است [۳۰]. شکل ۱ برlesh زمین‌شناسی مسیر تونل را نشان می‌دهد. به منظور استفاده از رویکرد سری‌های زمانی به سابقه‌ی حفاری و مقادیر نرخ نفوذ در سیکل‌های مختلف نیاز است، از این‌رو در این تحقیق مقادیر نرخ نفوذ بیش از ۲۳۰۰ سیکل حفاری ماشین حفر تونل مورد استفاده قرار گرفته است.

انجام پذیرفته که مدل‌های توانی از قابلیت عملکرد بالاتری نسبت به مدل‌های خطی و لگاریتمی برخوردار هستند. همچنین مدل فازی در تطبیق از هر چهار مدل فوق عملکرد بهتری در پیش‌بینی نرخ نفوذ داشته است [۲۷]. ارمنانی و همکاران (۲۰۱۷) با در نظر گرفتن چندین عامل ورودی به پیش‌بینی نرخ نفوذ ماشین TBM پرداخته‌اند. ایشان داده‌های موردنیاز را از تونل انتقال آب پاهانگ در منطقه سلانگور کشور مالزی جمع‌آوری کرده‌اند. پارامترهای ورودی استفاده شده شامل مقاومت فشاری تکمحوره، مقاومت کششی برزیلی، درجه کیفی سنگ (RQD)، درجه تعیین کیفیت سنگ (RMD)، فرسایش براثر آب‌وهوا، نیروی محوری ماشین حفار و سرعت چرخش تاج حفار است. ایشان روش‌های هوشمند و ترکیب آن‌ها را برای پیش‌بینی انتخاب کرده‌اند. ترکیب روش‌های شبکه‌های عصبی مصنوعی و الگوریتم رقبابت استعماری (ICA) را با روش شبکه‌های عصبی مصنوعی مقایسه کرده و عنوان نموده‌اند که روش‌های ترکیبی بالا عملکرد بهتری از ANN دارند و روش PSO-ANN پیش‌بینی بهتری نسبت به ارائه می‌دهد [۲۸].

مرور مطالعات گذشته نشان می‌دهد که عوامل متعددی در ارتباط با سنگ و ماشین بر نرخ نفوذ مؤثرند اما اثر تمامی این عوامل مؤثر را نمی‌توان شناسایی و در نظر گرفت، در عین حالی که بعضی از عوامل مؤثر نیز در برخی پژوهه‌ها در دسترس نمی‌باشند. علاوه بر این، در نظر گرفتن یک مقدار ثابت برای پارامترهای مربوط به سنگ در طول یک مقطع زمین‌شناسی چندان نزدیک به واقعیت نیست، زیرا توده‌سنگ به طور ذاتی محیطی ناهمگن است و مقادیر پارامترهای آن نمی‌تواند ثابت باقی بماند؛ اما باید در نظر داشت که مقدار به دست آمده برای نرخ نفوذ در هر سیکل حفاری ناشی از تأثیر تمامی پارامترهای مؤثر بر آن است و به عبارت دیگر اثر تمامی پارامترهای مؤثر را به خود خود شامل می‌شود و به عبارتی تفاوت مقدار نرخ نفوذ در سیکل‌های مختلف حفاری، ناشی از تفاوت و تغییر در پارامترهای مؤثر آن است.

یک سری زمانی^۱، دنباله‌ای مرتب شده از مشاهدات است که بر حسب زمان یا متغیر دیگری مرتب شده است و هدف از تحلیل آن، به دست آوردن مدلی است که مکانیسم تصادفی

Time series^۱



شکل ۱: برش زمین‌شناسی مسیر قطعه دوم تونل زاگرس [۳۰]

احتمال پارامتر شکل، به پارامتری گفته می‌شود که با تغییر آن شکل تابع توزیع احتمال تغییری نماید [۳۳]. اگر سری زمانی دارای سه شرط زیر باشد آن سری ایستا و در غیر این صورت نایستا است.

$$E(Y_t) = \mu \quad (2)$$

$$E(Y_t - \mu)^2 = \text{var}(Y_t) = \sigma^2 < \infty \quad (3)$$

$$\text{برای هر } t_1, t_2 \quad (4)$$

$$\text{cov}(Y_{t_1}, Y_{t_2}) = E(Y_{t_1} - \mu)(Y_{t_2} - \mu) = \gamma_{t_1 - t_2}$$

۲-۳- توابع خودهمبستگی و خودهمبستگی جزئی
در ساخت آماری، مقدار همبستگی بین دو متغیر تصادفی به صورت زیر تعریف می‌شود:

$$\text{corr}[X_t, Z_t] = \frac{\text{cov}[X_t, Z_t]}{\sqrt{\text{var}[X_t] \text{var}[Z_t]}} \quad (5)$$

که cov نماد کواریانس و var نماد واریانس متغیرهای تصادفی می‌باشند. ضریب همبستگی عددی بین [-۱, ۱] است که نزدیک به -۱ بودن آن نشان از همبستگی خطی شدید و منفی و نزدیک به +۱ بودن آن بیانگر همبستگی خطی شدید و مثبت بین دو متغیر دارد. بدینهی است که صفر بودن آن بیانگر عدم ارتباط خطی بین متغیرها خواهد بود [۳۳]. به طور مشابه و در ادبیات سری‌های زمانی، تابع خودهمبستگی بین دو مقدار سری با S وقفه زمانی به صورت زیر تعریف می‌شود:

۳- تحلیل سری‌های زمانی

سری‌های زمانی بر اساس معادلات تفاضلی بناشده‌اند. چون زمان متغیری ناپیوسته است، این وضعیت لزوم استفاده از معادلات تفاضلی را فراهم آورده است. معادلات تفاضلی بهمانند مشتق عمل می‌کنند ولی بدینهی است که نمی‌توان مفهوم مشتق را بکار برد، زیرا مشتق بیانگر نسبت تغییرات Y به تغییرات t در فاصله بینهایت کوچک است، در حالی که در اینجا کوچک‌ترین تغییر زمان برابر ۱ است و لذا بهجای مشتق و دیفرانسیل از اصطلاح تفاضل استفاده می‌شود [۳۱]. در واقع هدف از بررسی یک سری زمانی، درک و بیان مکانیسم تولیدی، پیش‌بینی مقادیر آینده و کنترل بهینه یک سیستم است. طبیعت ذاتی یک سری زمانی وابسته یا همبسته بودن مشاهدات آن است؛ بنابراین ترتیب مشاهدات دارای اهمیت است و از روی روند تداوم این مشاهدات مدل‌سازی یک سری زمانی انجام می‌شود [۳۲].

۳-۱- ایستایی یا مانایی

مدل‌سازی سری‌های زمانی به خصوص در هنگام استفاده از مدل‌های رگرسیونی، تنها در صورت برقراری یک شرط حیاتی که در اصطلاح ایستایی^۱ یا مانایی خوانده می‌شود، امکان‌پذیر است. ایستایی یک سری زمانی به این معناست که آن سری به لحظه چگالی کمیت تصادفی دارای ماندگاری باشد و در طی زمان دچار تغییر نشود. در این تعریف منظور از ماندگاری، ثابت بودن کلیه پارامترهای تابع توزیع شامل پارامترهای مکان، مقیاس و شکل در طی دوره‌های مختلف است. در علم آمار و

^۱ Stationary

۳-۳- انواع مدل‌های سری‌های زمانی

مدل‌های مختلفی برای ساخت سری‌های زمانی وجود دارند که بر اساس ماهیت دروند پیشروی آن سری زمانی شکل می‌گیرد. از آن جمله می‌توان به مدل‌های خودتوضیح، میانگین متحرک^۳، خود توضیح میانگین متحرک^۴ و خود توضیح جمعی میانگین متحرک^۵ اشاره کرد که در ادامه توضیح داده خواهد شد [۲۹].

۳-۱- مدل خود توضیح یا اتورگرسیو

فرایند خود توضیح که با نماد $AR(P)$ نشان داده می‌شود، ساده‌ترین و پایه‌ای ترین مدل تشکیل سری‌های زمانی است. در این فرایند مقدار مؤلفه سری زمانی یا مقدار جاری متغیر موردنظر برحسب مؤلفه‌ها یا مقادیر قبل از خود و یک جزء تصادفی شکل می‌گیرد. به میزان برگشت آن متغیر به مقادیر گذشته درجه خود توضیح مدل مشخص می‌شود. رابطه کلی فرایند این مدل به شکل زیر است:

$$Y_t = \Phi_1 Y_{t-1} + \Phi_2 Y_{t-2} + \dots + \Phi_p Y_{t-p} + \varepsilon_t \quad (6)$$

به عنوان مثال $AR(1)$ که اتورگرسیو مرتبه اول است به شکل زیر حاصل می‌شود:

$$Y_t = \Phi_1 Y_{t-1} + \varepsilon_t \quad (7)$$

ε_t جزء تصادفی است و Φ_1 ضریب ثابتی بین $-1, +1$ بوده و $\{\varepsilon_t\}$ از فرایند اخلال خالص تبعیت می‌کند [۳۳].

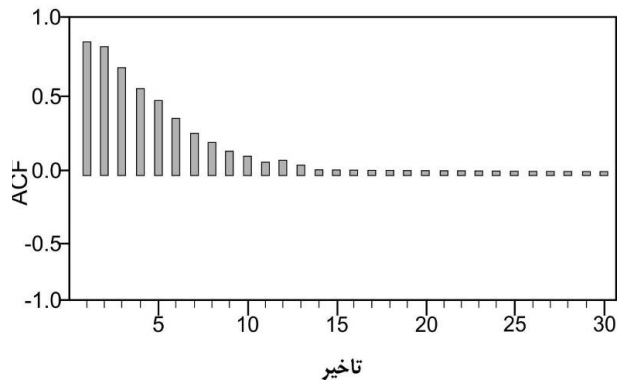
۲-۳-۳- مدل میانگین متحرک

فرایند میانگین متحرک نیز از ساده‌ترین و پایه‌ای ترین مدل‌های تشکیل سری‌های زمانی است. در این مدل Y_t به صورت تابعی از مقادیر با وقfe یک متغیر اخلال خالص $\{\varepsilon_t\}$ بیان می‌شود. این مدل با نماد $MA(q)$ نشان داده می‌شود. رابطه کلی این مدل به شکل زیر است:

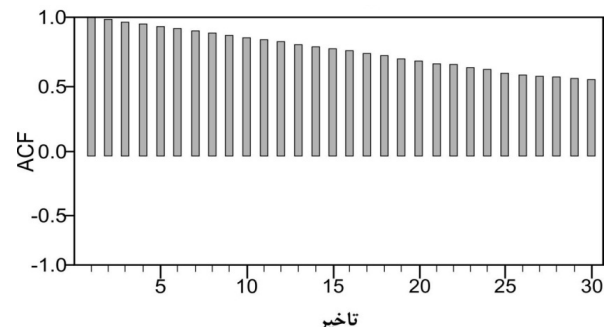
$$Y_t = \varepsilon_t + \theta_1 \varepsilon_{t-1} + \theta_2 \varepsilon_{t-2} + \dots + \theta_q \varepsilon_{t-q} \quad (8)$$

$$ACF_s = \frac{\text{cov}[Y_t, Y_{t-s}]}{\sqrt{\text{var}[Y_t] \text{var}[Y_{t-s}]}} \quad (1)$$

علاوه برتابع خودهمبستگی، کمیت دیگری تحت عنوان خودهمبستگی جزئی^۱ () نیز وجود دارد که رابطه آن مشابه رابطه بالاست با این تفاوت که در محاسبه کوواریانس Y_{t-s}, Y_t تنها همبستگی مستقیم میان این دو مقدار مدنظر قرار می‌گیرد و همبستگی‌های غیرمستقیم میان آن‌ها حذف می‌شود [۳۳]. نحوه تشخیص ایستایی سری‌های زمانی از روی نمودارهای خودهمبستگی با توجه به شکل‌های زیر مشخص می‌شود.



شکل ۲: نمودار خودهمبستگی سری زمانی ایستا به صورت شماتیک [۳۳]



شکل ۳: نمودار خودهمبستگی سری زمانی ناایستا به صورت شماتیک [۳۳]

آنچنان‌که مشاهده می‌شود کاهش شدید نمودارهای خودهمبستگی نشان از ایستایی سری زمانی (شکل ۲) و کاهش تدریجی نمودارها نشان از عدم ایستایی دارد (شکل ۳) [۳۳].

AR: Auto Regressive^۷

MA: Moving Average^۸

ARMA: Auto Regressive Moving Average^۹

ARIMA: Auto Regressive Integrated Moving Average^{۱۰}

Partial Auto correlation Function (PCF)^{۱۱}

افت شدید میزان تابع خودهمبستگی جزئی در تأخیر دوم از علائم ایستایی سری زمانی می‌باشد؛ بنابراین داده‌های نرخ نفوذ ایستا می‌باشد و قابلیت مدل‌سازی با رویکرد سری‌های زمانی را دارا است.

به‌منظور مدل‌سازی سری زمانی باید فاکتورهای p و q که به ترتیب درجه خود توضیح و میانگین متحرک هستند تعیین شوند تا بتوان به مدل بهینه دست یافته. مدل سری زمانی ARMA به لحاظ ایستابودن سری داده‌های نرخ نفوذ و عملکرد خوب آن برای سری‌های ایستا انتخاب شده است. به‌منظور تعیین مدل بهینه جهت پیش‌بینی با سری‌های زمانی، مدل‌های متعددی با مقادیر متفاوت درجه خود توضیح و میانگین متحرک ساخته شده و علاوه بر ضریب تطبیق مدل‌ها از معیار خطای استاندارد رگرسیون و معیار آکائیک جهت سنجش نتایج این مدل‌ها استفاده شده است. معیار خطای استاندارد رگرسیون، انحراف و خط از خط رگرسیون را ارائه می‌دهد و اندازه درستی پیش‌بینی را بررسی می‌کند. معیار آکائیک، معیاری برای سنجش نیکویی برازش است و نشان می‌دهد که استفاده از یک مدل آماری به چه میزان باعث از دست رفتن اطلاعات می‌شود. این معیار با توجه به رابطه زیر به دست می‌آید:

$$AIC = 2K - 2\ln(L) \quad (11)$$

که در آن، K ، تعداد پارامترهای مدل آماری و L مقدار حداکثر تابع درستنمایی^۲ برای مدل برآورد شده است. به عبارت دیگر، این معیار تعادلی میان دقت مدل و پیچیدگی آن برقرار می‌کند. این معیار توسط هیروتوگو آکائیک برای انتخاب بهترین مدل پیشنهاد شده است. هرچه این معیار برای مدلی کمتر باشد نشانگر بهتر بودن آن مدل در مقایسه با سایر مدل‌ها است.^[۳۶]

برای یافتن مدل بهینه جدولی با ردیف p و ستون q ، 10×8 تشکیل شده و مقادیر ضریب تطبیق مدل‌ها که شاخص بسیار مناسبی برای ارزیابی رگرسیون است، برای مدل‌های مختلف (Arma(p,q) محاسبه و در جدول ۲ ثبت شده است. همچنین در جدول ۳، نتایج معیار خطای استاندارد رگرسیون و در جدول ۴ نتایج معیار آکائیک مدل‌ها ارائه شده است.

همان‌طور که مشاهده می‌شود با بسط جزء تصادفی حاصل از اندازه‌های هر مؤلفه سری زمانی این مدل سری زمانی شکل می‌گیرد. ساده‌ترین شکل این مدل (۱) MA است که فقط بر حسب یک جزء تصادفی قبل از خود شکل‌گرفته است. رابطه آن به صورت زیر است:

$$Y_t = \varepsilon_t + \theta_1 \varepsilon_{t-1} \quad (9)$$

ایده اصلی فرایند میانگین متحرک این است که هر تغییر تصادفی بزرگ در هر لحظه از زمان، با نقاط هم‌جوارش میانگین گرفته شود، تأثیر متعادل‌تری از خود به جا خواهد گذاشت.^[۳۳]

۳-۳-۳- مدل خود توضیح میانگین متحرک
یکی از پرکاربردترین مدل‌ها در مدل‌سازی سری‌های زمانی است که با نماد $ARMA(p,q)$ نشان داده می‌شود. این مدل تلفیقی از دو مدل خود توضیح و میانگین متحرک است. رابطه آن به صورت زیر است:

$$Y_t = \Phi_1 Y_{t-1} + \Phi_2 Y_{t-2} + \dots + \Phi_p Y_{t-p} + \varepsilon_t + \theta_1 \varepsilon_{t-1} + \theta_2 \varepsilon_{t-2} + \dots + \theta_q \varepsilon_{t-q} \quad (10)$$

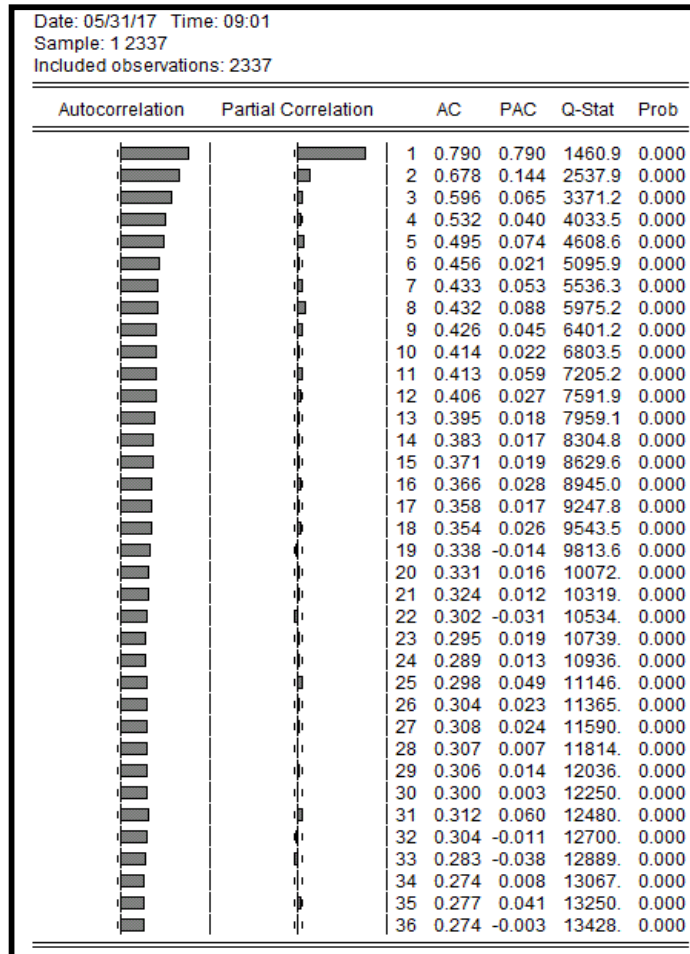
بررسی وضعیت ایستایی فرایندهای ARMA بسیار پیچیده‌تر از فرایندهای پیشین است.^[۳۳]

۳-۴-۳- مدل خود توضیح جمعی میانگین متحرک
در این مدل همانباشتگی (Integration) هم افزوده می‌شود. در این روش با تفاضل‌گیری از مدل $ARMA$ آن را ایستا نموده و قابلیت پیش‌بینی به آن داده می‌شود.^[۳۳]

۴- پیش‌بینی نرخ نفوذ با رویکرد سری‌های زمانی
به‌منظور مدل‌سازی‌ها از نرم‌افزار ایویوز^۱ نسخه ۹ استفاده شده است. پیش‌بینی نرخ نفوذ به‌وسیله بیش از ۲۳۰۰ داده واقعی نرخ نفوذ انجام شده است. ابتدا ایستایی سری زمانی با نرم‌افزار ایویوز موردنبررسی قرار می‌گیرد همان‌طور که در شکل ۴ نشان داده شده است نمودارهای خودهمبستگی و خودهمبستگی جزئی از تأخیر ۱ تا ۳۶ رسم شده‌اند. روند نزولی میزان تابع خودهمبستگی (ACF) در طول پیشروی وقفه‌ها و

¹ likelihood function

Eviews^۱



شکل ۴: نمودار خودهمبستگی و خودهمبستگی جزئی داده‌های نرخ نفوذ

جدول ۲: ضریب تطبیق مدل‌های سری زمانی تشکیل شده

p-q	درجه میانگین متاخر (q)									
	۰	۱	۲	۳	۴	۵	۶	۷	۸	۹
۰	۰/۸۹۰۱	۰/۷۸۰۶	۰/۸۰۰۵	۰/۸۳۳۶	۰/۸۴۱۷	۰/۸۴۲۲	۰/۸۴۵۲	۰/۷۸۰۶	۰/۸۴۱۷	
	۰/۸۵۱۴	۰/۸۵۹۸	۰/۸۶۰۴	۰/۸۶۱۴	۰/۸۶۱۸	۰/۸۶۳۶	۰/۸۶۳۶	۰/۸۶۶	۰/۸۶۰۴	۰/۸۶۳۳
	۰/۸۵۸۶	۰/۸۶۱۵	۰/۸۶۱۹	۰/۸۶۲۱	۰/۸۶۲۴	۰/۸۶۳۶	۰/۸۶۴۳	۰/۸۶۶	۰/۸۶۱۹	۰/۸۶۹۲
	۰/۸۵۹۵	۰/۸۶۲	۰/۸۶۲	۰/۸۶۲	۰/۸۶۹	۰/۸۶۶۱	۰/۸۶۶۴	۰/۸۶۶۳	۰/۸۶۳۱	۰/۸۵۲۴
	۰/۸۶	۰/۸۶۲	۰/۸۶۲۱	۰/۸۶۴۹	۰/۸۶۹۴	۰/۸۶۶۳	۰/۸۶۶۴	۰/۸۶۶۴	۰/۸۶۱۴	۰/۸۵۶۳
	۰/۸۶۰۱	۰/۸۶۲۲	۰/۸۶۲۱	۰/۸۶۵	۰/۸۶۵۵	۰/۸۷۴۸	۰/۸۶۶۴	۰/۸۷۶۱	۰/۸۵۹۸	۰/۸۶۳۲
	۰/۸۶۲۳	۰/۸۶۳۸	۰/۸۶۵۹	۰/۸۶۶۶	۰/۸۶۶۸	۰/۸۷۵۳	۰/۸۷۶۱	۰/۸۶۸۵	۰/۸۶۹۴	۰/۸۷۱۱
	۰/۸۶۵۶	۰/۸۶۵۷	۰/۸۶۶۷	۰/۸۶۶۶	۰/۸۶۶۸	۰/۸۶۶۸	۰/۸۷۲۷	۰/۸۷۳۸	۰/۸۶۴۱	۰/۸۶۵۲

جدول ۳: بررسی تطبیق مدل‌ها با معیار خطای استاندارد رگرسیون

p-q	درجه میانگین متغیر (q)									
	۰	۱	۲	۳	۴	۵	۶	۷	۸	۹
نحوه تطبیق (P)	.	۱/۰۱۵۲	۰/۸۷۸۹	۰/۸۳۶۳	۰/۷۸۰۶	۰/۷۶۵۱	۰/۷۶۵۹	۰/۷۶۱۴	۰/۸۱۶۳	۰/۷۸۲۹۹
	۱	۰/۷۳۵۵۳	۰/۷۲	۰/۷۱۸۲	۰/۷۱۷۹	۰/۷۱۸۸	۰/۷۱۶۲	۰/۷۱۸۰۷	۰/۷۱۳۹	۰/۷۲۵۴
	۲	۰/۷۲۰۸۵	۰/۷۱۵۷	۰/۷۱۶۵	۰/۷۱۸	۰/۷۱۹۲	۰/۷۱۸۱۱	۰/۷۱۸۲	۰/۷۱۵۸	۰/۷۱۶۵
	۳	۰/۷۲۰۴۱	۰/۷۱۶۳	۰/۷۱۸۱	۰/۷۲۳۶	۰/۷۰۴۷	۰/۷۱۳۸۶	۰/۷۱۵۱۴	۰/۷۱۷	۰/۷۲۶۴
	۴	۰/۷۲۱۱۸	۰/۷۱۸۱	۰/۷۱۹۹	۰/۷۱۴۹	۰/۷۰۵۸	۰/۷۱۵۱۹	۰/۷۱۷۰۲	۰/۷۱۸۸	۰/۷۱۹۹
	۵	۰/۷۲۲۷۶	۰/۷۱۹۶	۰/۷۲۱۷	۰/۷۱۶۶	۰/۷۱۷۵	۰/۶۹۶۱	۰/۷۱۸۹	۰/۶۹۵۷	۰/۷۲۴۱
	۶	۰/۷۱۹۳۹	۰/۷۱۷۵	۰/۷۱۴۴	۰/۷۱۴۵	۰/۷۱۶۱	۰/۶۹۶۰۹	۰/۶۹۵۸	۰/۷۱۷۳	۰/۷۱۹۲
	۷	۰/۷۱۳۲۶	۰/۷۱۴۸	۰/۷۱۴۳	۰/۷۱۶۴	۰/۷۱۷۸	۰/۷۱۹۷۴	۰/۷۰۶۷	۰/۷۰۵۵	۰/۷۱۳۷

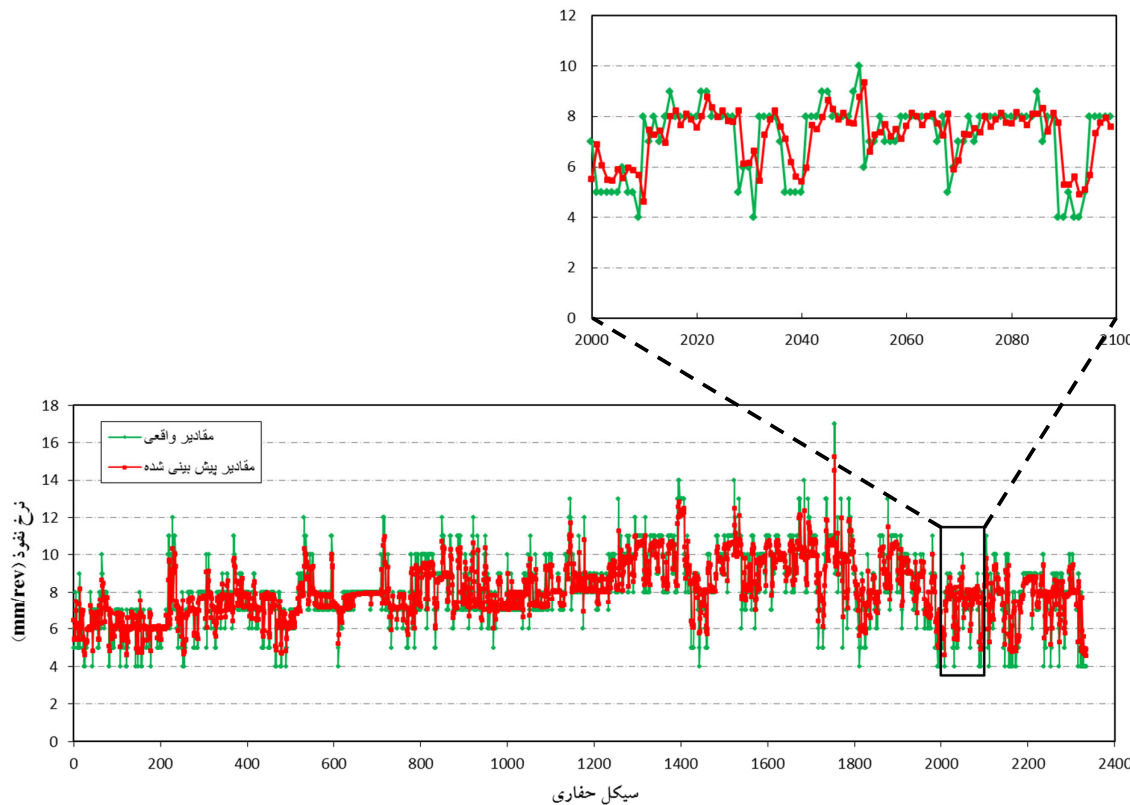
جدول ۴: بررسی تطبیق مدل‌ها با معیار آکائیک

p-q	درجه میانگین متغیر (q)									
	۰	۱	۲	۳	۴	۵	۶	۷	۸	۹
نحوه تطبیق (P)	.	۳/۴۱۵	۳/۱۸۳	۳/۰۶۸	۲/۹۸۶	۲/۹۸۱	۲/۹۶۲	۲/۹۶۱	۲/۹۴۱	۲/۹۵۶
	۱	۲/۹۴۶	۲/۹۴۶	۲/۹۴۷	۲/۹۵۳	۲/۹۵۵	۲/۹۴۳	۲/۹۴۷	۲/۹۶۳	۲/۹۵۴
	۲	۲/۹۴۳	۲/۹۴۶	۲/۹۵۳	۲/۹۵۳	۲/۹۵۶	۲/۹۵۴	۲/۹۶۵	۲/۹۶۸	۲/۹۶۷
	۳	۲/۹۴۶	۲/۹۵۶	۲/۹۵۸	۲/۹۶۱	۲/۹۶۴	۲/۹۶۲	۲/۹۶۷	۲/۹۵۹	۲/۹۵۸
	۴	۲/۹۵۲	۲/۹۵۶	۲/۹۶۲	۲/۹۶۵	۲/۹۷۲	۲/۹۶۸	۲/۹۴۳	۲/۹۴۱	۲/۹۴
	۵	۲/۹۴۳	۲/۹۳۷	۲/۹۴۵	۲/۹۳۷	۲/۹۳۱	۲/۹۳۵	۲/۹۳۴	۲/۹۲۸	۲/۹۳۴
	۶	۲/۹۳۷	۲/۹۴۱	۲/۹۴۳	۲/۹۴	۲/۹۴۲	۲/۹۳۸	۲/۹۳۱	۲/۹۳۲	۲/۹۳۷
	۷	۲/۹۳۱	۲/۹۳۶	۲/۹۴۱	۲/۹۴۷	۲/۹۳۹	۲/۹۳۵	۲/۹۴۳	۲/۹۴۸	۲/۹۵۲

دارای بیشترین تطبیق بوده و به عنوان مناسب‌ترین مدل انتخاب می‌شود.

به منظور نمایش تطبیق مقادیر واقعی و پیش‌بینی شده نرخ نفوذ، این مقادیر به صورت مقایسه‌ای در شکل ۵ نشان داده شده است. همان‌طور که از شکل قابل مشاهده است، مدل سری زمانی با دقت قابل قبولی تغییرات نرخ نفوذ در سیکل‌های مختلف حفاری را پیش‌بینی می‌کند.

با توجه به روند نزولی تدریجی خودهمبستگی داده‌های نرخ نفوذ انتظار می‌رفت که با افزایش مقدار درجه خود توضیح از یک مقداری به بعد میزان تغییرات و یا به عبارتی بهبود نتایج کاهش یابد که این نتیجه در مقادیر ثبت‌شده در جداول ۲ تا ۴ نیز مشاهده می‌شود؛ بنابراین، مدل (۷) و Arma(۵) با ضریب تطبیق ۰/۸۷۶۱ و مقدار خطای استاندارد رگرسیون، ۰/۶۹۵۷ و میزان معیار آکائیک این مدل با توجه به جدول ۴، ۴، ۲/۹۲۸



شکل ۵: منحنی تطبیق مقادیر واقعی با مقادیر پیش‌بینی شده برای بهترین مدل سری زمانی (۷ و ۵) Arma

خودهمبستگی مقادیر نرخ نفوذ نشان می‌دهد که سری زمانی تشکیل شده ایستا است و بنابراین می‌توان با بهره‌گیری از مدل‌های سری‌های زمانی به پیش‌بینی پرداخت. از این‌رو مدل‌های مختلفی با روش آرما به وسیله داده‌های نرخ نفوذ بررسی شده و مدل (۷) و (۵) Arma با توجه به معیارهای مختلف و با ضریب تطبیق ۸۷٪ به عنوان مدل مناسب انتخاب شده است. مقایسه مقادیر پیش‌بینی شده با مقادیر واقعی نرخ نفوذ نشان می‌دهد که مدل سری زمانی با دقت قابل قبولی تغییرات نرخ نفوذ در سیکل‌های مختلف حفاری را پیش‌بینی می‌کند؛ بنابراین می‌توان از مدل سری‌های زمانی در جهت پیش‌بینی نرخ نفوذ TBM استفاده نمود. مزیت استفاده از این روش نسبت به روش‌های دیگر پیش‌بینی نرخ نفوذ که در آن‌ها اثر عوامل متعددی در ارتباط با سنگ و ماشین را در نظر می‌گیرند این است که از یک طرف، با روش‌های پیشین اثر تمامی عوامل مؤثر را نمی‌توان به راحتی شناسایی و در نظر گرفت و همچنین در برخی مواقع مقادیر بعضی از عوامل مؤثر انتخاب شده در روش‌های گذشته در دسترس نیست. از طرف دیگر، مقدار نرخ

نتایج به دست آمده از بررسی سری‌های زمانی در جهت پیش‌بینی نرخ نفوذ TBM نشان می‌دهد که داده‌های نرخ نفوذ در سیکل‌های مختلف حفاری قابلیت مدل‌سازی با سری‌های زمانی را دارا می‌باشد و نتایج نشان می‌دهد که رویکرد سری‌های زمانی نتایج قابل قبولی از پیش‌بینی نرخ نفوذ ارائه می‌دهد. مزیت استفاده از این روش نسبت به روش‌های دیگر پیش‌بینی نرخ نفوذ، استفاده از سابقه خود پارامتر نرخ نفوذ در پیش‌بینی می‌باشد که علاوه بر در دسترس بودن مقادیر آن، به‌طور ذاتی اثر تمامی پارامترهای مؤثر بر نرخ نفوذ را نیز در بر می‌گیرد.

۵- نتیجه‌گیری

پارامتر نرخ نفوذ از مهم‌ترین عوامل تعیین‌کننده در عملیات تونل‌سازی می‌باشد. پیش‌بینی نرخ نفوذ در تعیین هزینه‌های پروژه و کنترل عوامل متعدد در حین عملیات حفاری بسیار حائز اهمیت است. با توجه به تناب و تکرار مرتب سیکل‌های حفاری ماشین TBM قابلیت استفاده از مدل سری زمانی جهت پیش‌بینی نرخ نفوذ موردن توجه قرار گرفته است. نتایج تحلیل

نظر می‌رسد که استفاده از سابقه خود پارامتر نرخ نفوذ در پیش‌بینی سبب می‌شود تا علاوه بر در دسترس بودن مقادیر آن، به طور ذاتی اثر تمامی پارامترهای مؤثر بر نرخ نفوذ را نیز در نظر گرفت.

نفوذ در هر سیکل حفاری را می‌توان درنتیجه اثر تمامی پارامترهای مؤثر بر نرخ نفوذ در نظر گرفت و به عبارتی تفاوت مقدار نرخ نفوذ در سیکلهای مختلف حفاری، احتمالاً ناشی از تفاوت و تغییر در پارامترهای مؤثر آن است؛ بنابراین این‌طور به

۶- مراجع

- Underground Space Technology, 21(1), 46-55.
- [12] Gong, Q., & Zhao, J. (2007). Influence of rock brittleness on TBM penetration rate in Singapore granite. Tunnelling and underground space technology, 22(3), 317-324.
- [13] Haeri, H., & Marji, M. F. (2016). Simulating the crack propagation and cracks coalescence underneath TBM disc cutters. Arabian Journal of Geosciences, 9(2), 124.
- [14] Haeri, H., Marji, M. F., & Shahriar, K. (2015). Simulating the effect of disc erosion in TBM disc cutters by a semi-infinite DDM. Arabian Journal of Geosciences, 8(6), 3915-3927.
- [15] Marji, M., Hosseini Nasab, H., & Hossein Morshedi, A. (2009). Numerical modeling of crack propagation in rocks under TBM disc cutters. Journal of Mechanics of Materials and Structures, 4(3), 605-627.
- [16] Marji, M. F. (1997). Modeling of cracks in rock fragmentation with a higher order displacement discontinuity method. PhD Thesis, Mining Engineering Department, Middle East Technical University
- [17] Marji, M. F. (2015). Simulation of crack coalescence mechanism underneath single and double disc cutters by higher order displacement discontinuity method. Journal of Central South University, 22(3), 1045-1054.
- [۱۸] طیرانی، ن. س. & مرچی، م. ف. (۱۳۹۲). مدل سازی انتشار ترک انشعاعی زیرنافذهای کند در سنگ با استفاده از روش المان مرزی نامحدود. نشریه علمی-پژوهشی مهندسی معدن, ۸(۲۱)، ۷۶-۸۲.
- [19] Yagiz S., Gokceoglu C., Sezer E. & Iplikci S. (۲۰۰۹). Application of two non-linear prediction tools to the estimation of tunnel boring machine performance. Engineering Applications of Artificial Intelligence, 22, 808-814.
- [20] Gholamnejad J. & Tayarani N. (2010). Application of artificial neural networks to the prediction of tunnel boring machine penetration rate. Mining Science and Technology (China), 20, 727-733.
- [21] Eftekhari M., Baghbanan A. & Bayati M. (2010). Predicting penetration rate of a tunnel boring machine
- [1] Alber M. (2000). Advance rates of hard rock TBMs and their effects on project economics. Tunnelling and underground space technology, 15, 55-64.
- [2] Nilsen, B., & Ozdemir, L. (1993). Hard rock tunnel boring prediction and field performance. Paper presented at the Proceedings of the rapid excavation and tunneling conference.
- [3] Roxborough, F. F., & Phillips, H. R. (1975). Rock excavation by disc cutter. Paper presented at the International Journal of Rock Mechanics and Mining Sciences & Geomechanics Abstracts.
- [4] Boyd, R. (1986). Hard rock continuous mining machine: Mobile Miner MM-120. Paper presented at the Rock excavation engineering seminar.
- [5] Kahraman, S. (2002). Correlation of TBM and drilling machine performances with rock brittleness. Engineering Geology, 65(4), 269-283.
- [6] Park, C., Park, C., Synn, J., Sunwoo, C., & Chung, S. (2001). TBM Penetration Rate with Rock Mass Properties in Hard Rock. Paper presented at the Proceedings of the AITES-ITA 2001 World Tunnel Congress, Milan.
- [7] Yagiz, S. (2006). TBM performance prediction based on rock properties. Proceedings of Multiphysics Coupling and Long Term Behavior in Rock Mechanics, EUROCK, 6, 663-670.
- [8] Yagiz, S., Rostami, J., Kim, T., Ozdemir, L., & Merguerian, C. (2009). Factors influencing performance of hard rock tunnel boring machines. Paper presented at the ISRM Regional Symposium-EUROCK 2009.
- [9] Eftekhari, M., Baghbanan, A., & Bagherpour, R. (2014). The effect of fracture patterns on penetration rate of TBM in fractured rock mass using probabilistic numerical approach. Arabian Journal of Geosciences, 7(12), 5321-5331.
- [10] Gong, Q.-M., Zhao, J., & Jiao, Y.-Y. (2005). Numerical modeling of the effects of joint orientation on rock fragmentation by TBM cutters. Tunnelling and underground space technology, 20(2), 183-191.
- [11] Gong, Q., Jiao, Y., & Zhao, J. (2006). Numerical modelling of the effects of joint spacing on rock fragmentation by TBM cutters. Tunnelling and

7, 60-68.

[28] Armaghani D.J., Mohamad E.T., Narayanasamy M.S., Narita N. & Yagiz S. (2017). Development of hybrid intelligent models for predicting TBM penetration rate in hard rock condition. *Tunnelling and Underground Space Technology*, 63, 29-43.

[۲۹] کرایر، ج؛ و. (۱۳۸۹). تجزیه و تحلیل سری های زمانی. ترجمه حسینعلی نیرومند. انتشارات دانشگاه فردوسی، چاپ چهارم.

[۳۰] [۳۰] مهندسین مشاور ساحل. (۱۳۸۶). *مطالعات زمین‌شناسی مهندسی مسیر توغل، گزارش ۲۰۲۶*.

[۳۱] سوری، علی. (۱۳۹۱). اقتصادسنجی همراه با کاربرد Eviews. نشر فرهنگ شناسی و نشر نورعلم، چاپ سوم.

[۳۲] [۳۲] والتر اندرس. (۱۳۹۱). اقتصادسنجی سری های زمانی با رویکرد کاربردی (جلد اول). ترجمه مهدی صادقی. انتشارات دانشگاه امام صادق (ع)، چاپ سوم.

[۳۳] نریمانی، ا. و نریمانی، ر. (۱۳۹۴). تحلیل سری های زمانی با استفاده از Matlab و Eviews. انتشارات ناقوس، چاپ اول.

Akaike H. (1974). A new look at the statistical model identification. *IEEE transactions on automatic control*, 19, 716-723.

using artificial neural network. In: ISRM International Symposium-6th Asian Rock Mechanics Symposium. International Society for Rock Mechanics.

[22] Torabi S., Shirazi H., Hajali H. & Monjezi M. (2013). Study of the influence of geotechnical parameters on the TBM performance in Tehran-Shomal highway project using ANN and SPSS. *Arabian Journal of Geosciences*, 6, 1215-1227.

[23] Yagiz S. & Karahan H. (2011). Prediction of hard rock TBM penetration rate using particle swarm optimization. *International Journal of Rock Mechanics and Mining Sciences*, 48, 427-433.

[24] Ghasemi E., Yagiz S. & Ataei M. (2014). Predicting penetration rate of hard rock tunnel boring machine using fuzzy logic. *Bulletin of Engineering Geology and the Environment*, 73, 23-35.

[25] Gao L. & Li X.-b. (2015). Utilizing partial least square and support vector machine for TBM penetration rate prediction in hard rock conditions. *Journal of Central South University*, 22, 290-295.

[26] Fattahi H. & Moradi A. (2017). Risk Assessment and Estimation of TBM Penetration Rate Using RES-Based Model. *Geotechnical and Geological Engineering*, 35, 365-376.

[27] Minh V.T., Katushin D., Antonov M. & Veinthal R. (2017). Regression Models and Fuzzy Logic Prediction of TBM Penetration Rate. *Open Engineering*,

افزایش جذب انرژی مقاطع تونل با استفاده از المان‌های بتنی با شکل‌پذیری بالا در محیط‌های مچاله‌شونده

یاسر علیلو کسجینی^۱؛ حسن افшиین^{۲*}؛ مهرداد امامی تبریزی^۳؛ امیر بهرامی فر^۴

۱- دانشجوی دکتری مهندسی عمران- سازه، دانشگاه صنعتی سهند

۲- دانشیار دانشکده مهندسی عمران، دانشگاه صنعتی سهند

۳- استادیار دانشکده مهندسی عمران، دانشگاه صنعتی سهند

۴- دانشجوی دکتری مهندسی عمران- سازه هیدرولیکی، دانشگاه صنعتی سهند

دریافت: شهریور ۱۳۹۷؛ پذیرش: خرداد ۱۳۹۸

چکیده

مچاله‌شوندگی یکی از مهم‌ترین مشکلاتی است که در بسیاری از تونل‌ها با توده‌سنگ دربرگیرنده ضعیف و یا تحت تنیش‌های القابی بالا رخ می‌دهد. یکی از راه‌های فائق آمدن بر این مشکل شکل‌پذیر نمودن جداره تونل با استفاده از المان‌های بتنی با شکل‌پذیری بالا به عنوان فیوزهای شکل‌پذیر می‌باشد. استفاده از المان بتنی با شکل‌پذیری بالا (HDC) که دارای مقاومتی برابر با بتن‌های معمولی بوده و دارای شکل‌پذیری و کرنش فشاری بالا در حدود ۲۰٪ تا ۵۰٪ می‌باشد، می‌تواند باعث افزایش شکل‌پذیری و جذب انرژی در این مقاطع گردد. در زمینه افزایش شکل‌پذیری بتن در سال‌های اخیر تحقیقات فراوانی توسط پژوهشگران انجام شده است، ولی به دلایل تجاری بودن و انحصار تولید آن در یک شرکت خصوصی این محصول، نحوه تولید آن در دسترس محققان قرار نگرفته است. در این مقاله با استفاده از ساخت المان بتنی با شکل‌پذیری بالا و انجام آزمایش‌های فشاری و مدل‌سازی در نرم‌افزار المان محدود آباکوس و صحت سنجی آن با مدل آزمایشگاهی، جذب انرژی مقاطع مختلف تونل با استفاده از چندین الگوی جایگذاری HDCها مورد بررسی قرار گرفته است. تحلیل نتایج نشان‌دهنده اثرات بسیار کارا و مؤثر HDCها در بالا بردن میزان جذب انرژی و شکل‌پذیری مقاطع تونل می‌باشد.

واژگان کلیدی

جذب انرژی، المان بتنی با شکل‌پذیری بالا (HDC)، تونل، محیط‌های مچاله‌شونده

¹ High Deformable Concrete (HDC)

*توصیه مسئول، hafshin@sut.ac.ir

۱- مقدمه

سازه‌های زیرزمینی در طرح‌های عمرانی و صنعتی هر کشوری از جایگاه فنی و مهندسی خاصی برخوردار است. اهمیت این سازه‌ها اعم از انواع تونل‌های آبرسانی، راه، معدن و یا انواع مغارها بهمنظور نصب تأسیسات برقی مربوط به نیروگاه‌های برق- آبی در سدها، ایجاد مخازن نگهدارنده مواد نفتی و فضاهای بزرگ معادن زیرزمینی به حدی است که سالانه دهها میلیارد ریال در بخش مهم سرمایه‌گذاری و هزینه می‌گردد. با توجه به پیچیدگی خاص این قبیل سازه‌ها، روش مطالعه و اجرای آن‌ها نیز با سایر سازه‌های عمرانی و صنعتی متفاوت می‌باشد، زیرا در محل احداث تونل ازلحاظ زمین‌شناسی، ژئوتکنیکی و غیره محیط مقابل ناشناخته بوده و انجام مطالعات هرچند دقیق و گستردۀ، به‌طور کامل گویای شرایط واقعی موجود در درون زمین نیست. بر این اساس طراحی و اجرای تونل و سایر سازه‌های زیرزمینی الزاماً نیازمند تحقیق و دستیابی به آخرین دستاوردهای علمی و فناوری می‌باشد.

پدیده مچاله‌شوندگی^۲ یا تغییر شکل‌های بزرگ و همگرایی وابسته به زمان^۳ در طی حفاری تونل همراه است. در اثر ایجاد و ترکیب تنش‌هایی القایی، تنش موجود از حد مقاومت برشی گذشته و توده‌سنگ به داخل سوراخ محدوده حفاری شده رانده می‌شود^[۱]. این تغییر شکل‌ها ممکن است در طی حفاری تونل یا در دوره زمانی طولانی‌مدت ادامه داشته باشد. میزان همگرایی تونل، نرخ تغییر شکل‌ها و وسعت حوزه ناحیه پلاستیک در اطراف تونل به خواص زمین‌شناسی و ژئوتکنیکی منطقه، تنش برجا، جریان آب، فشار آب حفره‌ای و خواص توده‌سنگ دارد. از طرفی مچاله‌شوندگی رابطه نزدیکی با تکنیک‌های حفاری و نصب سازه نگهدارنده دارد به‌طور مثال اگر نصب سیستم نگهدارنده به تعویق انداده شود، تنش‌ها باز توزیع شده، توده‌سنگ به داخل تونل رانده می‌شود. در عوض اگر تغییر شکل‌ها توسط نصب سریع سیستم نگهدارنده متوقف شود، سیستم نگهدارنده سُنگین می‌گردد^[۶، ۷]. تونل‌سازی درزمه‌نیه‌ای با رفتار مچاله‌شوندگی باعث تاخیرات طولانی در احداث یک پروژه تونل‌سازی و هزینه‌های اقتصادی زیاد می‌شود. موارد موفقیت‌آمیزی نیز با درک درست از مسائل مچاله‌شوندگی و تشخیص مناسب رفتار توده‌سنگ در اروپا از قبیل

تونل کریستینا در ایتالیا، گوتهارد در سوئیس، تونل سیمپلون که از مرز ایتالیا و سوئیس عبور می‌کند، به عنوان نمونه‌هایی از تونل‌های حفرشده فاصل سال‌های ۱۸۶۰ تا ۱۹۱۰ قابل ذکر می‌باشند. بهمنظور جذب انرژی آزادشده در نواحی مچاله‌شوندگی می‌توان از تکیه‌گاه نرم و شکل‌پذیر در جداره و اطراف تونل استفاده نمود. در این پژوهش با استفاده از ساخت المان‌های بتنی با شکل‌پذیری بالا در دانشگاه صنعتی سهند تبریز و انجام تست آزمایش فشاری بر روی ستون‌های کوتاه و با استفاده از مدل‌سازی عددی در نرم‌افزار المان محدود آباکوس میزان جذب انرژی تونل‌ها تحت بارگذاری شعاعی که تداعی‌کننده محیط‌های مچاله‌شوندگی می‌باشد موردنرسی قرار گرفته است.

۲- محیط‌های مچاله‌شوندگی

تعاریف مختلفی از مچاله و متورم شوندگی تاکنون ارائه شده است که در این قسمت به تفسیر به آن‌ها اشاره شده است. ترزاچی (۱۹۴۶) اعتقاد دارد مچاله‌شوندگی فقط در سنگ‌هایی که مقدار قابل‌ملاحظه‌ای رس دارد، اتفاق می‌افتد. سنگ‌ها ممکن است شامل کائولینیت یا دارای خواص ویسکوز از قبیل مونتموریلوبنت باشند. سنگ‌های متورم همیشه دارای میزان تراکم متوسط بوده و شامل مقدار زیادی رس پیش بارگذاری شده می‌باشند. ترزاچی خاطرنشان می‌کند که سنگ مچاله شوندگی می‌باشد. ترزاچی از دیدار خاطرنشان می‌کند که سنگ مچاله شوندگی بدون افزایش حجم محسوس به‌طور آهسته به داخل تونل پیش روی می‌کند که لازمه مچاله‌شوندگی وجود درصد زیادی از ذرات میکاشیست یا رس با خواص تراکم اندک می‌باشد [۸]. گیودا (۱۹۹۶) در مقاله‌ای تحت عنوان تحلیل تأثیرات مچاله‌شوندگی غیرخطی در اطراف تونل‌های دایروی بیان می‌نماید و ازجهت تنش‌هایی که زمان را از زمان تغییرات وابسته به زمان سنگ مچاله‌شوندگی جهت بیان تغییرات وابسته به زمان سنگ که توسط تمرکز تنش‌های برشی در اطراف تونل اتفاق می‌افتد بکار رفته است. بر عکس تورم به افزایش حجم توده‌سنگ به صورت وابسته به زمان در اثر جذب آب در اطراف حفره تونل اطلاق می‌شود. پدیده تورم در خاک‌ها و سنگ‌هایی که شامل رس و یا ذرات کوچک از قبیل مونتمورلیت بوده رخ می‌دهد. اوروک (۱۹۸۴) نیز این محیط‌ها را این‌گونه تعریف می‌نماید که زمین مچاله‌شوندگی به زمینی که تحت تغییر مکان‌های قابل توجه وابسته به زمان ناشی از افزایش بارگذاری بیش از مقاومت سنگ در مجاورت تونل رخ می‌دهد اطلاق می‌شود. این بارگذاری توسط باز توزیع تنش در اطراف فضای حفرشده اتفاق می‌افتد، درنتیجه در یک زمین مچاله‌شوندگی سیستم نگهداری

^۲ Squeezing

^۳ Time- dependent convergence

که همیشه تغییر مکان‌های بزرگ، نتیجه مچاله‌شوندگی نمی‌باشند. سنگی که شامل مصالح رسی از قبیل ایلیت و مونت مورلینیت باشد حساس به تورم خواهد بود. تورم به معنای افزایش در حجم توده‌سنگ به علت جذب آب می‌باشد.

۲- تغییر مکان‌های بزرگ سنگ که در محدوده دیواره‌ها و تاج اتفاق می‌افتد ممکن است به علت ضعف سیستم نگهداری نصب شده در سنگ‌های درزه‌دار باشند لذا این تغییر مکان‌ها به علت شل‌شدنگ سنگ و نه تسليیم در حوزه فراتنشی می‌باشد.

۳- ترکیدن سنگ نیز ربطی به پدیده مچاله‌شوندگی نخواهد داشت.^[۸]

پروفسور ایشتین در مقاله مفصلی در باب طراحی و تحلیل سازه‌های زیرزمینی در سنگ‌های متورم و مچاله شونده به این نکته اشاره کرده است که هم تورم و هم مچاله‌شوندگی باعث حرکت روبه‌داخل محیط تونل در طول زمان می‌شوند. نرخ بالای حرکت و جابجایی قابل توجه در سطح تونل متفاوت است و به زمین‌شناسی، به حالت تنفس اصلی و به شکل تونل مستقیم دارد. تورم مربوط به افزایش حجمی است که در اثر آب گرفته است و اغلب بدون تسليیم شدن صورت می‌گیرد. در حالی که مچاله شوندگی الزاماً با خرز حاصل از افزایش از حد تنفس برخی مرتبط می‌باشد. مچاله شوندگی می‌تواند مرتبط با افزایش حجم باشد و به عبارت دیگر تورم تنفس‌ها را سبب می‌شود و مشخصه‌های مواد ممکن است باگذشت زمان به تسليیم برستند. سینگ نیز به پدیده‌ای که در اثر آن توده‌سنگ خرد شدن سیلان می‌نماید و رویداد فراتنشی رخ می‌دهد و درنتیجه سنگ دچار افزایش حجم شده و به داخل فضای حفرشده حرکت می‌کند، مچاله شوندگی را تعریف می‌نماید. قابل ذکر است که پدیده تورم مربوط به مصالح خاصی از قبیل رس‌ها، مونت مورلینیت، ایلیت، کلریت و غیره بوده که در اثر نشت آب به داخل آن‌ها متورم می‌گردند، با این تفاوت که انسداد دهانه تونل در اثر مچاله‌شوندگی ممکن است تا مدت‌ها حتی پس از یک سال ادامه داشته باشد.

آیدان و همکاران نیز اعتقادارند وقتی تونل تغییر مکان‌های بزرگی را در طی حفاری از خود نشان می‌دهد، سنگ به عنوان یک ماده منبسط شونده نام‌گذاری می‌گردد. به طور کلی انسداد تونل در اثر پدیده مچاله شوندگی ممکن است شامل سه نوع انهدام گردد.^[۸]

۱- انهدام برخی کامل

تونل بارهای افزاینده‌ای (چند برابر بارهای اولیه) را برای هفتنه‌ها و حتی ماه‌ها تجربه خواهد کرد در برخی حالات بهتر است به زمین اجازه‌ای آزادسازی تنفس و تغییر مکان را داد و سپس سیستم نگهداری را نصب کرد که در این حالت تنفس‌ها توزیع مجدد شده و نیروی کمتری به سیستم نگهداری اعمال خواهد گردید. طراحی تونل در زمینه‌ای مچاله شونده نیازمند مطالعات دقیق فاکتورهای از قبیل تنفس‌های برجا، درجه هوازدگی زمین، زمان و مقاومت وابسته به تنفس، شکل‌پذیری زمین حفاری، نوع حفاری و تکنیک نصب سیستم نگهداری می‌باشد. حرکت‌های سطح زمین در بالای تونل ممکن است افزایش یابد. جتوآ (۱۹۸۴) بیان می‌نماید که حفاری تونل در سنگ باعث اغتشاش در تنفس‌های ابتدایی شده و تغییر مکان‌هایی را در اثر این تنفس‌های القایی موجب می‌گردد و در اثر حفاری، تمام نقاط اطراف تونل به صورت شعاعی به داخل تونل وارد می‌شود. در توده‌های سنگ این تغییر مکان‌ها در ابتدا الاستیک و در حدود یک درصد شعاع تونل می‌باشند. این تغییر مکان‌ها مستقل از زمان بوده و به سرعت پس از حفاری به تعادل می‌رسند. به عنوان مثال پوشش نهایی بتنی در بعضی تونل‌های انتقال آب فقط جهت مقاصد هیدرولیکی طراحی می‌گردد. بر عکس یک توده‌ی سنگ ضعیف تحت تنفس‌های القایی زیاد ناشی از حفاری منهدم شده و منجر به تشکیل یک ناحیه‌ی خردشده در اطراف مقطع حفرشده می‌گردد که ممکن است ماهها به تغییر شکل خود ادامه دهد. در این راستا جداره‌های تونل تحت یک تغییر مکان وابسته به زمان قرار گرفته و بارهای اعمالی بر پوشش بتنی تا زمانی که تغییر مکان دیواره به صفر برسد، افزایش خواهد داشت. فشار شعاعی وارد بر پوشش بتنی در این حالت، فشار نهایی سنگ نامیده خواهد شد.^[۹]

کواری (۱۹۹۸) رفتار مچاله شوندگی را قالب موارد زیر تعریف می‌نماید:

۱- رفتار مچاله‌شوندگی سنگ در اثر حفاری عبارت است از تغییر شکل‌های بزرگ که باعث تقلیل سطح مقطع حتی در کف تونل خواهد شد و این تغییر شکل در یک دوره طولانی ادامه دارد. اگر با نصب سیستم نگهداری سنگین خواهد شد و سنگ با مقاومت پایین در مقابل تنفس‌های اعمالی بالا مچاله خواهد شد. سنگ تا ظرفیت باربری خود تحت اعمال تنفس قرار خواهد گرفت و سپس جاری می‌گردد. همچنین باید توجه کرد

۳- المان بتنی با شکل پذیری بالا (HDC) و کاربرد آن

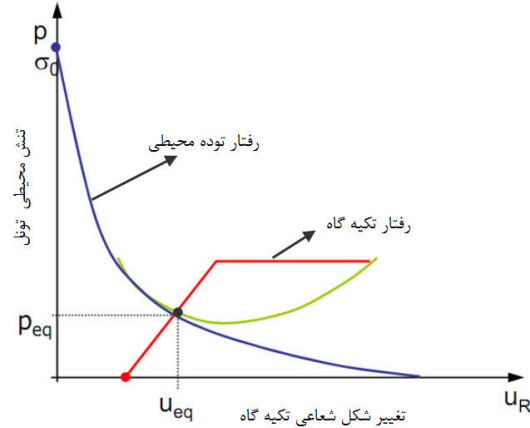
امروزه بتن به عنوان یکی از مصالح پرمصرف در صنعت ساختمان به شمار می‌آید به‌گونه‌ای که تمایل زیاد صنعت به استفاده از آن، کاربردهای متعدد و برخی ویژگی‌های آن باعث شده تا تحقیقات بسیار زیادی در زمینه^۰ اصلاح معایب و بهبود مشخصات آن صورت پذیرد. یکی از ضعف‌های اصلی بتن ترد بودن و عدم شکل پذیری ذاتی مصالح بتنی است که محققین زیادی وقت خود را صرف بهبود شکل پذیری بتن نموده‌اند و به نتایج چشمگیر و موفقیت‌آمیزی با استفاده از افزودن برخی کامپوزیت‌ها دست یافته‌اند که می‌تواند تحول بزرگی در زمینه^۱ صنعت ساختمان و ساخت سازه‌های مختلف ایجاد نماید[۴]. این تحول علاوه بر اصلاح خواص بتن که شکل پذیری در رأس آن قرار دارد، باعث به وجود آمدن تحولات زیادی در طراحی و ساخت سازه‌های بتن‌آرمه می‌گردد و همچنین در بحث مقاومت سازی نیز می‌تواند بسیار کارگشا باشد. ایجاد مفاصل پلاستیک در اتصال‌های سازه‌های بتن‌آرمه، فلسفه طراحی این سازه‌ها را چهار تغییرات اساسی می‌کند و محدودیت‌های حال حاضر سازه‌های بتن‌آرمه را از بین می‌برد.

با توجه به توان تحمل کرنش‌های بالا توسط عناصر بتنی با شکل پذیری بالا و کاربردهای متعدد دیگر آن از جمله به عنوان میراگر در سازه‌های بتنی یا جداگرها در پی‌ها (جداگر لرزه‌ای)،^۲ اهمیت استفاده از این نوع بتن را بر جسته کرده است. آنچه ما را بر آن داشته به فکر روش‌هایی برای تولید بتن شکل پذیر یا عناصر بتنی با شکل پذیر بالا باشیم، کاربرد آن در پوشش جداره تونل‌ها می‌باشد. در این روش به جای استفاده از پوشش‌های صلب یکپارچه شاتکریت شده و یا قطعات پیش‌ساخته صلب می‌توان با ترکیب المان‌های پیش‌ساخته بتنی با شکل پذیری بالا یا HDC^۳ همراه با قطعات منحنی ایجاد شده در لاینینگ تونل، به جدار انعطاف‌پذیر و کنترل‌کننده تغییر شکل سنگ-های جمع‌شونده رسید که پایداری، دوام و ایمنی تونل را تضمین می‌کند [۵، ۶].

در این پژوهش منظور از HDC، عناصر بتنی با شکل پذیری بالا می‌باشد که دارای قابلیت تحمل کرنش فشاری تا حدود ۵۰٪ و مقاومت مشخصه فشاری در حدود ۴-۲۰ مگاپاسکال می‌باشد.

۲- انهدام کمانشی ۳- انهدام برشی و لغزشی

اصطلاح فشردن شدن یا متورم شدن^۴ زمین به پدیده به وجود آمدن تغییر شکل‌های زیاد در اثر حفر تونل اطلاق می‌شود که ممکن است باعث مختل شدن کاربری کل یا قسمتی از تونل گردد. بر مبنای مشاهدات اولیه تنش اولیه در سنگ با افزایش تغییر شکل کاهش می‌یابد که آن را از نظر ساختار کنترل پذیر می‌کند شکل (۱). در دهه‌های اول قرن ۲۰ کارهای زیادی در این زمینه انجام شد و با معرفی اتصال لغزشی که با توجه به شرایط زمین به تغییر شکل‌های زیادی برای پایداری نیاز داشت فصلی جدید در بررسی پایداری تونل‌ها ایجاد گردید. فشرده شدن یا در حین ساخت تونل متوقف می‌گردد و یا زمان بر می-باشد.



شکل ۱: رفتار قыш توده‌سنگی و تکیه‌گاه [۲]

همان‌طور که در شکل (۱) مشاهده می‌گردد با افزایش تغییر شکل توده‌سنگی و تکیه‌گاه، فشار وارد بر تکیه‌گاه کاهش می-یابد، بنابراین تنها راه برای کنترل رفتار و هدایت سنگ‌های متورم شونده در تونل‌ها ایجاد یک تکیه‌گاه نرم است که بتواند این تغییر شکل‌ها را کنترل کند. پیش از اینکه محققین به تکنولوژی ساخت تکیه‌گاه نرم که پایه به وجود آمدن آن همان بتن شکل پذیر است دست یابند، در ساخت تونل‌ها بیشتر از لاینینگ درجا و صلب استفاده می‌شود. روش‌های دیگری برای شکل پذیر نمودن جدار لاینینگ تونل‌ها وجود دارد که به تفصیل در قسمت‌های پیش رو به آن اشاره خواهد شد [۶].

^۰ Base Isolator

^۱ High Deformable Concrete

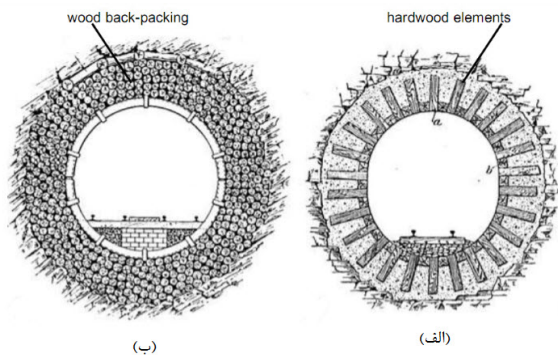
^۴ Swelling

روش اساسی مناسب جهت تحمل تغییر شکل در لایینینگ تونل‌ها بدون اینکه به آن آسیب برساند وجود دارد.

(الف) قرار دادن لایه‌های شکل‌پذیر در مابین لایه‌های صلب لایینینگ تونل.

(ب) نصب قطعات شکل‌پذیر در جداره اطراف تونل در مجاورت زمین اطراف تونل.

این دو روش از زمان‌های قدیم نیز به روش‌های مختلف مرسوم بوده است که در شکل (۴) به صورت شماتیک به آن‌ها اشاره شده است.



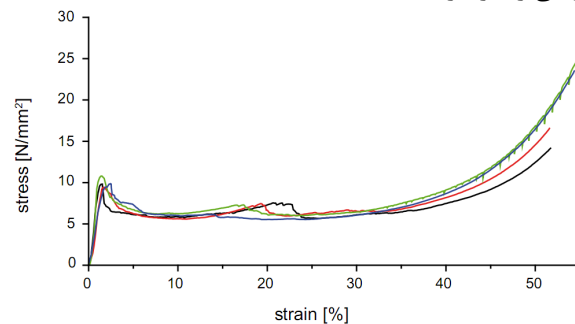
شکل (۴) مفاهیم تکیه‌گاه نرم. (الف) الوار چوبی مابین لایه‌های بتنی (ب) چوب‌های پرکننده مابین توده‌سنگی و جداره تونل [۵]

تغییر شکل‌ها در شرایط خاک جمع‌شونده و متورم‌شونده به صورت آهسته به جداره تونل وارد می‌شود. جهت کاهش فشار وارد به جداره تونل (لایینگ اصلی یا موقت) از روش‌های متفاوتی در جداره تونل به منظور جذب انرژی نیروی وارد استفاده می‌گردد که در شکل (۵-۱) ارائه و متعاقباً توضیح داده شده است.

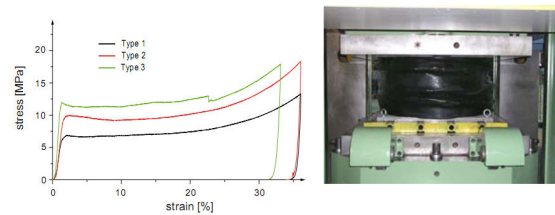
نحوه استفاده از المان‌های شکل‌پذیر در بین لایه‌ها در شکل (۵-الف) نشان داده شده است. همان‌طور که در شکل مشخص است المان‌های شکل‌پذیر به صورت محیطی در جداره تونل در جانمایی‌های متفاوت قرار می‌گیرند.

شکل (۵-ب) حالتی را نشان می‌دهد که در جداره محیطی تونل، پروفیل‌های فلزی به صورت لغزشی به کاربرده شده است که این پروفیل‌ها به صورت عملکرد اصطکاکی بر روی یکدیگر قرار گرفته‌اند. با اعمال نیرو از بیرون جداره مقاطع به روی یکدیگر می‌لغزند و درنهایت از طرفی تغییر شکل داده و از طرفی بر روی یکدیگر با عملکرد اصطکاکی می‌لغزنند. در شکل

یکی از مهم‌ترین کاربردهای بتن با شکل‌پذیری بالا در تونل‌ها می‌باشد و البته کاربردهای متعدد دیگری نیز دارد. رفتار تنش-کرنش این نوع المان پس از رسیدن به کرنش در حدود ۵۰ درصد، به صورت سخت‌شونده توأم با افزایش کرنش می‌باشد که ظرفیت باربری آن با افزایش کرنش در انتها افزایش می‌باید. در شکل‌های (۲ و ۳) رفتار تنش-کرنش و آزمونه تحت بارگذاری فشاری بتن با شکل‌پذیری بالا نشان داده شده است. این المان‌ها علاوه بر کاربرد به عنوان تکیه‌گاه نرم^۷ در پوشش تونل‌ها به عنوان عناصر مهاری و از طرفی فونداسیون (پدستال‌ها) کاربرد دارد و حتی قابلیت تعویض بعد از رسیدن به ظرفیت تغییر شکل نهایی را نیز دارد [۵].



شکل ۲: رفتار تنش کرنش المان بتن شکل‌پذیر [۵]

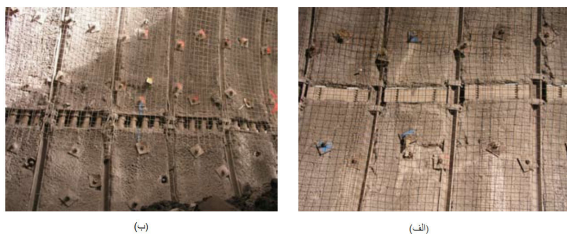


شکل ۳: المان بتنی با شکل‌پذیری بالا تحت بارگذاری فشاری [۵]

شرایطی که در اطراف زمین تونل در حالت‌های مختلف شامل خاک‌های آماس کننده و متورم در جداره تونل وجود دارد، اساساً با یکدیگر متفاوت است. یک ویژگی مشترک بین آن‌ها وجود دارد و به صورت تئوری و تجربی اثبات شده است که با تغییر شکل میلی‌متری توده‌سنگی، مقدار زیادی از تنش در لایینینگ تونل آزاد می‌گردد. با توجه به این مشاهدات یک سری روش‌های طراحی در دسترس مهندسان قرار گرفته است که بر اساس آن‌ها سازه موقت و لایینینگ نهایی تونل به گونه‌ای ساخته می‌شوند که اجزاء می‌دهند صخره‌ها تغییر شکل دهنند که راه حلی عملیاتی و اقتصادی در ساخت تونل‌ها می‌باشد. دو

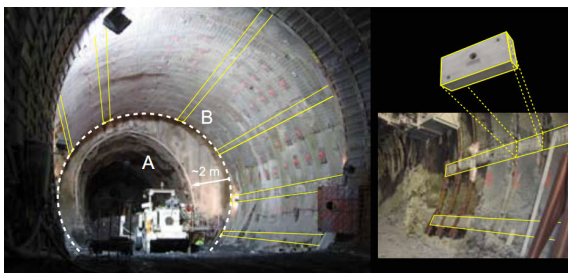
^۷ Yield Support

مستهلك می نماید و باعث می گردد به جداره اصلی شاتکریت شده تونل که شکست ترد دارد انتقال نیابد.



شکل ۷: الف- استفاده بتن با شکل پذیری بالا در لایینینگ تونل

ب- استفاده از استوانه های فلزی شکل پذیر فولادی [۵]

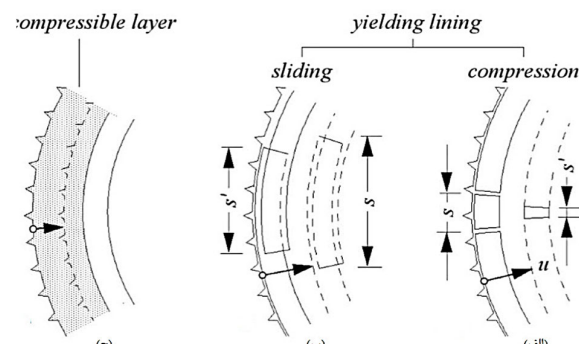


شکل ۸: تونل قطار سریع السیر لیون - تورین [۵]

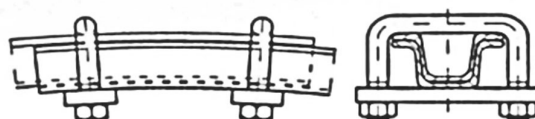
شکل (۹) نحوه قرارگیری و عملکرد المان های شکل پذیر در لایینینگ تونل را نشان می دهد. عناصر بتنی به عنوان پدستال^۸ (ستونک) یا عناصر مهاری بتنی نیز می توانند بکار رود که استفاده از آن به عنوان عناصر مهاری تسلیم شونده صرفاً با توجه به شکل پذیری بالای آن محقق می شود. از بتن مسلح معمولی نیز می توان به عنوان عناصر بتنی، عملکرد و دوام آن را تضمین نیز کنند. از مزایای دیگر این المان ها می توان به قابل تعویض بودن و جایگذاری مجدد این المان ها نیز اشاره نمود[۵].

از دیگر موارد استفاده عناصر بتنی با شکل پذیری بالا، کاربرد آن ها به عنوان المان مهاری می باشد. شکل (۱۰) المان مهاری را تحت آزمایش فشاری نشان می دهد. همچنین نمودار تنش-کرنش آن در این شکل ترسیم شده است که کرنش این المان شکل پذیر تا ۴۰٪ افزایش یافته است. در این شکل مشاهده می گردد با حفظ توان باربری و افزایش تغییر شکل بعد از کرنش ۴۰ درصد، ظرفیت باربری آن با توجه به رفتار سخت شوندگی آن افزایش یافته است. تکیه گاه های تسلیم شونده باید دارای مقاومت کافی نسبتاً بالایی باشند و گرنه در همان ابتدای

(۶) به نحوه اتصال و مقطع پروفیل ها اشاره شده است[۶].



شکل ۵: انواع جداره های منعطف مورد استفاده در تونل [۵]

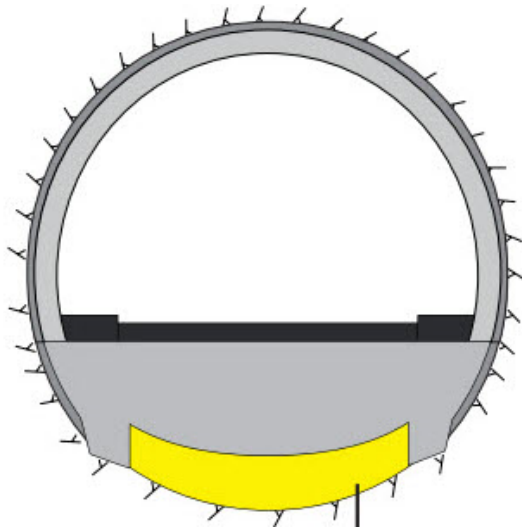


شکل ۶: نحوه اتصال پشت بند های فولادی در تکیه گاه لغزشی [۶]

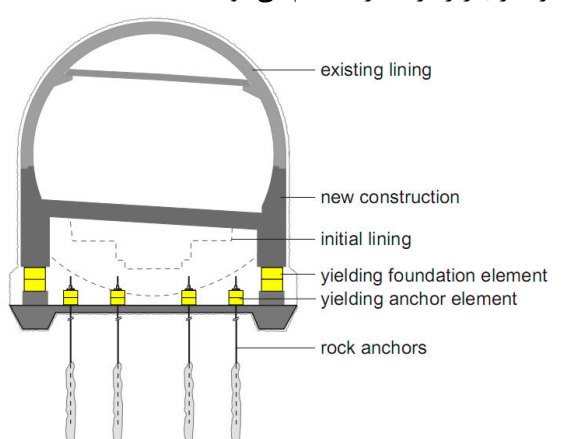
شکل (۵-ج) ساختار لایه شکل پذیر را در جداره تونل نشان می دهد که پس از تورم و تغییر شکل توده سنگ و خاک لایه منعطف متراکم می گردد. این مکانیزم باعث جذب انرژی آزاد شده تو سطح صخره ها تو سطح لایه منعطف محیط بر جداره تونل می گردد.

پوشش معمولی تونل با بتن پاششی (شاتکریت) مقاومت بالایی در برابر بارهای اعمالی دارد ولی ظرفیت تغییر شکل بسیار کمی دارد. با افزایش بارگذاری در جداره این تونل حتی با وجود استفاده از شبکه فولادی، شکست ترد دهد بنابراین تونل ساخته شده با بتن پاششی در نواحی جمع شونده مناسب نیست. استفاده از عناصر شکل پذیر در محیط مقاطع تونل و در فواصل مشخص باعث بالا رفتن شکل پذیری کل سازه تونل می گردد. شکل (۷) استفاده عملی تونل با بتن پاششی به همراه المان های شکل پذیر در گذاره این تونل حتی با دو حالت استفاده از المان های شکل پذیر را نشان داده است. همان طور که در شکل (۸) مشاهده می شود مقطع تونل A دارای همگرایی شعاعی ۲ متر نسبت به مقطع B می باشد که این شکل پذیر، بدون مختلف شدن کاربری صورت پذیرفته است. افزایش فشار محیطی باعث شده است که تونل در جهت شعاعی تغییر شکل دهد. به علت وجود المان های شکل پذیر در لایینینگ تونل، تغییر شکل های به وجود آمده در محیط اطراف تونل به المان های شکل پذیر انتقال یافته و این اعضاء با تغییر شکل خود نیرو و انرژی وارد را

^۸ Pedestal



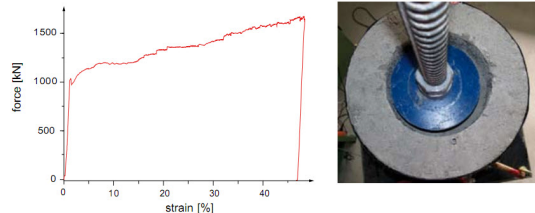
شکل ۱۱: نحوه قرارگیری بستر منعطف در تونل [۴]



شکل ۹: استفاده المان‌های بتنی به عنوان پدستال (ستونک) [۵]

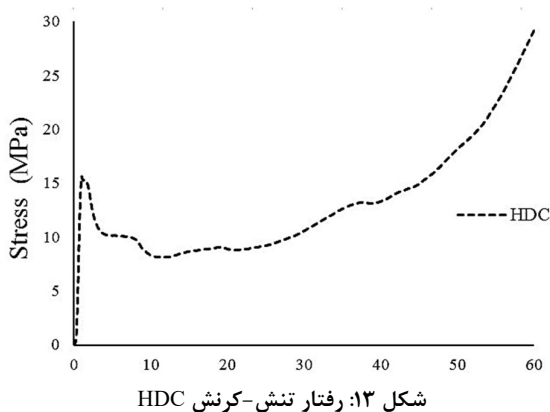


شکل ۱۲: نمونه HDC تحت بارگذاری در UTM



شکل ۱۰: تست آزمایشگاهی المان مهاری و نمودار نیرو - کرنش یک المان مهاری [۴]

برای ایجاد تکیه‌گاه نرم می‌توان از بستری منعطف شامل بتن شکل پذیر مابین جداره تونل و محیط مجاور استفاده نمود که در شکل (۱۱) به نحوه جای‌گذاری آن اشاره شده است. در این حالت با افزایش تورم در بستر تونل به علت شکل پذیری بیشتر بستر منعطف نسبت به جداره تونل، فشار حاصل از تورم باعث تغییر شکل در جداره منعطف می‌گردد و از فشار اضافی وارد به جداره تونل جلوگیری می‌نماید.



شکل ۱۳: رفتار تنش-کرنش

نمونه دیگری به صورت ستون استوانه‌ای به قطر ۱۰ سانتی‌متر و طول ۳۰ سانتی‌متر ساخته شده است که در قسمت میانی آن از HDC به طول ۱۰ سانتی‌متر استفاده شده است. به عبارتی

۴- مدل آزمایشگاهی

در این پژوهش در ابتدا المان بتنی با شکل پذیری بالا (HDC) در آزمایشگاه دانشگاه صنعتی سهند ساخته شده و تحت بارگذاری فشاری در دستگاه UTM قرار گرفته شکل (۱۲) و رفتار تنش-کرنش آن ثبت شده است. آزمونه المان بتنی با شکل پذیری بالا دارای رفتار تنش-کرنش مطابق با تعریف ارائه شده در این مقاله می‌باشد که به رفتار تنش-کرنش آن در شکل (۱۳) اشاره شده است.

کرنش از رفتار خطی تنش-کرنش بتن معمولی(NC) و رفتار غیرخطی تنش-کرنش HDC استفاده شده است.

جدول ۱: مشخصات بتن معمولی

ضریب پواسون	مقاومت فشاری (Kg/cm^2)	مدول الاستیپیته (E) (Kg/cm^2)	مشخصات بتن معمولی (NC)
0.2	500	2e5	

۵- مدل سازی عددی

در این پژوهش چهار مقطع تونل در نرم افزار المان محدود آباکوس مدل سازی شده است. این مقاطع دارای قطر خارجی و داخلی به ترتیب ۱۰۰ و ۸۰ سانتی متر بوده و دارای ضخامت جداره ۱۰ سانتی متر می باشند. در سه مدل مقطع تونل از المان بتنی با شکل پذیری بالا با تعداد ۲، ۳ و ۴ عدد به ترتیب در زوایای ۹۰، ۱۲۰، ۱۸۰ و ۱۲۰ درجه استفاده شده است و یک مدل نیز -HDC می باشد. در جدول زیر به مشخصات تونل های مدل سازی شده اشاره شده است.

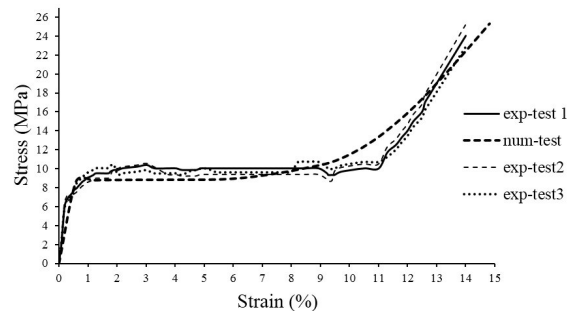
جدول ۲: مقاطع تونل های مدل سازی شده

قطع	جاگذاری HDC ها	زواياي بين HDC ها
TNC	-	-
T2HDC	180°	-
T3HDC	120°	-
T4HDC	90°	-

دو سرستون از بتن معمولی و در قسمت میانی HDC قرار گرفته است. سپس این سرستون زیر جک فشاری قرار گرفته و تغییر شکل و تنש های محوری ایجاد شده در آن ثبت شده و رفتار تنش کرنش آن ترسیم شده است. با داشتن مقاومت فشاری و رفتار تنش-کرنش HDC ها، در نرم افزار المان محدود آباکوس این سرستون با مشخصات موجود مدل سازی شده است. رفتار تنش-کرنش مدل آزمایشگاهی و عددی در یک نمودار ترسیم شده است شکل (۱۴). تحلیل نتایج آزمایشگاهی و عددی مطابقت مناسبی از این دو مدل را نشان می دهد که زمینه مدل سازی مقطع تونل در نرم افزار را فراهم می سازد.



شکل ۱۳: نمونه سرستون دارای HDC تحت بارگذاری

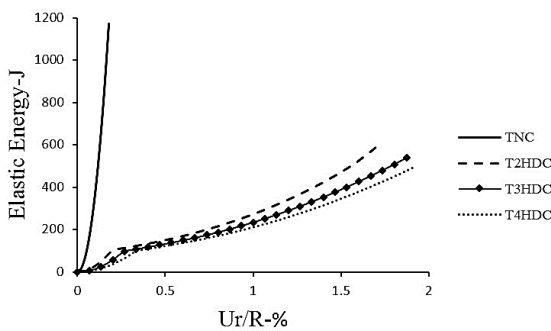


شکل ۱۴: رفتار تنش-کرنش نمونه سرستون آزمایشگاهی و مدل سازی شده در آباکوس

مشخصات مکانیکی مصالح بتن و HDC به شرح زیر می باشد جدول (۱). قابل ذکر است به منظور معادل سازی رفتار تنش

۶-۱- میزان جذب انرژی الاستیک بتن معمولی مقاطع تونل‌ها

بتن معمولی مورداستفاده در جداره تونل‌ها دارای رفتار خطی می‌باشد که در این بخش میزان جذب انرژی الاستیک مقاطع مختلف تونل موردنبررسی قرارگرفته و به انرژی جذب شده الاستیک مقطع بتنی تونل برحسب کرنش‌های شعاعی اشاره شده است شکل (۱۷). تحلیل نتایج نشان می‌دهد مقطع تونلی که دارای HDC نیست جذب انرژی الاستیک آن بیشتر از مقاطع دیگر می‌باشد. این نتیجه را می‌توان به وجود حجم بیشتر بتن معمولی در این نمونه مرتبط ساخت. با بررسی جذب انرژی الاستیک بتن معمولی در جداره سه مقطع دیگر نیز می-توان استنباط نمود که هرچقدر حجم بتن معمولی بیشتر باشد جذب انرژی این جداره‌های بتنی بیشتر می‌باشد. البته قابل ذکر است با بررسی‌های انجام شده این میزان انرژی در مقابل میزان جذب انرژی توسط المان‌های شکل‌پذیر بسیار کم می‌باشد. مقطع تونل T2HDC دارای بیشترین جذب انرژی الاستیک و کمترین تغییر شکل الاستیک را در مقایسه با دیگر نمونه‌های دارای HDC می‌باشد.



شکل ۱۶: انرژی الاستیک جذب شده توسط بتن معمولی جداره مقاطع تونل

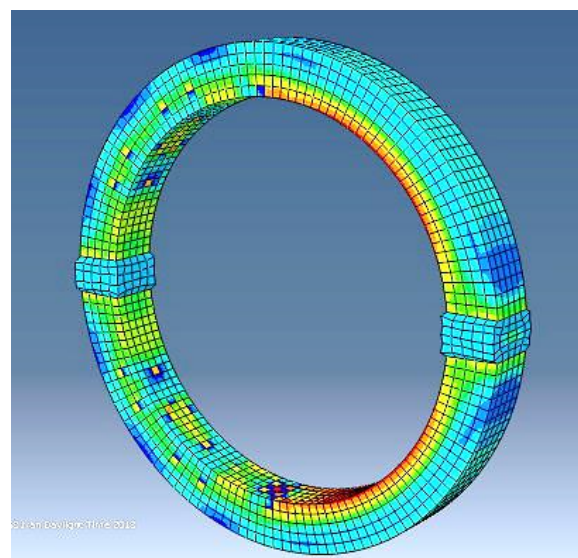
۶-۲- میزان جذب انرژی الاستیک در HDC ها

المان‌های بتنی با شکل‌پذیر بالا دارای رفتار الاستوپلاستیک می‌باشند بنابراین این مقاطع دارای دو نوع جذب انرژی الاستیک و پلاستیک می‌باشند. تفکیک میزان این مقدار انرژی می‌تواند شاخص مناسبی در طراحی‌ها و تغییر شکل‌های به وجود آمده باشد.

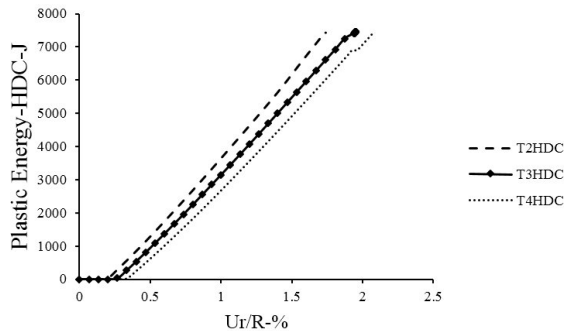
مشخصات مکانیکی مصالح بتن و HDC مدل‌سازی شده به شرح زیر می‌باشد. قابل ذکر است در مدل رفتاری مصالح از رفتار خطی نتش-کرنش بتن معمولی (NC) و رفتار غیرخطی نتش-کرنش HDC استفاده شده است.

۶- تجزیه و تحلیل نتایج

هدف از انجام این پژوهش بررسی اثر HDC ها در میزان جذب انرژی پلاستیک و الاستیک در مقاطع تونل‌ها می‌باشد. بدین منظور تونل‌هایی با قطر و طول ۱۰۰ سانتی‌متر و ضخامت جداره ۱۰ سانتی‌متر در نظر گرفته شده است. جداره تونل‌ها از دو مصالح متفاوت شامل بتن معمولی در جداره اصلی مقطع تونل‌ها و المان بتنی با شکل‌پذیری بالا (در سه مدل مختلف در جداره مقطع تونل) تشکیل شده است. بتن معمولی دارای رفتار صرف الاستیک و المان بتنی با شکل‌پذیری بالا دارای رفتار الاستیک و پلاستیک می‌باشد. در این مدل‌سازی جداره تونل‌ها تحت بارگذاری شعاعی قرارگرفته است. این بارگذاری بهصورت تغییر شکل هیدرواستاتیکی یکنواخت به جداره مقاطع تونل‌ها وارد می‌گردد. با توجه به چیدمان مختلف HDC ها در جداره تونل‌ها تغییر شکل شعاعی مقاطع تونل‌ها موردنبررسی قرارگرفته است. انرژی جذب شده به تفکیک شامل انرژی جذب شده الاستیک و پلاستیک مقاطع مورد تحلیل و بررسی قرارگرفته شده است.

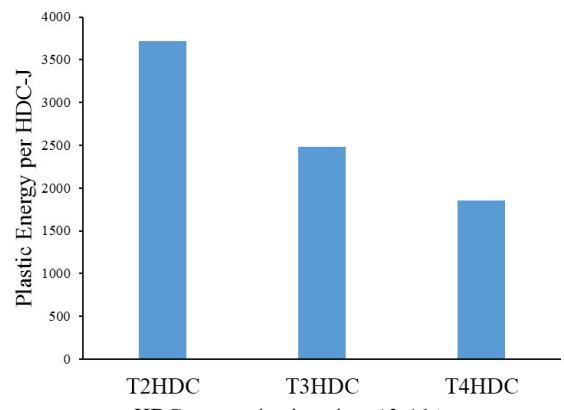


شکل ۱۵: نمونه مقطع تونل T2HDC در آباکوس



شکل (۱۸) انرژی پلاستیک جذب شده در HDC

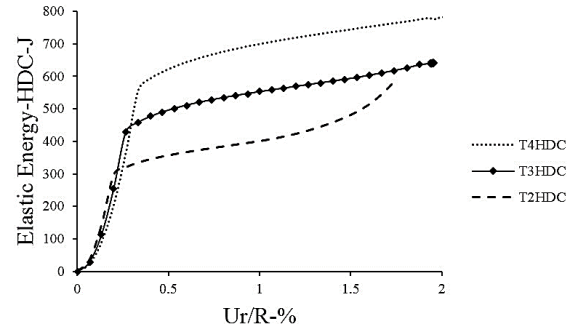
در شکل (۱۹) میزان جذب انرژی پلاستیک میانگین هر HDC در مقاطع تونل‌ها مورد بررسی قرار گرفته است. همان‌طور که مشخص است HDC‌ها در مقطع T2HDC از ظرفیت بیشتری استفاده نموده‌اند و به ترتیب این ظرفیت در مقاطع T3HDC و T4HDC کاهش می‌یابد هرچند نمونه مقاطع T2HDC و T3HDC و T2HDC به ترتیب ظرفیت تغییر شکل بیشتری را دارند که می‌تواند در تغییر شکل‌های بیشتر انرژی بیشتری را گرفته و ظرفیت بالقوه‌ای را دارا باشد.



شکل (۱۹) میزان جذب انرژی هر HDC

۷- نتیجه‌گیری

برخورد با زمین‌های مچاله‌شونده از مهم‌ترین چالش‌های مهندسی تونل می‌باشد که با توجه به عدم قطعیت‌ها در پروژه‌های عظیم زیرزمینی مشکلات ناشی از نواحی مچاله‌شونده بسیار شایع است. یکی از روش‌های مناسب در حفاری تونل‌های در معرض جمع‌شدنی استفاده از المان‌های بتُنی با شکل‌پذیری بالا در جداره تونل‌ها می‌باشد. HDC‌ها توانایی بالایی در جذب انرژی را دارا می‌باشند. این ویژگی می‌تواند به صورت بالقوه در جداره تونل‌ها بکار گرفته شود تا در تغییر شکل‌های وابسته به زمان قابلیت خنثی نمودن اثر فشارهای ناشی از بارها را داشته باشد. بنابراین بررسی ویژگی این المان‌ها می‌تواند ابزاری



شکل (۱۷) انرژی الاستیک جذب شده در HDC ها

نمودار شکل (۱۷) میزان جذب انرژی الاستیک HDC ها را برای سه مدل دارای HDC نشان می‌دهد. همان‌طور که انتظار می‌رفت میزان جذب انرژی الاستیک مقاطع با تعداد HDC ها رابطه مستقیم دارند. HDC ها در این مقاطع به صورت فترهایی سری عمل نموده به گونه‌ای که پس از استفاده از ظرفیت الاستیک کلیه HDC ها وارد ناحیه پلاستیک خود می‌شوند. شبیه افزایینده جذب انرژی الاستیک در کلیه مقاطع یکسان بوده ولی اندازه آن‌ها در سطوحی متفاوت می‌باشد. مقطع T4HDC نسبت به مقطع T2HDC و نمونه T3HDC نسبت به نمونه T2HDC به ترتیب دارای افزایش ۵۰ و ۱۰۰ درصدی در تعداد HDC بوده و میزان جذب انرژی الاستیک در آن‌ها به ترتیب ۳۰ و ۶۰ درصد افزایش یافته است که نشان می‌دهد در این شرایط رابطه خطی و مستقیم بین تعداد HDC ها و جذب انرژی الاستیک DC ها وجود دارد.

۶- میزان جذب انرژی پلاستیک در HDC ها:

بررسی‌های تحلیل‌های عددی نشان می‌دهد که درصد عمدتی از میزان جذب انرژی در مقاطع تونل‌های در HDC ها اتفاق می‌افتد. این میزان جذب انرژی با توجه به ظرفیت پلاستیک HDC ها در این المان‌ها در قالب انرژی پلاستیک جذب می‌شوند. بررسی‌ها نشان می‌دهد مقاطع T4HDC دارای بیشترین جابجایی بوده که می‌توان آن را به تغییر مکان‌های قبل انتقال HDC ها در جداره تونل‌ها مرتبط ساخت. به ازاء یک کرنش شعاعی یکسان مقطع T2HDC دارای جذب انرژی پلاستیک بیشتری می‌باشد که آن را می‌توان به شکل هندسی و جانمایی HDC ها مرتبط ساخت. قابل ذکر است علاوه بر تعداد HDC ها جانمایی HDC ها در جذب انرژی نیز بسیار مؤثر می‌باشند. با توجه به شکل (۱۸) با افزایش استفاده از HDC ها میزان تغییر شکل مقاطع بتُنی افزایش می‌یابد.

۹- مراجع

- [1] Varden & Woods, Design approach for squeezing ground, Underground Design Methods Australian Centre for Geomechanics, Perth, ISBN 978-0-9924810-3-2 , 2015
- [2] K. Kovari, 2009. Consulting Engineer, Fabrikstr. 4, 8102 Oberengstringen, Switzerland-design methods with yielding support in squeezing and swelling rocks, World Tunnel Congress 2009, Budapest, Hungary, may 23-28.
- [3] K. Kovari, 2009. Consulting Engineer, Fabrikstr. 4, 8102 Oberengstringen, Switzerland-design methods with yielding support in squeezing and swelling rocks, World Tunnel Congress 2009, Budapest, Hungary, may 23-28.
- [4] Kalman Kovari, 2007. Modular yielding support for tunnels in heavily swelling rock, Stuva conference, koln 2007.
- [5] Kovári, Kalman. "Design methods with yielding support in squeezing and swelling rocks." Proceedings of the World Tunnel Congress. 2009.
- [6] Barla, Giovanni ,Full-face excavation of large tunnels in difficult conditions. In Journal of Rock Mechanics and Geotechnical Engineering 8 (3), pp. 294–303. DOI: 10.1016/j.jrmge.2015.12.003.
- [7] Agan,Celal, Prediction of squeezing potential of rock masses around the Suruc, Water tunnel Bull Eng Geol Environ DOI 10.1007/s10064-015-0758-1, 2015
- [8] Tunnelling under squeezing rock conditions by Giovanni Barla, lecture.
- [9] Sezan Orak, 2000. Investigation of vibration damping on polymer concrete with polyester resin, cement and concrete research, 171-174.
-

مناسب در حل مشکلات ناشی از برخورد با نواحی جمع‌شونده باشد. با توجه به نتایج مدل‌های آزمایشگاهی و عددی نتایج زیر بدست آمده است.

۱- استفاده از HDC ها در مقاطع تونل‌ها شکل‌پذیری و کرنش شعاعی را می‌تواند تا حدود ۱۰ برابر افزایش دهد که ابعاد و شکل هندسی المان‌ها در میزان شکل‌پذیری تونل بسیار مؤثر می‌باشد.

۲- استفاده از HDC ها در دو لایه با زوایای ۱۸۰ درجه مانند مقطع T2HDC بهینه‌ترین حالت استفاده این المان‌ها در جداره تونل می‌باشد. به عبارتی در این چیدمان از حداکثر ظرفیت HDC ها استفاده شده است.

۳- مقاطع دارای تعداد HDC های بیشتر، ظرفیت شکل‌پذیری بالاتر و به نسبت دارای ظرفیت تحمل کرنش‌های شعاعی بیشتری را دارند. HDC ها در مقاطع تونل‌ها مانند فنرها به صورت سری عمل می‌نمایند بنابراین سختی معادل فنرها با افزایش HDC ها کاهش می‌یابد بنابراین جذب انرژی آن‌ها افزایش می‌یابد.

۴- بر اساس طبقه‌بندی محیط‌های مچاله شونده و داشتن میزان همگرایی شعاعی تونل‌ها در این زمین‌ها می‌توان با طراحی و جایگذاری مناسب HDC ها در جداره تونل‌ها، میزان همگرایی ایجاد شده در این محیط‌ها را به صورت تغییر شکل در المان‌های شکل‌پذیر در جداره تونل‌ها جبران نمود. این المان‌ها قابلیت جذب انرژی وارده از محیط اطراف جداره تونل را دارند و می‌توان بر حسب میزان کرنش شعاعی موردنیاز از اثربخشی مناسب‌تری دست یافت.

۸- سپاسگزاری

از حمایت سرپرست و تلاش‌های تکنسین‌های آزمایشگاه بتن و سازه دانشگاه صنعتی سهند تبریز که شرایط مناسب برای انجام آزمایشات را فراهم نمودند و همچنین از همسر عزیزم که در کلیه مراحل انجام این پژوهش با صبوری مرا یاری نموده است کمال تشکر و قدردانی را دارم.

تعیین خرج ویژه بر اساس پارامترهای ژئومکانیکی تودهسنگ (مطالعه موردی- طرح سد و نیروگاه سیمراه)

محمد حیاتی^{۱*} و امید روشنی^۲

۱- استادیار گروه مهندسی معدن، دانشکده فنی و مهندسی، دانشگاه لرستان، خرم‌آباد، ایران

۲- کارشناسی ارشد مهندسی معدن، مکانیک سنگ، دانشگاه تهران، ایران

دریافت: اسفند ۱۳۹۷؛ پذیرش: خرداد ۱۳۹۸

چکیده

یکی از مهم‌ترین پارامترهای فنی و اقتصادی در طراحی الگوهای حفاری و انفجار تونل‌ها، خرج ویژه است. از این‌رو پیش‌بینی و بهینه‌سازی آن از اهمیت بالایی برخوردار است. مقدار خرج ویژه به پارامترهای متعددی از قبیل شرایط زمین‌شناسی، خصوصیات مکانیک سنگی و پارامترهای هندسی طراحی بستگی دارد. در این تحقیق با تکیه‌بر خواص ژئومکانیکی تودهسنگ در عملیات ساخت تونل آبرسان سد سیمراه، مدلی مناسب برای تعیین خرج ویژه با استفاده از روش‌های آماری ارائه شده است. در این راستا به منظور حذف اثر همخطی بین متغیرهای ورودی در مدل‌های پیش‌بینی، از روش آنالیز PCA استفاده کرده و برای ارزیابی و مقایسه مدل‌های ساخته شده، از پارامترهای ضربی تعیین مدل (R2) و متوسط مربعات خطأ (MSE) بهره گرفته شده است. مقایسه مدل‌ها نشان می‌دهد که رفع همخطی بین متغیرهای ورودی با به کارگیری روش PCA نتایج پیش‌بینی بهتری را به همراه داشته است.

واژگان کلیدی: پیش‌بینی، خرج ویژه، تونل، همخطی، آنالیز مؤلفه‌های اصلی، روش آماری.

۱- مقدمه

لرزش زمین، پرتاب سنگ در هوا و آلودگی صوتی نیز مؤثر است [۲،۳]. تاکنون تحقیقات متعددی برای برآورد خرج ویژه بهینه در معادن انجام شده است که در هر کدام با پارامترهای معینی از تودهسنگ و ماده منفجره را در تعیین مقدار خرج ویژه مؤثر دانسته‌اند. روش‌های سنتی و مبتنی بر روابط تجربی مانند استفاده از خواص فیزیکی و ژئومکانیکی تودهسنگ [۴]، شاخص انفجار پذیری [۵]، شاخص RQI [۶]، شاخص حفاری DI [۷]، مدل سوئدی [۸]، مدل لارسن^۱ [۹]، مدل

خرج ویژه نسبت بین وزن ماده منفجره مصرفی به ازای حجم سنگی که باید منفجر شود را بیان می‌کند. کم یا زیاد شدن خرج ویژه تأثیر مستقیم در میران خردشده‌گی سنگ دارد. به‌طوری‌که اگر خرج ویژه زیاد باشد خردشده‌گی کوچک‌تر از اندازه موردنیاز تولید را در پی دارد و اگر میزان آن کم باشد قطعه‌سنگ‌های درشت حاصل می‌شود که نیاز به انفجار ثانویه دارد [۱]. با توجه به اینکه هدف از عملیات آتشباری در معادن دست یافتن به یک خردشده‌گی یکنواخت است، خرج ویژه علاوه بر آنکه در ابعاد سنگ‌های منفجرشده تأثیرگذار است در ایجاد

^۱ Larson

*نویسنده مسئول، Hayati.m@lu.ac.ir

سیمره، با استفاده از روش PCA، مدلی برای پیش‌بینی خرج ویژه ارائه شده است. که تاکنون با رویکرد ارائه شده در این مقاله تحقیقی انجام نشده است.

۲- روش تحلیل مؤلفه‌های اصلی^۷ (PCA)

Pca روشی است که در آن دنبالهای از بهترین تقریب خطی از مشاهدات را در ابعاد زیاد فراهم می‌کند. این روش در سال‌های اخیر توجه بسیاری از محققین را درزمینهٔ های مختلف جلب کرده است. Aغلب در انواع مختلف تجزیه و تحلیل استفاده می‌شود چراکه یک روش غیر پارامتری ساده برای استخراج اطلاعات از مجموعه داده‌های مبهم و گیج‌کننده است. Pca یک نقشه راه از چگونگی کاهش مجموعه داده‌های پیچیده به ابعاد کمتر فراهم می‌کند [۳۰]. PCA یکی از روش‌های انتخاب ویژگی‌ها در فضایی با بعد پایین‌تر که ساده‌تر است انجام گیرد. کاری که PCA انجام می‌دهد این است که یک تبدیل خطی به‌گونه‌ای به دست آمده می‌آورد که بردار ویژگی‌های h بعدی را به بردارهای ویژگی d بعدی که $h > d$ تبدیل می‌کند به‌طوری که اطلاعات به‌طور تقریباً کاملی نگهداشته می‌شوند و کمینه خطای میانگین مربعات را به دست می‌دهد. به عبارت دیگر PCA سعی دارد یک تبدیل خطی T را به‌گونه‌ای پیدا کند که کمترین خطای مربعات را به دست دهد و این تبدیل خطی در واقع به‌گونه‌ای است که عبارت $T^T \text{cov}_{\hat{x}-\hat{x}} T$ را ماکزیمم کند که در آن $\text{cov}_{\hat{x}-\hat{x}}$ ماتریس کوواریانس داده‌هایی با میانگین صفر از X است. pca متغیرهای جدید را که به دست آمده‌اند به عنوان ترکیب خطی از متغیرهای اصلی محاسبه می‌کند [۱۵, ۳۱].

^۷ Principal component analysis = PCA

کازنیتسو^۸ [۱۰]، مدل کازرم^۹ [۱۱]، مدل اصلاح شده کازرم^{۱۲} [۱۲]، مدل راستن^{۱۳} [۱۳]، مدل اسویدفو^{۱۴} [۱۴]، مدل پرسون-هولمنبرگ-لی^{۱۵} [۱۵] از جمله روش‌هایی هستند که تاکنون برای برآورد خرج ویژه از آن‌ها استفاده شده است. اما برای رسیدن به بهترین الگوی آتشباری که در آن تأثیر کلیه پارامترهای مؤثر لحاظ شده باشد، بایستی از قوی‌ترین روش‌های آنالیز نتایج، استفاده کرده و مقدار خرج ویژه مناسب با شرایط توده‌سنگ را پیش‌بینی کرد.

روش آنالیز مؤلفه‌های اصلی (PCA) به عنوان یکی از تکنیک‌های داده‌کاوی می‌باشد که راهکاری برای کاهش مجموعه داده‌های چندبعدی به ابعاد کوچک‌تر و مناسب‌تر برای انجام آنالیز بر روی آن‌ها است [۱۵]. در مواردی که با حجم زیادی از داده‌ها سروکار داشته می‌توان با استفاده از روش‌های آماری متعددی به کاهش بعد و دسته‌بندی داده‌ها و درنتیجه حذف اثر منفی همخطی بین متغیرهای ورودی در مدل‌های پیش‌بینی پرداخت. دلایل متعددی برای کاهش بعد داده‌ها وجود دارد از جمله می‌توان موارد زیر را بر شمرد: سرعت الگوریتم‌ها با داده‌های با بعد کمتر بیشتر می‌شود، فضای ذخیره‌سازی کمتری نیاز است و احتمال overfitting کاهش می‌یابد و بنابراین قدرت تعمیم الگوریتم‌های یادگیر بیشتر PCA می‌شود. از مرسوم‌ترین روش‌های انجام این کار روش PCA است [۱۵]. یکی از اهداف رگرسیون چندگانه تعیین اثر هر یک از متغیرهای مستقل با ثابت نگهداشتن سایر متغیرهای مستقل می‌باشد. این هدف در مرحله اول با برآورد ضرایب رگرسیونی در مدل محقق می‌شود. اما اگر بین متغیرهای مستقل رابطه خطی برقرار باشد جواب یکتاً برای متغیرها قابل دستیابی نیست. در این صورت مشکل هم خطی برای مدل رگرسیونی به وجود آمده و محقق در برآورد صحیح پارامترها دچار مشکل می‌شود [۱۶].

در تحقیقات متعددی از روش PCA برای پیش‌بینی پارامترهای مختلف در معادن، تونل‌ها، فضاهای زیرزمینی و موارد مشابه استفاده شده است که برخی از مهم‌ترین آن‌ها در جدول ۱ درج شده است. در این تحقیق ضمن جمع‌آوری داده‌های تجربی مربوط به عملیات انفجار در تونل آبرسان سد

⁸ Kuznetsov

⁹ Kuz-Ram

¹⁰ Rustan

¹¹ Svedefo

¹² Persson-Holmberg-lee

جدول ۱: برخی از تحقیقات انجام شده در استفاده از روش PCA

مؤلف و سال	توضیح	موضوع
Salimi et al, 2016	پیش‌بینی عملکرد TBM در سنگ‌های سخت [۱۷]	نرخ نفوذ
Salimi et al, 2015	پیش‌بینی نرخ نفوذ TBM در حفر تونل مترو [۱۸]	
Saeidi et al, 2014	مدلی برای پیش‌بینی نرخ نفوذ ماشین حفار دورانی [۱۹]	
Cai et al, 2016	مدلی برای قابلیت اطمینان انفجار معدن زغال [۲۰]	آتشباری
Mohamed et al, 2015	بررسی میزان خرج ویژه در عملیات آتشباری پله‌های معدن سطحی [۲۱]	
Esmaeili et al, 2015	مدلی برای میزان خردابی سنگ‌های یک پله پس از انفجار [۲۲]	خردابی و شکست
Heather et al, 2016	مدل سازی شکست دینامیکی در یک معدن زغال [۲۳]	سنگ
Yun et al, 2014	کنترل عملیات حفر تونل در مجاورت یک تونل دیگر (تونل دوقلو) [۲۴]	تأثیرات تونل‌سازی
Sayadi et al, 2012	تخمین هزینه عملیاتی برای ماشین‌های LHD [۲۵]	تخمین هزینه
Lashgari & Sayadi, 2013	تخمین هزینه تعمیر و نگهداری ماشین‌آلات در معدن سطحی [۲۶]	
Yan et al, 2008	مدلی برای پیش‌بینی خصوصیات رگه‌های زغالی [۲۷]	پیش‌بینی ویژگی
Yan et al, 2008	عیوب‌یابی در یک معدن [۲۸]	عیوب‌یابی
Shi-xiong et al, 2008	عیوب‌یابی در یک معدن [۲۹]	

- رودخانه، تأمین آب‌های پایین‌دست از اهداف طرح سیمراه می‌باشد. محل ساختگاه در زون زاگرس چین‌خورده و در بخش جنوب‌غربی آن قرار گرفته است. ساختگاه سد در یال شمالی طاقدیس راوندی واقع شده است و محل سد، دره کفه نیل می‌باشد. سنگ‌بستر از نوع سنگ‌های آهکی سازند آسماری شهرهای زمانی باشد. نمایی کلی از تونل آبرسان این سد در شکل ۱ نشان داده شده است. همچنین مشخصات تونل‌های آبرسان در سد و نیروگاه سیمراه در جدول ۲ درج شده است.

۳- مطالعه موردی

۳-۱- آشنایی با طرح سد و نیروگاه سیمراه سد سیمراه در مسیر رودخانه سیمراه و در شهرستان بدره استان ایلام قرار دارد. رود سیمراه به طول ۴۱۷ کیلومتر و شیب ۰.۳ درصد از به هم پیوستن رودخانه‌های قره‌سو و گاماسیاب تشکیل شده است. این سد از نوع بتنی دو قوسی است. مختصات جغرافیایی آن ۳۳°۱۷' / ۴۷°۱۲' طول شرقی و ۸۴۴ گیگاوات ساعت در سال، کنترل و تنظیم جریان‌های سطحی



شکل ۱: نمایی کلی از تونل آبرسان سد و نیروگاه سیمراه

جدول ۲: مشخصات مجاری آب بر سد و نیروگاه سیمراه

سه رشته	تعداد پنستاک:	۱۴۷۶ متر	طول تونل آبر:
۱۷۰ متر	طول هریک از پنستاک‌ها:	۱۱ متر	قطر تونل آبر:
۵,۷ متر	قطر متوسط پنستاک‌ها:	بتنی و فلزی	نوع پوشش:

۲-۳- جمع آوری داده‌ها

ساخت مدل‌های آماری و ۴۰ سری باقی‌مانده برای تست مدل‌ها به کار گرفته شده است. در جدول (۴) ویژگی‌های آماری مربوط به پارامترهای مختلف درج شده است. همچین نمودار پراکنده‌گی (scatter plot) مربوط به ۲۹۰ داده برای هر پارامتر در شکل (۲) نشان داده شده است. در پایان به منظور ارزیابی مدل‌های ساخته شده، از شاخص‌هایی نظری ضریب تعیین مدل (R^2) و متوسط مربعات خطأ (MSE) استفاده شده است.

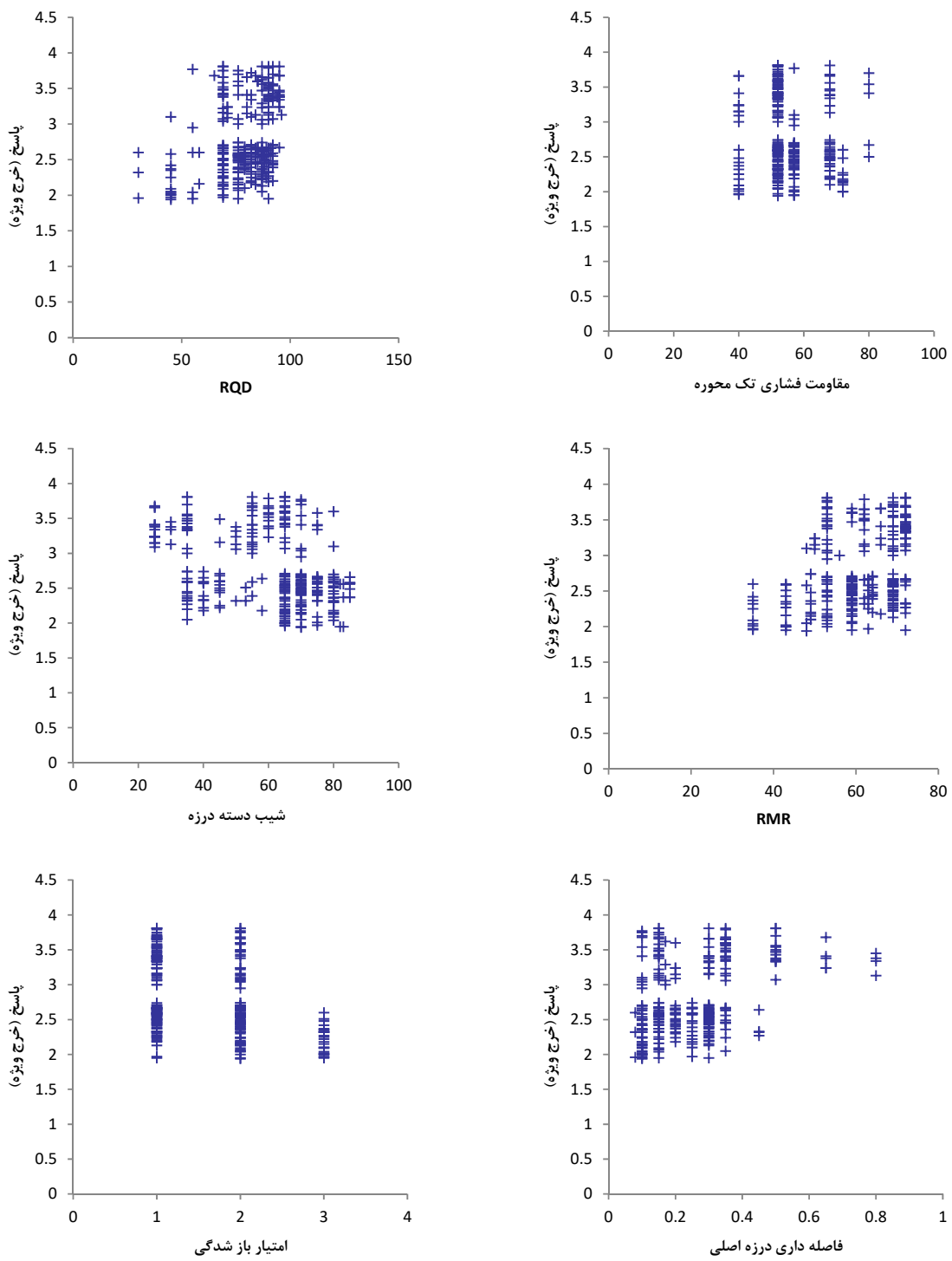
یکی از مراحل بسیار مهم در تهیه یک مدل آماری جمع آوری داده‌ها می‌باشد. در این تحقیق برای تهیه مدل پیش‌بینی خرج ویژه، ۱۲ پارامتر به عنوان ورودی‌های مدل یا متغیرهای مستقل و خرج ویژه به عنوان پارامتر خروجی یا متغیر واپسیه در نظر گرفته شده است (جدول ۳). در این راستا داده‌های مربوط به ۲۹۰ مرحله عملیات حفاری و آتشباری در تونل آبرسان سد سیمراه استفاده شده است که از این تعداد ۲۵۰ سری داده برای

جدول ۳: متغیرهای مؤثر (ورودی) برای ساخت مدل تعیین خرج ویژه

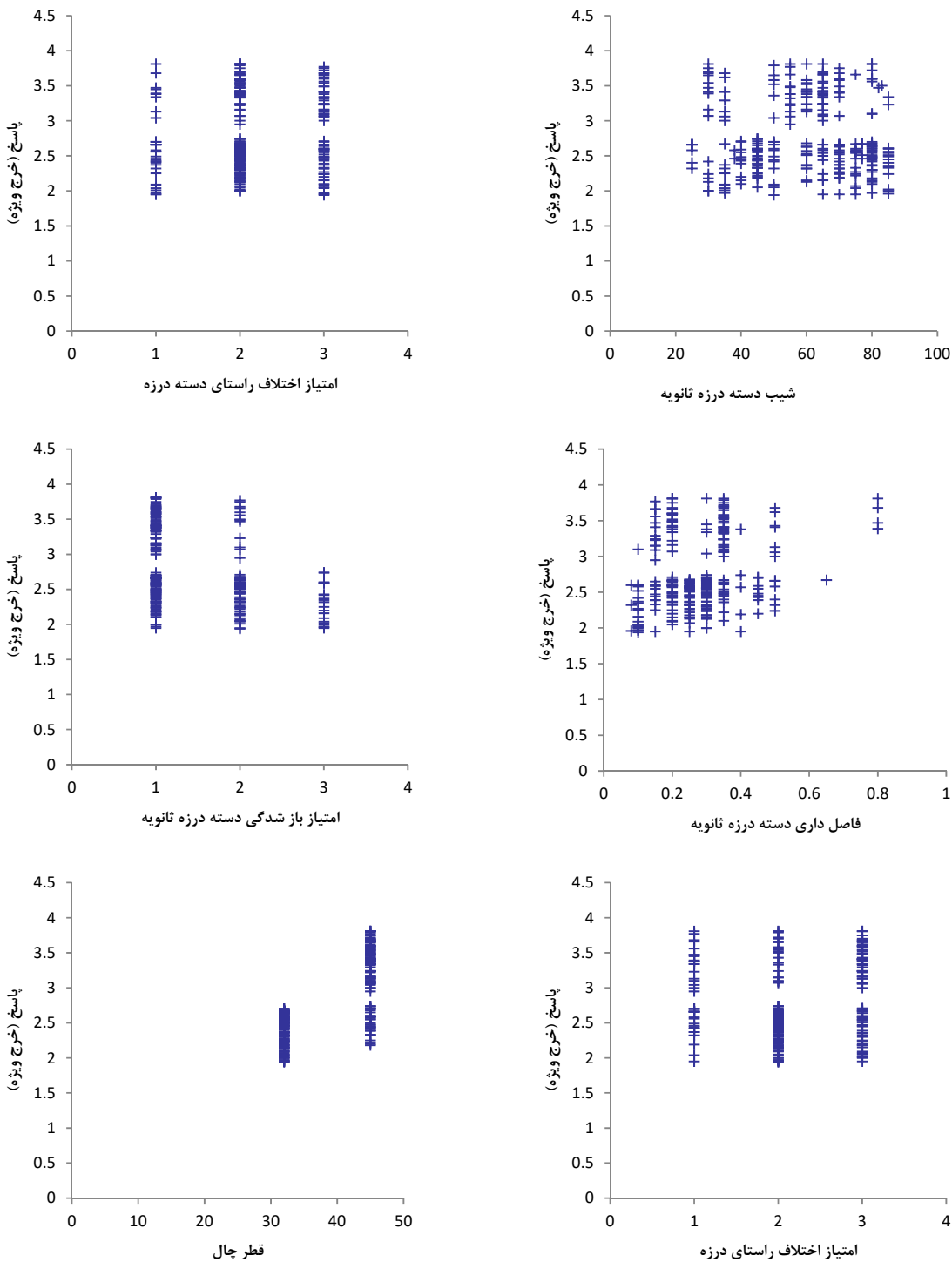
قطر چال‌های حفرشده (mm)		۲	مقاومت فشارشی تک محوره Mpa		۱
۱	۳۰۰		۱	۳۰۰۰	
۲	۶۰-۳۰	امتداد درزه ثانویه نسبت به امتداد تونل (۳۶۰-۰)	۴	۲۶۰-۳۰	امتداد درزه اصلی نسبت امتداد تونل (۳۶۰-۰)
۳	۶۰-۹۰		۳	۹۰-۶۰	
		شیب دسته‌درزه ثانویه (۹۰-۰)	۶		شیب دسته‌درزه اصلی (۹۰-۰)
		فاصله‌داری دسته‌درزه ثانویه (m)	۸		فاصله‌داری دسته‌درزه اصلی (m)
۱	۳۰۰		۱	۳۰۰۰	
۲	۶۰-۳۰	امتیاز بازشدنگی دسته‌درزه ثانویه	۱۰	۲۶۰-۳۰	امتیاز بازشدنگی دسته‌درزه اصلی
۳	۹۰-۶۰		۳	۹۰-۶۰	
		امتیاز RMR (۰-۱۰۰)	۱۲		امتیاز RQD (۰-۱۰۰)
					۱۱

جدول ۴: مشخصات آماری داده‌های اندازه‌گیری شده

قطر چال	بازشدنگی	دسته‌درزه	فاصله‌داری	دسته‌درزه	امیاز اختلاف	دسته‌درزه	پیوسته‌درزه	دسته‌درزه	بازشدنگی	دسته‌درزه	امیاز اختلاف	دسته‌درزه	امیاز اختلاف	دسته‌درزه	پیوسته‌درزه	دسته‌درزه	RMR	RQD	مقرون	آشنا (٪)	بیشینه (٪)
۳۸/۲۸	۱/۴۰	۰/۲۸	۲/۱۵	۵۹/۵۴	۱/۵۶	۰/۲۵	۲/۲۰	۶۰/۰۵	۶۰/۷۷	۷۸/۹۰	۵۵/۵۲	۲/۷۷	۲/۷۷	۲/۷۷	۲/۷۷	۲/۷۷	۲/۷۷	۲/۷۷	۲/۷۷	میانگین	
۴۲/۳۵	۰/۳۹	۰/۰۱	۰/۳۷	۲۸۶/۸۶	۰/۴۳	۰/۰۲	۰/۴۵	۲۷۸/۰۲	۸۹/۴۷	۱۶۴/۳۹	۶۶/۸۲	۰/۲۷	۰/۲۷	۰/۲۷	۰/۲۷	۰/۲۷	۰/۲۷	۰/۲۷	۰/۲۷	واریانس	
۶/۵۱	۰/۶۲	۰/۱۲	۰/۶۱	۱۶/۹۴	۰/۶۶	۰/۱۴	۰/۶۷	۱۶/۶۷	۹/۴۶	۱۲/۸۲	۸/۱۷	۰/۵۲	۰/۵۲	۰/۵۲	۰/۵۲	۰/۵۲	۰/۵۲	۰/۵۲	۰/۵۲	انحراف معیار	
۰/۰۷	۱/۲۷	۱/۲۸	۰/۰۹	۰/۰۳۱	۰/۷۵	۱/۳۸	۰/۰۲۶	۰/۰۶۶	۰/۰۷۷	-۱/۰۳۹	۰/۷۰	۰/۴۹	۰/۴۹	۰/۴۹	۰/۴۹	۰/۴۹	۰/۴۹	۰/۴۹	۰/۴۹	چولگی	
۰/۹۹	۳/۵۱	۶/۶۳	۲/۵۹	۲/۰۰	۲/۵۰	۵/۸۳	۲/۲۱	۲/۳۴	۳/۱۲	۵/۲۰	۳/۷۷	۱/۹۹	۱/۹۹	۱/۹۹	۱/۹۹	۱/۹۹	۱/۹۹	۱/۹۹	۱/۹۹	کشیدگی	
۳۲/۰۰	۱/۰۰	۰/۲۵	۲/۰۰	۶۰/۰۰	۱/۰۰	۰/۲۵	۲/۰۰	۶۵/۰۰	۵۹/۰۰	۸۲/۰۰	۵۲/۰۰	۲/۶۰	۲/۶۰	۲/۶۰	۲/۶۰	۲/۶۰	۲/۶۰	۲/۶۰	۲/۶۰	میانه	
۳۲/۰۰	۱/۰۰	۰/۳۵	۲/۰۰	۶۵/۰۰	۱/۰۰	۰/۳۰	۲/۰۰	۶۵/۰۰	۵۹/۰۰	۶۹/۰۰	۵۲/۰۰	۲/۶۶	۲/۶۶	۲/۶۶	۲/۶۶	۲/۶۶	۲/۶۶	۲/۶۶	۲/۶۶	نما	
۳۲/۰۰	۱/۰۰	۰/۰۸	۱/۰۰	۲۵/۰۰	۱/۰۰	۰/۰۸	۱/۰۰	۲۵/۰۰	۳۵/۰۰	۳۰/۰۰	۴۰/۰۰	۱/۹۴	۱/۹۴	۱/۹۴	۱/۹۴	۱/۹۴	۱/۹۴	۱/۹۴	۱/۹۴	کمینه	
۴۵/۰۰	۳/۰۰	۰/۸۰	۳/۰۰	۸۵/۰۰	۳/۰۰	۰/۸۰	۳/۰۰	۸۵/۰۰	۷۲/۰۰	۹۶/۰۰	۸۰/۰۰	۳/۸۱	۳/۸۱	۳/۸۱	۳/۸۱	۳/۸۱	۳/۸۱	۳/۸۱	۳/۸۱	بیشینه	



شکل ۲: نمودار پراکندگی پارامترهای ورودی در برابر پاسخ (خرج ویژه)



شکل ۲: نمودار پراکندگی پارامترهای ورودی در برابر پاسخ (خرج ویژه)

توان به لزوم عدم وجود همخطی^۸ بین متغیرهای ورودی مدل اشاره کرد. در صورت وجود همخطی بین متغیرهای مستقل،

⁸ co-linearity

۳-۳- ساخت مدل‌های رگرسیونی (آماری)
برای ساخت یک مدل رگرسیون، کلیه فروض اولیه مدل رگرسیون کلاسیک باید در نظر گرفته شود. از این جمله می-

همبستگی درجه صفر بین دو متغیر شرط کافی و نه لازم برای وجود همخطی است. برخی از صاحبنظران معتقدند شاخص وضعیت (CI) بهترین تشخیص‌دهنده موجود برای همخطی است. CI بین ۳۰ تا ۱۰ نشان‌دهنده همخطی متوسط متمایل به شدید و $CI > 30$ نشان‌دهنده وجود همخطی شدید ناشی از آن متغیر است [۳۲].

در این تحقیق بر اساس داده‌های جمع‌آوری شده ابتدا با استفاده از نرم‌افزار SPSS، مدل‌های آماری را ساخته و پس از کشف همخطی بین متغیرهای مستقل با استفاده از CI، از روش آنالیز مؤلفه‌های اصلی^{۱۱} (PCA) برای حذف همخطی استفاده شده است. در جدول ۵، مشخصات مدل رگرسیونی خروج ویژه قبل از حذف همخطی نشان داده شده است.

خطای استاندارد تخمین ضرایب مدل رگرسیون بیشتر شده (افزایش فاصله اعتماد تخمین ضرایب) و درنتیجه غالباً فرضیه null که به معنی صفر بودن ضرایب مدل رگرسیون است، تقویت می‌گردد. بنابراین قبل از ساخت و تحلیل هر مدل رگرسیون ابتدا باید به وجود رابطه همخطی بین متغیرهای مستقل پی برد [۳۲]. روش‌های بسیاری برای کشف همخطی بین متغیرهای مستقل وجود دارد. از آن جمله می‌توان به بررسی ضریب همبستگی درجه صفر^۱ (ضریب همبستگی ساده یا ضریب همبستگی پیرسون) بین متغیرهای ورودی و یا بررسی مقادیر شاخص وضعیت^{۱۲} مربوط به هر متغیر اشاره کرد. درصورتی که ضریب همبستگی ساده بین دو متغیر بیش از ۰/۸ باشد، همخطی مشکلی جدی خواهد بود. البته ضریب

^{۱۱} Principle Component Analysis^۱ Zero-order correlation or Pearson correlation^{۱۲} Condition index(CI)

جدول ۵: مدل رگرسیونی خروج ویژه قبل از حذف همخطی (PF-BEFOR PCA)

VAR	B	SIG	CI	Std. Error	TOTAL PREDICTION		TEST	
					R-SQUARED	MSE	R-SQUARED	MSE
(Constant)	3.055	1.00	1.000	0.12				
UCS	-0.052	0.37	5.102	0.06				
RQD	-0.290	0.02	7.956	0.12				
RMR	0.021	0.85	9.544	0.11				
DIPJS1	0.194	0.00	10.838	0.05				
DDR1	0.084	0.01	13.750	0.03				
JS1	0.337	0.00	15.992	0.10				
JAPP1	0.004	0.95	19.389	0.07	0.6410	0.1790	0.2559	1.2777
DIPJS2	0.158	0.00	20.364	0.05				
DDR2	-0.045	0.23	27.819	0.04				
JS2	0.245	0.01	38.485	0.10				
JAPP2	-0.131	0.01	61.883	0.05				
D	0.425	0.00	100.372	0.03				
SIG . TOTAL					0.00			

جدول ۶: ضرایب همبستگی درجه صفر جهت تشخیص همخطی بین متغیرها

ZERO ORDER Correlations											
UCS	RQD	RMR	DIPJS1	DDR1	JS1	JAPP1	DIPJS2	DDR2	JS2	JAPP2	D
1.000	.229	.237	.259	-.199	.028	-.100	.061	-.114	.307	-.240	-.199
UCS											
RQD	.229	1.000	.823	-.267	-.011	.703	-.669	-.014	-.021	.649	-.628
RMR	.237	.823	1.000	-.170	-.043	.610	-.862	.125	.018	.531	.254
DIPJS1	.259	-.267	-.170	1.000	-.072	-.507	.192	.147	-.088	.045	.032
DDR1	-.199	-.011	-.043	-.072	1.000	-.106	.043	.033	.284	-.079	-.023
JS1	.028	.703	.610	-.507	-.106	1.000	-.527	.117	-.032	.256	-.339
JAPP1	-.100	-.669	-.862	.192	.043	-.527	1.000	-.045	-.107	-.386	.621
DIPJS2	.061	-.014	.125	.147	.033	.117	-.045	1.000	.189	-.315	-.065
DDR2	-.114	-.021	.018	-.088	.284	-.032	-.107	.189	1.000	-.185	.009
JS2	.307	.649	.531	.045	-.079	.256	-.386	-.315	-.185	1.000	-.513
JAPP2	-.240	-.628	-.711	.032	-.023	-.339	.621	-.065	.009	-.513	1.000
D	-.199	.291	.254	-.599	.175	.331	-.327	-.251	.196	.146	-.211
											1.000

جدول ۷: مقادیر سطح معناداری (Sig) فرضیه null برای ضرایب همبستگی درجه صفر

	UCS	RQD	RMR	DIPJS1	DDR1	JS1	JAPP1	DIPJS2	DDR2	JS2	JAPP2	D
UCS	.	.000	.000	.000	.001	.329	.057	.167	.034	.000	.000	.001
RQD	.000	.	.000	.000	.429	.000	.000	.412	.370	.000	.000	.000
RMR	.000	.000	.	.003	.246	.000	.000	.024	.386	.000	.000	.000
DIPJS1	.000	.000	.003	.	.128	.000	.001	.010	.081	.240	.306	.000
DDR1	.001	.429	.246	.128	.	.046	.249	.303	.000	.104	.355	.003
JS1	.329	.000	.000	.000	.046	.	.000	.031	.305	.000	.000	.000
JAPP1	.057	.000	.000	.001	.249	.000	.	.237	.044	.000	.000	.000
DIPJS2	.167	.412	.024	.010	.303	.031	.237	.	.001	.000	.151	.000
DDR2	.034	.370	.386	.081	.000	.305	.044	.001	.	.002	.443	.001
JS2	.000	.000	.000	.240	.104	.000	.000	.000	.002	.	.000	.010
JAPP2	.000	.000	.000	.306	.355	.000	.000	.151	.443	.000	.	.000
D	.001	.000	.000	.000	.003	.000	.000	.000	.001	.010	.000	.

CI می‌توان اثر PCA را در کاهش شدید اثر همخطی در مدل ساخته شده مشاهده کرد که نتایج درج شده در جداول ۹ و ۱۰ نیز مؤید این نکته می‌باشند.

در ادامه پس از کشف همخطی، با استفاده از روش آنالیز مؤلفه‌های اصلی (PCA) اثر آن را از بین برد و مدل جدید ساخته می‌شود. نتایج مدل آماری جدید ساخته شده در جدول ۸ درج شده است. مطابق این جدول با بررسی مقادیر شاخص

جدول ۸: مدل رگرسیونی پیش‌بینی خروج ویژه پس از حذف اثر همخطی (PF-AFTER PC)

VAR	B	SIG	CI	Std. Error	TOTAL PREDICTION		TEST	
					R-SQUARED	MSE	R-SQUARED	MSE
(Constant)	.196	.123	1.000	0.13				
UCS	-0.110	.683	1.393	0.07				
RQD	-0.238	.000	1.402	0.05				
RMR	-0.117	.200	1.404	0.05				
DIPJS1	0.420	.011	1.405	0.06				
DDR1	0.024	.005	1.406	0.06				
JS1	-0.001	.811	1.406	0.05	0.6410	0.1790	0.2999	1.1313
JAPP1	-0.061	.000	1.406	0.05				
DIPJS2	0.455	.001	1.407	0.06				
DDR2	-0.036	.000	1.407	0.09				
JS2	0.219	.237	1.407	0.10				
JAPP2	-0.198	.393	1.425	0.11				
D	-0.235	.449	11.383	0.15				
SIG . TOTAL					0.00			

جدول ۹: جدول ضرایب همبستگی درجه صفر جهت تشخیص همخطی بین متغیرها

	ZERO ORDER Correlations											
	UCS	RQD	RMR	DIPJS1	DDR1	JS1	JAPP1	DIPJS2	DDR2	JS2	JAPP2	D
UCS	1.000	-.488	.331	-.350	-.265	-.078	.049	.071	-.180	-.156	-.012	-.041
RQD	-.488	1.000	.102	-.107	-.084	-.028	.021	.020	-.055	-.065	-.009	-.012
RMR	.331	.102	1.000	.073	.056	.016	-.010	-.015	.038	.033	.003	.009
DIPJS1	-.350	-.107	.073	1.000	-.059	-.017	.010	.016	-.040	-.033	-.002	-.009
DDR1	-.265	-.084	.056	-.059	1.000	-.014	.010	.011	-.030	-.030	-.003	-.007
JS1	-.078	-.028	.016	-.017	-.014	1.000	.005	.003	-.009	-.015	-.003	-.002
JAPP1	.049	.021	-.010	.010	.010	.005	1.000	-.001	.005	.015	.003	.001
DIPJS2	.071	.020	-.015	.016	.011	.003	-.001	1.000	.008	.003	-.001	.002
DDR2	-.180	-.055	.038	-.040	-.030	-.009	.005	.008	1.000	-.017	-.001	-.005
JS2	-.156	-.065	.033	-.033	-.030	-.015	.015	.003	-.017	1.000	-.010	-.003
JAPP2	-.012	-.009	.003	-.002	-.003	-.003	.003	-.001	-.001	-.010	1.000	.000
D	-.041	-.012	.009	-.009	-.007	-.002	.001	.002	-.005	-.003	.000	1.000

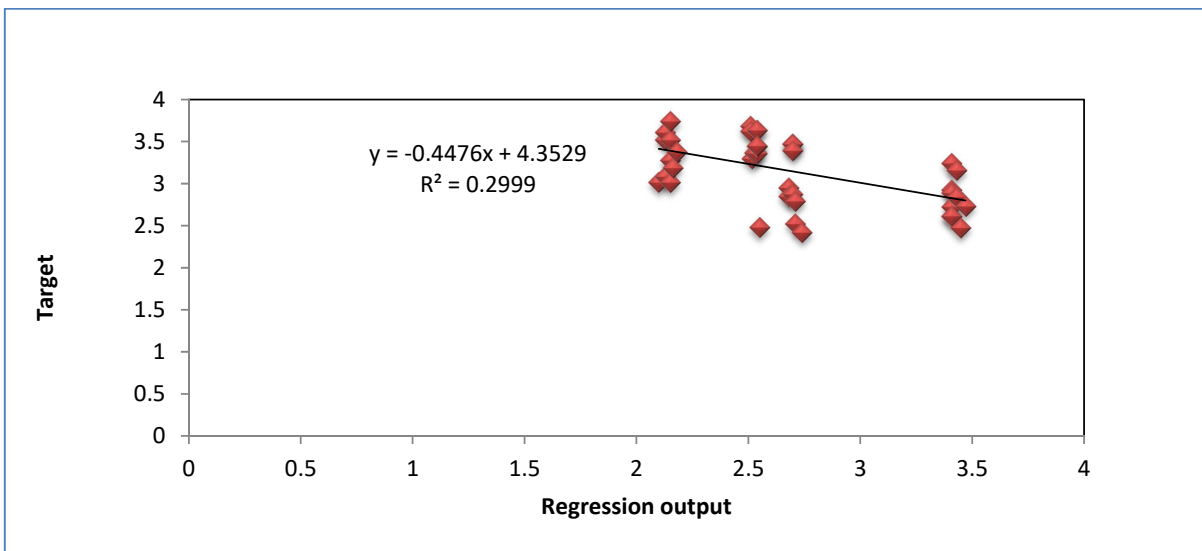
جدول ۱۰: مقادیر سطح معناداری (Sig) فرضیه null برای ضرایب همبستگی درجه صفر

	UCS	RQD	RMR	DIPJS1	DDR1	JS1	JAPP1	DIPJS2	DDR2	JS2	JAPP2	D
UCS	.	.000	.000	.000	.000	.108	.217	.132	.002	.007	.424	.256
RQD	.000	.	.052	.045	.091	.328	.370	.378	.192	.151	.443	.424
RMR	.000	.052	.	.123	.190	.398	.434	.408	.276	.302	.483	.445
DIPJS1	.000	.045	.123	.	.177	.394	.434	.401	.264	.301	.486	.442
DDR1	.000	.091	.190	.177	.	.412	.439	.429	.317	.316	.479	.457
JS1	.108	.328	.398	.394	.412	.	.470	.484	.445	.408	.483	.489
JAPP1	.217	.370	.434	.434	.439	.470	.	.494	.466	.407	.478	.494
DIPJS2	.132	.378	.408	.401	.429	.484	.494	.	.449	.481	.496	.487
DDR2	.002	.192	.276	.264	.317	.445	.466	.449	.	.395	.493	.470
JS2	.007	.151	.302	.301	.316	.408	.407	.481	.395	.	.434	.482
JAPP2	.424	.443	.483	.486	.479	.483	.478	.496	.493	.434	.	.500
D	.256	.424	.445	.442	.457	.489	.494	.487	.470	.482	.500	.

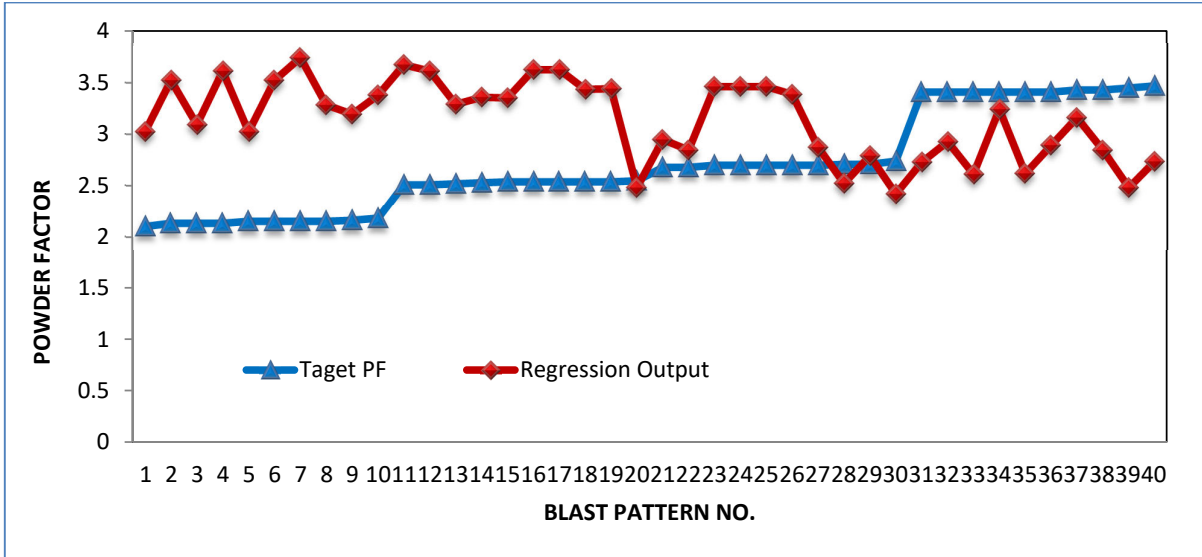
نتایج کلی مدل‌های آماری در جدول (۱۱) درج شده است.
درنتیجه بهترین مدل رگرسیون بدست آمده برای پیش‌بینی

جدول ۱۱: نتایج کلی مدل‌های آماری

WITHOUT PCA				WITH PCA			
R ²		MSE		R ²		MSE	
TOTAL PREDICTION	TEST						
0.641	0.2559	0.179	1.2777	0.641	0.2999	0.179	1.1313



شکل ۳: ضریب تعیین نتایج حاصل از مدل آماری پیش‌بینی خرج ویژه با PCA



شکل ۴: نتایج پیش‌بینی مدل آماری بهینه برای مجموعه ۴۰ عضوی داده‌های تست.

ویژه استفاده شد. از این‌رو داده‌های حاصل از ۲۹۰ مرحله عملیات حفاری و انفجار برای تونل آبرسان سد سیمراه جمع‌آوری شد که ۲۵۰ مورد از داده‌ها برای ساخت مدل آماری و ۴۰ مورد دیگر برای تست مدل‌های بدست آمده مورداستفاده قرار گرفت. در این راستا به منظور حذف اثر منفی همخطی بین متغیرهای ورودی در مدل‌های پیش‌بینی، از الگوریتم PCA استفاده کرده و برای ارزیابی مدل‌های ساخته شده، از پارامترهای R^2 و MSE استفاده شد. نتایج حاصل از مقایسات نشان می‌دهد که رفع همخطی بین متغیرهای ورودی، در مدل‌های آماری، نتایج پیش‌بینی بهتری را به همراه داشته است.

[6] E. Lopez Jimeno, C. Lopez Jimino, Ayala. 1978. Drilling and Blasting of Rocks.

[7] Dey,K. Sen,Ph. 2003. Concept of Blastability. Indian mining & engineering journal. 42. 24-31

[8] Singh, P, Sinha A. 2012Rock Fragmentation by Blasting.

[9] Rossmanith, H.1993. Rock Fragmentation by Blasting.

[10] Kuznetsov, V.M. 1973. The mean diameter of fragments formed by blasting rock. Soviet mining sci. 9. 2 144-148

[11] Cunningham, C.V.B. 1983. The KUZ-RAM model for prediction of fragmentation from

۴- نتیجه‌گیری

خرج ویژه از مهم‌ترین پارامترهای فنی و اقتصادی در طراحی الگوهای حفاری و انفجار تونل‌ها است که به پارامترهای متعددی از قبیل شرایط زمین‌شناسی، خصوصیات مکانیک سنگی و پارامترهای هندسی طراحی بستگی دارد. به همین دلیل پیش‌بینی و بهینه‌سازی آن از اهمیت بالایی برخوردار است. تاکنون روابط تحریبی متعددی جهت پیش‌بینی خرج ویژه ارائه شده است اما از آنجایی که معمولاً این روابط بر اساس شرایط زمین شناسی خاصی بسط داده شده‌اند، در همه موقعیت‌ها نمی‌توان از آن‌ها استفاده نمود. در این تحقیق با تکیه بر خواص ژئومکانیکی توده‌سنگ، از روش‌های آماری به همراه آنالیز مؤلفه‌های اصلی (PCA) برای پیش‌بینی و بهینه‌سازی خرج

۵- مراجع

- [1] Persson,A , Holmberg,R. Lee J. 1994. Rock Blasting and Explosives Engineering.
- [2] Holmberg, R. 2000. Explosives and Blasting Technique.
- [3] Lu,Sh. Zhou,Ch. Jiang,N. Xu,X. 2015.Effect of Excavation Blasting in an Under-Cross Tunnel on Airport Runway. Geotechnical and Geological Engineering. 33. 4. 973-981
- [4] Bhalchandra V. Gokhale. 1979. Rotary Drilling and Blasting in Large Surface Mines.
- [5] B. Mohanty. 1996. Rock Fragmentation by Blasting.

- coal composition for bump susceptibility. International Journal of Mining Science and Technology. 26.1. 3-8
- [24] Yun,H. Park,S. Mehdawi,N. Mokhtari,S. Chopra,M. N.Reddi,L. Park,K. 2014. Monitoring for close proximity tunneling effects on an existing tunnel using principal component analysis technique with limited sensor data. Tunnelling and Underground Space Technology. 43. 398-412.
- [25] Sayadi,A. Lashgari,A. Paraszczak,J. 2012. Hard-rock LHD cost estimation using single and multiple regressions based on principal component analysis. Tunnelling and Underground Space Technology. 27. 133-141
- [26] Lashgari,A. Sayadi, A. 2013. Statistical approach to determination of overhaul and maintenance cost of loading equipment in surface mining. International Journal of Mining Science and Technology. 23. 441-446
- [27] Yan-wei,Ch. Yao-cai,W. Tao,L. Zhi-jie,W. 2008 Blended coal's property prediction model based on PCA and SVM. J. Cent. South Univ. Technol. 15. 2. 331-335.
- [28] Yan-wei,Ch. Yao-cai,W. Tao,L. Zhi-jie,W. 2008. Fault diagnosis of a mine hoist using PCA and SVM techniques. J China Univ Mining & Technol. 18. 327-331.
- [29] Shi-xiong,X. Qiang,N. Yong,Zh. Lei,Zh. 2008. Mine-hoist fault-condition detection based on the wavelet packet transform and kernel PCA. J China Univ Mining & Technol. 18. 567-570.
- [30] Lindsay,S, 2002, A tutorial on principal component analysis, February 26, Department science, University of California, San Diego, December 10.
- [31] Engelbrecht, A.P., 2007. Computational Intelligence: An Introduction. John Wiley & Sons, New York.
- [32] Gujarati,D. 2004. *Basic Econometrics*
- [33] gujarati, D., 2003. Basic Econometrics, fourth ed. McGraw-Hill, New York, NY. Hardle, W., Simar, L., 2003. Applied Multivariate Statistical Analysis. MD Tech, Berlin.
- blasting. 1st Int. Symp. On rock fragmentation. 2. 439-453
- [12] Cunningham, C.V.B. 1987. Fragmentation estimations and the KUZ-RAM model four year on. 2nd Int. Symp. Rock fragmentation by blasting. Keystone. August 23-26
- [13] Rustan, A. 1998. Rock Blasting Terms and Symbols
- [14] Pal Roy, P. 2005. Rock Blasting: Effects and Operations.
- [15] Jolliffe,I. 1986. Principal Component Analysis.
- [16] Markland,j . 1974. The analysis of principal components of orientation data. International Journal of Rock Mechanics and Mining Sciences & Geomechanics Abstracts. 11.5. 157-163
- [17] Salimi,A. Rostami,J. Moormann,Ch. Delisio,A. 2016. Application of non-linear regression analysis and artificial intelligence algorithms for performance prediction of hard rock TBM. Tunnelling and Underground Space Technology. 58. 236-246
- [18] Salimi,A. /moermann,Ch. Singh,T.N. Jain,P. 2015. TBM Performance Prediction in Rock Tunneling Using Various Artificial Intelligence Algorithms. Regional tunneling conference tunnels and the future.
- [19] Saeidi,O. Torabi,R. Ataei,M. Rostami,J. 2014. A stochastic penetration rate model for rotary drilling in surface mines. International Journal of Rock Mechanics & Mining Sciences. 68. 55-65
- [20] Cai,W. Dou,L. Si,G. Cao,A. He,J. Liu,S. 2016. A principal component analysis/fuzzy comprehensive evaluation model for coal burst liability assessment. International Journal of Rock Mechanics & Mining Sciences. 81. 62-69.
- [21] Mohamed,F. Hafsaoui,A. Tallhi,K. Menacer,k. 2015. Study of the powder factor in surface bench blasting. Procedia earth and planetary science. 15. 892-899.
- [22] Esmaeili,M. Salimi,A. Drebendstedt,C. Abbaszadeh,M. Aghajani Bazazi,A. 2015. Application of PCA, SVR, and ANFIS for modeling of rock fragmentation. Arab J Geosci. 8.9.6881-6893
- [23] Heather,L. Andrew,W. Arthur,M. 2016. Dynamic failure in coal seams: Implications of

ABSTRACT



International Society for Rock Mechanics

JOURNAL OF ROCK MECHANICS

WINTER 2017, VOL 1, NO 4, P:97



Iranian Society for Rock Mechanics

Determination of the Powder Factor Based on Geomechanical Parameters of Rock Mass (Case Study - Seymareh Dam and Power Plant Project)

M. Hayati^{*1}; O. Roshani²

1- Assistant Professor, Department of Mining, Faculty of Engineering, Lorestan University, Khorramabad, Iran.

2- M. Eng Rock Mechanics, University of Tehran

Received: May 2019; Accepted: Mar. 2019

Keywords

Prediction
Powder factor
Water tunnel
Co-linearity
Principle Components Analysis
Statistical method

Final English Extended Abstract

Summary

Considering the importance of predicting the penetration rate of Tunnel Boring Machine (TBM), in this paper, application of Time Series model to predict the penetration rate has been examined. The results show that the values of penetration rate in different excavated cycles could be considered as a time series model. Changes in the values of penetration rate in different cycles are well illustrated in the predicted results of penetration rate using time series approach.

Introduction

Currently, Tunnel Boring Machine (TBM) is one of the most modern and advanced tunneling machines. Penetration rate determines costs and time of the project in mechanized tunneling; thus, prediction of the penetration rate is very important and decisive. Penetration rate is the ratio of the length of tunnel excavated to the actual boring time during a continuous boring activity, or in other words, it equals instant penetration rate of the machine and is usually expressed in millimeter per revolution of the cutter head or meter per hour.

Methodology and Approaches

Time Series is a statistical theory that has currently been utilized in many sciences, including engineering, and plays a crucial role in prediction. Time Series considers the time sequence of a phenomenon and predicts future values of the series on the basis of past and present values. Repetition sequence of penetration rate has made it possible to use this approach. In this regard, EViews software has been used to generate the time series models.

Results and Conclusions

Since the value of penetration rate in each cycle of excavation embraces the effect of all effective parameters, the prediction can be conducted just by considering the values of penetration rate in past cycles. Investigating the values of penetration rate in different excavated cycles show that these values could be considered as a time series model. Different models by ARMA method have been examined and finally, the model ARMA (5, 7) with correlation coefficient of 87% has been selected as the optimum model for predicting the penetration rate. Changes in the values of penetration rate in different cycles are well distinguished and predicted using the optimum model. Results demonstrate that time series approach has the capability of predicting the penetration rate of TBM. In this approach for predicting the penetration rate, there is no need to access the values of the other parameters associated to rock mass and operational parameters.



International Society for Rock Mechanics

JOURNAL OF ROCK MECHANICS

WINTER 2017, VOL 1, NO 4, P:98



Iranian Society for Rock Mechanics

Increasing the energy absorption of tunnel lining sections by using High Deformable Concrete elements in squeezing environments

Y. alilou Kesejini^a, H. Afshin^{b*}, M. Emami Tabrizi^c, A. Bahramifar^a

^a Ph. D Candidate Faculty of Sahand University of Technology

^b Associated Professor of Faculty of Civil Engineering, Sahand University of Technology

^c Assistant Professor of Faculty of Civil Engineering, Sahand University of Technology

Received: Sep. 2018; Accepted: Jun. 2019

Keywords

Abstract

Summary

Squeezing ground condition is one of the most common challenges in construction of tunnels. Weak rock mass or high subjected stresses leads to squeezing phenomena in tunnels. One of the practical solutions for reducing the stresses in lining of the tunnels is implementing High Deformable Concrete (HDC) elements as deformable fuses to absorb the induced energy. Using HDC with equal compressive strength but more deformability and compressive strain (about 20 .to 50 percent) than the conventional concrete leads to increasing the flexibility and energy absorption of tunnel sections. A large number of studies has been carried out on improving ductility of concrete but because of commercial and exclusive benefits the details has not been published. In this paper with manufacturing HDC elements and obtaining the stress- strain compressive behavior in lab, we have studied the effect of HDC elements in flexibility of lining of tunnels. The results show the effective performance of the HDC elements in increasing energy absorption amount and flexibility of sections of the tunnel lining.

*Corresponding author



International Society for Rock Mechanics

JOURNAL OF ROCK MECHANICS

WINTER 2017, VOL 1, NO 4, P:99



Iranian Society for Rock Mechanics

Application of Time Series Model to Predict the Penetration Rate of Tunnel Boring Machine

M. Mazhabi, M. Eftekhari*

1- Department of Mining Engineering, Science and Research Branch, Islamic Azad University, Tehran, Iran

Received: Jun. 2018; Accepted: Apr. 2019

Keywords	Final English Extended Abstract
Penetration Rate	
Prediction	
Time Series	
Tunnel Boring Machine	Summary Considering the importance of predicting the penetration rate of Tunnel Boring Machine (TBM), in this paper, application of Time Series model to predict the penetration rate has been examined. The results show that the values of penetration rate in different excavated cycles could be considered as a time series model. Changes in the values of penetration rate in different cycles are well illustrated in the predicted results of penetration rate using time series approach.

Introduction

Currently, Tunnel Boring Machine (TBM) is one of the most modern and advanced tunneling machines. Penetration rate determines costs and time of the project in mechanized tunneling; thus, prediction of the penetration rate is very important and decisive. Penetration rate is the ratio of the length of tunnel excavated to the actual boring time during a continuous boring activity, or in other words, it equals instant penetration rate of the machine and is usually expressed in millimeter per revolution of the cutter head or meter per hour.

Methodology and Approaches

Time Series is a statistical theory that has currently been utilized in many sciences, including engineering, and plays a crucial role in prediction. Time Series considers the time sequence of a phenomenon and predicts future values of the series on the basis of past and present values. Repetition sequence of penetration rate has made it possible to use this approach. In this regard, EViews software has been used to generate the time series models.

Results and Conclusions

Since the value of penetration rate in each cycle of excavation embraces the effect of all effective parameters, the prediction can be conducted just by considering the values of penetration rate in past cycles. Investigating the values of penetration rate in different excavated cycles show that these values could be considered as a time series model. Different models by ARMA method have been examined and finally, the model ARMA (5, 7) with correlation coefficient of 87% has been selected as the optimum model for predicting the penetration rate. Changes in the values of penetration rate in different cycles are well distinguished and predicted using the optimum model. Results demonstrate that time series approach has the capability of predicting the penetration rate of TBM. In this approach for predicting the penetration rate, there is no need to access the values of the other parameters associated to rock mass and operational parameters.



International Society for Rock Mechanics

JOURNAL OF ROCK MECHANICS

WINTER 2017, VOL 1, NO 4, P:100



Iranian Society for Rock Mechanics

Controls of various cylindrical punch mandrel diameter on determination of uniaxial compressive strength of some sedimentary rocks of the Qom Formation

M. Heidari¹; H. Mohseni²; S. H. Jalali³

1- Associate Professor, Department of Geology, Faculty of Sciences, Bu-Ali Sina University, Hamedan, Iran

2- Associate Professor, Department of Geology, Faculty of Sciences, Bu-Ali Sina University, Hamedan, Iran

3- Ph.D. of Engineering Geology, Faculty of Sciences, Bu-Ali Sina University, Hamedan, Iran

Received: May 2017 ; Accepted: Jun. 2019

Keywords

cylindrical punch
mandrel diameter
index tests
Uniaxial Compressive Strength (UCS)
Qom Formation

Abstract

Summary

In the present study, the performance of the cylindrical punch to estimate the uniaxial compressive strength of six types of sedimentary rocks and the effect of punching mandrel diameter on the punch strength index has been examined. Results show that the diameter of the punching mandrel has a decisive effect on cylindrical punch index.

Introduction

Block and cylindrical punch tests are index tests, which could be utilized to the indirect estimate of uniaxial compressive strength of rocks. Advantages of these tests include simple, cheap and fast and irrespective of complicated sample preparation procedure and independent of sample size.

Methodology and Approaches

A variety of sedimentary rocks including grainstone, mudstone-wackestone, boundstone, calcilithite, gypsum, and silty marl, that collected from outcrops of the Qom Formation around the Qom city (central Iran), were examined. At first, petrography of samples was described and classified according to mineralogical descriptions. Then laboratory identification tests, UCS and punch tests were performed on the samples at the laboratory. Punch tests were performed in cylindrical method by four different diameters of mandrels (10, 13, 16 and 19 mm). Specific cylindrical punch tools (Figs. 2, 3 and 4) was designed for this purpose.

Results and Conclusions

Despite the fact that cylindrical punch in rock mechanics studies was less appreciated, the results of this study indicate that this index test can estimate Uniaxial Compressive Strength (UCS) of rocks fast, low cost and with reasonable accuracy. From various diameters of mandrels used in this study, 10 mm diameter gives the best correlation coefficient to estimate UCS using cylindrical punch test among all types of rocks. In addition, statistical calculation shows (Table 2) that 10 mm diameter gives better performance for UCS determination. Due to circular shape and smaller shearing area of cylindrical punch, sensitivity to the parallelism of both sides of the sample will decrease and cylindrical punch test can perform quickly and more accurate than block punch test.



International Society for Rock Mechanics

JOURNAL OF ROCK MECHANICS

WINTER 2017, VOL 1, NO 4, P:101



Iranian Society for Rock Mechanics

The dynamic risk analysis for great section tunnels using impact-probability matrix method; A case study of Koohin railway tunnel in Qazvin-Rasht route

R. Mikaeil¹; E. Shafei²; S. Hasani³

1- Department of Mining and Metallurgical Engineering, Urmia University of Technology

2- Department of Civil Engineering, Urmia University of Technology

3- Department of Mining Engineering, Esfahan University of Technology

Received: May, 2017; Accepted: June , 2019

Keywords

Railway Tunnel
Dynamic Analyze
Risk Management
Impact-Probability Matrix Method
Koohin Railway Tunnel

Final English Extended Abstract

In recent years, due to population growth, urban and inter-urban traffics are increasing, while the use of road tunnels and railway tunnels has reduced traffics, consumption fuel and etc. Koohin railway tunnel located in the Qazvin-Rasht route in western part of the Alborz mountains is one of the great sections inter-urban tunnels in Iran. It is of clear importance that preventing financial losses and casualties requires the structures to withstand the static loads such as in-situ stress and dynamic loads such as earthquakes. Due to the dynamic loads on the structure, several risks can be created in different sections of tunnel. In this paper, the sections with 6, 15, 30, 40, 60, 80 and 100

meters of overburden along the Koohin tunnel alignment were investigated in order to determine the maximum risk. This section in outset was analyzed by analytical methods under conditions of full-slip and no-slip caused by dynamic loads triggered by Zanjan earthquake-prone fault and north Qazvin earthquake-prone fault, respectively. Next, the risk of sections was examined by impact-probability matrix method. The results show that the highest risk created in sections with 6, 80 and 100 meters of overburden.

Summary

This paper studies the dynamic response assessment of the Koohin tunnel case study and investigates the relationship of discontinuity spacing on the lining and determines the severity of damage caused by the imposed quake loads. We studied the occurrence risk of several failure modes to determine the most sensitive sections in fact.

Introduction

In recent decades, many projects have been done with topics in dynamic analysis to determine the failure risks from different perspectives. But in the field of dynamic analysis on tunnels which is one of the signification issues of design and analysis in next steps, generally it can be said that few studies have been done or have not been reported so far. In fact, among several loads applied to the tunnel structure, dynamic loads have considerable distinction in compare to the other loads and results in non-uniform stress distribution in sections. As a result, current study is essential for decreasing the risk in important components and their sensitive sections.

Methodology and Approaches

In this research, primarily, Wang and Penzien method is used for dynamic analysis of the selected case study. In advance, the risk in tunnel sections are determined using impact-probability matrix method which is consisted of severity, probability of occurrence and detection stages. The severity calculation is offered using a new equation. In addition, the probability of occurrence and detection were assumed to be constant.

Results and Conclusions

According to the result obtained from the risk analysis, sensitive sections are easily recognized according to the impact-probability matrix method which suggests that there is no need to provide high strength for all section since we can retrofit the special sections that are under severe load and damage.



International Society for Rock Mechanics

JOURNAL OF ROCK MECHANICS

WINTER 2017, VOL 1, NO 4, P:102



Iranian Society for Rock Mechanics

Fatigue behavior of brittle hard rocks subjected to cyclic loading

A. Momeni^{1*}, G. Khanlari², M. Heidari², M. Karakus³, Y. Abdilor⁴

1- Faculty of Earth Sciences, Shahrood University of Technology, Shahrood, Iran

2- Department of Geology, Bu-Ali Sina University, Hamedan, Iran

3- School of Civil, Environmental and Mining Engineering, University of Adelaide, Australia

4-Department of Geology, Lorestan University, Khoramabad, Iran

Received: Sep. 2016; Accepted: Dec. 2017

Keywords	Final English Extended Abstract
Fatigue	Summary
Loading frequency	Many natural or man-made rock structures are subjected to both static and dynamic loads. The nature of dynamic failure in rock remains unclear, especially in cyclic loading condition. In this research, fatigue behavior of a brittle hard rock was evaluated using uniaxial cyclic loading. For this reason, two types of test including load control and displacement control were employed. The load control tests were conducted in different maximum stress level and constant amplitude (68 % UCS) at 1 Hz frequency. The results of fatigue tests have been evaluated by fatigue damage parameters including maximum and minimum axial strain, maximum and minimum lateral strain, tangent and secant modulus, toughness and hysteresis energy. The results indicated that this type of rock shows a low reduction in strength due to fatigue damage. Among the used parameters, lateral strain shows the best three-stage fatigue damage behavior due to crack generation parallel to loading direction.
Toughness	
Hysteresis loops	
strain softening	

Introduction

Different materials show different responses when they are subjected to cyclic loading. Some materials become stronger and more ductile, while others become weaker and more brittle. Obtained results are inconclusive and sometimes discordant. However, available data on fatigue behavior remain insufficient for solving the practical tasks of predicting rock bursts and earthquakes. The aim of the current work was to assess granodiorite hard rock fatigue behaviour under different loading conditions to describe the fatigue damage process of the granitic rock.

Methodology and Approaches

Several core samples were prepared to perform this research. Before the fatigue tests, the physical and mechanical properties of the rocks were measured. To record axial and lateral strains during the fatigue tests, four strain gauges have been employed. The fatigue tests were conducted with three different maximum loads at 68% UCS amplitude and 1 Hz frequency. Two multi-steps loading tests with load and displacement control were done as well. The results of fatigue tests have been evaluated by fatigue damage parameters including maximum and minimum axial strain, maximum and minimum lateral strain, tangent and secant modulus, toughness and hysteresis energy

Results and Conclusions

The obtained results indicated that brittle hard rocks can be weakly affected by fatigue phenomenon. Because of micro-fracturing mechanism of fatigue damage for this rock, lateral strain shows the best three-stage fatigue damage processes. Hysteresis loops were very small and not generated in practice. Fatigue failure was occurred when axial strain reaches to static failure strain. Also, the displacement control tests indicated that this type of rock shows faintly strain softening behavior.



International Society for Rock Mechanics

JOURNAL OF ROCK MECHANICS

WINTER 2017, VOL 1, NO 4, P:103



Iranian Society for Rock Mechanics

Numerical Investigation of Rock Mass and Explosive Properties on Blast Damage in Rock Slopes

A. Haghnejad¹; K. Ahangari¹; P. Moarefvand²; K. Goshtasbi³

1- Department of Mining Engineering, Science and Research Branch, Islamic Azad University, Tehran, Iran

2- Department of Mining and Metallurgical Engineering, Amirkabir University of Technology, Tehran, Iran

3- Department of Mining Engineering, Tarbiat Modares University, Tehran, Iran

Received: Jun. 2012; Accepted: Aug. 2012

Keywords	Final English Extended Abstract
Numerical Modelling	Summary
3D Distinct Element method	In this study, it is tried to evaluate the damage caused by two explosives including ANFO and Emulsion using 3DEC software for two similar slopes.
Blast Damage	Four different rock mass properties and two modes of discontinuities were used. The failure zones of blasting damage were qualitatively examined by 3DEC, and quantitative evaluation was carried out using peak particle velocity (PPV) values. Accordingly, geological discontinuities, in particular in the direction of slope surface cause the control of blasting damage. With the increase of rock mass strength, and with the discontinuities in the direction of
Rock Mass Properties	slope surface, the effect of an Emulsion explosion 10 meters far from the hole is less than the ANFO explosion. Due to the effect of discontinuities, the use of presplit blasting is a suitable method for reducing damage in slopes.
ANFO	
Emulsion	

Introduction

The numerical modeling has been used due to its ability to simulate the blasting in order to investigate the effect of rock mass and explosive properties on the development of damage. In order to illustrate the properties, several different states were considered to examine the blasting damage effects.

Methodology and Approaches

The simple slopes with two geological discontinuities were considered. Each state was classified according to the properties of the strong and medium rock mass. Following this, the borehole pressure was applied to them. The use of PPV values along a line from the blast hole has provided the opportunity for a quantitative assessment. Indicators of failure zones in 3DEC were also used to provide qualitative evaluation of the damage. Simulations were first performed for the ANFO explosion. In the next step, in order to identify the effect of the explosive type, Emulsion explosion simulation was used.

Results and Conclusions

Geological discontinuities cause the control of plastic flow of tension and shear failures. The use of engineering rock mass classification systems is a good tool to predict blasting damage due to the consideration of rock mass data.

The maximum blasting damage extends slightly beyond 40 meters from the hole. In the ANFO explosion with the slope-inclined discontinuity, an average reduction of 43% in damage was observed, and with discontinuities in the direction of the slope surface, average reduction of 62% in damage per discontinuity was obtained. If the discontinuities are similar to the direction of slope surface, they will be less sensitive to the increased borehole pressure by stronger explosive.



International Society for Rock Mechanics

JOURNAL OF ROCK MECHANICS

WINTER 2017, VOL 1, NO 4, P:104



Iranian Society for Rock Mechanics

Investigation of Mechanical Behavior of Basalt Samples Containing Different Number and Degree of Flaws

M. F. Hossaini; H. Ghasemzade

School of Mining Engineering, College of Engineering, University of Tehran, Tehran, Iran

Received: Feb. 2015 Accepted: Dec. 2015

Keywords

Flaw
Angle of inclination
Number of flaws
Coalescence
Uniaxial compressive strength
Young's modulus
Axial strain

Abstract

Summary

In this study, uniaxial compression tests were performed with intelligent loading machine and using numerical modeling on the basalt specimens with different angles of inclination and number of flaw. The results showed that the uniaxial compressive strength (UCS), Young's modulus and axial strain in flaw contained specimens were less than those in intact specimen, and the difference depends on the geometry of the flaws.

The coalescence patterns of the flaws in the specimens were studied and different types of crack propagation from flaw tip in the specimen were characterized. Formation of tensile, shears and combined tensile-shear cracks and the coalescence pattern of the flaws depends on the geometry of the flaws. By taking this into account, the failure mode and crack initiation in specimens were studied. Also, the effect of flaws coalescence on the strength and fracture behavior of basalt specimens were investigated under uniaxial compression. This survey of mechanical behavior of different inclinations and number of flaws provides increased understanding of the fundamental nature of rock failure under uniaxial compression.

Table of Content

Determination of the Powder Factor Based on Geomechanical Parameters of Rock Mass (Case Study - Seymareh Dam and Power Plant Project) M. Hayati; O. Roshani	97
Increasing the energy absorption of tunnel lining sections by using High Deformable Concrete elements in squeezing environments Y. alilou Kesejini, H. Afshin, M. Emami Tabrizi, A. Bahramifar	98
Application of Time Series Model to Predict the Penetration Rate of Tunnel Boring Machine M. Mazhabi, M. Eftekhari	99
Controls of various cylindrical punch mandrel diameter on determination of uniaxial compressive strength of some sedimentary rocks of the Qom Formation M. Heidari; H. Mohseni; S. H. Jalali	100
The dynamic risk analysis for great section tunnels using impact-probability matrix method; A case study of Koohin railway tunnel in Qazvin-Rasht route R. Mikaeil; E. Shafei; S. Hasani	101
Fatigue behavior of brittle hard rocks subjected to cyclic loading A. Momeni, G. Khanlari, M. Heidari, M. Karakus, Y. Abdilor	102
Numerical Investigation of Rock Mass and Explosive Properties on Blast Damage in Rock Slopes Ali Haghnejad; Kaveh Ahangari; Parviz Moarefvand; Kamran Goshtasbi	103
Investigation of Mechanical Behavior of Basalt Samples Containing Different Number and Degree of Flaws M. F. Hossaini; H. Ghasemzade	104



International Society for Rock Mechanics

JOURNAL OF ROCK MECHANICS

WINTER 2017, VOL 1, NO 4



Iranian Society for Rock Mechanics

Grantee and Publisher: Iranian Society for Rock Mechanics

Director in chief: Dr. Abdolhadi Ghazvinian
Associate Prof, Tarbiat Modares University

Editor in chief: Dr. Kourosh Shahriar
Professor, Amirkabir University of Technology

Executive manager: Eng. Omid Roshani

Editorial Board:

Dr. Morteza Ahmadi (Professor, Tarbiat Modares University)

Dr. Seyed Rahman Torabi (Professor, Shahrood University of Technology)

Dr. Ahmad Jafari (Associate Prof, Tehran University)

Dr. Seyed Mohammad Farogh Hoseini (Associate prof, Tehran University)

Dr. Mostafa Sharifzadeh (Associate Prof, Curtin University)

Dr. Kourosh Shahriar (Professor, Amirkabir University of Technology)

Dr. Mohammad Fatehi Marji (Associate Prof, Yazd University)

Dr. Ahmad Fahimifar (Professor, Amirkabir University of Technology)

Dr. Morteza Gharoninik (Assistant Prof, Iran University of Science and Technology)

Dr. Abdolhadi Ghazvinian (Associate Prof, Tarbiat Modares University)

Dr. Kamran Goshtasbi (Associate Prof, Tarbiat Modares University)

Dr. Abbas Majdi (Associate Prof, Tehran University)

Dr. Hosein Memarian (Professor, Tehran University)

Address: Secretariat of the Iranian Society for Rock Mechanics (IRSRM)

c/o Dept of Mining Engineering, Fac. of Engineering, Tarbiat Modares Univ.

P.O. Box No. 14115-314

Tehran

IRAN

Tell: 021-88630482

Fax: 021-88630482

E-mail: info@journal.irsrsm.net

Website: journal.irsrsm.net



JOURNAL OF ROCK MECHANICS



International Society for Rock Mechanics

Iranian Society for Rock Mechanics

WINTER 2017, VOL 1, NO 4

- Investigation of Mechanical Behavior of Basalt Samples Containing Different Number and Degree of Flaws
- Numerical Investigation of Rock Mass and Explosive Properties on Blast Damage in Rock Slopes
- Fatigue behavior of brittle hard rocks subjected to cyclic loading
- The dynamic risk analysis for great section tunnels using impact-probability matrix method; A case study of Koohin railway tunnel in Qazvin-Rasht route
- Controls of various cylindrical punch mandrel diameter on determination of uniaxial compressive strength of some sedimentary rocks of the Qom Formation
- Application of Time Series Model to Predict the Penetration Rate of Tunnel Boring Machine
- Investigation of the Relationship between Double-Shield Tunnel Boring Machine Utilization and Rock Mass Rating System
- Determination of the powder factor based on geomechanical parameters of rock mass (Case Study - Seymareh Dam and Power Plant Project)